МИНИСТЕРСТВО ПРИРОДНЫХ РЕСУРСОВ И ЭКОЛОГИИ РОССИЙСКОЙ ФЕДЕРАЦИИ

ФЕДЕРАЛЬНОЕ АГЕНТСТВО ПО НЕДРОПОЛЬЗОВАНИЮ

ФЕДЕРАЛЬНОЕ ГОСУДАРСТВЕННОЕ БЮДЖЕТНОЕ УЧРЕЖДЕНИЕ

«ГИДРОСПЕЦГЕОЛОГИЯ»

ЦЕНТР ГОСУДАРСТВЕННОГО МОНИТОРИНГА СОСТОЯНИЯ НЕДР

И РЕГИОНАЛЬНЫХ РАБОТ

ИНФОРМАЦИОННАЯ СВОДКА

О ПРОЯВЛЕНИЯХ ЭКЗОГЕННЫХ ГЕОЛОГИЧЕСКИХ ПРОЦЕССОВ

на территории Российской Федерации за III квартал 2017 г.

Москва, 2017

МИНИСТЕРСТВО ПРИРОДНЫХ РЕСУРСОВ И ЭКОЛОГИИ РОССИЙСКОЙ ФЕДЕРАЦИИ

ФЕДЕРАЛЬНОЕ АГЕНТСТВО ПО НЕДРОПОЛЬЗОВАНИЮ

ФЕДЕРАЛЬНОЕ ГОСУДАРСТВЕННОЕ БЮДЖЕТНОЕ УЧРЕЖДЕНИЕ "ГИДРОСПЕЦГЕОЛОГИЯ"

ЦЕНТР ГОСУДАРСТВЕННОГО МОНИТОРИНГА СОСТОЯНИЯ НЕДР И РЕГИОНАЛЬНЫХ РАБОТ

ИНФОРМАЦИОННАЯ СВОДКА О ПРОЯВЛЕНИЯХ ЭКЗОГЕННЫХ ГЕОЛОГИЧЕСКИХ ПРОЦЕССОВ НА ТЕРРИТОРИИ РОССИЙСКОЙ ФЕДЕРАЦИИ ЗА III КВАРТАЛ 2017 г.

Зам. генерального директора
ФГБУ «Гидроспецгеология» - директор
Центра ГМСН и региональных работ **С.В. Спектор**

Начальник отдела мониторинга ЭГП
Центра ГМСН и региональных работ **А.А. Вожик**

Москва, 2017

ОГЛАВЛЕНИЕ

ВВЕДЕНИЕ……. **3**

1. Региональные особенности развития опасных экзогенных геологических процессов..... **4**

1.1. Центральный федеральный округ…….…… 4

1.2. Северо-Западный федеральный округ…….. 7

1.3. Южный федеральный округ……..…… 12

1.4. Северо-Кавказский федеральный округ…….. 17

1.5. Приволжский федеральный округ…… 25

1.6. Уральский федеральный округ……. 28

1.7. Сибирский федеральный округ……. 34

1.8. Дальневосточный федеральный округ…….. 44

2. Характеристика отдельных проявлений ЭГП, сопровождавшихся воздействием на населенные пункты и хозяйственные объекты..... **47**

2.1. Северо-Кавказский федеральный округ……..…….. 47

ЗАКЛЮЧЕНИЕ……...…… **52**

Приложение 1. Сводные данные об активизациях экзогенных геологических процессов на территории Российской Федерации в III квартале 2017 г. **53**

Приложение 2. Карты местоположения населенных пунктов и хозяйственных объектов, испытавших воздействия при активизации экзогенных геологических процессов на территории Российской Федерации в III квартале 2017 г. **191**

Сводка подготовлена в отделе мониторинга экзогенных геологических процессов Центра ГМСН и региональных работ.
ФГБУ «Гидроспецгеология»
Составители: Шамурзаева Д.А., Голубев С.А., Вожик А.А.

ВВЕДЕНИЕ

Обобщение и анализ оперативной информации об активизациях опасных экзогенных геологических процессов и последствиях их воздействий на населенные пункты и хозяйственные объекты по территории Российской Федерации в III квартале 2017 г. выполнены Центром государственного мониторинга состояния недр и региональных работ (ФГБУ «Гидроспецгеология») на основании оперативных материалов и информационных сводок, представленных Центральным, Северо-Западным, Южным, Северо-Кавказским, Приволжским, Уральским, Сибирским и Дальневосточным региональными центрами Государственного мониторинга состояния недр (ГМСН).

1. Региональные особенности развития опасных экзогенных геологических процессов

1.1. Центральный федеральный округ

Основными причинами, приводящими к активизации опасных ЭГП, являются метеорологические особенности года, эрозионное воздействие поверхностных вод, а также изменение положения уровня подземных вод. Нередко карстово-суффозионные процессы активизируются из-за повышения инфильтрации атмосферных осадков в карстующиеся породы, а также за счет увеличения водообмена и скорости движения подземных вод при длительных откачках.

Метеорологические показатели, такие как температура воздуха и количество осадков, в 3 квартале не способствовали активизации опасных ЭГП на территории округа. Температура воздуха в конце лета и сентябре была ниже среденемноголетних показателей, количество атмосферных осадков не превысило нормы.

Воронежская область. Погодные условия не способствовали активизации оползней на территории области. Температура воздуха июля и августа была выше нормы, в июне – меньше нормы. Осадки выпадали не регулярно и не повсеместно, но достаточно обильные, в июне и июле – около нормы, в августе – меньше нормы на 14%. В сентябре температура воздуха была выше многолетней нормы, а сумма осадков – ниже нормы. Региональная активность оползневого процесса в 3 квартале оценивается как низкая.

В с. Тхоревка Каменского района, на ул. Солнечная, д. 9, была зафиксирована активизация оползневого процесса, угрожающая хозяйственным постройкам.

Калужская область. Количество осадков лета и осени (июнь-сентябрь) находилось на уровне среднемноголетних значений и ниже, аномальных проявлений этих природных факторов не наблюдалось. Активизации ЭГП в 3 квартале на территории Калужской области также не наблюдалось. Региональная активность ЭГП на территории области оценивается как низкая.

Костромская область. На развитие оползней оказывает влияние ряд факторов: выпадение обильных осадков; гидрогеологические условия оползневых склонов (наличие родников), обусловливающих обводнённость горных пород, а также уровенный режим в реках и водохранилищах. Степень активность оползневого процесса оценивается как низкая.

В г. Макарьев на территории училища ОГБОУ НПО ПУ №1 зафиксирована активизация оползневого процесса, в результате которой произошло смещение оползня площадью 94 м^2. Активизация оползневого процесса на южной окраине с. Завражье Кадыйского района привела к смещению оползневого блока площадью 15 м^2.

Курская область. В 3 квартале наблюдалось снижение активности ранее выявленных проявлений оползневого и карстово-суффозионных процессов. Гидрометеорологические условия соответствовали среднемноголетним. На территории области не выявлено новых и активизировавшихся старых проявлений оползневого и карстово-суффозионных процессов. Активность опасных ЭГП оценивается как низкая.

В **г. Москве** активность оползневого и карстово-суффозионных процессов оценивается как низкая. Климатические особенности 3 квартала не способствовали активизации опасных ЭГП. Общее количество выпавших осадков не превысило многолетних значений. Так, в июле выпало 105 мм осадков (124% от нормы), в августе – 68 мм (83%), в сентябре – 38 мм (56%).

Влияние техногенного фактора привело к активизации овражной эрозии и оползневого процесса на ул. Винницкая, д. 27А, где незарегулированный поверхностный сток привел к образованию промоины и продолжению смещения оползневого блока (рис.1).

На территории ГБОУ №2017 по адресу ул. Борисовские пруды, д. 11, к. 2 была отмечена активизация в пределах двух ранее засыпанных суффозионных воронок, выражающаяся в проседании грунта под бордюрным камнем (рис.2) и в деформациях асфальта. Также отмечен небольшой крен фонарного столба (около 5°) в непосредственной близости от засыпанной суффозионной воронки.

Рис. 1. Промоина на оползневом блоке вдоль деформированного забора, ул. Винницкая, д. 27А, г. Москва

Рис. 2. Суффозионный провал на территории дошкольного отделения школы № 2017, г. Москва

На территории детского сада № 626 по ул. Нагорная, д. 15, к. 9 было зафиксировано увеличение размеров суффозионного провала, образовавшегося весной 2017 г. (в среднем, на 30 см), меры по ликвидации (засыпке) провала не приняты.

Московская область. Климатические особенности 3 квартала не способствовали активизации опасных ЭГП. Общее количество выпавших осадков не превысило среднемноголетних значений. Лишь в июле была превышена норма осадков, в августе и сентябре осадков выпало меньше нормы.

Активизация оползневого процесса была зафиксирована в Красногорском районе на территории, прилегающей к церкви на ул. Центральная. Здесь произошло оседание насыпного грунта, появились новые трещины закола в следствии пригрузки бровки оползневого склона насыпными грунтами, незарегулированного поверхностного стока и эрозионной деятельности р. Истры.

Региональная активность оползневого и карстово-суффозионных процессов оценивается как низкая.

Тамбовская область. Активизация оползневого процесса была зафиксирована северо-западной части г. Тамбова, в районе ул. Мичуринской (рис.3), в бортах Ласковского карьера в г. Тамбове, в г. Жердевка и вблизи д. Туголуково Жердевского района (рис.4). В летний период температурный режим не соответствовал показателям нормы. Температура до конца июля была значительно ниже среднемноголетних значений. В то же время отмечалось повышенное количество выпадающих осадков, что способствовало накоплению влаги в грунтах. Соответственно, отмечалась активизация оползневого процеса, пик которой пришелся на начало июля.

Рис. 3. Деформации в результате активизации оползневого процесса в стене гаража № 32 на ул. Мичуринской, г. Тамбов

Рис. 4. Оползень в районе северо-западной окраины с. Туголуково Жердевского района Тамбовской области

В целом по области прослеживалась средняя степень активности оползневого процесса и овражной эрозии.

Тверская область. В Старицком районе в д. Стегнишино и д. Старотеличино была отмечена активизация карстово-суффозионных процессов, связанная с образованием нескольких блюдцеобразных понижений диаметром до 2,5 м. Наблюдалась низкая региональная активность ЭГП.

Тульская область. Активизация оползневого процесса наблюдалась в с. Бехово Заокского района недалеко от Свято-Троицкой церкви. Было отмечено увеличение стенки срыва оползня на 0,5 м по сравнению с зафиксированным во 2 квартале. Также отмечено увеличение трещин в каменной ограде церкви на 2-3 см. Активизация оползневого процесса может быть связана с активизацией карстово-суффозионных процессов в подошве оползневого склона вследствие увеличения выноса частиц горных пород из-за инфильтрации атмосферных осадков.

В целом по территории области активность оползневого процесса оценивается как низкая.

Ярославская область. В июне-августе положение уровня водохранилищ было близко к норме, по берегам обнажилась пляжная зона, подмыв берегов происходил менее интенсивно, в связи с чем активность оползневого и обвально-осыпных процессов снизилась. Незначительная активность гравитационных процессов, выражающаяся в локальных оползаниях и обрушениях склонов с отступанием бровки не более чем на 1 м отмечена в 1 км на юго-запад от Демино и в п. Шашково Рыбинского района.

В целом по Ярославской области участки активного развития процессов составляли менее 1 %, поэтому активность оползневого и обвально-осыпных процессов оценивается как низкая.

На территории **Белгородской**, **Брянской**, **Владимирской**, **Ивановской**, **Липецкой**, **Орловской**, **Рязанской** и **Смоленской областей** климатические условия в 3 квартале не способствовали активизации опасных ЭГП: количество выпавших атмосферных осадков было в пределах нормы, температура воздуха близка к среднемесячным значениям.

В целом на территории ЦФО в 3 квартале было зафиксировано 15 случаев активизации проявлений опасных ЭГП, воздействующих на различные хозяйственные объекты и сооружения, расположенные в населенных пунктах, и земли различного назначения. Активизация опасных ЭГП была зафиксирована в 8 субъектах ЦФО. На территории почти всех субъектов округа в 3 квартале наблюдалась низкая активность опасных ЭГП, лишь в Тамбовской области степень активности оползней была оценена как средняя. Сведений об активизации ЭГП, вызвавших возникновение ЧС, не поступало.

1.2. Северо-Западный федеральный округ

Мурманская область. На участке Имандровский, расположенном на правой стороне приозерной Имандровской равнины от г. Оленегорск до п. Хибины, были зафиксированы 4 проявления ЭГП (осыпного, гравитационно-абразионных и гравитационно-эрозионных).

На железнодорожной станции Хибины (1279 км Октябрьской железной дороги), в основании моста через р. Малая Белая было зафиксировано развитие гравитационно-эрозионных процессов (рис.5, 6).

Недалеко от п. Хибины (1281 км Октябрьской железной дороги) выявлено развитие осыпного процесса (рис.7, 8). На бровке склона расположены ЛЭП. Осыпи слабоактивны.

В районе г. Оленегорск (1331 км Октябрьской железной дороги) в ходе обследования было выявлено проявление гравитационно-эрозионных процессов (рис.9). В верхней части склона наблюдались трещины отседания насыпного грунта, в основании у кромки воды отмечены крупные валуны до 70 см в диаметре.

Рис. 5. Участок развития гравитационно-эрозионных процессов у железнодорожного моста через р. Малая Белая

Рис. 6. Свежие трещины на участке оползания рыхлого грунта

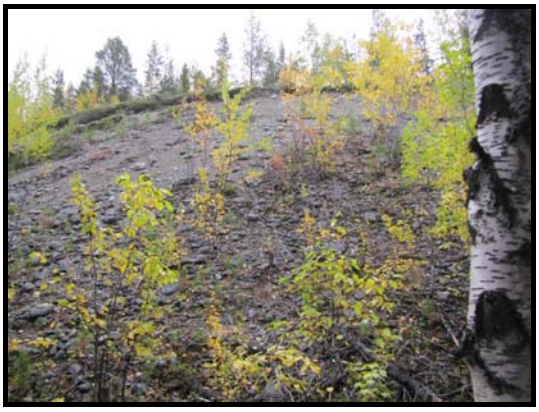

Рис. 7. Осыпь в 20 м на восток от железной дороги, 1281 км Октябрьской железной дороги

Рис. 8. Осыпь в 5 м на запад от железной дороги, 1281 км Октябрьской железной дороги

В районе г. Оленегорска недалеко от станции Куна было зафиксировано проявление гравитационно-абразионных процессов (рис. 10). Искусственная дамба через Печгубу соединяет два острова, по которым проходит железнодорожный мост. Строение береговой линии обусловливает легкое размывание и выполаживание склона. Общая длина участка развития процессов достигает 150 м. Нижний ряд блоков одного из бетонных оснований моста разрушается и проседает в результате размыва грунта, из-за чего вся опора моста имеет уклон. Блоки нижнего ряда наклонены и разобщены.

Рис. 9. Участок развития гравитацинно-эрозионных процессов на берегу р. Куреньга

Рис. 10. Участок развития гравитационно-абразионных процессов (между двумя островами в Печгубе, оз. Имандра)

В целом, на участке «Имандровский» заметной активизации опасных ЭГП со времени прошлого обследования (2006 г.) не выявлено, все зафиксированные проявления характеризовались слабой активностью и не оказывали существенного влияния на населенные пункты и другие хозяйственные объекты, находящиеся в зонах их непосредственного или потенциального развития.

Республика Коми. В 7-ом микрорайоне г. Воркуты, застроенном в 1970-80 гг., на Шахтерской набережной (левый берег р. Воркуты), сформировался весьма крупный оползень протяженностью 400 м и высотой до 40 м (рис.11). На участке складывается опасная ситуация для жилых домов, расположенных в непосредственной близости от оползня. Детальные работы по изучению оползня проводились в 2007-2008 гг. (рис.12,13).

Рис.11. Обрыв, возникший в результате развития оползня, Шахтерская набережная, г. Воркута

Рис.12. Трещины в асфальтовом покрытии Шахтерской набережной (24.04.2007 г.)

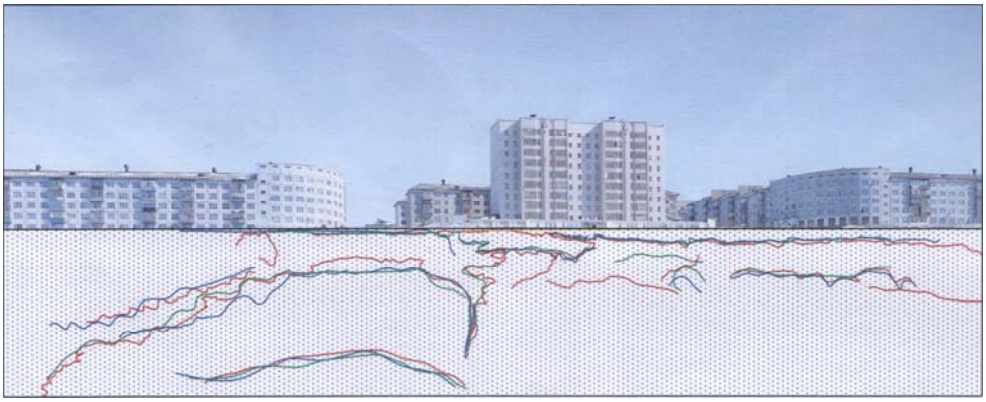

Съемка от 04.05.07г. Съемка от 04.06.07г. Съемка от 26.06.07г.

Рис.13. Контуры границ уступов оползня в различные моменты времени (составлен Геокриологической службой Республики Коми)

В августе 2017 г. обследовалась территория 7-го микрорайона г. Воркуты в районе ул. Шахтерская набережная. Влияние техногенных факторов, сыгравших существенную роль в масштабности и активности развития оползневого процесса, практически не изменилось. Участок оползневого склона характеризуется относительной стабилизацией (рис.14). В центральной части оползня визуально фиксировалось постепенное уменьшение размеров ранее сформировавшегося оползневого тела в результате речной эрозии (размыв тела оползня). Также отмечалось затухание овражной эрозии: бровки и склоны задернованы, в верхней части территория спланирована (рис.15).

Рис.14. Зарастающая кустарником поверхность оползня

Рис.15. Задернованные склоны слева и справа от основного тела оползня

Отмечалась незначительная деформация горных пород в теле оползня, что приводит к разрушению бетонного ограждения (рис.16), растрескиванию асфальтового покрытия проезжей части и пешеходной дорожки на ул. Шахтерская набережная (рис.17).

Рис.16. Смещенные железобетонные блоки в центральной части оползня

Рис.17. Трещины на автодороге и пешеходной дорожке на ул. Шахтерская набережная

Ненецкий автономный округ. В районе г. Нарьян-Мара развитие ЭГП отмечалось на нескольких участках вдоль строящейся автодороги Нарьян-Мар – Усинск.

На участке № 1 в пределах аккумулятивных сильно заболоченных и заозеренных равнин (абс. отм. – до 30 м), где развиваются, в основном, заболачивание, термоэрозионный и эрозионные процессы по берегам водотоков, термоабразия и абразия по берегам озер, выявлено 2 проявления гравитационно-эрозионных процессов (рис. 18).

На участках №№ 2 и 3 в пределах аккумулятивных и денудационно-аккумулятивных равнин (абс. отм. – до 50 м) развиваются, в основном, термокарст, заболачивание, термоэрозионные процессы, дефляция.

Рис. 18. Участок развития гравитационно-эрозионных процессов у строящейся автодороги Нарьян-Мар – Усинск

В условиях техногенеза наблюдается активизация термокарстового процесса, косвенным доказательством чего является образование небольших вытянутых

вдоль дороги озер, участков заболачивания. На площади карьерных разработок ПГС формируются котловины выдувания.

На участке № 2 зафиксированы проявления дефляции (рис. 19), заболачивания (рис. 20) и овражной эрозии (рис. 21).

Рис. 19. Участок развития дефляции (техногенно-нарушенные условия)

Рис. 20. Участок активного развития заболачивания

Рис. 21. Обрушение укрепляющих склон конструкций и металлических ограждений

На участке № 3 зафиксированы проявления криогенного пучения (рис. 22), оползневого процесса и дефляции (рис. 23).

Рис. 22. Участок активного развития криогенного пучения

Рис. 23. Участок развития дефляции

Активизация опасных ЭГП на территории других субъектов СЗФО в 3 квартале не зафиксирована.

1.3. Южный федеральный округ

Республика Адыгея. В 3 квартале было выявлено 48 активных проявлений ЭГП, в том числе 33 оползневых проявления и 15 обвалов. Активность процессов была низкой и средней.

Значительная (сильная) оползневая активизация была отмечена, в основном, на Гузерипльской площади, где ежегодно оползневой процесс и эрозия временных водотоков приводит в негодность несколько километров автодороги п. Гузерипль – ур. Лаго-Наки. Это связано с пересечением трассой сложных для инженерных сооружений комплексов горных пород (тонкослоистые аргиллиты, зоны повышенной трещиноватости и перемятия горных пород), многие участки значительно обводнены. Было отмечено несколько участков дороги с деформациями полотна автодороги (рис. 24).

Рис. 24. Участок деформации дорожного полотна автодороги п. Гузерипль – ур. Лаго-Наки в результате активизации оползневого процесса

Краснодарский край. В 3 квартале было выявлено 70 проявлений ЭГП, в том числе 61 оползневое проявление и 9 обвалов. В подавляющем числе случаев наблюдающаяся активность процессов была низкой или средней.

В Адлерском районе г. Сочи, в п. Эсто-Садок, на территории, примыкающей к спортивному объекту «Комплекс трамплинов К-125», образовался активный оползень блоково-консистентный, в нижней части – оползень-поток (рис. 25). Он является вторичным образованием на теле древнего оползневого массива площадью около 20 тыс.м^2. Основными факторами образования оползня являлись: техногенные изменения рельефа северного склона хр. Аибга; присутствие в геологическом разрезе аргиллитоподобных сланцев с низкими прочностными характеристиками; повышенное по сравнению со среднемноголетними значениями количество атмосферных осадков, выпавших в зимне-весенний период 2017 г. В весенний период 2017 г. во время активного снеготаяния прошли сильные ливни, что привело к переувлажнению пород зоны выветривания, слагающих склон.

В Адлерском районе г. Сочи, на участке автодороги Нижняя Шиловка – Ахштырь активизировался оползень шириной 70 м, длиной 100 м, высота стенки срыва – 3 м. В результате активизации оползневого процесса произошло оползание грунта из-под бетонного покрытия автодороги (разрушен 1 м подушки автодороги) (рис. 26).

В Адлерском районе г. Сочи, в п. Нижняя Шиловка активизировался оползень, шириной около 70 м (в головной части шириной 20 м), высота оползневой ступени – 0,4 м. В результате оползневой активизации было разрушено

полотно автодороги (1 полоса), на второй полосе зафиксированы значительные деформации (до 30 см высотой) (рис. 27).

В Адлерском районе г. Сочи, на участке автодороги Нижняя Шиловка – Ахштырь обвал глыб песчаников перекрыл половину ширины полотна автодороги (рис. 28). Объем обвала составил 30 м^3.

Рис. 25. Участок активизации оползневого процесса на территории, примыкающей к спортивному объекту «Комплекс трамплинов К-125», п. Эсто-Садок

Рис.26. Участок активизации оползневого процесса на автодороге Нижняя Шиловка – Ахштырь, Адлерский район г. Сочи

Рис. 27. Участок оползневой активизации в п. Нижняя Шиловка

Рис. 28. Обвал на участке автодороги Нижняя Шиловка – Ахштырь

Астраханская область. По данным гидрометеорологического мониторинга, период характеризовался температурой около нормы, а в августе – выше нормы на 2,4-5,6^{o}С. Осадков выпало около нормы, а в августе наблюдался их дефицит.

На территории области наблюдаются, преимущественно, оползневой и обвальный процессы, развивающиеся, в основном, по правому берегу Волги и берегам Волго-Ахтубинской поймы, а также карстовый процесс в районе оз. Баскунчак. Всего в 2017 г. зафиксировано 30 активных проявлений: 8-карстового процесса, 4 – оползневого, 18 – обвально-осыпных. Региональная активность оценена как средняя.

Активный оползневой процесс зафиксирован только на правом берегу Волго-Ахтубинской долины. В пределах Правобережного участка, охватывающего правый берег Волги от границы с Волгоградской областью до с. Сергиевка в дельте, были активны 2 оползня: южнее н.п. Черный Яр (рис.29) и в н.п. Пришиб (рис.30), общей

протяженностью 5,66 км. На флангах оползней имеются подвижки по прошлогодним и более ранним ступеням, а также обвалы в головной части оползней, по ранее сформированным трещинам отрыва. На детальных участках активны 2 оползня. На Никольском участке и западнее протяженность участка берега с активным развитием оползневого процесса составила 4,6 км со средним отступанием берега 8,4 м. На участке Сергиевка отступание берега составило 2,0-4,5 м.

Рис. 29. Участок активного развития обвально-осыпных процессов у п. Черный Яр

Рис. 30. Участок активного развития обвально-осыпных процессов у п. Пришиб

Наиболее значительные разрушения берега наблюдались в районе с. Никольское и с. Сергиевка. На Никольском участке и непосредственно западнее протяженность оползневого берега составила 4,6 км со средним отступанием берега 8,4 м (рис.31), сокращение территории бывшего консервного завода составило от 2,3 до 20,4 м (0,015 км²). На участке Сергиевка отступание берега составило от 2,0 до 4,5 м (рис.32). В с. Сергиевка среднее отступание берега составило 3,6 м, существует угроза обрушения опор ЛЭП.

На правом берегу Волго-Ахтубинской долины зафиксировано 11 обвально-осыпных проявлений. 8 обвально-осыпных проявлений общей протяженностью 11,3 км зафиксированы на Правобережной площади: в северной части участка возле н.п. Солодники, Ступино; в средней части участка севернее н.п. Копановка, Енотаевка, Владимировка, Косика, Ленино и на юге участка в с. Бахтемир. 3 активных обвально-осыпных проявления общей протяженностью 2,85 км были также зафиксированы в н.п. Копановка, Владимировка, Замьяны.

Рис. 31. Участок активизации оползневого процесса в районе с. Николькое

Рис. 32. Участок активизации оползневого процесса в с. Сергиевка

На левом берегу Волго-Ахтубинской поймы зафиксированы 6 обвально-осыпных проявлений общей протяженностью 6,0 км на участках: Разночиновка, Бузанский мост и Петропавловка.

Еще 1 обвально-осыпное проявление протяженностью 0,2 км зафиксировано в г. Ахтубинске. Между улицами Франко и Фадеева обвальным процессом затронуты территории частных домовладений. Основным фактором активизации является жилая застройка прибрежной полосы, сброс сточных вод (рис. 33).

На участке Нижнебаскунчакский площадью 1,44 км^2 из 38 зафиксированных карстовых проявлений 8 были активны (рис.34).

Рис. 33. Участок развития обвально-осыпных процессов, г. Ахтубинск, Астраханская область

Рис. 34. Участок активного развития карстового процесса, Астраханская область

Волгоградская область. Наблюдения за опасными ЭГП, представленными обвальными и оползневыми проявлениями, проводятся вдоль береговых зон Волгоградского и Цимлянского водохранилищ. По данным гидрометеорологического мониторинга, период характеризовался температурой воздуха около нормы, а в августе – выше нормы на 2,4-5,6^{o}С. В большинстве районов наблюдался дефицит осадков.

Уровенный режим Волгоградского водохранилища превышал значения НПУ во второй половине июня - начале августа на 0,04-0,20 м. Уровень Цимлянского водохранилища был значительно ниже НПУ.

На Волгоградском водохранилище наибольшему разрушению подвержен левый берег, относящийся к Прикаспийской низменности. Здесь в береговой полосе было зафиксировано 20 обвальных зон с высокой и средней активностью процессов (рис.35), общей площадью 0,11185 км^2 и протяженностью 16,06 км (в 2016 г – 25,84 км). Региональная активность оценена как высокая (38,6 %). Среднее отступание берега составило 1,57 м. Активизации оползневого процесса не зафиксировано. Активность низкая.

На правом берегу, в пределах Приволжской возвышенности, было выявлено 14 активных проявлений (рис. 36) общей площадью 0,02957 км^2 и протяженностью 2,87 км (в 2016 г. – 4,6 км). Активность процессов была средней (10,6 %). Среднее отступание берега составило 0,45 м. Общая площадь оползневого берега составляет 0,0618 км^2 (с активизацией – 0,00192 км^2). Активность была низкой (3,1 %).

На Цимлянском водохранилище также наибольшая активность процессов характерна для левого берега (Ергенинская возвышенность), активными были 6 обвальных зон (рис. 37) общей площадью 0,013435 км^2 и интервалом 5,59 км (2016 г. – 7,31 км). Активность была средней (14,6 %). Среднее отступание берега составило 2,3 м. Протяженность оползневого берега – 4,1 км. Оползни развиты на площади 0,082 км^2, были активны на площади 0,0325 км^2. Оползневая активность была высокая (39,6 %).

Рис.35. Участки активного развития обвального процесса на берегу Волгоградского водохранилища

Рис.36. Участок развития оползневого процесса на правом берегу Волгоградского водохранилища

Рис.37. Участок развития обвального процесса на левом берегу Цимлянского водохранилища

На правом берегу водохранилища (Доно-Донецкая возвышенная равнина) активизации обвального и оползневого процессов не зафиксировано. Активность была низкая. Среднее отступание берега составило 0,04 м.

Всего в 2017 г. выявлено: 40 активных обвальных проявлений общей протяженностью 23,22 км и 2 оползневых проявления протяженностью 1,42 км. Региональная активность обвального процесса, в целом по Волгоградской области, оценивается как средняя (20,6 %), оползневая активность – средняя (13 %).

Негативное воздействие процессов зафиксировано в д.п. Винновка Городищенского района и х. Веселый Котельниковского района (рис. 38, 39).

Рис. 38. Участок развития оползневого процесса в с. Винновка, Городищенский район

Рис. 39. Участок развития обвально-осыпных процессов в х. Веселый, Котельниковский район

Ростовская область. На территории области было выявлено 61 проявление ЭГП, в том числе 21 оползневое проявление и 40 обвалов. Следует отметить значительную неравномерность распределения проявлений ЭГП по территории. Максимальное количество активных проявлений наблюдалось вдоль побережий Таганрогского залива и Цимлянского водохранилища. Значительно меньшее количество оползней и обвалов зафиксировано по бортам долины р. Дон и на берегах Веселовского водохранилища.

Несмотря на то, что текущий год оказался для области более засушливым, чем 2016 г., степень активности обвального и оползневого процессов на участке Весело-Вознесенский (на северном побережье Таганрогского залива) и участке Алдабульский (на южном побережье Цимлянского водохранилища) не уменьшилась и оставалась высокой, на локальных участках – очень высокой.

В целом на территории ЮФО в 3 квартале зафиксирован 222 случая активизации опасных ЭГП, в т.ч. оползней – 80, обвалов и осыпей – 113, проявлений карстового процесса – 8.

1.4. Северо-Кавказский федеральный округ

В пределах округа наблюдаются оползневой, обвально-осыпные процессы, процесс подтопления. Комплекс неблагоприятных метеоусловий в весеннее-летний процессоопасный период и в начале осеннего периода вызвал активизацию ЭГП на территории практически всех субъектов СКФО, при этом большинство проявлений сформировались в весенне-летний период.

Активность оползневого процесса была средняя, за исключением области средне-низкогорного рельефа мегантиклинория Большого Кавказа в пределах Чеченской Республики, где зафиксирована высокая активность оползневого процесса.

Активность обвально-осыпных процессов была низкая, за исключением областей среднегорного и высокогорного рельефа мегантиклинория Большого Кавказа в пределах территории Республики Дагестан и Республики Северная Осетия – Алания, где зафиксирована средняя активность.

В целом, на территории округа в 3 квартале выявлено 482 проявления ЭГП: 445 – оползневого процесса, 33 – обвально-осыпных процессов, 3 проявления процесса подтопления, 1 проявление суффозионного процесса.

Большая часть проявлений на территории округа активизировалась в весенне-летний процессоопасный период. Основными факторами активизации ЭГП на территории округа являются гидрометеорологический и техногенный.

В пределах **Республики Дагестан** активность оползневого процесса в третьем квартале оценивается как средняя. Всего выявлено 23 оползневых проявления: в Приморско-Дагестанской области – 1 проявление, в Предгорной – 10 проявлений, в Среднегорной – 7 проявлений, в Высокогорной – 5 проявлений. В результате активизации оползневого процесса разрушения и деформации отмечены в 4 населенных пунктах и на 11 хозяйственных объектах. Основные факторы активизации оползневого процесса – атмосферные осадки и техногенный фактор.

Активность обвально-осыпных процессов в 3 квартале оценивается как средняя. Было выявлено 6 активных обвально-осыпных проявлений: в Среднегорной области – 1 проявление, в Высокогорной – 5. От воздействия обвально-осыпных процессов пострадало 5 хозяйственных объектов. Основные факторы активизации – атмосферные осадки и техногенный фактор.

В 3 квартале также зафиксировано 1 активное проявление суффозионного процесса, активность процесса оценивается как низкая.

Республика Ингушетия. На территории республики выявлено 37 активных оползневых проявлений, оказавших воздействие на 22 народнохозяйственных объекта. Воздействию подверглись ст. Вознесенская, с. Галашки, с. Даттых и г. Старый Малгобек, а также участки автодорог ст. Вознесенская – г. Моздок, ст. Вознесенская – г. Ст. Малгобек, с. Галашки – с. Мужичи и др. Было разрушено 0,335 км автодорог (0,117 км – дорог с покрытием, 0,218 км – дорог без покрытия).

Активность оползневого процесса в области средне-низкогорного рельефа мегантиклинория Большого Кавказа и в области низкогорного рельефа (Терский хребет) Скифской плиты оценивается как средняя. Основным фактором развития ЭГП на территории Республики является климатический в комплексе с техногенной составляющей, чем и объясняется развитие большинства оползневых проявлений вдоль автодорог.

Кабардино-Балкарская Республика. В результате схода селевых потоков 14-15 августа, вызвавших ЧС, была зафиксирована активизация на двух оползневых участках в правом борту р. Герхожансу. В долинах р.р. Адылсу и Баксан активизации наблюдаемых типов ЭГП после схода селевого потока и наносоводного паводка не выявлено.

Проявления наблюдаемых ЭГП в 3 квартале характеризовались средней активностью, что, однако обусловило в ряде случаев негативное воздействие на отдельные народнохозяйственные объекты. От воздействия ЭГП пострадало 9 участков грунтовых и шоссейных автодорог, общей протяжённостью 490 м.

Активизация оползневых проявлений отмечена в пределах северного склона Большого Кавказа, в областях высокогорного и средне-низкогорного рельефа. Активность оползней зафиксирована на Верхне-Балкарском, Безенгийском, Верхне-Чегемском и Тырныаузском участках, а также на участках Верхняя Балкария и Бузулган. Всего выявлено 8 участков активизации оползневого

процесса на пунктах наблюдательной сети. Вне наблюдательной сети, в долине р.Малка, зафиксированы 4 участка активности. От воздействия оползней пострадало 6 участков автодорог, общей протяжённостью 440 м. Активность оползневого процесса, в целом по территории, оценивается как средняя. Основной фактор активизации ЭГП – гидрометеорологический: выпадение большого количества осадков в отдельных районах в горной и предгорной зонах.

В левом борту р. Малка были отмечены признаки активности на оползне размерами около 400×100 м, развитого на теле древнего оползня, размерами порядка 550×150 м, язык которого спускается на левую террасу р. Малка (рис.40). Было деформировано около 50 м автодороги. Факторы активизации – геологический (трещиноватость коренных пород, обводненность), техногенный (подрезка и пригрузка склона при строительстве автодороги).

Активность обвально-осыпных процессов на территории республики в 3 квартале зафиксирована в пределах северного склона Большого Кавказа, в областях высокогорного и средне-низкогорного рельефа: на Верхне-Балкарском и Верхне-Чегемском участках (2 обвальных участка), а также вне пунктов наблюдательной сети – в долинах р. Тызыл и р.Малка (2 обвальных участка). От воздействия обвалов пострадало 3 участка автодорог, общей протяжённостью 50 м. В целом, по территории, активность обвального процесса оценивается как низкая. Факторы активизации гравитационных процессов – гидрометеорологические (атмосферные осадки) и техногенные.

В правом борту р. Чегем, в 850 м ниже устья р. Абардансу, произошёл обвал верхнего откоса дороги на участке размерами 25×12 м (рис.41).

Рис. 40. Оползень на участке автодороги Кисловодск – Долина нарзанов – Джилысу (правая боковая плоскость смещения оползня проходит через два витка серпантина дороги) (22.09.2017)

Рис. 41. Обвальными массами в правом борту р. Чегем был частично перекрыт участок (35 м) грунтовой автодороги Лечинкай – Булунгу (11.09.2017)

Объем переместившихся масс – до 130 м^3. Было частично перекрыто около 35 м грунтовой автодороги Лечинкай – Булунгу. Вероятные факторы активизации – метеорологический, техногенный (движение автотранспорта).

Карачаево-Черкесская Республика. На территории республики зафиксировано 35 участков активного развития оползневого процесса.

В пределах Скифской плиты наибольшая оползневая активность отмечена на Ставропольской возвышенности, где было выявлено 8 участков активизации

оползневого процесса. В области аллювиальных равнин Предкавказья зафиксировано 4 активных оползневых проявления.

В пределах мегантиклинория Большого Кавказа наибольшее число участков активизации оползневого процесса (21) приурочено к области межгорной северо-юрской депрессии. Большинство активных оползневых проявлений (9) зафиксировано в откосах автодороги Кисловодск – Карачаевск. В области средне-низкогорного рельефа активизация оползневого процесса отмечена в районе с. Красный Восток и в низовом откосе автодороги Кисловодск – Усть-Джегута. В области высокогорья развития оползней не зафиксировано.

В пределах Красногорского участка, охватывающего крупный долгоживущий оползневой массив в правом борту долины р.Кубань, отмечено 2 активных оползневых массива, приуроченных к верховому откосу автодороги Черкесск – Домбай (рис.42, 43). Активизация оползневого процесса связана с подрезкой склона при реконструкции участка автодороги и строительстве противооползневых сооружений, прокладкой технологических автодорог в нижней части склона.

Рис. 42. Трещины отрыва в верховом откосе автодороги Черкесск – Домбай (Красногорский участок)

Рис. 43. Активный оползневой массив в верховом откосе автодороги Черкесск – Домбай (Красногорский участок)

В низовом откосе автодороги Красный Восток – Эльтаркач был отмечен активный участок развития оползневого процесса шириной 85 м. В оползневые смещения вовлечена бровка низового откоса автодороги с бетонными отбойниками (рис. 44).

На восточной окраине с. Чапаевское была зафиксирована активизация оползневого процесса в контурах 2 ранее выявленных оползневых массивов шириной от 40 до 100 м и длиной до 100 м. Объем отложений, вовлеченных в оползневые смещения, составляет от 6 до 96 тыс.м^3 (рис. 45).

В а. Сары-Тюз выявлена активизация 2 крупных долгоживущих оползневых массивов площадью 13300 и 12500 м^2, соответственно, расположенных на восточной окраине села (рис. 46, 47).

В целом, активность оползневого процесса на территории республики оценивается как средняя, но ниже показателей, наблюдавшихся в аналогичный период 2016 г.

Рис. 44. Участок активизации оползневого процесса в низовом откосе автодороги Кисловодск – Усть-Джегута

Рис. 45. Трещины растяжения в средней части оползневого массива на восточной окраине с. Чапаевское

В 3 квартале на территории республики зафиксировано 1 активное обвально-осыпное проявление в области высокогорного рельефа мегантиклинория Большого Кавказа, приуроченное к верховому откосу автодороги Новая Теберда – Домбай. От обвально-осыпных процессов пострадало 0,075 км автодорог с твердым покрытием. В целом, активность обвально-осыпных процессов на территории республики оценивается как низкая.

Рис. 46. Приращение крупного долгоживущего оползневого массива в головной части на восточной окраине с. Сары-Тюз

Рис.47. Развитие блоково-консистентных оползней 2 порядка в языковой части долгоживущего оползневого массива на восточной окраине с. Сары-Тюз

Также отмечалось развитие процессов подтопления в области межгорной северо-юрской депрессии мегантиклинория Большого Кавказа, в областях аллювиальных равнин Предкавказья и Ставропольской возвышенности (Скифская плита). Всего зафиксировано 3 активных проявления. В целом, активность процессов подтопления на территории республики оценивается как низкая.

В юго-восточной части а. Новая Теберда по ул. Горная отмечалось развитие процесса подтопления с замачиванием фундаментов жилых домов и

полуподвальных помещений. В пределах Прикубанского участка активное развитие процесса подтопления было зафиксировано на ранее выявленном участке в районе свх. Горный. Площадь подтопленных сельскохозяйственных земель составляет около 0,6 км^2. В юго-западной части п. Эркен-Шахар развитие процессов подтопления установлено в районе улиц Пионерская, К. Мижевой и Элеваторная (рис.48).

Рис. 48. Высачивание грунтовых вод в районе домовладений по ул. Пионерская в п. Эркен-Шахар

Активность ЭГП на территории Карачаево-Черкесской Республики определяется метеорологическим, гидрологическим, сейсмическим и техногенным факторами.

Республика Северная Осетия–Алания. Особенностями развития ЭГП в 3 квартале можно назвать неравномерное распределение активных проявлений по высотно-климатическим зонам республики. В частности, отмечено существенное снижение количества активных оползней в зоне Южного склона (Заккинский участок), где средний уровень оползневой активности до настоящего времени был существенно выше, чем на примыкающих площадях. Основной причиной этого является, по-видимому, значительный дефицит осадков в этой зоне, как в тёплый, так и в холодный период, а также снижение техногенного воздействия и повышение уровня инженерной защиты объектов. Отмечено сокращение числа образовавшихся проявлений ЭГП, а на отдельных участках – полное отсутствие наблюдаемых процессов (Адайкомский и Верхне-Мамисонский участки).

Всего на территории республики выявлено 18 активных оползневых проявлений. Все выявленные активные проявления относятся к мелким и средним. Крупных и катастрофических проявлений ЭГП, которые нанесли значительный ущерб населенным пунктам и хозяйственным объектам или создали ЧС, не выявлено.

Наиболее значительными оползневыми проявлениями можно назвать Дур-Дурские оползни, которые являются причиной возникновения крупных паводков и селей и интенсивного развития речной эрозии, что в свою очередь, создало угрозу воздействия на техногенные объекты и земли различного назначения ниже по долине.

В целом, активность оползневого процесса была несколько ниже, чем за аналогичный период 2016 г., но сохранялась близкой к среднему уровню.

Активность обвально-осыпных процессов оценивается как средняя, всего выявлено 20 обвально-осыпных проявлений в пределах мегантиклинория Большого Кавказа. Основной фактор активизации обвально-осыпных процессов на территории республики – метеорологический. Ливневые дожди, прошедшие в июле, стали причиной достаточно широкого развития обвально-осыпных процессов, причём возросло, в основном, число разовых крупно-глыбовых обвалов, в то время как активность осыпных и оползневых проявлений почти не изменилась. Дефицит осадков в последующем периоде привёл к существенному снижению обводнённости грунтов и значительному сокращению расхода рек, вплоть до полного пересыхания многих водотоков, которые до этого времени считались постоянными. Таким образом, предпосылок для значительной активизации ЭГП за счёт гидро- и метеофакторов не было. Экстремального проявления других факторов развития ЭГП в высокогорной зоне республики в 3 квартале также не было: сейсмический фон был спокойным, техногенная нагрузка на геологическую среду, по сравнению с предшествующим периодом, значительно снизилась.

В **Ставропольском крае** в 3 квартале выявлено 75 оползневых проявлений. От воздействия оползневого процесса пострадали автодороги с покрытием (0,308 км), автодороги без покрытия (0,2 км), газопроводы (0,075 км), ЛЭП (0,07 км) и сельскохозяйственные земли (1,2 га). В целом по краю, активность оползневого процесса оценивается как низкая, средняя активность зафиксирована лишь на отдельных участках в пределах Ставропольской возвышенности. Основными факторами активизации являются: гидрометеорологический и техногенный (пригрузка склонов насыпными грунтами, подрезки склонов при проведении строительных работ и др.).

В пределах г. Ставрополь на «Ташлянском» участке в результате активизации оползневого процесса отмечались деформации ряда жилых домов и хозяйственных построек (рис.49), были деформированы газопровод на участке длиной 25 м и участок автодороги с покрытием длиной 50 м (рис.50).

Рис. 49. Деформация оползнем хозяйственных построек, Ташлянский участок, г. Ставрополь

Рис.50. Деформированный в результате активизации оползня участок полотна автодороги (50 м), Ташлянский участок, г. Ставрополь

В с. Татарка в результате воздействия оползневого процесса были деформированы автодорога без покрытия (50 м) и автодорога с покрытием (70 м) (рис.51)

В г. Пятигорске (п. Свобода) в результате активизации оползня в весенне-летний процессоопасный период отмечалось воздействие на автодорогу без покрытия на участке длиной 50 м (рис.52) по ул. Матросова, газопровод (50 м) и водовод (50 м). В зоне риска находятся жилые дома №36, 38, 40 по ул. Матросова.

Рис.51. Деформированные оползнем участок автодороги (70 м), Татарский участок

Рис.52. Языковая часть оползня, перекрывшая участок автодороги (50 м), г. Пятигорск

В г. Кисловодске активные оползневые проявления были выявлены в верховьях р. Белой, на северных склонах г. Малое Седло. Здесь в результате пригрузки склонов техногенными грунтами (изъятыми из котлованов строящихся сооружений верхнего спортивного комплекса филиала ФГБУ «Юг-Спорт») отмечалась активизация оползневого процесса как в бортах техногенных отвалов, так и в подстилающих склоновых отложениях (рис.53). Суммарная площадь активизации составила 11994 м^2, оползневой процесс оказал воздействие на земли сельхозназначения (1,2 га). Основной фактор активизации – техногенный.

Рис.53. Активизация оползневого процесса в пределах техногенных отвалов и древнеоползневых склонов, верховья р. Белой, г. Кисловодск

На территории **Чеченской Республики** в 3 квартале активность оползневого процесса оценивается как высокая. Было выявлено 245 активных оползневых

проявлений, большая часть которых зафиксирована в подобласти низкогорного рельефа средне-низкогорной области мегантиклинория Большого Кавказа. Основным фактором активизации ЭГП на территории республики является климатический в комплексе с техногенной составляющей.

Активность обвально-осыпных процессов в 3 квартале оценивается как низкая, всего выявлено 2 активных проявления в области средне-низкогорного рельефа мегантиклинория Большого Кавказа. Подвержены воздействию обвально-осыпных процессов оказались автодорога с. Памятой – с. Мускали (осыпью объемом смещенных масс 562,5м^3 было перекрыто полотно дороги на участке длиной 6 м) и автодорога с. Хал-Килой – с. Нижний-Дай (осыпными массами объемом 6300 м^3 было перекрыто полотно дороги на участке длиной 70 м). Основные факторы активизации обвально-осыпных процессов – атмосферные осадки и техногенный фактор.

На территории республики было выявлено 203 объекта, испытавших воздействие опасных ЭГП, в том числе воздействию ЭГП подверглись 37 населенных пунктов, в которых отмечались деформации домовладений, линейных сооружений. ЭГП оказали воздействие на 6,465 км автодорог (3,635 км – с покрытием, 2,83 км – без покрытия), было деформировано 0,487 км газопровода, 0,109 км каналов и 0,32 км ЛЭП.

1.5. Приволжский федеральный округ

В 3 квартале количество осадков и значения температур были близки к среднемноголетнему уровню. Активность ЭГП в региональном плане, в целом, была на уровне средних значений. В некоторых субъектах округа отмечались случаи воздействия ЭГП на населенные пункты, земли и хозяйственные объекты, сопровождавшиеся незначительным ущербом.

На территории **Чувашской Республики**, в г. Чебоксары, 7 июля произошла активизация оползневого процесса, связанная с проливными летними дождями, выпадавшими в конце июня - в начале июля. В результате оползневых смещений грунтов обрушился двухэтажный нежилой кирпичный дом и баня. Дальнейшие оползневые смещения могут привести к обрушению соседнего дома по ул. Мясокомбинатский проезд, д. 79 А.

Факторы развития оползневого процесса – проливные дожди и неисправные подземные водонесущие коммуникации, проложенные без должного согласования и с нарушениями технических условий. Были приняты меры по отводу ливневых вод.

В **Пермском крае** продолжались процессы проседания земной поверхности в пределах Вятско-Камского месторождения калийных солей, в пределах которого к настоящему моменту затоплено 2 калийных рудника (БКПРУ-1 и БКРУ-3) в г. Березники, а с ноября 2014 г. еще 1 рудник (СКРУ-2) в г. Соликамске находится в процессе затопления.

В г. Березники к 3 кварталу 2017 г. над отработанным пространством рудника БКПРУ-1 зафиксировано 5 крупных провальных форм (провал на руднике 28.07.07, провал на железнодорожной станции 25.11.10, провал севернее АБК БСШУ 04.12.11, провал 17.02.15 в пределах ППП и 1 провал меньшего размера,

выявленный 22.03.17) (рис.54, 55). В целом, процесс развивается здесь равномерно, без активизаций.

Рис. 54. Провальные воронки №5 на БКПРУ-1, по состоянию на лето 2017 г., г. Березники, Пермский край

Рис.55. Мульда оседания в пределах южной части ППП, по состоянию на лето 2017 г., г. Березники, Пермский край

В г. Соликамске было выявлено, что основной прирост размеров воронки, образовавшейся 18.11.2014 г., в пределах шахтного поля СКРУ-2, осуществляется за счет обрушения северного и западного бортов (рис.56, 57). С целью минимизации последствий ПАО «Уралкалий» осуществляет подачу в воронку глинистого раствора. Территория в окрестностях провала оцеплена.

а)

б)

Рис.56. Провал на СКРУ-2: а) на момент образования в 2014 г., б) на 03.04.2017 г., г. Соликамск, Пермский край

Рис.57. Провал на СКРУ-2, по состоянию на сентябрь 2017 г., г. Соликамск, Пермский край

В **Кировской области** на участке склона р. Вятка в г. Вятские Поляны, где было выполнено берегоукрепление в виде габионов с засыпкой гравием, у подножия берегоукрепления в отсыпке из крупных камней отмечены промоины напротив труб-сливов в берегоукреплении.

На участке левобережного склона р. Кама северо-восточнее с. Лойно Верхнекамского района были отмечены небольшие оползневые смещения грунта с глубиной захвата до 0,5 м. Расстояние от бровки склона р. Кама до жилых домов составляет от 5 до 15-30 м, до расположенных рядом с бровкой склона ЛЭП – 2-3 м.

На 50 км Кирс – Южаки (в районе с. Лойно), проходящей вдоль левого берега р. Камы, где в июне 2014 г. произошел блоковый оползень, в результате которого обрушилась обочина и часть асфальтового дорожного покрытия длиной 20 м. Превентивные мероприятия по засыпке аварийного участка крупногабаритным строительным материалом, глиной, песком, положительных результатов не дали. Оползневой процесс продолжает развиваться, как на аварийном, так и на сопредельных участках.

На территории **Нижегородской области** активизация оползневого процесса наблюдалась 6 июля на левом борту Зеленского съезда в г. Нижнем Новгороде (рис.58,59). Размеры оползня – длина 28 м, ширина – 8 м, мощность смещенных пород – 0,5 м, крутизна борта Зеленского съезда – 70 град. Причиной явилось переувлажнение грунтов во время ливневых дождей. Автомобильное движение на Зеленском съезде днем 6 июля было перекрыто в связи с расчисткой проезжей части от оползневых масс. Жертв и пострадавших нет.

Рис. 58. Участок активизации оползневого процесса на левом борту Зеленского съезда, г. Нижний Новгород (6.07.2017)

Рис.59. Принятие мер по ликвидации последствий активизации оползня, Зеленский съезд, г. Нижний Новгород

В **Самарской области** был выявлен новый карстовый провал воронкообразной формы, образовавшийся в конце апреля в г. Самаре на проезжей части автодороги, на пересечении улиц Дачная и Первая Белорецкая. Глубина провала составила 1,2 м, диаметр – 2,5 м. В сентябре провал был засыпан. Основными причинами активизации процесса явились геологическое строение, климатические условия и техногенный фактор.

В **Саратовской области** в г. Вольске, на оползневом участке «Городской», в июле отмечались небольшие трещины полотна дороги и насыпного грунта. В сентябре отмечались просадки до 0,3 м по трещинам, отмеченным ранее, что свидетельствует об активизации оползневого процесса.

На участках в г. Саратове наблюдалась активность на шести оползнях «Сиреневый», «Нефтяной», «Пчелка», «Новопчелка», «Питомник» и «Зональный». Весной на участке «Зональный» была зафиксирована трещина, по которой в сентябре произошла активизация, выраженная в обрушении блока, приведшая к разрушению дома и дачной постройки. На пяти участках отмечались медленные смещения и образование новых трещин. На «Нефтяном» оползне отмечалось также медленное разрушение подпорной стенки.

1.6. Уральский федеральный округ

Курганская область. Основными геологическими процессами, приводящими к негативному воздействию на здания и сооружения, а также к нарушению жизнедеятельности населения, являются подтопление, овражная эрозия, оползневой и просадочный процессы. Малое количество осадков в 3 квартале не способствовало активному развитию опасных ЭГП. Активизация гравитационно-эрозионных процессов наблюдалась в п. Рябково г. Кургана.

Свердловская область. Основными геологическими процессами, приводящими к негативному воздействию на здания и сооружения, а также к нарушению жизнедеятельности населения, являются карстово-суффозионные процессы, подтопление, овражная эрозия, оползневой и обвально-осыпные процессы. В целом, на основе анализа климатических данных, температура воздуха в июле и сентябре была ниже нормы, количество осадков выпало в пределах среднемноголетней нормы. Активность ЭГП была средней.

На Деевском участке, расположенном в 28 км к северо-востоку от г. Реж, на площади 2,07 км^2 выявлено 28 проявлений покрытого карбонатного карста. В 25 карстовых воронках визуально следы активизации не наблюдались. В 3 проявлениях установлено активное поглощение поверхностных вод понорами диаметром 1,1-2,0 м, глубиной до 2,2 м. Развитие карстовых форм приводит к сокращению полезной площади сельскохозяйственных земель.

Тюменская область. Основными геологическими процессами, приводящими к нарушению жизнедеятельности населения, негативному воздействию на здания и сооружения, являются овражная эрозия, оползневой и осыпной процессы, подтопление территорий. В целом, на основе анализа климатических данных, температура воздуха в июле и сентябре была ниже нормы, количество осадков выпало в пределах среднемноголетней нормы.

В д. Старая Шадрина Упоровского района был зафиксирован суффозионный провал на левом береговом склоне р. Тобол (рис.60). Суффозионный процесс находился в стадии активного развития. Протяженность вдоль берега составила 175,5 м. Деформации подвергся участок грунтовой дороги, в результате чего обрушилась хозяйственная постройка (рис.61). Образование провала обусловлено естественными процессами: воздействием грунтовых вод, стоком бытовых вод и атмосферных осадков с поверхности земли и др.

Рис. 60. Суффозионный провал в д. Старая Шадрина

Рис. 61. Хозяйственная постройка, которая обрушилась в результате деформации участка дороги

Активность ЭГП в Упоровском районе была высокой, в других районах Тюменской области – средней.

Ханты-Мансийский автономный округ – Югра. В г. Ханты-Мансийске в 3 квартале были зафиксированы активные проявления суффозии на улицах Анны Коньковой, Комсомольская, Пионерская. На ул. Комсомольской пострадал легковой автомобиль. Причинами активизации суффозионного процесса могут являться проливные дожди, несоблюдение строительных норм при сооружении дорожного покрытия, утечки из водопроводных и канализационных сетей.

В Советском районе в результате проливных дождей также отмечалась активизация суффозионного процесса, в результате которой пострадали насыпи мостовых переходов через реки Картопья и Ейтья. В г. Нижневартовск, в садово-огородном товариществе «Энергетик» наблюдалась активизация гравитационно-эрозионных процессов в результате боковой эрозии р. Оби.

Челябинская область. Летний период характеризовался снижением активности в естественных условиях опасных ЭГП: гравитационных и карстово-суффозионных процессов, а также подтопления. Отмечалась активизация процессов под воздействием техногенных факторов.

На Копейском участке в летнюю межень 2017 г. установлена средняя активность техногенного подтопления, активизировавшегося вследствие прекращения шахтного водоотлива (рис.62, 63). На участке шахты Красная Горнячка депрессионная воронка заполнилась, уровни подземных вод вышли на естественные отметки. Прирост площади подтопленной территории за прошедший год был незначительным.

Активность процесса оседания над старыми горными выработками зависит как от естественных природных факторов (водности года), так и от непрогнозируемых техногенных: состояния крепи, горных ударов. На участке провала шахты № 23 существенных изменений не зафиксировано.

Активность комплекса гравитационных процессов, вызванная затоплением разреза Копейский, остается высокой. На бортах карьеров, имеющих значительную высоту, отмечены новые трещины бортового отрыва. Активизация оползневого процесса на участке АО «Копейский машиностроительный завод» угрожает

расположенным на борту карьера промышленным зданиям и предприятиям: по состоянию на 13.07.2017, минимальное расстояние от бровки отрыва до периметра предприятия составляло 9,2 м при высоте бровки отрыва до первой ступени – около 8 м.

Рис. 62. Затопленная территория между ул. Халтурина и Силовая в п. РМЗ г. Копейска, Челябинская область

Рис. 63. Подтопление на северной окраине п. Горняк г. Копейска, Челябинская область

На Янгельском участке была выявлена высокая активность карстово-суффозионных процессов в естественных условиях. Отмечено увеличение в плане старых карстовых воронок и появление новых в тальвеге оврага Большой Лог, на площади карбонатного массива (рис.64). Продолжали активно развиваться карстово-суффозионные процессы в пойме р. Янгельки, в зоне влияния одноименного водозабора г. Магнитогорска (рис. 65).

Рис. 64. Основная воронка и новый провал (на заднем плане) в тальвеге оврага Большой Лог на Янгельском участке, г. Магнитогорск, Челябинская область

Рис. 65. Участок активизации карстово-суффозионных процессов в пойме р. Янгельки, Челябинская область

На Мало-Кизильском участке была отмечена слабая активность карстово-суффозионных процессов на участке крупнейшего на территории округа Мало-Кизильского водозабора, эксплуатируемого для водоснабжения г. Магнитогорска.

Ямало-Ненецкий автономный округ. На территории г. Салехарда наибольшее развитие получили эрозионный и суффозионный процессы в грунтах нарушенного сложения, процесс подтопления на застроенных и застраиваемых территориях.

Суффозионные деформации выявлены на перекрестке улиц Чупрова и Маяковского – обнаружено 9 провалов (рис.66), на перекрестке улиц Мира и Титова, в районе мемориала участникам ВОВ, зафиксирована серия суффозионных провалов.

Рис. 66. Суффозионные провалы на перекрестке ул. Чупрова – ул. Маяковского, г. Салехард

В районе перекрестка ул. Чкалова – ул. Чапаева круглый год наблюдается подтопление территории. Причиной подтопления в теплый период и наледеобразования в холодный, являются как естественные факторы – наличие ложбины, аккумулирующей поверхностный сток, так и техногенные – утечки из водонесущих коммуникаций. Отвод дождевых и паводковых вод на участках старой застройки, в частном секторе, осуществляется по системе канав и бетонных желобов в кюветах вдоль улиц. У большинства старых зданий не обустроены либо нарушены водостоки, отмостки, нарушена система водопроводящих коммуникаций, происходят утечки, рядом со зданиями и под ними формируются техногенные водоемы (рис. 67), а в зимний период – наледи.

Подтопление территории также отмечается в районе гаражного массива на ул. Подшибякина, вблизи АТП. Причиной подтопления в теплый период и образования наледей в зимний период является сброс на рельеф воды из дренажного коллектора, проложенного вдоль ул. Подшибякина.

Активность процесса подтопления на отдельных участках застроенной территории г. Салехарда, оценивается как высокая. В основном, подтопление носит техногенный характер.

Активные проявления овражной эрозии были отмечены северо-западнее здания Администрации ЯНАО, за периметром территории парка Победы, а также вдоль обустраиваемой набережной р. Шайтанки на участке от моста «Факел» до строящегося храма. Развитие овражной эрозии связано с незавершенным строительством.

Активно развивался эрозионный процесс у западной границы территории Ямальского многопрофильного колледжа вдоль левого борта долины р. Шайтанки (рис.68), чему способствуют насыпные грунты на данном участке и сброс поверхностного стока с территории колледжа. При этом водосбросы (бетонные

желоба) разрушены.

Рис. 67. Образование техногенного водоема на участке старой застройки по ул. Чапаева 6а, г. Салехард

Рис.68. Участок развития овражной эрозии возле Ямальского многопрофильного колледжа, г. Салехард

Активизация овражной эрозии была отмечена на правом берегу р. Обь, в районе газопровода высокого давления, в 2,0-2,1 км выше по течению от переправы Салехард – Лабытнанги, а также на участке городского пляжа на правом берегу р. Полябта.

Активность процесса овражной эрозии на Салехардском участке оценивается как высокая. В основном, процесс развивается в грунтах нарушенного сложения и носит техногенный характер.

Единичный случай оползнеобразования зафиксирован в районе дома 26а по ул. Комсомольская и был и спровоцирован подрезкой склонов.

На территории г. Надым наиболее широко распространен комплекс криогенных процессов (рис.69-74), значительно усложняющий строительство и последующую эксплуатацию зданий и сооружений, термокарстовый процесс в парагенезисе с подтоплением территории (включая техногенное подтопление), овражная эрозия, криогенное пучение и эоловый процесс.

Капитальные сооружения в г. Надыме начали строить в 1972 г. В настоящее время преобладают 5-9-этажные жилые дома блочного или панельного типа на свайном фундаменте с закрытым подпольем. Большая часть зданий и сооружений, как сравнительно старых, так и современных, испытывает негативное воздействие опасных ЭГП.

Вследствие неравномерной осадки свайного основания наблюдается раскрытие стыков между блоками и панелями, что требует их периодической изоляции (ул. Полярная, 9 и 19, ул. наб. Оруджева, 34 и 39, ул. Стрижова, 1, ул. Рыжкова, 10). В исключительных случаях отмечаются разрушения блоков, панелей, что требует оперативного применения инженерных мероприятий. Применение термостабилизаторов позволяет приостановить негативные процессы деградации многолетнемерзлых пород и предотвратить разрушение зданий (ул. Топчева, 9, 10).

Активность криогенных процессов (деградация многолетнемерзлых пород) на Надымском участке оценивается как высокая.

Эрозионные процессы на Надымском участке имеют ограниченное распространение, вследствие выположенности и слабой дренированности

территории.

Рис. 69. Трещины между блоками здания по ул. Полярная, 9, г. Надым

Рис. 70. Смещение блоков дома по ул. Полярная, 19, г. Надым

Рис. 71. Запененные стыки панелей дома № 34 по ул. наб. Оруджева, г. Надым

Рис. 72. Разрушение декоративных панелей дома на бульваре Стрижова, 1, г. Надым

Рис. 73. Деформации дома № 10 по ул. Рыжкова (раскрытие температурно-деформационного шва здания), г. Надым

Рис. 74. Разрушение панелей первого этажа административного здания, г. Надым

Термокарстовый процесс и сопутствующие ему подтопление территории, образование новых, техногенных водоемов широко распространены на территории г. Надыма, активность процесса оценивается как высокая.

В 1,0 км юго-западнее г. Надым выявлен участок развития криогенного пучения (крупнобугристые торфяники) размером в плане 0,5×0,9 км. Бугры имеют округлую или овальную в плане форму с максимальными размерами до 30 м в диаметре, высотой от 1 до 3-4 м. На отдельных крупных буграх пучения наблюдается разрушение склона с обнажением торфяного разреза, на поверхности отмечаются трещины выпирания шириной до 20 см, глубиной до 10 см.

Развитие эолового процесса отмечено в районе аэропорта Надым. Наблюдается наступление песка на тундру (рис. 75).

Рис. 75. Развитие эолового процесса в районе аэропорта Надым

1.7. Сибирский федеральный округ

В 3 квартале 2017 г. на территории СФО были зафиксированы проявления гравитационно-эрозионного комплекса, оползневого процесса, овражной и плоскостной эрозии, обвального и осыпного процессов, эоловой аккумуляции, подтопления. Наблюдаемые проявления ЭГП, в целом, характеризовались средним уровнем активности.

Республика Алтай. Активное развитие оползневого процесса отмечалось на уч. Бугузунский, уч. Арка-Узук, Чуйском участке, подучастке Предгорный, подучастке Чуйский тракт, подучастке Чаган-Узун (рис.76, 77). Все новые оползни покровные, имеют сложный механизм смещения, включающий блоковое оседание, скольжение и течение разрыхленных и разжиженных пород.

Также активное развитие оползневого процесса наблюдалось на автодороге Онгудай – Алтайское подворье, в левом борту на крутом склоне долины р. Урсул, в приустьевой части, на участке впадения ее в р. Катунь. Активность оползневого процесса была высокой, о чем говорят свежие деформации, в целом процесс находился в стадии зарождения. Триггером оползневого процесса является техногенный фактор.

Активное развитие гравитационно-эрозионных процессов отмечалось на уч. Курайский Активность процессов высокая на трех участках общей протяженностью 690 м. Данный участок русла представляет опасность из-за возможности подпора русла и формирования селеопасной ситуации.

На уч. Плотина Маашей было выявлено 2 локальных участка развития гравитационно-эрозионных процессов с высокой активностью протяженностью 405 м с элементами отседания склонов, приуроченных к долине р. Мажой, на выходе реки из озерной котловины (рис.78). В правом борту каньона наблюдалось

активное развитие оползневого процесса с образованием фронтальных оползней. Активность оползневого процесса на участке протяженностью 280 м была высокой.

Рис. 76. Развивающийся оползень (400×130 м), с элементами течения, подуч. Чаган-Узун, Республика Алтай

Рис. 77. Линзы льда в стенке отрыва оползня №71, подуч. Чаган-Узун, Республика Алтай

На уч. Джазаторская трасса (38-132 км) было выявлено 7 проявлений гравитационно-эрозионных процессов с сопутствующими им процессами плоскостной эрозии. Активность процессов была средняя и высокая, реже низкая. Негативное воздействие выражено в частичном разрушении полотна дороги и откосов дорожной насыпи (рис.79). Суммарная протяженность пораженных участков дороги – 685 м.

Рис. 78. Участки развития гравитационно-эрозионных процессов по обоим бортам каньона р. Мажой, Республика Алтай

Рис. 79. Размытый участок полотна с разрушением креплений на 101,1-101,4 км автодороги Кош-Агач – Джазатор, Республика Алтай

На уч. Онгудай выявлен 1 участок развития гравитационно-эрозионных процессов протяженностью 130 м в верхнем течении р. Онгудайка на южной окраине села. Разрушению подвержены противоналедные валы и дамбы по обоим берегам реки. Активность процессов была низкая.

В пределах уч. Эдиганская трасса было выделено 5 проявлений ЭГП различной активности, преимущественно, низкой. Суммарная протяженность проявлений – 385 м.

На уч. Чемал было выявлено 5 участков активизации гравитационно-

эрозионных процессов суммарной протяженностью 1115 м. Все участки приурочены к пойменной равнине, к дамбам обвалования по обоим берегам р. Чемал. ЭГП по правому берегу имели низкую активность (515 м). По левому берегу отмечены проявления с высокой активностью (435 м), с низкой и средней активностью (165 м). Разрушению были подвержены дамбы обвалования. На участках с высокой активностью размыв дамб составил 35-50 % и более (рис.80). Высокая активность разрушения левого берега связана с переформированием русла в период паводка 2014 г. и укреплением правого берега габионами в туристско-рекреационной зоне (т/б «Марьин остров»).

Активизация гравитационно-эрозионных процессов продолжалась вблизи автодороги Каракокша – Красносельск, на излучине р. Сарыкокша. Максимальная деградация берега после дождевого паводка 2014 г. за период июнь 2014 г. – июль 2017 г. составила 7,6 м, уничтожено 1316 м^2 земель в береговой зоне. В настоящее время процессы оказывают негативное воздействие на прибрежную полосу берега. В потенциальной опасности – часть дороги на участке максимального разрушения, расположенная в 10-15 м от береговой линии.

Участок автодороги в с. Инегень с мая 2016 г. испытывает негативное воздействие комплекса гравитационно-эрозионных процессов, которые привели к частичному разрушению полотна дороги. В 2017 г. (по сравнению с августом 2016 г.) длина пораженного участка увеличилась со 150 до 250 м. Часть дорожного полотна протяженностью 250 м смещена, развиваются блоковые фронтальные оползни по трещинам отпора, часть дороги разрушена (рис.81).

Рис. 80. Участок разрушения дамб обвалования по левому берегу на уч. Чемал (на противоположном берегу – габионы т/б «Марьин остров»), Республика Алтай

Рис.81. Участок дороги в с. Инегень. Левый фланг фронтального оползня (сентябрь 2017 г.), Республика Алтай

На уч. Катунский водозабор сформировались 2 эрозионных дуги. В 2017 г. максимальные скорости эрозии составили 9,5 м/год, средняя скорость – 1,76 м/год. За период 2016-2017 гг. уничтожено 1824 м^2 земель. Активность процессов на уч. Катунский водозабор была высокой, но ниже уровня 2016 г. Процессы находятся в стадии активного развития.

На уч. Левинка в 2017 г. максимальные скорости эрозии достигали 3,2 м/год, средняя скорость эрозии – 1,31 м/год, площадь уничтоженных земель – 373 м^2. Активность гравитационно-эрозионных процессов была высокой.

На территории с. Красносельск наблюдалось негативное воздействие ЭГП на прибрежную полосу и берегозащитные сооружения вдоль бровки поймы. Берегозащитные дамбы обвалования на территории села вдоль полноводной протоки частично (до 20 %) разрушены.

Перевал Кату-Ярык представляет собой спуск в виде серпантина с Улаганского нагорья в долину р. Чулышман по крутому борту долины (превышение высот – 500-550 м). Участок перевала испытывает негативное воздействие процессов плоскостной эрозии, обвалов, осыпей, камнепадов, что приводит к частичному разрушению полотна дороги, либо к избыточной аккумуляции наносов на полотне дороги в виде конусов выноса, шлейфов обвальных масс и т.д. Процессы – в активной стадии развития на участке протяженностью 2,6 км.

На участке дороги Р-256 (860-870 км) выделено 8 проявлений ЭГП, в том числе 2 участка развития гравитационно-эрозионных процессов, участок развития оползневого процесса, 5 участков развития обвального и осыпного процессов. Негативное воздействие ЭГП на автомагистраль выражается в разрушении мостовых опор и дамб обвалования около мостов, в мелком пересыпании дорожного полотна осыпным материалом, в камнепадах со склонов осыпей и скальных выходов трещиноватых пород. Потенциальную опасность представляют оползни, языки которых спускаются к Чуйскому тракту. Активность ЭГП, в основном, была низкая и средняя, на оползневом участке – высокая. Суммарная протяженность всех участков – 2115 м.

Республика Бурятия. В с. Закту́й наблюдалось активное развитие гравитационно-эрозионных процессов на изгибе правого берега р. Иркут. Протяженность участка развития процессов – 300 м. Высота берегового уступа около – 2,5 м. На береговом склоне наблюдались небольшие по размерам оползни и промоины.

На уч. Забайкальский от автодороги в сторону жилого дома отмечался рост оврага. Расстояние от вершины оврага до дома – около 10 м. Общая протяженность оврага – около 4 м. В нижней части склона наблюдались осыпи.

На берегу оз. Байкал отмечалось развитие эоловых процессов. Пески, перемещаясь от берега оз. Байкала вглубь суши, задерживаются растениями, образуя беспорядочно расположенные небольшие бугры высотой 0,2-0,5 м. Расстояние от области распространения движущихся песков до дороги республиканского значения составляет около 30 м.

В с. Уладый с мая 2017 г. наблюдалось подтопление грунтовыми водами домов №№ 23, 25-37 по ул. Верховская.

Республика Тыва. В результате активизации гравитационно-эрозионных процессов из-за интенсивных ливневых осадков в начале июля 2017 г. на 3 участках автодороги Хандагайты–Мугур-Аксы было полностью или частично разрушено полотно единственной грунтовой дороги, связывающей горный Монгун-Тайгинский район с республикой. Длина участков дороги с разрушением полотна 100, 70 и 40 м, высота разрушенной насыпи – до 6,5 м.

На автодороге Хандагайты – Чыраа-Бажы в результате ливневых дождей в июле активизировались эрозионные процессы: образовались промоины длиной до 300 м, местами развивающиеся в овраги глубиной до 1,3 м, шириной до 2 м. На

отдельных участках были разрушены дорожные ограждения. В долинах рек у мостов зафиксирована активизация гравитационно-эрозионных процессов с образованием глубоких промоин, подмывом мостов, водопропускных труб (рис.82).

а)

б)

Рис.82. Участки активизации гравитационно-эрозионных процессов на автодороге Хандагайты – Чыраа-Бажы: а) промоина на участке дороги через перевал, б) подмытый мост через р. Торгалык у с. Дус-Даг, Республика Тыва

На уч. Хорум-Дагский в результате развития гравитационно-эрозионных процессов создается угроза разрушения приусадебных участков, в настоящее время разрушаются заборы приусадебных участков. На уч. Сайлыгский также наблюдалось развитие эрозионных процессов.

Активное развитие овражной эрозии наблюдалось на уч. Уюкский, уч. Чаданский, уч. Сизимский, уч. Эйлиг-Хемский, уч. Сайлыгский. На уч. Чаданский в результате роста оврага обнажился кабель связи, упало бетонное перекрытие кабеля. На уч. Сизимский в результате овражной эрозии выводятся из оборота земли, развитие процесса угрожает опорам ЛЭП, дорогам и зданиям на территории села.

На уч. Эйлиг-Хемский зафиксировано разрушение обочин и полотна автодороги Шагонар – Эйлиг-Хем на локальных участках, в окрестностях с. Эйлиг-Хем. Общая протяженность участков с активизацией процессов овражной, плоскостной и струйчатой эрозии в 2017 г. составила около 2 км (рис.83). Активность эрозионных процессов увеличилась, по сравнению с 2016 г.

В сентябре была зафиксирована активизация процессов плоскостной эрозии, связанная с продолжительными осадками, на участках автодороги Бояровка – Тоора-Хем (6-8, 9, 10, 11, 102-156 км) и участке автодороги Кызыл – Госграница (238-240 км).

Рис.83. Участок активизации эрозионных процессов на уч. Эйлиг-Хемский, Республика Тыва

Республика Хакасия. На участке автодороги М-54 «Братский мост» на протяжении 0,5 км с разной активностью развивается 5 оползней. В основании склона продолжались оползания грунтов на обочину и полотно дороги. Активизация процесса отмечается здесь второй год и связана с прокладкой траншеи вдоль бровки склона в 2015 г. Дополнительным фактором активизации является повышение уровня первого от поверхности водоносного (техногенного) горизонта. Единичные процессы оплывания грунтов фиксируются и на левом склоне этого участка дороги. Объем сползших масс грунта не превышает 200 м^3.

21 сентября 2017 г. на участке автодороги Саяногорск – Черемушки (18 км) произошел обвал скального грунта на дорожное полотно. Пострадавших не было. Движение транспорта осуществлялось реверсивным способом по одной полосе.

Активное развитие процесса подтопления отмечалось в г. Черногорск, а также на отдельных участках в г. Абакан.

Забайкальский край. В северной части Балейского карьера развивались два оползня суммарной площадью около 900 м^2. Также в карьере и на прилегающей к нему территории развиваются эрозионные процессы. Развитие оползневого процесса также отмечалось в Засопкинском карьере нерудных материалов и на участке автодороги Чита – Хабаровск (68-70 км).

Активное развитие гравитационно-эрозионных процессов наблюдалось на Домнинском участке и на Горхонском россыпном месторождении золота, приуроченном к долине р. Горхон. В пределах месторождения также наблюдалась активизация эолового процесса (рис.84), которые в естественных условиях были вялотекущими.

В дачном поселке Каштак на северной окраине г. Читы активизация гравитационно-эрозионных процессов в результате ливневых осадков, выпавших в начале августа, и поднятия уровня воды в рр. Читинка и Ингода более чем на 2 м привела к разрушению участка дорожного полотна (35 м).

На участке Тасеевское шахтное поле, приуроченном к одноименному золоторудному месторождению на южной окраине г. Балей, наблюдалось активное развитие овражной эрозии (рис.85). Кроме того, на участке продолжали развиваться процессы оседания поверхности над горными выработками.

Рис. 84. Эоловые процессы на участках с поврежденным почвенно-растительным слоем, уч. Горхонское рассыпное месторождение золота, Забайкальский край

Рис. 85. Вершина молодого оврага, уч. Тасеевское шахтное поле, Забайкальский край

На участке железной дороги Чита – Забайкальск (перегон Седловая – Бурятская) в пределах выемки под железнодорожное полотно общей длиной 3,5 км и максимальной глубиной 60 м (рис.86) активно развиваются процессы выветривания горных пород, чему способствуют атмосферные осадки и сезонные (в весенний-осенний периоды – суточные) циклы промерзания-оттаивания воды в открытых трещинах, образующихся в результате вскрытия пород и снятия нагрузки. В результате выветривания скальных грунтов здесь формируются осыпи и обвалы, чему способствуют динамические нагрузки, возникающие из-за движения поездов.

Рис. 86. Железнодорожная выемка на перегоне между станциями Седловая – Бурятская, Забайкальский край

На уч. Акатуйский рудник «хвосты» не затоплены, наблюдалось интенсивное эоловое развеивание и вынос песчаного материала за пределы плотин. Высота эоловых бугров достигает 0,3 м. Шлейф, переотложенных в результате эолового развеивания хвостов, образовался перед дамбой высотой до 7 м и за дамбой нижнего и среднего прудов-накопителей. На дамбах, разделяющих отстойники хвостохранилища, эоловые формы представлены в виде ряби (рис.87а). Вынос ветром токсичного шлама за пределы хвостохранилища приводит к увеличению содержания соединений тяжелых металлов в почвах на прилегающей территории (рис.87б). Дамба нижнего пруда-накопителя хвостохранилища находится в 200 м от северо-восточная части с. Новый Акатуй.

а)

б)

Рис. 87. Эоловые отложения на дамбе (а) и на территории рудника (б), уч. Акатуйский рудник, Забайкальский край

Красноярский край. Юго-восточнее д. Красновка Ачинского района наблюдалась активизация оползневого процесса.

На участке автодороги Минусинск – Беллык (98 км) развивается 3 оврага. Два («левый» и «правый») развиваются в результате концентрации стока талых и ливневых вод водопропускными трубами под полотном дороги, третий (основной) – при слиянии первых двух. Значительные изменения произошли в вершине «правого» оврага: новый отвершек разрушает защитную дамбу-вал (рис.88).

На уч. Пригородный значительная активизация овражной эрозии снова отмечалась на участке траншеи оптоволокна вдоль полевой дороги на сельскохозяйственные угодья: отступание вершины оврага, образовавшегося по траншее в 2016 г., в 2017 г. составило 12-15 м (рис.89).

Рис. 88. Новый отвершек правого оврага на участке автодороги Минусинск – Беллык, 98 км, Красноярский край

Рис. 89. Развитие оврага вдоль дороги на сельскохозяйственные угодья, уч. Пригородный, Красноярский край

На частных сельскохозяйственных угодьях массива Спартак, в 6 км восточнее окраины п. Мал. Минуса на протяжении почти 400 м развивалась группа небольших оврагов и промоин. Процесс овражной эрозии был достаточно активным.

Активное развитие овражной эрозии также наблюдалось на уч. Суходол и уч. Кубеково. На участке автодороги М-54 (242 км) активность овражной эрозии была ниже, чем в 2016 г. На уч. Приморск, Зубаревский, Анцырь-Хаерино активность процессов овражной эрозии была средней.

В г. Красноярск на уч. мкр. Зеленая Роща во время ливневых дождей в конце августа была зафиксирована активизация гравитационно-эрозионных процессов: произошли значительные обрушения уступа высокой террасы р. Енисей на площади около 130-150 м^2. Также на участке активизировались суффозионный и оползневой процессы.

Кемеровская область. Развитие гравитационно-эрозионных процессов наблюдалось в с. Боровково, пгт. Верх-Чебула, с. Серебряково, с. Новопестерево, пгт. Крапивинский, д. Пугачи, с. Березово.

В пгт. Верх-Чебула в зоне размыва находятся участки домов №№ 15 и 17 на ул. Набережная, продолжался подмыв основания установки бетонных опор моста. В с. Новопестерево развитие эрозионного уступа приводит к разрушению поселковой дороги (23 м) на ул. Садовая, а также уничтожению земель

приусадебных участков домов №№ 42 и 44. В с. Березово расстояние от эрозионного уступа р. Березовки до дома № 8 на ул. Абызова составляет 4-6 м: началось разрушение поселковой дороги.

В с. Поломошное активизировалась овражная эрозия: началось развитие нескольких новых оврагов. На уч. с. Березово-1 продолжалось развитие суффозионного процесса.

В п. Пригородный оставались подтопленными дома и приусадебные участки частного жилого сектора, расположенные на ул. Полевая, Садовая, Угловая, Зеленая, Центральная и др. Площадь подтопления – 6 км^2. Часть жилых строений находится в состоянии, непригодном для проживания. Причиной подтопления являются природные условия, осложненные многочисленными техногенными факторами.

Развитие процесса подтопления продолжалось также в с. Борисово (площадь подтопления – 8 км^2), в пгт. Краснобродский (площадь подтопления – 2 км^2) и в п. Школьный (приусадебные участки и жилые дома №№ 12, 23, 25 и 27 по ул. Советская).

Новосибирская область. Развитие овражной эрозии зафиксировано на уч. Ордынский (рис.90) и на уч. Спиринский (рис.91), где вершина одного из оврагов приближается к ЛЭП (расстояние до ближайшей опоры – 6,3 м). Вертикальные борта, интенсивно обрушивающиеся и практически не задернованные, говорят о достаточно активном развитии оврагов. Также на указанных участках отмечалось развитие гравитационно-эрозионных процессов (рис. 92).

а)

б)

Рис. 90. Растущий овраг в устье (а) и вершине (б) на уч. Ордынский, Новосибирская область

Рис. 91. Растущие овраги на северной окраине с. Кирза, уч. Спиринский, Новосибирская область

На территории области продолжилось подтопление гг. Бердск, Новосибирск, Татарск, Барабинск и с. Баган, а также в пгт. Чистоозёрное и г. Купино.

Рис. 92. Участки развития гравитационно-эрозионных процессов на берегу Новосибирского водохранилища, уч. Ордынский, Новосибирская область

В пгт. Чистоозёрное в результате активизации процесса подтопления были подтоплены улицы Рабочая, Матросова, Маяковского, Некрасова, Чапаева, Зоново, Свердлова, Олега Кошевого, многие заглублённые объекты (погреба, канализационные люки, подвальные помещения частного жилого сектора). В подтопленном состоянии находилась большая часть водопроводящих коммуникаций, что способствует быстрому их износу, частым авариям. Многие жилые дома не пригодны для проживания.

В г. Купино в настоящее время более всего подвержена подтоплению северная часть города (ул. Мичурина, Бельского, Р. Люксембург, Садовая, Партизанская). Сезонная активизация (март-май) при затяжной дождливой погоде не прекращается летом и осенью. Все погреба и подполья частных домов подтоплены. Осушение города осуществляется открытым способом по двум магистральным каналам, что приводит к значительному улучшению ситуации.

Омская область. На уч. Черлакский, Нижнеомский, Омский, уч. оз. Эбейты, уч. Калининский наблюдалось развитие овражной эрозии. На уч. Черлакский и уч. Нижнеомский также отмечалось развитие оползневого процесса.

В Муромцевском районе в долине р. Тара (уч. Лисинский) отмечено развитие гравитационно-эрозионных процессов. Развитие подтопления наблюдалось в г. Называевск, с. Ребровка и с. Ульяновка.

Томская область. Высокая активность гравитационно-эрозионного комплекса отмечалась в г. Колпашево, д. Тискино, с. Тогур, средняя активность процессов – в сс. Кривошеино и Подгорное. В г. Колпашево началось интенсивное разрушение берегового склона в районе ул. Центральной (рис.93). В с. Тогур продолжается разрушение усадеб в мкр. Шпальный и мкр. Рейд (рис.94). В д. Тискино также продолжилось разрушение ул. Кооперативной.

Отмечено снижение активности оползневого процесса с высокой активности до низкой в районе с. Соколовка Молчановского района.

Рис.93. Береговой склон в районе ул. Центральная, 15/1, г. Колпашево, Томская область

Рис.94. Береговой склон в с. Тогур, мкр. Шпальный, Томская область

На территории **Алтайского края** и **Иркутской области** проявления опасных ЭГП, угрожавших населенным пунктам и хозяйственным объектам, не выявлены.

В целом по СФО в 3 квартале было зафиксировано 92 случая активизации ЭГП, все проявления носили локальный характер. С наибольшей частотой проявлялись процессы гравитационно-эрозионного комплекса – 38 проявлений, овражной эрозии – 26 проявлений. Проявления подтопления отмечены в 17 случаях, оползневого процесса – 13 случаев, плоскостной эрозии – 7 случаев, обвальных, суффозионных процессов, эоловой аккумуляции, процессов оседания земной поверхности – от 1 до 4 случаев.

В результате активизации ЭГП в 3 квартале было выявлено негативное воздействие процессов на объекты хозяйствования в 15 городах и 24 сельских населенных пунктах, на 16 автодорогах.

1.8. Дальневосточный федеральный округ

В 3 квартале геодинамические проявления характеризовались, в основном, средней активностью. Температура воздуха также была в пределах нормы. В отдельные периоды количество осадков превышало норму в отдельных районах Хабаровского и Приморского краев, Республике Саха (Якутия). Ливневые дожди спровоцировали активизацию оползневого, обвального и осыпного процессов, суффозионного и эрозионных процессов. В целом, большинство проявлений ЭГП на территории Дальневосточного округа характеризовались активностью на уровне средних значений.

В **Приморском крае** тайфун НОРУ, прошедший 6-9 августа и принесший большое количество осадков виде дождей, вызвал резкую активизацию опасных ЭГП практически на всех участках линейных сооружений в южных, западных и центральных районах Приморского края. Наибольшая активизация была характерна для оползневого, эрозионных, реже, суффозионного процессов. Наименьшей активностью характеризовался осыпной процесс.

Оползневой процесс активизировался на склонах железнодорожной ветки Барановский – Хасан, где в результате оползания глинистых грунтов были перекрыты железнодорожные пути протяженностью до 200 м. Активизация

оползневого процесса была зафиксирована также на участках автодороги Раздольное – Тереховка – Уссурийск (6,5 км, 7,0 км, 7,3 км).

Эрозионные процессы активизировались на участке 0,3 км автодороги Раздольное – Хасан, на выезде из п. Раздольное по ул. Шосейная. Было разрушено 180 п.м. придорожной выемки, глубина эрозионного вреза – до 2,3 м, ширина в нижней части – 2,5-3,0 м, в верхней – до 3,5 м. Наблюдался подмыв дорожного полотна на некоторых участках длиной до 30 м с формированием ниш 0,6-0,7 м. Существует опасность обрушения полотна.

Активизация овражной эрозии была зафиксирована на участке 5 км автодороги Раздольное – Хасан, где был разрушен участок дорожного полотна длиной до 35 м. Участок автодороги был восстановлен. На участке 5,9 км автодороги Раздольное – Хасан отмечалась активизация оползневого процесса в комплексе с овражной эрозией. Общая ширина участка развития процесса ~ 130 м, длина – до 40 м. Оползневыми отложениями мощностью до 0,5-0,7 м было перекрыто железнодорожное полотно (ж/д Барановская – Краскино) на участке до 15 м. В средней части оползня наблюдалась стенка отрыва высотой до 2,5-3,0 м. В результате схода оползня также наблюдались деформации 2 опор ЛЭП и незначительное смещение опор, отмечались высачивания подземных вод.

На 25,5 км автодороги Раздольное – Хасан была отмечена активизация овражной эрозии с частичным разрушением дорожного полотна и разрушениями обочины и придорожного кювета длиной 180 м. Активизация процесса вызвана переливом через дорогу паводковых вод р. Ананьевка.

На участке 70,6 км автодороги Раздольное – Хасан отмечена активизация овражной эрозии, в результате чего отмечалось частичное разрушение полотна дороги на участке длиной 190 м, шириной до 8 м. В днище оврага отмечалось разрушение бетонных лотков электрической связи.

На 27,1 км автодороги Раздольное – Хасан отмечалась активизация суффозионного процесса на участке 15×10 м с характерным проседанием дорожного полотна на 0,3-0,4 м, отмечались трещины отрыва.

Хабаровский край. Активность всех ЭГП была средней. В горных районах наблюдалась активизация гравитационных процессов и плоскостной эрозии (рис.95, 96).

Рис.95. Участок развития плоскостной эрозии на придорожном склоне автодороги "Уссури", 116 км, Хабаровский край

Рис.96. Осыпные проявления на придорожном склоне автодороги Лидога – Ванино, 128 км, Хабаровский край

Сахалинская область. Отмечены случаи активизации оползневого процесса в г. Холмск и на участке автодороги Холмск – Чехов (рис.97, 98).

Рис.97. Участок активизации оползневого процесса на автодороге Холмск – Чехов

Рис.98. Отложения приповерхностного оползня-сплыва во дворе многоквартирного жилого дома по у. Первомайской в г. Холмске

На территории **Амурской области** и **Камчатского края** активность ЭГП была на среднем уровне.

2. Характеристика отдельных проявлений ЭГП, сопровождавшихся воздействием на населенные пункты и хозяйственные объекты

2.1. Северо-Кавказский федеральный округ

Республика Дагестан. В результате активизации оползневого процесса в пос. Сепараторный (г. Махачкала) было деформировано 5 домостроений с хозпостройками (рис.99). Размеры оползня: ширина – 50 м, длина – 50 м, высота стенки отрыва – 4,5 м. Площадь оползневого участка – 0,001 км^2, объем – 3375 м^3.

Рис. 99. Деформированные домостроения в пос. Сепараторный (г. Махачкала)

В Левашинском районе в пределах автодороги Леваши – Хаджалмахи в результате активизации оползневого процесса на трех участках отмечалась деформация полотна автодороги (суммарная длина – 200 м). На первом участке, в 5,0 км западнее с. Леваши, было деформировано 30 м полотна автодороги. Параметры проявления: ширина – 50 м, длина по склону – 30 м, высота стенки отрыва – 2,5 м, площадь оползня – 0,0015 км^2, объем – 3750 м^3 (рис. 100).

На втором участке, в 5,050 км западнее с. Леваши, было деформировано 70 м автодороги. Ширина проявления – 70 м, протяженность по склону – 15 м, высота стенки отрыва – 2,0 м, площадь оползня – 0,0011км^2, объем 2100 м^3 (рис. 101).

Рис. 100. Деформированный участок автодороги Леваши – Хаджалмахи, в 5 км западнее с. Леваши

Рис. 101. Деформированный участок автодороги Леваши – Хаджалмахи, в 5,050 км западнее с. Леваши

На третьем участке автодороги в 5,650 км западнее с. Леваши, было деформировано 100 м автодороги. Ширина оползневого склона – 100 м, протяженность по склону – 15 м, высота стенки отрыва – 3,0 м, площадь оползня – 0,0015км^2, объем – 4500 м^3 (рис. 102).

В результате активизации обвально-осыпных процессов в пределах автодороги Агвали – Кидеро, в 1 км восточнее с. Цумада-Урух, обвальными массами было перекрыто 100 м полотна автодороги. Длина обвального склона – 100 м, высота – 6,0 м, площадь – до 0,0005 км^2 (рис. 103).

В результате активизации обвального процесса на участке Кочали, обвальными массами был деформирован участок газопровода длиной 30 м (рис.104). Параметры проявления: длина – 30 м, ширина – 6 м, глубина захвата – 5,0 м, площадь – 0,0002 км^2, объем – 900 м^3.

Рис. 102. Деформированный участок автодороги Леваши – Хаджалмахи, в 5,650 км западнее с. Леваши

Рис. 103. Обвально-осыпной склон в пределах автодороги Агвали – Кидеро, в 1 км восточнее с. Цумада-Урух

Рис. 104. Деформированный участок газопровода на участке Кочали

Республика Северная Осетия – Алания. Достаточно крупные обвально-осыпные проявления фиксировались на техногенно нарушенных склонах. На Тибском обвально-осыпном участке (рис.105) была засыпана технологическая дорога газопровода Дзуарикау – Цхинвал. Обвально-осыпные процессы на Тибском участке в весенний период активизируются почти ежегодно после

снеготаяния и интенсивных дождей, т.к. при прокладке газопровода было подрезано основание древнего обвально-осыпного склона шириной почти 1 км. В 2017 г. активизация отмечена в весенне-летний период: на южном фланге (400 м) – это крупно-глыбовые осыпи, снова перекрывшие технологическую дорогу, а на северном – более мелкообломочные осыпи, захватившие около 300 м дороги. Активизация процесса произошла после снеготаяния и последовавших за ним сильных дождей. На ряде участков в пределах осыпей отмечен сход небольших селей. К концу лета состояние осыпей стабилизировалось. Общая площадь активного участка (400×150+300×100 м) составляет 90 тыс.м^2. На ряде участков отмечены вторичные осовы.

Осыпные отложения представлены обломками известняков и мерегелей, супесью и суглинком. Базис оползания – пойма р. Мамисон (абс.отм. – 1700 м), а промежуточным базисом является полка технологической дороги, на которой задерживается основная часть осыпного материала. Наряду с метеоусловиями, указанными выше, значительную роль продолжает играть техногенный фактор: глубокая подрезка осыпного склона. В результате обвально-осыпных процессов технологическая дорога засыпана и деформирована на протяжении 700 м. Противообвальная стенка устроена из габионов и фактически не функционирует: часть ее засыпана полностью, остальная часть деформирована.

В весенне-летний период произошла сильная активизация обвально-осыпных процессов на участке пионерной дороги пожарного назначения, на восточной окраине с. Н. Унал (рис.106).

Рис.105. Участок перекрытой обвально-осыпными массами (700 м) технологической дороги газопровода Дзуарикау – Цхинвал

Рис.106. Участок развития обвально-осыпных процессов на восточной окраине с. Н. Унал в результате подрезки склона дорогой

При строительстве дороги на значительную глубину был подрезан крутой склон, сложенный рыхлообломочными, несвязными грунтами, который сразу же стал осыпаться. В 2017 г. активизировался участок склона (площадью 80 тыс.м^2), нарушенный серпантинами дороги. Здесь развиваются мелкие обвалы, осовы, оплывины, идёт сильное осыпание с верховых откосов и отсадка крупных блоков дорожной полки. В общей сложности, деформировано (выведено из оборота) около 8 га пастбищ. Обвально-оползневые отложения представлены обломочным материалом с песчано-глинистым заполнителем, представленным известняками верхней юры. Общим базисом является пойма р. Ардон, но оползающий и

осыпающийся материал аккумулируется, в первую очередь, на дорожной полке, которая на отдельных участках перекрыта полностью. Общая протяжённость деформированной дороги – более 0,5 км.

Чеченская Республика. В с. Ножай-Юрт было выявлено 2 активных оползневых проявления. На территории Детского реабилитационного центра крупный оползень (площадью 25,3 тыс.м^2 и общим объемом смещенных масс 126,5 тыс.м^3) разрушил переходы между корпусами (рис.107) и полотно дороги на участке длиной 120 м (рис.108).

Рис. 107. Разрушенный в результате активизации оползневого процесса переход между корпусами детского реабилитационного центра с. Ножай-Юрт

Рис.108. Разрушенная оползнем дорога перед Реабилитационным центром (120 м) с. Ножай-Юрт

В с. Саясан были выявлены 10 активных оползневых проявлений с объемами смещенных масс от 2475 м^3 до 67200 м^3 . Один из оползней (объем смещенных масс – 7650 м^3, площадь – 5100 м^2) деформировал полотно дороги на участке длиной 30 м (рис.109). Еще один крупный оползень (объем смещенных масс – 67200 м^3, площадь – 16800 м^2) разрушил полотно дороги на участке длиной 70 м (рис.110).

Рис. 109. Деформированный оползнем участок дороги (30 м), с. Саясан

Рис. 110. Деформированный оползнем участок дороги (70 м), с. Саясан

Следующий крупный оползень (объем смещенных масс – 12000 м^3, площадь – 9000 м^2) деформировал полотно дороги на участке длиной 80 м (рис.111).

Крупным оползнем (объем смещенных масс – 6000 м^3, площадь – 4000 м^2) было деформировано полотно дороги шириной 3 м на участке длиной 35 м (рис.112).

В пределах автодорога с. Айти-Мокх – с. Саясан было выявлено 8 активных оползневых проявлений. Один из оползней, на 1,87 км дороги, (объем смещенных масс – 47600 м^3, площадь – 23800 м^2) деформировал полотно дороги на участке длиной 140 м (рис.113). Еще один крупный оползень, на 2,02 км дороги, (объем смещенных масс – 2420 тыс.м^3, площадь – 220 тыс.м^2) деформировал полотно дороги на участке длиной 175 м (рис.114) Этот же оползень в языковой части оказал воздействие на другую дорогу на участке длиной 70 м.

Рис. 111. Деформированный оползнем участок дороги (80 м), с .Саясан

Рис.112. Деформированный оползнем участок дороги (35 м), с .Саясан

Рис.113. Деформированный оползнем участок дороги (140 м), с. Айти-Мокх – с.Саясан, 1,87 км

Рис.114. Деформированный оползнем участок дороги (175 м), с. Айти-Мокх – с.Саясан, 2,02 км

Заключение

На территории Российской Федерации службой мониторинга состояния недр в третьем квартале 2017 г. зафиксировано активное развитие, преимущественно, гравитационных и гравитационно-эрозионных процессов.

Всего выявлено 846 случаев активизации ЭГП, из них: 454 произошло на территории Северо-Кавказского федерального округа, 222 – Южного, 92 – Сибирского, 32 – Уральского, 15 – Центрального, 14 – Приволжского, 11 – Дальневосточного, 6 – Северо-Западного округа (Приложение 1, 2).

По частоте проявлений на первом месте стоит оползневой процесс (560), на втором – обвально-осыпные процессы (177), на третьем – комплекс гравитационно-эрозионных процессов (41) и овражной эрозии (40). Кроме того, отмечалась случаи активизации подтопления (22), суффозии (14), плоскостной эрозии (9), карстового процесса (9), криогенных процессов (7), карстово-суффозионных процессов (6), техногенного оседания поверхности (3), эоловой аккумуляции (3), единичные случаи активизации процесса дефляции, пучения и термокарста.

ПРИЛОЖЕНИЕ 1

Сводные данные об активизациях экзогенных геологических процессов на территории Российской Федерации в III квартале 2017 г.

№ п/п	№ на карте	Район, населенный пункт (адресная привязка события)	Период активизации ЭГП		Активи-зировав-шиеся ЭГП	Характеристика события, прогноз развития ситуации, рекомендации по уменьшению негативных последствий ЭГП	Примечание
			начало	окончание			
1	2	3	4	5	6	7	8
ЦЕНТРАЛЬНЫЙ ФЕДЕРАЛЬНЫЙ ОКРУГ							
Воронежская область							
36.2017.0001	1	Каменский район, с. Тхоревка, ул. Солнечная, д.5,7,9	00.09.17	00.09.17	Оп	Жилой дом и дворовые постройки находятся на оползневой террасе большого оползня, размер которого, составляет ~ 100×300 м. Стенка срыва оползня поросла кустарником, угол наклона составляет ~ 50-60º. В основании стенки срыва на участке расположения дома, отмечаются выходы подземных вод. Дворовые постройки, которые располагаются на расстоянии 2-3 м от стенки срыва, находятся в полуразрушенном состоянии. На поверхности оползня отмечаются трещины закола, что свидетельствует об активности процесса. Мощность оползня составляет ~ 10-15 м. Под воздействием оползневого процесса находятся газовые и электрические коммуникации, существует угроза их сохранности. Рекомендуется отселение жителей домов №5, 7, 9 по ул. Солнечная.	
Костромская область							
44.2017.0002	2	Кадыйский район, с. Завражье, левый берег Горьковского вдхр.	10.08.17	Не заверши-лась	Оп	Характер активизации сезонный. Активизация процесса произошла локально, степень активности средняя. Смещение произошло в средне-верхнечетвертичных аллювиальных отложениях, представленных песками и глинами. На коренном склоне отмечено проседание почвы. Размеры проявления составили: ширина – 10,0 м, длина от – 1,5 м, площадь – 15,0 м², трещины отрыва шириной 0,1 м. В верхней части оползня отмечены вывернутые и поваленные деревья. В подошве склона наблюдаются обвалившиеся горные породы объемом 1,5 м³. Факторами активизации оползневого процесса послужили особенности геологического строения склона и интенсивная застройка вдоль береговой линии (вырубаются деревья и кустарники, песчаные отложения извлекаются с целью использования в качестве строительного материала). Угроза сохранности хозяйственных объектов отсутствует. Необходимо прекратить вырубку деревьев, использование песчаных отложений в качестве строительного материала, а так же, проектировать строительство домов как можно дальше от бровки оползня.	
44.2017.0003	3	Макарьевский район, правый берег	02.08.17.	Не заверши-	Оп	Характер активизации сезонный. Степень активности высокая. Площадь проявления составила 94,0 м² (ширина по бровке – 20,0 м, длина	

1	2	3	4	5	6	7	8
		р.Унжи, ю-з окраина г.Макарьева		лась		– 4,7 м). По левому борту в верхней части оползня произошло оползание блока горной породы, что привело к образованию оползневой ступени, шириной около 5,0 м, стенка срыва составила 0,3 м. Активизация оползневого процесса произошла в средне-верхнечетвертичных аллювиальных отложениях первой надпойменной террасы, представленных песками и глинами, последние, являются поверхностью скольжения. Водовмещающими породами являются пески. Фактором активизации процесса является переувлажнение горных пород вследствие выхода подземных вод на оползневом склоне. Угроза сохранности хозяйственных объектов отсутствует.	
Г. Москва							
77.2017.0004	4	Винницкая ул., д. 27А	00.07.17	Не заверши-лась	Оп, Эо	В пределах пункта наблюдений "Матвеевский" наблюдается активизация оползневого процесса в виде постепенного откола и оседания оползневого блока. В июле 2017 г. вдоль забора, ограждающего территорию по адресу ул. Винницкая, 27А, зафиксирована постепенно увеличивающаяся в размерах промоина, по которой происходит поверхностный сток на склон. В результате такого стока происходит размыв горных пород в прибровочной зоне, что приводит к активизации оползневого процесса в районе забора. Дальнейшее развитие ситуации в аналогичных условиях приведет к вовлечению новых территорий в оползневой процесс. Необходимо проведение комплекса инженерно-геологических изысканий для составления и реализации проекта по инженерной защите данной территории.	
77.2017.0005	5	ГБОУ №2017, ул. Борисовские пруды, д. 11, к. 2	00.09.17	Не заверши-лась	Су	В пределах пункта наблюдений "Улица Борисовские пруды", на территории детского сада, на одной из суффозионных воронок (которая ранее была засыпана) отмечено увеличение глубины проседания асфальта на 2-3 м, а также незначительный крен фонарного столба. Дальнейшее развитие процесса может привести к значительной деформации фонарного столба. Поскольку на территории детского сада периодически активизируется суффозионный процесс, то необходимо проведение инженерно-геологических изысканий на всей территории, охваченной данным процессом, для выявления триггерных факторов.	
77.2017.0006	6	детский сад №626, ул. Нагорная, д. 15, к. 9	18.08.17	Не заверши-лась	Су	Провал расположен на территории детского сада, вблизи забора на детской площадке. Размеры провала на момент обследования увеличились до 1 м (приращение составило около 30 см). С момента весенней активизации меры по устранению провала не были предприняты, в результате чего он увеличился в размерах. Для	

1	2	3	4	5	6	7	8
						предотвращения роста провала, вследствие дальнейшего размыва и инфильтрации атмосферных осадков, рекомендуется заполнить его водонепроницаемым материалом. Для устранения причин активизации процесса необходимо провести инженерно-технические и инженерно-геологические изыскания для разработки проекта по защите территории детского сада. В т.ч. необходимо проведение геофизических работ с целью обнаружения зон возможных провалов.	
Московская область							
50.2017.0007	7	Красногорский район, с.Дмитровское, правый берег р.Истра, вблизи кладбища	00.04.17	00.07.17	Оп	В результате не зарегулированного поверхностного стока, пригрузки оползневого склона техногенным грунтом и эрозионного действия р. Истра, отмечено отступание бровки склона вглубь плато до 0,5 м, проседание техногенного грунта, появление новых трещин закола.	
Тамбовская область							
68.2017.0008	8	Тамбовский район, г. Тамбов, ул. Мичуринская, ГСК	00.08.17	Не заверши-лась	Оп, Эо	Активизация оползневого процесса была зафиксирована в северо-западной части г. Тамбова в районе ул. Мичуринской в бортах Ласковского карьера. Активность оползневого процесса и процесса овражной эрозии наблюдалась на 40% от общей площади проявлений. В центральной части территории, в вершине стенки срыва ранее смещенного крупного блока пород, отмечены свежие осыпания и мелкие обвалы блоков горных пород. Отмечено увеличение деформаций в гаражах, расположенных вблизи бровки склона. На участке при обследовании отмечено также приращение ранее образовавшихся вторичных стенок срыва пород на 0,1-0,2 м. В центральной части уступа карьера сократились расстояния от стен гаражей до бровки уступа на 0,1-0,3 м. Из природных факторов активизации оползневого и овражного процессов основным является увеличение количества выпадающих осадков и изменение температурного режима. Основными техногенными факторами, влияющими на развитие опасных ЭГП, являются: подрезка склона, а также пригрузка склона строениями. Оползневой процесс на участке взаимосвязан с развитием овражной эрозии. Из мероприятий инженерной защиты на участке отмечены: прокладка труб для отвода поверхностного стока и отсыпка склона строительным суглинком. В результате активизации оползневых и овражных процессов в центральной части участка в гаражах ГСК, расположенных на ул. Мичуринской г. Тамбова продолжают активно развиваться трещины в	

1	2	3	4	5	6	7	8
						стенах 8 гаражей. 2 гаража стали непригодными для эксплуатации и находятся на грани обрушения. В нижней части стены гаража № 78, расположенного в третьем ряду ГСК, образовались трещины. В стене первого гаража дополнительного ряда, расположенного вдоль бровки склона отмечено увеличение волосяной трещины в длину на 0,1 м. В стене второго гаража дополнительного ряда ранее образовавшаяся трещина расширилась на 0,1 см, под углом гаража просел грунт. В стене гаража № 32 увеличилась в ширину трещина. Внутри гаража на полу образовалась трещина длиной 0,8 м, шириной 0,5 см. Между гаражем № 32 и соседним без номера образовалась крупная трещина шириной 0,5 см. В ближайшем к бровке склона гараже б/н 6-го ряда (короткого ряда) трещина увеличилась в ширину на 0,5 см. Наибольшее увеличение деформаций отмечено в ближайшем к бровке гараже б/н 7-го ряда ГСК, где трещина в задней стене гаража увеличилась в ширину на 2 см, подвальная часть гаража оголилась за счет обвала грунта.	
68.2017.0009	9	Жердевский район, г. Жердевка, ул.Подгорная, д.70, хозяйственные постройки	00.08.17	Не заверши-лась	Оп	На ул. Подгорная при обследовании была отмечена активизация оползневого процесса в юго-восточной части территории. На главном уступе оползня, расположенного позади дома № 70 и кирпичной хозяйственной пристройки на ул. Подгорной, отмечены свежие обвалы и оползания горных пород. Ширина смещенных блоков – 0,3-0,9 м. В доме №70 продолжается проседание пола. Возле стен дома и пристройки отмечено увеличение растрескивание бетонной отмостки. На бетонированной площадке вблизи уступа выявлено образование новых трещин, наиболее крупная из них – на расстоянии 1 м от уступа шириной 5 см, длиной – 1,2 м. В центральной части участка отмечено приращение высоты стенки срыва главного уступа на 0,2 м, в вершине уступа отмечены мелкие обвалы пород.	
68.2017.0010	10	Жердевский район, земли нераспределенного фонда вблизи с. Туголуково	00.07.17	Не заверши-лась	Оп	В Жердевском районе, на северо-западной окраине с. Туголуково, в центральной части оползневого склона на правом берегу р. Савала, произошла активизация обвально-оползневых процессов. Размеры проявления по оси скольжения составили 10 м, по ширине – 8 м. Высота образовавшейся стенки срыва пород составила около 4,0 м. Вблизи уступа склона выявлены свежие трещины отрыва. Запруживания русла в результате обвала не произошло. Сельскохозяйственные территории не пострадали.	
Тверская область							
69.2017.0011	11	Старицкий район, д. Стегнишино, земли	08.08.17	Не заверши-	КС	Отмечено образование блюдцеобразных понижений диаметром до 2,5 м. Площадь проявления составила 294 м². Состав горных пород,	

1	2	3	4	5	6	7	8
		сельскохозяйственн ого назначения		лась		затронутых проявлением – известняки подольско-мячковского карбонатного комплекса C2pd-mč.	
69.2017.0 012	12	Старицкий район, д. Стегнишино, земли сельскохозяйственн ого назначения	08.08.17	Не заверши-лась	КС	Отмечено образование многочисленных мелких воронок диаметром до 2 м и глубиной до 0,4 м; образование блюдцеобразных понижений диаметром до 2 м. Площадь проявления составила 240 м². Состав горных пород, затронутых проявлением – известняки подольско-мячковского карбонатного комплекса C2pd-mč.	
69.2017.0 013	13	Старицкий район, д. Старотеличино	09.08.17	Не заверши-лась	КС	Отмечено увеличение глубины воронки на 0,15 м. Площадь проявления составила 9,6 м². Состав горных пород, затронутых проявлением – известняки подольско-мячковского карбонатного комплекса C2pd-mč.	
Тульская область							
71.2017.0 014	14	Заокский район, с.Бехово, Свято-Троицкая церковь	00.07.17	00.07.17	Оп	Отмечено увеличение стенки срыва оползня на 0,5 м по сравнению с предыдущим замером, проведенным во II квартале 2017 г.. Также отмечено увеличение трещин в каменной ограде церкви на 2-3 см. Активизация оползневого процесса вероятно связана с активизацией карстово-суффозионного процесса в подошве оползневого склона вследствие увеличения выноса частиц горных пород из-за инфильтрации атмосферных осадков.	
Ярославская область							
76.2017.0 015	15	Рыбинский район, в 1,1 км юго-западнее д.Демино, земли особо охраняемых территорий и объектов	15.08.17	Не заверши-лась	Оп	Отмечен отрыв оползневого блока размером 30×1 м. Начало активизации 15.08.2017. Основной фактор активизации оползневого процесса – эрозионное воздействие реки. Отрыв произошел вблизи летнего домика, который со временем может разрушиться. Участок активизации приурочен к землям особо охраняемых природных территорий.	
СЕВЕРО-ЗАПАДНЫЙ ФЕДЕРАЛЬНЫЙ ОКРУГ							
Мурманская область							
2/4720170 002	16	Г. Апатиты с подведомственной территорией, ж/д ст. Хибины	00.07.17	00.09.17	Ос	С двух сторон от железнодорожного полотна, в 20 м восточнее и в 5 м западнее, расположены склоны крутизной около 50-60°, сложенные рыхлыми песчаными породами, на которых под влиянием гравитационных сил образуются осыпи. Обе осыпи слабоактивны. Восточная осыпь имеет длину около 340 м при высоте склона 15 м. На бровке склона установлены ЛЭП. Протяженность западной осыпи - 40 м, высота склона - 10 м.	
3/4720170 003	17	Г. Оленегорск с подведомственной территорией	00.07.17	00.09.17	ГЭ	В районе г. Оленегорск (1331 км Октябрьской железной дороги) в ходе обследования было выявлено проявление гравитационно-эрозионных процессов. Р. Куреньга в этом месте совершает поворот,	

1	2	3	4	5	6	7	8
						формируя излучину. По надпойменной террасе проходят железнодорожные пути и сопровождающие их ЛЭП. Высота берегового склона составляет 4-5 м, крутизна – 65°. Деревья, растущие на склоне, наклонены и нависают над водой. Растительный покров не равномерный. В верхней части склона наблюдаются трещины отседания насыпного грунта, поросшего мхом, в основании у кромки воды лежат крупные валуны до 70 см в диаметре.	
Республика Коми							
5/87201700001	18	МО ГО "Город Воркута", г.Воркута, ул. Шахтерская набережная	00.07.17	00.09.17	Оп	На момент проведения обследования в III квартале 2017 г. отмечались незначительные подвижки оползневых масс, вследствие чего деформировано бетонное ограждение, покрытие проезжей части и пешеходной дорожки на ул. Шахтерская набережная (субпараллельные трещины протяженностью до 30 м). Рекомендуется своевременное отслеживание динамики развития оползня посредством ежегодного нивелирования уступов в июне и сентябре.	
Ненецкий автономный округ							
7/11010013	19	Заполярный район	00.07.17	00.09.17	Де	Увеличение площади отработанного карьера.	
9/11010015	20	Заполярный район	00.07.17	00.09.17	Эо	Было зафиксировано обрушение склоноукрепляющих конструкций и металлических ограждений.	
10/11010017	21	Заполярный район	00.07.17	00.09.17	Оп	Наблюдалось активное воздействие на береговые опоры моста.	
ЮЖНЫЙ ФЕДЕРАЛЬНЫЙ ОКРУГ							
Республика Адыгея							
01.2017.0005	22	Майкопский район, междуречье Мишоко и Ср.Хаджох	00.00.17	00.09.17	Оп	Активный оползневой уступ на левом берегу р.Белой шириной 50 м, длиной 10 м, высота стенки срыва – 0,8 м.	
01.2017.0006	23	Майкопский район, междуречье Мишоко и Ср.Хаджох	00.00.17	00.09.17	Оп	Активный оползневой уступ на правом борту р.Белой,шириной 120 м, длиной 20 м, высота стенки срыва – 0,5 м.	
01.2017.0007	24	Майкопский район, междуречье Мишоко и Ср.Хаджох	00.00.17	00.09.17	Оп	На левом борту р.Белой на северной окраине п.Каменномостского 2 активных оползневых проявления общей площадью 15 тыс.м^2.	
01.2017.0	25	Майкопский район,	00.00.17	00.09.17	Оп	На СЗ окраине п.Каменномостского в средней части крутого склона	

1	2	3	4	5	6	7	8
008		междуречье Мишоко и Ср.Хаджох				зафиксирован оползень длиной 150 м, шириной 40 м.	
01.2017.0009	26	Майкопский район, ЮВ склон хр.Каменное море	00.00.17	00.09.17	Оп	Оползневой участок протяженностью 70 м, направление смещения – ЮЗ, процесс охватывает как низовой, так и верховой откос автодороги, длина оползня – 140 м, деформировано 3/4 ширины полотна автодороги, высота просадочной ступени – до 50 см.	
01.2017.0010	27	Майкопский район, ЮВ склон хр.Каменное море	00.00.17	00.09.17	Оп	Оползневой процесс активно развивается по тонкослоистым аргиллитам. Процесс развит как в верховом, так и в низовом откосах автодороги, наиболее активен на северном фланге, где на автодороге отмечаются деформации и разрушения на протяжении 40 м, ширина участка – около 150 м, высота просадочной ступени – 30 см.	
01.2017.0011	28	Майкопский район, ЮВ склон хр.Каменное море	00.00.17	00.09.17	Оп	Активный оползневой массив, деформировано 1/2 ширины полотна автодорги на участке длиной 30 м.	
01.2017.0012	29	Майкопский район, ЮВ склон хр.Каменное море	00.00.17	00.09.17	Оп	Оползневой массив в низовом откосе автодороги, разрушено до 3/4 ширины полотна автодороги на участке длиной 25 м, высота просадочной ступени – до 30 см.	
01.2017.0013	30	Майкопский район, ЮВ склон хр.Каменное море	00.00.17	00.09.17	Оп	Оползневой участок общей шириной 1,2 км, направление смещения – юг. Разрушения и деформации на автодороге зафиксированы на участке длиной 115 м, высота просадки достигает 0,5 м.	
01.2017.0014	31	Майкопский район, ЮВ склон хр.Каменное море	00.00.17	00.09.17	Об	Обвально-осыпной участок, в обнажении – аргиллиты, высота обнажения – 15 м. Обвалом дорога была перекрыта на 3/4 ширины, объем обвала – около 90 м^3.	
01.2017.0015	32	Майкопский район, ЮВ склон хр.Каменное море	00.00.17	00.09.17	Об	Зафиксирован небольшой свежий обвал объемом 12 м^3.	
01.2017.0016	33	Майкопский район, слияние р.Киши и р.Белой	00.00.17	00.09.17	Об	Активный обвальный участок в верховом откосе а/д Хамышки – Гузерипль протяженностью 500 м. Зафиксировано 4 свежих участка осыпей-обвалов объемом около 30 м^3 каждый.	
01.2017.0017	34	Майкопский район, западная оконечность Лаго-Накского массива	00.00.17	00.09.17	Оп	Отмечены слабо активные оползневые проявления в контурах старого каменного карьера. Площадь активизации – 100 м^2.	
01.2017.0018	35	Майкопский район, западная оконечность Лаго-Накского массива	00.00.17	00.09.17	Оп	Зафиксированы активные процессы овражной эрозии на автодороге, борта оврага осложнены серией мелких оползней. Идет активный процесс разрушения автодороги на участке длиной 100 м.	

1	2	3	4	5	6	7	8
01.2017.0019	36	Майкопский район, западная оконечность Лаго-Накского массива	00.00.17	00.09.17	Оп	Зафиксированы слабо активные оползневые проявления в контурах старого каменного карьера. Площадь активизации – 80 м^2.	
01.2017.0020	37	Майкопский район, западная оконечность Лаго-Накского массива	00.00.17	00.09.17	Оп	Зафиксированы слабо активные оползневые проявления в контурах старого каменного карьера. Площадь активизации – 120 м^2.	
01.2017.0021	38	Майкопский район, западная оконечность Лаго-Накского массива	00.00.17	00.09.17	Оп	Долгоживущий оползень на западном склоне г.Мессо. Оползень активен на площади 0,8 км^2.	
01.2017.0022	39	Майкопский район, ст.Ханская	00.00.17	00.09.17	Об	Активный участок обвально-оползневого уступа длиной 250 м, высота уступа – 2 м, фактор активизации обвальных процессов – боковая эрозия р.Белой.	
01.2017.0023	40	Майкопский район, ст.Ханская	00.00.17	00.09.17	Об	Активный обвальный уступ на правом борту р.Белой по ул.Приречная 62. Высота уступа – 4м, в цоколе – аргиллиты, перекрытые аллювиальными отложениями, уступ активный вертикальный. Дома по левому ряду улицы разрушены или брошены.	
01.2017.0024	41	Майкопский район, г.Майкоп	00.00.17	00.09.17	Оп	Фронтальный оползень в верховом откосе автодороги Майкоп – Краснооктябрьский общей шириной 1 км, длиной 50 м. Два активных участка – на северо-западном фланге шириной 150 м, языковая часть перекрыла водопропускные желоба. На юго-восточном фланге ширина активного участка – 50 м. Дорога не деформирована.	
01.2017.0025	42	Майкопский район, г.Майкоп	00.00.17	00.09.17	Оп	Активные оползневые проявления на территории Малой Майкопской ГЭС. За 4 года деформации (смещения) на напорном деривационном трубопроводе составили 48 см (в среднем, 12 см/год), что значительно меньше, чем в предыдущие годы. За 16 лет здание подстанции сместилось на 16 м, просело на 1,5 м.	
01.2017.0026	43	Майкопский район, п.Краснооктябрьский	00.00.17	00.09.17	Об	Участок активного обвального уступа высотой 12-15 м, протяженностью 200 м, сложен плотными зеленоватыми глинами. Минимальное расстояние от бровки уступа до границ домовладения по ул. Виноградной – 20 м.	
01.2017.0027	44	Майкопский район, п.Садовый	00.00.17	00.09.17	Оп	Зафиксирован слабо активный оползень в верхней части уступа на правом берегу р.Курджипс шириной 50 м, длиной 10 м. Отмечены активные участки в головной части оползня.	
01.2017.0028	45	Майкопский район, п.Краснооктябрьски	00.00.17	00.09.17	Об	Правый борт р.Белой. Активный обвальный уступ высотой до 15 м, у подножия уступа отмечен свежий обвал. Минимальное расстояние от	

1	2	3	4	5	6	7	8
		й				бровки уступа до границ домовладения по ул. Виноградной – 10 м. На краю уступа разрушаются хозяйственные постройки.	
01.2017.0029	46	Майкопский район, к Ю от п.Краснооктябрьского	00.00.17	00.09.17	Оп	Правый берег р.Курджипс. Зафиксирован слабо активный оползень шириной 180 м, длиной 20 м, высота стенки срыва – 1,2 м. Локальная активизация отмечалась в центральной части оползня.	
01.2017.0030	47	Майкопский район, ст.Абадзехская	00.00.17	00.09.17	Оп	Оползень площадью 1,1 км^2 на северной окраине ст.Абадзехской характеризовался средней активностью, продолжается отступание стенки срыва. До ближайших жилых строений – около 100 м.	
01.2017.0031	48	Майкопский район, ст.Абадзехская	00.00.17	00.09.17	Оп	Оползень по ул.Малая был слабо активен, отступания стенок срыва не отмечено, происходит переформирование тела оползня.	
01.2017.0032	49	Майкопский район, ст.Абадзехская	00.00.17	00.09.17	Оп	Оползень по ул.Пушкина был слабо активен, нижняя часть уступа задерновывается, оползень находится в стадии стабилизации.	
01.2017.0033	50	Майкопский район, п.Краснооктябрьский	00.00.17	00.09.17	Оп	Обширный оползневой массив на левом берегу р.Белой к северу от п.Краснооктябрьского был активен в центральной части, площадь активизации – около 300 м^2.	
01.2017.0034	51	Майкопский район, п.Краснооктябрьский	00.00.17	00.09.17	Об	Активный обвальный уступ высотой около 20 м. Происходит разрушение хозяйственных построек во дворах по ул.Виноградной, уступ обводнен.	
01.2017.0035	52	Майкопский район, п.Краснооктябрьский	00.00.17	00.09.17	Об	Обвально-оползневой уступ в СЗ части п.Краснооктябрьского, по ул.Короткой активен на 10%.	
01.2017.0036	53	Майкопский район, п.Краснооктябрьский	00.00.17	00.09.17	Оп, Об	Обвально-оползневой уступ в СЗ части п.Краснооктябрьского, по ул.Виноградной активен на 12-15%.	
01.2017.0037	54	Майкопский район, п.Табачный	00.00.17	00.09.17	Об	Участок обвального уступа по ул. Короткой активен на 10%, расстояние от бровки уступа до домовладения, по сравнению с 2016 г., не изменилось.	
01.2017.0038	55	Майкопский район, п.Табачный	00.00.17	00.09.17	Оп	Оползневой участок на южной окраине п.Табачного характеризовался низкой активностью, активизация выявлена тольго по флангам.	
01.2017.0039	56	Майкопский район, ст.Абадзехская	00.00.17	00.09.17	Оп	Долгоживущий оползень на южной окраине ст.Абадзехской активизировался в центральной части и на северном фланге на площади 200 м^2.	
01.2017.0040	57	Майкопский район, п.Каменномостский	00.00.17	00.09.17	Оп	Зафиксирован слабо активный оползень в верхней части уступа по ул.Майский Тупик, площадь – 300 м^2.	
01.2017.0041	58	Майкопский район, п.Каменномостский	00.00.17	00.09.17	Об	Активный участок обвального уступа по ул. Поселковой, протяженность участка активизации – 30 м, расстояние от бровки уступа до ближайшего домовладения – 20 м.	

1	2	3	4	5	6	7	8
01.2017.0042	59	Майкопский район, п.Каменномостский	00.00.17	00.09.17	Об	Активный участок обвального уступа по ул.Обрывной, протяженность участка активизации – 50 м.	
01.2017.0043	60	Майкопский район, п.Победа	00.00.17	00.09.17	Оп	Оползневой массив в верховьях р.Камелюк. Оползень развивается в СЗ направлении, активизация проявлялась в просадках и деформации полотна автодороги и пешеходной дорожки на протяжении 60 м, величина просадочной ступени – около 10 см.	
01.2017.0044	61	Майкопский район, левый борт р.Мутный Тепляк	00.00.17	00.09.17	Оп	Оползневой массив был слабо активен на площади 1,4 км^2, в основном идут вторичные оползневые деформации по старым деляпсивным отложениям.	
01.2017.0045	62	Майкопский район, верховья р.Пшехи	00.00.17	00.09.17	Оп	Древний оползень был стабилен, полотно строящейся автодороги полностью разрушено оврагами и оползнями, развивающимися в низовом откосе (учтен 1 оползень площадью 10,5 тыс.м^2).	
01.2017.0046	63	Майкопский район, ст.Новосвободная	00.00.17	00.09.17	Оп	Оползневой массив на левом борту р.Мамрюк. Направление смещения – ЮВ. Зафиксированы деформации на автодороге с разрывом сплошности покрытия на участке длиной 100 м, высота просадочной ступени – до 15 см.	
01.2017.0047	64	Майкопский район, ст.Новосвободная	00.00.17	00.09.17	Оп	Оползень с направлением смещения на ЮВ в долину р.Мамрюк. Для оползня характерна постоянная активность. Зафиксированы деформации и частичное разрушение полотна автодороги на участке длиной 70 м, величина просадочной ступени – 15 см.	
01.2017.0048	65	Майкопский район, ст.Севастопольская	00.00.17	00.09.17	Оп	Оползень, развивающийся в СВ направлении в долину р.Фюнтв. Фиксировалась серия деформаций по всей ширине полотна автодороги, с величиной просадки до 20 см, протяженность отдельных участков активизации процесса – от 10 до 50 м, всего – 5 участков суммарной протяженностью 150 м.	
Краснодарский край							
23.2017.0007	66	Апшеронский район, г.Хадыженск	00.00.17	00.09.17	Оп	На участке автодороги Хадыженск – Кутаис протяженностью 250 м – 2 активных блоковых оползня шириной 60 м и 70 м, разрушено 1/2 ширины полотна автодороги, высота просадочной ступени – до 0,3 м. Направление развития оползней – Ю, ЮВ.	
23.2017.0008	67	Апшеронский район, п.Асфальтовая Гора	00.00.17	00.09.17	Оп	На участке автодороги Хадыженск – Кутаис протяженностью 500 м – 2 активных оползневых массива шириной 60 м и 100 м, разрушено 1/2 ширины полотна автодороги, высота просадочной ступени – до 0,6 м. Направление смещения оползней – ЮВ.	
23.2017.0009	68	Апшеронский район, п.Станционный	00.00.17	00.09.17	Оп	Активный, долгоживущий блоковый оползень, развивается на правом берегу р.Пшиш, сложенном полого залегающими известняками и песчаниками. Ширина оползня – 500 м, длина – 150 м. Оползень слабо активен в языковой части.	

1	2	3	4	5	6	7	8
23.2017.0010	69	Апшеронский район, п.Станционный	00.00.17	00.09.17	Оп	Активный блоково-консистентный оползень на левом берегу р.Пшиш. Длина оползня – 200 м, ширина в нижней части – 100 м, в головной – 60 м. Оползень активен в головной части, высота стенки срыва – 1,5 м.	
23.2017.0011	70	муниципальное образование Горячий Ключ, п.Кутаис	00.00.17	00.09.17	Оп	На площади жилой застройки отмечены слабо активные оползневые проявления на 4 оползневых участках в контурах улиц Клубной, Первомайской, Ленина, Комсомольской.	
23.2017.0012	71	Ейский район, х.Водяная Балка	00.00.17	00.09.17	Об	Участок активного обвальный уступа протяженностью 100 м, средней активности, отмечены свежие обвалы суммарным объемом 30 м^3.	
23.2017.0013	72	Ейский район, с.Глафировка	00.00.17	00.09.17	Оп	Оползень блоковый, шириной 250 м, длиной 20 м, был активен в языковой части и частично – в головной, высота стенки срыва – 1,5 м, развивается в лессовидных суглинках, до ближайшего жилого строения – 100 м.	
23.2017.0014	73	Ейский район, п.Александровка	00.00.17	00.09.17	Об	Участок слабо активного обвального уступа протяженностью 1 км, выявлен 1 обвал объемом 15 м^3.	
23.2017.0015	74	Ейский район, п.Воронцовка	00.00.17	00.09.17	Об	Участок активного обвального уступа протяженностью 300 м, суммарный объем свежих обвалов – 25 м^3.	
23.2017.0016	75	Ейский район, п.Воронцовка	00.00.17	00.09.17	Об	Участок активного обвального уступа протяженностью 100 м, суммарный объем свежих обвалов – 10 м^3.	
23.2017.0017	76	Ейский район, ст.Должанская	00.00.17	00.09.17	Об	Участок активного обвального уступа, протяженностью 50 м, объем обвала – 20 м^3.	
23.2017.0018	77	Ейский район, ст.Должанская	00.00.17	00.09.17	Об	Участок активного обвального уступа протяженностью 500 м, активность была высокой (участок активизации – до 50 % уступа), суммарный объем выявленных обвалов – около 70 м^3.	
23.2017.0019	78	Ейский район, х.Морозовский	00.00.17	00.09.17	Об	Участок активного обвального уступа протяженностью 300 м, активность была высокая (активно до 50% уступа), суммарный объем выявленных обвалов – около 50 м^3.	
23.2017.0020	79	Ейский район, х.Морозовский	00.00.17	00.09.17	Об	Участок активного обвального уступа протяженностью 350 м, активность была высокая (активно до 50% уступа), суммарный объем выявленных обвалов – около 30 м^3.	
23.2017.0021	80	Мостовской район, ст.Ярославская	00.00.17	00.09.17	Оп	Обширный долгоживущий оползень в верховом откосе автодороги ст. Ярославская – г. Лабинск, наблюдалась низкая активность (до 10%) северо-западной части оползня, размеры проявления: 250×100 м^2. Автодорога ремонтируется, заметны остаточные следы деформаций на участке длиной 20 м.	
23.2017.0022	81	Старощербиновский район, п.Молчановка	00.00.17	00.09.17	Оп, Об	Активный обвально-оползневой уступ протяженностью 1,5 км. Была выявлена активизация на 4 участках шириной от 70 до 150 м, длиной до 30 м. Наибольшая активность – в головной и языковой частях оползней,	

1	2	3	4	5	6	7	8
						тела оползней задернованы. До ближайших жилых строений – 120 м.	
23.2017.0023	82	г.Сочи, Адлерский район, п.Черешня	00.00.17	00.09.17	Оп	Оползень в низовом откосе автодороги. Повреждена одна из двух полос движения на протяжении 30 м. Дорога просела, образовались трещины глубиной 10-15 см и шириной 5 см. Образовавшийся блок вовлечен в оползневые смещения. Ширина оползня – около 40 м, длина – около 80 м. Велись ремонтные работы.	
23.2017.0024	83	г.Сочи, Адлерский район, п.Черешня	00.00.17	00.09.17	Оп	Оползневой участок в низовом откосе автодороги, было разрушено 1/2 ширины полотна автодороги на участке длиной 30 м, высота просадочной ступени – 40 см.	
23.2017.0025	84	г.Сочи, Адлерский район, п.Черешня	00.00.17	00.09.17	Оп	Оползень блоково-консистентный в низовом откосе автодороги в нижней части склона левого берега р.Мзымты. Была разрушена 1/2 ширины полотна автодороги на участке длиной 17 м, длина оползня – 50 м, высота стенки срыва – 80 см.	
23.2017.0026	85	г.Сочи, Адлерский район, п.Черешня	00.00.17	00.09.17	Оп	Зафиксирована активизация на старом оползневом участке, укрепленном в низовом откосе металлическими профилями. Стенка срыва – 1,2-1,5 м, была разрушена 1/2 ширины полотна автодороги на участке длиной 15 м, общая ширина участка активизации – 40 м, высота просадочной ступени по автодороге – 10-15 см. Длина оползня прослеживается на 200 м.	
23.2017.0027	86	г.Сочи, Адлерский район, п.Нижняя Шиловка	00.00.17	00.09.17	Оп	В Адлерском районе г. Сочи, в п. Нижняя Шиловка активизировался оползень шириной около 70 м, отмечена активизация в головной части шириной 20 м, высота просадочной ступени – 40 см, разрушено 1/2 ширины полотна автодороги, на второй полосе зафиксированы сильные деформации (до 30 см высотой).	
23.2017.0028	87	г.Сочи, Адлерский район, п.Нижняя Шиловка	00.00.17	00.09.17	Оп	На участке автодороги п. Нижняя Шиловка – п. Ермоловка протяженностью 250 м отмечены оползневые деформации на 2 участках шириной 50 м и 15 м, длина оползня – около 100 м, был разрушен участок основания автодороги длиной 1 м (оползание грунта из-под бетонного покрытия автодороги), смещение оголовка водопропускной трубы, проседание полотна автодороги на 30 см.	
23.2017.0029	88	г.Сочи, Адлерский район, п.Нижняя Шиловка	00.00.17	00.09.17	Оп	Зафиксированы оползневые деформации на участке длиной 40 м, длина оползня – более 200 м. Оползень развивается в восточном направлении, отмечено повреждение полотна автодороги на участке длиной 25 м, высота стенки срыва – 1,5 м, крутизна склона – 50º.	
23.2017.0030	89	г.Сочи, Адлерский район, п.Нижняя Шиловка	00.00.17	00.09.17	Об	Головная часть обвала на высоте 50 м над полотном автодороги. Объем обвала – 30 м^3 (6×2,5×2 м). Обвал перегородил 1/2 ширины полотна автодороги.	
23.2017.0	90	г.Сочи, Адлерский	00.00.17	00.09.17	Оп	Зафиксирован слабо активный оползень на участке автодороги	

1	2	3	4	5	6	7	8
031		район, п.Красная Поляна				п. Красная Поляна – военный санаторий, оползень блоковый шириной до 200 м, длиной около 500 м, было деформировано полотно автодороги на участке длиной 50 м, глубина просадки – 0,1 м.	
23.2017.0032	91	г.Сочи, Адлерский район, п.Медовеевка	00.00.17	00.09.17	Оп	Отмечена слабая активность на правом фланге древнего оползня в верховом откосе автодороге, длина языка оползня – 30 м. На правом фланге – участок активизации площадью 200 м^2	
23.2017.0033	92	г.Сочи, Адлерский район, п.Роза-Хутор	00.00.17	00.09.17	Оп	Зафиксированы слабо активные оползневые подвижки на левом борту глубокого балочного вреза. В оползание были вовлечены техногенные грунты на площади около 400 м^2.	
23.2017.0034	93	г.Сочи, Адлерский район, п.Роза-Хутор	00.00.17	00.09.17	Оп	Зафиксирована оползневая активизация в верховом откосе автодороги п. Красная Поляна – п. Роза-Хутор на площади около 1,5 тыс.м^2. Разрушена защитная геосетка.	
23.2017.0035	94	г.Сочи, Адлерский район, п.Роза-Хутор	00.00.17	00.09.17	Оп	Отмечены оползневые деформации на участке полотна автодороги п. Красная Поляна – п. Роза-Хутор длиной 15 м, была деформирована 1/4 ширины полотна автодороги.	
23.2017.0036	95	г.Сочи, Адлерский район, п.Роза-Хутор	00.00.17	00.09.17	Оп	Руч. Сулимовский. Выше по течению на берегу ручья выявлен активный оползень шириной 25 м, длиной 10-12 м.	
23.2017.0037	96	г.Сочи, Адлерский район, п.Эсто-Садок	00.00.17	00.09.17	Оп	По левому берегу р. Мзымты на протяжении 2 км выработаны 9 селевых долин, регулярно обновляющихся. По бортам селевых долин было выявлено 18 активных оползневых участков с площадями 100 – 600 м^2.	
23.2017.0038	97	г.Сочи, Адлерский район, п.Эсто-Садок	00.00.17	00.09.17	Оп	Долина руч. Сулимовского. Выше по течению от устья выявлен активный оползень площадью 600 м^2.	
23.2017.0039	98	г.Сочи, Адлерский район, п.Эсто-Садок	00.04.17	Не заверши-лась	Оп	Оползень у юго-восточной части спортивного сооружения, направление смещения оползневого тела – северо-запад. Оползень блоково-консистентный, по направлению к подошве – оползень-поток. Ширина оползня – 35-45 м, длина – 89 м. Высота стенки срыва в головной части – 1,5-2 м. Ориентировочно, мощность оползня изменяется от 1 м в головной части до 5-10 м – в языковой части. Крутизна поверхности оползневого тела – около 30°. Превышение между языковой и головной частями оползня составляет около 45 м. Оползень является вторичным образованием на теле древнего оползневого массива площадью около 20 тыс.м^2. Под воздействием оползня оказалась внешняя габионная подпорная стена «Комплекса трамплинов К-125, К-95» и участок системы водоотведения, были деформированы подпорные габионовые стены на техногенном врезе в склон автодороги, в 390 м к востоку от стартовой части большого трамплина. Отклонения габионовой подпорной стенки от вертикальной оси составило до 0,2 м; были разрушены и деформированы	

1	2	3	4	5	6	7	8
						водоотводящие желоба. Оползневой процесс находится в стадии остаточных деформаций, отмечается медленное смещение деляпсия вниз по склону на некоторых участках. Основными факторами развития процесса являлись: техногенные изменения рельефа северного склона хр. Аибга; присутствие в геологическом разрезе аргиллитоподобных сланцев с низкими прочностными характеристиками; повышенное, по сравнению со средне-многолетними значениями, количество атмосферных осадков, выпавших в зимне-весенний период 2017 г. (только за период с декабря 2016 г. по февраль 2017 г. выпало 99 см снега и 632 мм в виде дождей). В весенний период 2017 г. во время активного снеготаяния прошли сильные ливни, что привело к переувлажнению пород зоны коры выветривания, слагающих склон.	
23.2017.0040	99	г.Сочи, Адлерский район, п.Казачий Брод	00.00.17	00.09.17	Оп	Отмечена сильная активизация на теле старого оползня. Ширина участка активизации – 30 м, длина – 40 м, была разрушена обочина автодороги. Оползень блоково-консистентный, оползневые отложения были увлажнены. Высота стенки срыва – 3,5-4 м, в головной части (под дорогой) на левом фланге – до 3 м.	
23.2017.0041	100	г.Сочи, Адлерский район, п.Ахштырь	00.00.17	00.09.17	Оп	Отмечена активизация на старом оползне. Наиболее активен юго-восточный фланг, наблюдалось отседание блоков, трещины шириной до 30 см. Оползневые озера – ниже по склону.	
23.2017.0042	101	г.Сочи, Адлерский район, п.Нижневысокое	00.00.17	00.09.17	Оп	Старый оползень слабо активен, расстояния между реперами не изменелись, но отмечено расширение трещин отмостки. Домовладения на северо-восточной стороне ул. Зеленой расположены на склоне балки крутизной 30-35º и испытывают постоянные оползневые деформации.	
23.2017.0043	102	г.Сочи, Лазаревский район, п.Зубова щель	00.00.17	00.09.17	Оп	Черноморский склон на отрезке п. Головинка – п. Чемитоквадже, верховой откос железной дороги: на участке длиной 100 м – 2 активных оползня-оплывины. Была повреждена защитная сетка и ограждающий забор, общая протяженность участка разрушений – 40 м. В процесс оползания вовлечены мелкораздробленные аргиллиты, песчаники. Высота склона – около 30 м.	
23.2017.0044	103	г.Сочи, Хостинский район, с.Красная Воля	00.00.17	00.09.17	Оп	В низовом откосе автодороги – активный оползень шириной 40 м, склон крутой. Было разрушено 10 м обочины автодороги, деформированы ограждения автодороги, оползень принимает характер оползня течения.	
23.2017.0045	104	г.Сочи, Хостинский район, с.Хлебороб	00.00.17	00.09.17	Оп	Оползень блоково-консистентный длиной 25 м, в низовом откосе, активный участок – 12 м, разрушено 0,5 м обочины, высота стенки срыва – 70 см.	
23.2017.0	105	г.Сочи, Хостинский	00.00.17	00.09.17	Оп	Отмечена активизация оползневого процесса на участке шириной	

1	2	3	4	5	6	7	8
046		район, с.Илларионовка				120 м. Наиболее активны были южный фланг и центральная часть: деформирована 1/2 ширины полотна автодороги на участке длиной 20 м, высота просадочной ступени – до 7 см.	
23.2017.0047	106	г.Сочи, Хостинский район, с.Илларионовка	00.00.17	00.09.17	Оп	Южный фланг оползневого участка протяженностью 150 м. Ширина активного участка – 25 м, деформировано 2/3 ширины полотна автодороги, наблюдались трещины на асфальте шириной до 7 см, высота просадочной ступени – до 15 см. Оползень блоковый (было активно 35 % оползневого участка).	
23.2017.0048	107	г.Сочи, Хостинский район, с.Калиновое озеро	00.00.17	00.09.17	Оп	Центральная часть п. Калиновое озеро. Оползневой участок в низовом откосе автодороги шириной 40 м. Длина оползня – 15 м, высота стенки срыва – 1 м, было разрушено 0,5 м полотна автодороги.	
23.2017.0049	108	г.Сочи, Центральный район, с.Барановка	00.00.17	00.09.17	Оп	Оползневой участок характеризовался низкой активностью процесса, общая площадь активизации – не более 500 м^2.	
23.2017.0050	109	г.Сочи, Центральный район, с.Барановка	00.00.17	00.09.17	Оп	Оползневой участок характеризовался низкой активностью процесса, небольшие проявления оползневой активности выявлены в языковой части оползня.	
23.2017.0051	110	г.Сочи, Центральный район, с.Сергей-Поле	00.00.17	00.09.17	Оп	Оползневой участок характеризовался низкой активностью процесса, по ул. Масис рельеф был техногенно переформирован.	
Астраханская область							
31.2017.0001	111	Енотаевский район, с. Никольское	00.00.17	Не заверши-лась	Оп, Об-Ос	Отмечалась сезонная активизация процессов, степень активности – высокая. Комплекс пород: осадочный. Протяженность участка активизации – 4600 м, площадь – 6900 м². Факторы активизации: весеннее половодье, атмосферные осадки, прижимное течение.	уч. Никольский
31.2017.0002	112	Енотаевский район, с. Копановка	00.00.17	Не заверши-лась	Об-Ос	Отмечалась сезонная активизация процессов, степень активности – высокая. Комплекс пород: осадочный. Протяженность участка активизации – 1400 м, площадь – 23800 м². Факторы активизации: весеннее половодье, атмосферные осадки.	уч. Копановка
31.2017.0003	113	Енотаевский район, с. Владимировка	00.00.17	Не заверши-лась	Об-Ос	Отмечалась сезонная активизация процессов, степень активности – средняя. Комплекс пород: осадочный. Протяженность участка активизации – 450 м, площадь – 7200 м². Факторы активизации: весеннее половодье, атмосферные осадки.	уч. Владимировка
31.2017.0004	114	Енотаевский район, с. Замьяны	00.00.17	Не заверши-лась	Об-Ос	Отмечалась сезонная активизация процессов, степень активности – высокая. Комплекс пород: осадочный. Протяженность участка активизации – 1000 м, площадь – 6000 м². Факторы активизации: весеннее половодье, атмосферные осадки.	уч. Замьяны
31.2017.0	115	Икрянинский район,	00.00.17	Не	Оп, Об-Ос	Отмечалась сезонная активизация процессов, степень активности –	уч.

1	2	3	4	5	6	7	8
005		с. Сергиевка		завершилась		высокая. Комплекс пород: осадочный. Протяженность участка активизации – 460 м, площадь – 1518 м². Факторы активизации: весеннее половодье, атмосферные осадки, прижимное течение.	Сергиевка
31.2017.0006	116	Черноярский район	00.00.17	Не завершилась	Об-Ос	Отмечалась сезонная активизация процессов, степень активности – средняя. Комплекс пород: осадочный. Протяженность участка активизации – 1450 м, площадь – 29000 м². Факторы активизации: весеннее половодье, атмосферные осадки.	уч. Правобережный
31.2017.0007	117	Черноярский район	00.00.17	Не завершилась	Об-Ос	Отмечалась сезонная активизация процессов, степень активности – высокая. Комплекс пород: осадочный. Протяженность участка активизации – 3250 м, площадь – 58500 м². Факторы активизации: весеннее половодье, атмосферные осадки.	уч. Правобережный
31.2017.0008	118	Черноярский район	00.00.17	Не завершилась	Оп, Об-Ос	Отмечалась сезонная активизация процессов, степень активности – средняя. Комплекс пород: осадочный. Протяженность участка активизации – 2660 м, площадь – 106400 м². Факторы активизации: весеннее половодье, атмосферные осадки.	уч. Правобережный
31.2017.0009	119	Енотаевский район	00.00.17	Не завершилась	Оп, Об-Ос	Отмечалась сезонная активизация процессов, степень активности – средняя. Комплекс пород: осадочный. Протяженность участка активизации – 3000 м, площадь – 75000 м². Факторы активизации: весеннее половодье, атмосферные осадки.	уч. Правобережный
31.2017.0010	120	Енотаевский район	00.00.17	Не завершилась	Об-Ос	Отмечалась сезонная активизация процессов, степень активности – высокая. Комплекс пород: осадочный. Протяженность участка активизации – 2300 м, площадь – 41400 м². Факторы активизации: весеннее половодье, атмосферные осадки.	уч. Правобережный
31.2017.0011	121	Енотаевский район	00.00.17	Не завершилась	Об-Ос	Отмечалась сезонная активизация процессов, степень активности – средняя. Комплекс пород: осадочный. Протяженность участка активизации – 400 м, площадь – 6000 м². Факторы активизации: весеннее половодье, атмосферные осадки.	уч. Правобережный
31.2017.0012	122	Енотаевский район	00.00.17	Не завершилась	Об-Ос	Отмечалась сезонная активизация процессов, степень активности – средняя. Комплекс пород: осадочный. Протяженность участка активизации – 500 м, площадь – 8000 м². Факторы активизации: весеннее половодье, атмосферные осадки.	уч. Правобережный
31.2017.0013	123	Енотаевский район	00.00.17	Не завершилась	Об-Ос	Отмечалась сезонная активизация процессов, степень активности – низкая. Комплекс пород: осадочный. Протяженность участка активизации – 900 м, площадь – 10800 м². Факторы активизации: весеннее половодье, атмосферные осадки.	уч. Правобережный
31.2017.0014	124	Енотаевский район	00.00.17	Не завершилась	Об-Ос	Отмечалась сезонная активизация процессов, степень активности – низкая. Комплекс пород: осадочный. Протяженность участка активизации – 1800 м, площадь – 32400 м². Факторы активизации: весеннее половодье,	уч. Правобережный

1	2	3	4	5	6	7	8
						атмосферные осадки.	
31.2017.0015	125	Икрянинский район	00.00.17	Не заверши-лась	Об-Ос	Отмечалась сезонная активизация процессов, степень активности – средняя. Комплекс пород: осадочный. Протяженность участка активизации – 700 м, площадь – 3500 м². Факторы активизации: весеннее половодье, атмосферные осадки.	уч. Правобережный
31.2017.0016	126	Наримановский район, с. Разночиновка	00.00.17	Не заверши-лась	Об-Ос	Отмечалась сезонная активизация процессов, степень активности – средняя. Комплекс пород: осадочный. Протяженность участка активизации – 180 м, площадь – 1288 м². Факторы активизации: весеннее половодье, атмосферные осадки.	уч. Разночиновка
31.2017.0017	127	Наримановский район, с. Разночиновка	00.00.17	Не заверши-лась	Об-Ос	Отмечалась сезонная активизация процессов, степень активности – низкая. Комплекс пород: осадочный. Протяженность участка активизации – 850 м, площадь – 3862 м². Факторы активизации: весеннее половодье, атмосферные осадки.	уч. Разночиновка
31.2017.0018	128	Красноярский район, с. Новоурусовка	00.00.17	Не заверши-лась	Об-Ос	Отмечалась сезонная активизация процессов, степень активности – низкая. Комплекс пород: осадочный. Протяженность участка активизации – 530 м, площадь – 3180 м². Факторы активизации: весеннее половодье, атмосферные осадки.	уч. Бузанский мост
31.2017.0019	129	Красноярский район, с. Новоурусовка	00.00.17	Не заверши-лась	Об-Ос	Отмечалась сезонная активизация процессов, степень активности – низкая. Комплекс пород: осадочный. Протяженность участка активизации – 1790 м, площадь – 8950 м². Факторы активизации: весеннее половодье, атмосферные осадки.	уч. Бузанский мост
31.2017.0020	130	Наримановский район, с. Петропавловка	00.00.17	Не заверши-лась	Об-Ос	Отмечалась сезонная активизация процессов, степень активности – высокая. Комплекс пород: осадочный. Протяженность участка активизации – 1400 м, площадь – 7000 м². Факторы активизации: весеннее половодье, атмосферные осадки.	уч. Петропавловка
31.2017.0021	131	Енотаевский район	00.00.17	Не заверши-лась	Об-Ос	Отмечалась сезонная активизация процессов, степень активности – высокая. Комплекс пород: осадочный. Протяженность участка активизации – 1250 м, площадь – 3750 м². Факторы активизации: весеннее половодье, атмосферные осадки.	уч. Петропавловка
31.2017.0022	132	Ахтубинский район, г. Ахтубинск	00.00.17	Не заверши-лась	Об-Ос	Отмечалась сезонная активизация процессов, степень активности – средняя. Комплекс пород: осадочный. Протяженность участка активизации – 200 м, площадь – 3000 м². Факторы активизации - техногенные: жилая застройка прибрежной полосы и сброс сточных вод.	
31.2017.0023	133	Ахтубинский район, п. Нижн. Баскунчак	00.00.17	Не заверши-лась	Ка	Группа из 8 проявлений: воронки провальные – 4 шт; слепые овраги – 4. Площадь – 0,1 км². Отмечалась сезонная активизация процессов, степень активности – средняя. Комплекс пород: осадочный. Факторы активизации: атмосферные осадки, проникновение поверхностных вод в трещиноватую гипсоносную толщу.	уч. Нижнебаскунчакский

1	2	3	4	5	6	7	8
31.2017.0024	134	Ахтубинский район, п. Нижн. Баскунчак	00.00.17	Не заверши-лась	Ка	Группа из 8 проявлений: воронки провальные – 4 шт; слепые овраги – 4. Площадь – 0,1 км². Отмечалась сезонная активизация процессов, степень активности – средняя. Комплекс пород: осадочный. Факторы активизации: атмосферные осадки, проникновение поверхностных вод в трещиноватую гипсоносную толщу.	уч. Нижнебаскунчакский
31.2017.0025	135	Ахтубинский район, п. Нижн. Баскунчак	00.00.17	Не заверши-лась	Ка	Группа из 8 проявлений: воронки провальные – 4 шт; слепые овраги – 4. Площадь – 0,1 км². Отмечалась сезонная активизация процессов, степень активности – средняя. Комплекс пород: осадочный. Факторы активизации: атмосферные осадки, проникновение поверхностных вод в трещиноватую гипсоносную толщу.	уч. Нижнебаскунчакский
31.2017.0026	136	Ахтубинский район, п. Нижн. Баскунчак	00.00.17	Не заверши-лась	Ка	Группа из 8 проявлений: воронки провальные – 4 шт; слепые овраги – 4. Площадь – 0,1 км². Отмечалась сезонная активизация процессов, степень активности – средняя. Комплекс пород: осадочный. Факторы активизации: атмосферные осадки, проникновение поверхностных вод в трещиноватую гипсоносную толщу.	уч. Нижнебаскунчакский
31.2017.0027	137	Ахтубинский район, п. Нижн. Баскунчак	00.00.17	Не заверши-лась	Ка	Группа из 8 проявлений: воронки провальные – 4 шт; слепые овраги – 4. Площадь – 0,1 км². Отмечалась сезонная активизация процессов, степень активности – средняя. Комплекс пород: осадочный. Факторы активизации: атмосферные осадки, проникновение поверхностных вод в трещиноватую гипсоносную толщу.	уч. Нижнебаскунчакский
31.2017.0028	138	Ахтубинский район, п. Нижн. Баскунчак	00.00.17	Не заверши-лась	Ка	Группа из 8 проявлений: воронки провальные – 4 шт; слепые овраги – 4. Площадь – 0,1 км². Отмечалась сезонная активизация процессов, степень активности – средняя. Комплекс пород: осадочный. Факторы активизации: атмосферные осадки, проникновение поверхностных вод в трещиноватую гипсоносную толщу.	уч. Нижнебаскунчакский
31.2017.0029	139	Ахтубинский район, п. Нижн. Баскунчак	00.00.17	Не заверши-лась	Ка	Группа из 8 проявлений: воронки провальные – 4 шт; слепые овраги – 4. Площадь – 0,1 км². Отмечалась сезонная активизация процессов, степень активности – средняя. Комплекс пород: осадочный. Факторы активизации: атмосферные осадки, проникновение поверхностных вод в трещиноватую гипсоносную толщу.	уч. Нижнебаскунчакский
31.2017.0030	140	Ахтубинский район, п. Нижн. Баскунчак	00.00.17	Не заверши-лась	Ка	Группа из 8 проявлений: воронки провальные – 4 шт; слепые овраги – 4. Площадь – 0,1 км². Отмечалась сезонная активизация процессов, степень активности – средняя. Комплекс пород: осадочный. Факторы активизации: атмосферные осадки, проникновение поверхностных вод в трещиноватую гипсоносную толщу.	уч. Нижнебаскунчакский
Волгоградская область							
34.2017.0001	141	Среднеахтубинский район, с.	00.00.17	Не заверши-	Об-Ос	Отмечалась сезонная активизация процессов, степень активности – высокая. Комплекс пород: осадочный. Протяженность участка	уч. Верхнепогр

1	2	3	4	5	6	7	8
		Верхнепогромное		лась		активизации – 110 м, площадь – 660 м². Факторы активизации: весеннее половодье, атмосферные осадки, высокий подпорный уровень вдхр.	омненский
34.2017.0002	142	Среднеахтубинский район, с. Рахинка	00.00.17	Не заверши-лась	Об-Ос	Отмечалась сезонная активизация процессов, степень активности – высокая. Комплекс пород: осадочный. Протяженность участка активизации – 2290 м, площадь – 13740 м². Факторы активизации: весеннее половодье, атмосферные осадки, высокий подпорный уровень вдхр.	уч. Рахинский
34.2017.0003	143	Быковский район, ст. Степано-Разинская	00.00.17	Не заверши-лась	Об-Ос	Отмечалась сезонная активизация процессов, степень активности – средняя. Комплекс пород: осадочный. Протяженность участка активизации – 700 м, площадь – 5600 м². Факторы активизации: весеннее половодье, атмосферные осадки, высокий подпорный уровень вдхр.	уч. Степано-Разинский
34.2017.0004	144	Быковский район, с. Нижний Балыклей	00.00.17	Не заверши-лась	Об-Ос	Отмечалась сезонная активизация процессов, степень активности – высокая. Комплекс пород: осадочный. Протяженность участка активизации – 700 м, площадь – 5600 м². Факторы активизации: весеннее половодье, атмосферные осадки, высокий подпорный уровень вдхр.	уч. Нижний Балыклей
34.2017.0005	145	Быковский район, п. Молодежный	00.00.17	Не заверши-лась	Об-Ос	Отмечалась сезонная активизация процессов, степень активности – высокая. Комплекс пород: осадочный. Протяженность участка активизации – 780 м, площадь – 3120 м². Факторы активизации: весеннее половодье, атмосферные осадки, высокий подпорный уровень вдхр.	уч. Молодежный
34.2017.0006	146	Быковский район, с. Быково	00.00.17	Не заверши-лась	Об-Ос	Отмечалась сезонная активизация процессов, степень активности – средняя. Комплекс пород: осадочный. Протяженность участка активизации – 3500 м, площадь – 42875 м². Факторы активизации: весеннее половодье, атмосферные осадки, высокий подпорный уровень вдхр.	уч. Быковский
34.2017.0007	147	Быковский район, с. Кислово	00.00.17	Не заверши-лась	Об-Ос	Отмечалась сезонная активизация процессов, степень активности – высокая. Комплекс пород: осадочный. Протяженность участка активизации – 600 м, площадь – 3000 м². Факторы активизации: весеннее половодье, атмосферные осадки, высокий подпорный уровень вдхр.	уч. Кисловский
34.2017.0008	148	Быковский район, с. Кислово	00.00.17	Не заверши-лась	Об-Ос	Отмечалась сезонная активизация процессов, степень активности – высокая. Комплекс пород: осадочный. Протяженность участка активизации – 730 м, площадь – 3650 м². Факторы активизации: весеннее половодье, атмосферные осадки, высокий подпорный уровень вдхр.	уч. Кисловский
34.2017.0009	149	Николаевский район, с. Солодушино	00.00.17	Не заверши-лась	Об-Ос	Отмечалась сезонная активизация процессов, степень активности – высокая. Комплекс пород: осадочный. Протяженность участка активизации – 70 м, площадь – 210 м². Факторы активизации: весеннее половодье, атмосферные осадки, высокий подпорный уровень вдхр.	уч. Солодушинский
34.2017.0010	150	Николаевский район, г.	00.00.17	Не заверши-	Об-Ос	Отмечалась сезонная активизация процессов, степень активности – средняя. Комплекс пород: осадочный. Протяженность участка	уч. Николаевск

1	2	3	4	5	6	7	8
		Николаевск		лась		активизации – 250 м, площадь – 2500 м². Факторы активизации: весеннее половодье, атмосферные осадки, высокий подпорный уровень вдхр.	ий
34.2017.0011	151	Николаевский район, с. Бережновка	00.00.17	Не заверши-лась	Об-Ос	Отмечалась сезонная активизация процессов, степень активности – высокая. Комплекс пород: осадочный. Протяженность участка активизации – 300 м, площадь – 600 м². Факторы активизации: весеннее половодье, атмосферные осадки, высокий подпорный уровень вдхр.	уч. Бережновский
34.2017.0012	152	Николаевский район	00.00.17	Не заверши-лась	Об-Ос	Отмечалась сезонная активизация процессов, степень активности – высокая. Комплекс пород: осадочный. Протяженность участка активизации – 490 м, площадь – 3920 м². Факторы активизации: весеннее половодье, атмосферные осадки, высокий подпорный уровень вдхр.	уч. Волго-градский левобережный
34.2017.0013	153	Николаевский район	00.00.17	Не заверши-лась	Об-Ос	Отмечалась сезонная активизация процессов, степень активности – высокая. Комплекс пород: осадочный. Протяженность участка активизации – 1000 м, площадь – 1700 м². Факторы активизации: весеннее половодье, атмосферные осадки, высокий подпорный уровень вдхр.	уч. Волго-градский левобережный
34.2017.0014	154	Среднеахтубинский район	00.00.17	Не заверши-лась	Об-Ос	Отмечалась сезонная активизация процессов, степень активности – высокая. Комплекс пород: осадочный. Протяженность участка активизации – 720 м, площадь – 720 м². Факторы активизации: весеннее половодье, атмосферные осадки, высокий подпорный уровень вдхр.	уч. Волго-градский левобережный
34.2017.0015	155	Быковский район	00.00.17	Не заверши-лась	Об-Ос	Отмечалась сезонная активизация процессов, степень активности – высокая. Комплекс пород: осадочный. Протяженность участка активизации – 500 м, площадь – 1500 м². Факторы активизации: весеннее половодье, атмосферные осадки, высокий подпорный уровень вдхр.	уч. Волго-градский левобережный
34.2017.0016	156	Быковский район	00.00.17	Не заверши-лась	Об-Ос	Отмечалась сезонная активизация процессов, степень активности – высокая. Комплекс пород: осадочный. Протяженность участка активизации – 400 м, площадь – 2400 м². Факторы активизации: весеннее половодье, атмосферные осадки, высокий подпорный уровень вдхр.	уч. Волго-градский левобережный
34.2017.0017	157	Николаевский район,	00.00.17	Не заверши-лась	Об-Ос	Отмечалась сезонная активизация процессов, степень активности – высокая. Комплекс пород: осадочный. Протяженность участка активизации – 1680 м, площадь – 8400 м². Факторы активизации: весеннее половодье, атмосферные осадки, высокий подпорный уровень вдхр.	уч. Волго-градский левобережный
34.2017.0018	158	Быковский район	00.00.17	Не заверши-лась	Об-Ос	Отмечалась сезонная активизация процессов, степень активности – высокая. Комплекс пород: осадочный. Протяженность участка активизации – 540 м, площадь – 4320 м². Факторы активизации: весеннее половодье, атмосферные осадки, высокий подпорный уровень вдхр.	уч. Волго-градский левобережный
34.2017.0019	159	Быковский район	00.00.17	Не заверши-лась	Об-Ос	Отмечалась сезонная активизация процессов, степень активности – высокая. Комплекс пород: осадочный. Протяженность участка активизации – 230 м, площадь – 1610 м². Факторы активизации: весеннее половодье, атмосферные осадки, высокий подпорный уровень вдхр.	уч. Волго-градский левобережный

1	2	3	4	5	6	7	8
34.2017.0020	160	Быковский район	00.00.17	Не завершилась	Об-Ос	Отмечалась сезонная активизация процессов, степень активности – средняя. Комплекс пород: осадочный. Протяженность участка активизации – 260 м, площадь – 2080 м². Факторы активизации: весеннее половодье, атмосферные осадки, высокий подпорный уровень вдхр.	уч. Волгоградский левобережный
34.2017.0021	161	Камышинский район, с. Щербаковка	00.00.17	Не завершилась	Об-Ос	Отмечалась сезонная активизация процессов, степень активности – низкая. Комплекс пород: осадочный. Протяженность участка активизации – 500 м, площадь – 12500 м². Факторы активизации: весеннее половодье, атмосферные осадки, высокий подпорный уровень вдхр.	уч. Щербаковский
34.2017.0022	162	Камышинский район, с. Нижняя Добринка	00.00.17	Не завершилась	Об-Ос	Отмечалась сезонная активизация процессов, степень активности – высокая. Комплекс пород: осадочный. Протяженность участка активизации – 400 м, площадь – 2400 м². Факторы активизации: весеннее половодье, атмосферные осадки, высокий подпорный уровень вдхр.	уч. Нижнедобринский
34.2017.0023	163	Камышинский район, с. Дубовка	00.00.17	Не завершилась	Об-Ос	Отмечалась сезонная активизация процессов, степень активности – средняя. Комплекс пород: осадочный. Протяженность участка активизации – 400 м, площадь – 2400 м². Факторы активизации: весеннее половодье, атмосферные осадки, высокий подпорный уровень вдхр.	Дубовский
34.2017.0024	164	Камышинский район, г. Камышин	00.00.17	Не завершилась	Об-Ос	Отмечалась сезонная активизация процессов, степень активности – средняя. Комплекс пород: осадочный. Протяженность участка активизации – 50 м, площадь – 350 м². Факторы активизации: весеннее половодье, атмосферные осадки, высокий подпорный уровень вдхр.	уч. Камышин
34.2017.0025	165	Камышинский район, г. Камышин	00.00.17	Не завершилась	Об-Ос	Отмечалась сезонная активизация процессов, степень активности – средняя. Комплекс пород: осадочный. Протяженность участка активизации – 100 м, площадь – 1200 м². Факторы активизации: весеннее половодье, атмосферные осадки, высокий подпорный уровень вдхр.	уч. Камышин
34.2017.0026	166	Дубовский район, с. Горный Балыклей	00.00.17	Не завершилась	Об-Ос	Отмечалась сезонная активизация процессов, степень активности – высокая. Комплекс пород: осадочный. Протяженность участка активизации – 130 м, площадь – 1040 м². Факторы активизации: весеннее половодье, атмосферные осадки, высокий подпорный уровень вдхр.	уч. Горный Балыклей
34.2017.0027	167	Дубовский район, с. Горный Балыклей	00.00.17	Не завершилась	Об-Ос	Отмечалась сезонная активизация процессов, степень активности – средняя. Комплекс пород: осадочный. Протяженность участка активизации – 140 м, площадь – 980 м². Факторы активизации: весеннее половодье, атмосферные осадки, высокий подпорный уровень вдхр.	уч. Горный Балыклей
34.2017.0028	168	Дубовский район, с. Горный Балыклей	00.00.17	Не завершилась	Об-Ос	Отмечалась сезонная активизация процессов, степень активности – высокая. Комплекс пород: осадочный. Протяженность участка активизации – 90 м, площадь – 360 м². Факторы активизации: весеннее половодье, атмосферные осадки, высокий подпорный уровень вдхр.	уч. Горный Балыклей
34.2017.0029	169	Дубовский район, с. Горный Балыклей	00.00.17	Не заверши-	Об-Ос	Отмечалась сезонная активизация процессов, степень активности – средняя. Комплекс пород: осадочный. Протяженность участка	уч. Горный Балыклей

1	2	3	4	5	6	7	8
				лась		активизации – 400 м, площадь – 5800 м². Факторы активизации: весеннее половодье, атмосферные осадки, высокий подпорный уровень вдхр.	
34.2017.0030	170	Дубовский район, с. Горноводяное	00.00.17	Не заверши-лась	Об-Ос	Отмечалась сезонная активизация процессов, степень активности – средняя. Комплекс пород: осадочный. Протяженность участка активизации – 200 м, площадь – 2400 м². Факторы активизации: весеннее половодье, атмосферные осадки, высокий подпорный уровень вдхр.	уч. Горноводянов-ский
34.2017.0031	171	Дубовский район, с. Горноводяное	00.00.17	Не заверши-лась	Об-Ос	Отмечалась сезонная активизация процессов, степень активности – высокая. Комплекс пород: осадочный. Протяженность участка активизации – 130 м, площадь – 1170 м². Факторы активизации: весеннее половодье, атмосферные осадки, высокий подпорный уровень вдхр.	уч. Горноводянов-ский
34.2017.0032	172	Дубовский район, г. Дубовка	00.00.17	Не заверши-лась	Об-Ос	Отмечалась сезонная активизация процессов, степень активности – средняя. Комплекс пород: осадочный. Протяженность участка активизации – 80 м, площадь – 480 м². Факторы активизации: весеннее половодье, атмосферные осадки, высокий подпорный уровень вдхр.	уч. Дубовка
34.2017.0033	173	Дубовский район, г. Дубовка	00.00.17	Не заверши-лась	Об-Ос	Отмечалась сезонная активизация процессов, степень активности – высокая. Комплекс пород: осадочный. Протяженность участка активизации – 190 м, площадь – 285 м². Факторы активизации: весеннее половодье, атмосферные осадки, высокий подпорный уровень вдхр.	уч. Дубовка
34.2017.0034	174	Дубовский район, с. Пичуга	00.00.17	Не заверши-лась	Об-Ос	Отмечалась сезонная активизация процессов, степень активности – высокая. Комплекс пород: осадочный. Протяженность участка активизации – 260 м, площадь – 1560 м². Факторы активизации: весеннее половодье, атмосферные осадки, высокий подпорный уровень вдхр.	уч. Пичугинский
34.2017.0035	175	Городищенский район, с. Винновка	00.00.17	Не заверши-лась	Оп, Об-Ос	Отмечалась сезонная активизация процессов, степень активности – высокая. Комплекс пород: осадочный. Протяженность участка активизации – 120 м, площадь – 1920 м². В результате оползневого процесса произошло обрушение железобетонной лестничной конструкции, служившей спуском с берегового уступа. Факторы активизации: весеннее половодье, атмосферные осадки, высокий подпорный уровень вдхр.	уч. Винновский
34.2017.0036	176	Котельниковский район, ст. Нагавская	00.00.17	Не заверши-лась	Об-Ос	Отмечалась сезонная активизация процессов, степень активности – высокая. Комплекс пород: осадочный. Протяженность участка активизации – 1300 м, площадь – 2600 м². Факторы активизации: весеннее половодье, атмосферные осадки, высокий подпорный уровень вдхр.	уч. Нагавский
34.2017.0037	177	Котельниковский район, х. Весёлый	00.00.17	Не заверши-лась	Об-Ос	Отмечалась сезонная активизация процессов, степень активности – высокая. Комплекс пород: осадочный. Протяженность участка активизации – 350 м, площадь – 4200 м². В результате обвальных процессов произошло сокращение территории частного домовладения и разрушение дворовых построек. Факторы активизации: весеннее	уч. Весёлый

1	2	3	4	5	6	7	8
						половодье, атмосферные осадки, высокий подпорный уровень вдхр.	
34.2017.0038	178	Котельниковский район, х. Весёлый	00.00.17	Не завершилась	Об-Ос	Отмечалась сезонная активизация процессов, степень активности – высокая. Комплекс пород: осадочный. Протяженность участка активизации – 420 м, площадь – 630 м². Факторы активизации: весеннее половодье, атмосферные осадки, высокий подпорный уровень вдхр.	уч. Весёлый
34.2017.0039	179	Октябрьский район	00.00.17	Не завершилась	Об-Ос	Отмечалась сезонная активизация процессов, степень активности – высокая. Комплекс пород: осадочный. Протяженность участка активизации – 600 м, площадь – 3000 м². Факторы активизации: весеннее половодье, атмосферные осадки, высокий подпорный уровень вдхр.	уч. Цимлянский левобережный
34.2017.0040	180	Октябрьский район	00.00.17	Не завершилась	Об-Ос	Отмечалась сезонная активизация процессов, степень активности – высокая. Комплекс пород: осадочный. Протяженность участка активизации – 870 м, площадь – 1305 м². Факторы активизации: весеннее половодье, атмосферные осадки, высокий подпорный уровень вдхр.	уч. Цимлянский левобережный
34.2017.0041	181	Котельниковский район	00.00.17	Не завершилась	Оп, Об-Ос	Отмечалась сезонная активизация процессов, степень активности – высокая. Комплекс пород: осадочный. Протяженность участка активизации – 1000 м, площадь – 4000 м². Факторы активизации: весеннее половодье, атмосферные осадки, высокий подпорный уровень вдхр.	уч. Цимлянский левобережный
34.2017.0042	182	Октябрьский район	00.00.17	Не завершилась	Об-Ос	Отмечалась сезонная активизация процессов, степень активности – высокая. Комплекс пород: осадочный. Протяженность участка активизации – 350 м, площадь – 700 м². Факторы активизации: весеннее половодье, атмосферные осадки, высокий подпорный уровень вдхр.	уч. Цимлянский левобережный
Ростовская область							
61.2017.0001	183	Азовский район, с.Порт-Катон	00.00.17	00.09.17	Оп, Об	Участок обвально-оползневого, преимущественно, оползневого уступа, высотой около 20 м, протяженностью 300 м, сложен суглинистыми лессовидными породами. Выявлены 2 активных оползня общей площадью 25 тыс.м^2, фактор активизации: абразия моря, метеорологический.	
61.2017.0002	184	Азовский район, с.Порт-Катон	00.00.17	00.09.17	Оп, Об	Участок обвально-оползневого, преимущественно, оползневого уступа, высотой около 20 м, протяженностью 250 м, сложен суглинистыми лессовидными породами, активно 25%, в основном в головной части. Фактор активизации: абразия моря, метеорологический.	
61.2017.0003	185	Азовский район, с.Порт-Катон	00.00.17	00.09.17	Об	Участок обвального уступа, протяженностью 180 м, сложен суглинистыми породами, высокая степень активности, свежие обвалы вдоль подножия уступа общим объемом около 100 м^3, отступание бровки уступа в 2017 г. – около 2 м. Фактор активизации: абразия моря, метеорологический.	
61.2017.0004	186	Азовский район, с.Порт-Катон	00.00.17	00.09.17	Об	Участок обвального уступа протяженностью 50 м, высотой около 20 м, сложен суглинистыми породами, активно около 15%	

1	2	3	4	5	6	7	8
						протяженности уступа. Фактор активизации: абразия моря, метеорологический.	
61.2017.0005	187	Азовский район, с.Порт-Катон	00.00.17	00.09.17	Об	Участок обвального уступа протяженностью 150 м, высотой около 20 м сложен суглинистыми породами, активно около 15% протяженности уступа. Фактор активизации: абразия моря, метеорологический.	
61.2017.0006	188	Азовский район, с.Маргаритово	00.00.17	00.09.17	Об	Участок активного обвального уступа протяженностью 300 м, высотой 7-8 м, сложен суглинистыми породами, активно около 50% протяженности уступа, линия уступа «рваная, фестончатая». Фактор активизации: абразия моря, метеорологический.	
61.2017.0007	189	Азовский район, с.Маргаритово	00.00.17	00.09.17	Об	Участок активного обвального уступа протяженностью 160 м, сложен суглинистыми породами, активно около 30% протяженности уступа, линия уступа «рваная, фестончатая». Фактор активизации: абразия моря, метеорологический.	
61.2017.0008	190	Азовский район, с.Маргаритово	00.00.17	00.09.17	Об	Участок активного обвального уступа протяженностью 150 м, высотой до 10 м, сложен суглинистыми породами, активно около 35% протяженности уступа. Фактор активизации: абразия моря, метеорологический.	
61.2017.0009	191	Азовский район, с.Маргаритово	00.00.17	00.09.17	Об	Участок слабо активного обвального уступа протяженностью 100 м, высотой до 10 м, сложен суглинистыми породами, активно менее 10% протяженности уступа, стадия стабилизации – у подножия заросли камыша. Фактор активизации: метеорологический.	
61.2017.0010	192	Азовский район, с.Чумбур-Коса	00.00.17	00.09.17	Оп, Об	Участок обвально-оползневого уступа, высотой около 40 м, протяженностью 600 м, сложен суглинистыми породами, выявлены активные оползневые участки общей площадью 35 тыс.м^2 (ширина – 50-80 м, длина – 20-30 м). Фактор активизации: абразия моря, метеорологический.	
61.2017.0011	193	Азовский район, с.Стефанидинодар	00.00.17	00.09.17	Об	Участок обвально-оползневого уступа, высотой около 25 м, протяженностью 200 м характеризовался низкой активностью (менее 5%) выявлен 1 активный обвальный участок шириной 15 м. Фактор активизации: абразия моря, метеорологический.	
61.2017.0012	194	Азовский район, с.Стефанидинодар	00.00.17	00.09.17	Оп, Об	Участок слабо активного обвально-оползневого уступа, высотой около 25 м, ширина оползня – 120 м, длина – 15 м, активность наблюдалась в языковой части, частично – в головной. Фактор активизации: абразия моря, метеорологический.	
61.2017.0013	195	Азовский район, с.Стефанидинодар	00.00.17	00.09.17	Об	Участок слабо активного обвального уступа протяженностью 50 м, высотой около 30 м, активно менее 10% протяженности уступа – стадия стабилизации: подножие задерновано. Фактор активизации: метеорологический.	

1	2	3	4	5	6	7	8
61.2017.0 014	196	Азовский район, с.Стефанидинодар	00.00.17	00.09.17	Об	Активный обвальный уступ высотой 30 м, протяженностью 70 м, сложен суглинистыми породами, активно 40 % протяженности уступа, подножие задерновано и заросло кустарником.	
61.2017.0 015	197	Азовский район, с.Стефанидинодар	00.00.17	00.09.17	Оп	Восточная окраина с. Стефанидинодар, активный оползень шириной 50 м. Высота стенки срыва – около 9 м. Нижняя часть склона была увлажнена, подножье задерновано. Вдоль бровки уступа наблюдались свежие трещины. Под воздействием оползня находится домовладение по ул.Чехова. Забор домовладения находится непосредственно на бровке уступа. Зафиксированы трещины в кирпичном заборе и бетонной отмостке.	
61.2017.0 016	198	Дубовский район, х.Харсеев	00.00.17	00.09.17	Об	Активный обвальный уступ высотой около 40 м, сложен суглинками, на протяжении 500 м большое количество небольших обвалов общим объемом около 100 м^3, активно 80 % протяженности уступа. Фактор активизации: абразия моря.	
61.2017.0 017	199	Дубовский район, ст.Баклановская	00.00.17	00.09.17	Об, Оп	Активный обвально-оползневой участок уступа протяженностью 500 м. Значительно расчленен овражно-балочной сетью. Активность высокая (активно более 50 % протяженности уступа). Обвалы небольшие по объему, но многочисленные. Фактор активизации: абразия моря.	
61.2017.0 018	200	Дубовский район, ст.Жуковская	00.00.17	00.09.17	Оп, Об	Активный обвально-оползневой участок уступа протяженностью 600 м. Активность средняя (активно около 20% протяженности уступа). Оползни шириной до 100 м, длиной до 10-15 м, максимальная активность наблюдалась в языковой части.	
61.2017.0 019	201	Дубовский район, х.Алдабульский	00.00.17	00.09.17	Об	Активный обвальный участок уступа шириной около 30 м, высота уступа – 10 м, объем обвала – 15 м^3. Фактор активизации: абразия моря.	
61.2017.0 020	202	Дубовский район, х.Алдабульский	00.00.17	00.09.17	Об, Оп	Активный обвально-оползневой участок уступа шириной около 250 м, высота уступа – до 30 м, активность – около 80%. Фактор активизации: абразия моря.	
61.2017.0 021	203	Дубовский район, х.Алдабульский	00.00.17	00.09.17	Об, Оп	Активный обвально-оползневой участок уступа шириной около 200 м, высота уступа – до 30 м, активность – около 80%. Фактор активизации: абразия моря.	
61.2017.0 022	204	Дубовский район, х.Алдабульский	00.00.17	00.09.17	Оп	Активный обвально-оползневой участок уступа шириной около 100 м, уступ сложен суглинками с линзами белого песка. В активной стадии отседания – оползневой блок шириной 15 м, длиной 5 м. Фактор активизации: абразия моря, метеорологические.	
61.2017.0 023	205	Дубовский район, х.Алдабульский	00.00.17	00.09.17	Оп	Активный блоковый оползень фронтального типа шириной 120 м, длиной 15 м. Активизация выявлена на всех участках оползневого массива, высота стенки срыва – 1,5 м. Фактор активизации: абразия моря, метеорологические.	

1	2	3	4	5	6	7	8
61.2017.0 024	206	Дубовский район, х.Алдабульский	00.00.17	00.09.17	Оп	Активный блоковый оползень фронтального типа шириной 70 м, длиной 10 м. Стенка срыва оползня высотой 10 м, в стенке срыва обнажается переслаивание палеогеновых суглинков и красно-коричневых глин, эта толща перекрыта четвертичными лессовидными суглинками. Фактор активизации: абразия моря, метеорологические.	
61.2017.0 025	207	Дубовский район, п.Мал.Лучка	00.00.17	00.09.17	Об, Оп	Активный обвально-оползневой уступ высотой до 60 м, длиной 60 м, степень активности – до 50%. Фактор активизации: абразия моря, метеорологические.	
61.2017.0 026	208	Дубовский район, п.Мал.Лучка	00.00.17	00.09.17	Оп	Активный фронтальный оползень шириной 150 м, длиной 15 м, высота стенки срыва – 3 м. В оползневые смещения вовлечены, как четвертичные суглинки, так и коренные палеогеновые глины.	
61.2017.0 027	209	Неклиновский район, с.Долоковка	00.00.17	00.09.17	Об	Участок обвально-оползневого уступа протяженностью 400 м сложен суглинистыми породами. Наблюдалась низкая степень активности. Выявлен 1 свежий обвал объемом 80 м^3. Причина активизации: нагонные явления на побережье Таганрогского залива.	
61.2017.0 028	210	Неклиновский район, п.Веселый	00.00.17	00.09.17	Об	Участок обвально-оползневого уступа протяженностью 1км сложен суглинистыми породами. Наблюдалась низкая степень активности. Выявлено 2 свежих обвала общим объемом 60 м^3. Причина активизации: нагонные явления на побережье Таганрогского залива.	
61.2017.0 029	211	Неклиновский район, с.Новолакедомоновка	00.00.17	00.09.17	Об	Участок обвально-оползневого уступа протяженностью 100 м сложен суглинистыми породами. Наблюдалась низкая степень активности. Вдоль бровки уступа – трещины отпора, на стенке срыва – готовые для обрушения блоки. Причина активизации: нагонные явления на побережье Таганрогского залива.	
61.2017.0 030	212	Неклиновский район, г.Таганрог	00.00.17	00.09.17	Об	Участок обвально-оползневого уступа протяженностью 400 м сложен суглинистыми породами. Отмечена средняя степень активности. Причина активизации: нагонные явления на побережье Таганрогского залива. Под воздействием процессов находятся жилые постройки по ул.Нагорной в г.Таганроге.	
61.2017.0 031	213	Неклиновский район, с.Лакедемоновка	00.00.17	00.09.17	Об	Участок обвально-оползневого уступа протяженностью 400 м сложен суглинистыми породами. Отмечена низкая степень активности. Выявлен 1 свежий обвал объемом 80 м^3. Причина активизации: нагонные явления на побережье Таганрогского залива.	
61.2017.0 032	214	Неклиновский район, с.Весело-Вознесенка	00.00.17	00.09.17	Об	Участок обвального уступа протяженностью 70 м сложен суглинистыми породами. Наблюдалась высокая степень активности. Зафиксирован свежий обвал объемом 30 м^3. Причина активизации: нагонные явления на побережье Таганрогского залива.	
61.2017.0	215	Неклиновский	00.00.17	00.09.17	Об	Участок обвального уступа протяженностью 100 м сложен	

1	2	3	4	5	6	7	8
033		район, с.Весело-Вознесенка				суглинистыми породами. Наблюдалась высокая степень активности. Зафиксирован свежий обвал объемом 20 м^3. Причина активизации: нагонные явления на побережье Таганрогского залива.	
61.2017.0 034	216	Неклиновский район, с.Весело-Вознесенка	00.00.17	00.09.17	Об	Участок обвального уступа протяженностью 120 м сложен суглинистыми породами. Наблюдалась средняя степень активности. На протяжении 120 м – 2 свежих обвала общим объемом 40 м^3. Причина активизации: нагонные явления на побережье Таганрогского залива.	
61.2017.0 035	217	Неклиновский район, с.Весело-Вознесенка	00.00.17	00.09.17	Об	Участок обвального уступа протяженностью 150 м сложен суглинистыми породами. Наблюдалась средняя степень активности. Зафиксирован свежий обвал объемом 20 м^3. Причина активизации: нагонные явления на побережье Таганрогского залива.	
61.2017.0 036	218	Неклиновский район, с.Весело-Вознесенка	00.00.17	00.09.17	Об	Участок обвального уступа протяженностью 200 м сложен суглинистыми породами. Наблюдалась высокая степень активности, на протяжении 200 м – 3 свежих обвала общим объемом 130 м^3. Причина активизации: нагонные явления на побережье Таганрогского залива.	
61.2017.0 037	219	Неклиновский район, с.Весело-Вознесенка	00.00.17	00.09.17	Об	Участок обвального уступа протяженностью 80 м сложен суглинистыми породами. Наблюдалась средняя степень активности. Зафиксирован свежий обвал объемом 30 м^3. Причина активизации: нагонные явления на побережье Таганрогского залива.	
61.2017.0 038	220	Неклиновский район, с.Весело-Вознесенка	00.00.17	00.09.17	Оп, Об	Участок обвально-оползневого уступа протяженностью 300 м сложен суглинистыми породами. Наблюдалась высокая степень активности. На протяжении 200 м – 2 активных оползня общей площадью 900 м^2. Причина активизации: нагонные явления на побережье Таганрогского залива.	
61.2017.0 039	221	Неклиновский район, х.Приазовский	00.09.17	00.09.17	Об	Участок обвально-оползневого уступа,протяженностью 70 м сложен суглинистыми породами. Наблюдалась высокая степень активности. Зафиксирован свежий обвал объемом 40 м^3. Причина активизации: нагонные явления на побережье Таганрогского залива.	
61.2017.0 040	222	Пролетарский район, г.Пролетарск	00.09.17	00.09.17	Оп	Участок слабо активного обвально-оползневого уступа протяженностью 80 м, высота уступа – 3-4 м, подошва уступа заросла камышом, процесс – в стадии стабилизации.	
61.2017.0 041	223	Пролетарский район, г.Пролетарск	00.09.17	00.09.17	Оп	Участок слабо активного обвально-оползневого уступа протяженностью 200 м, высота уступа – 3-4 м, подошва уступа заросла мелколесьем, уступ – в стадии стабилизации.	
61.2017.0 042	224	Усть-Донецкий район, х.Пухляковский	00.00.17	00.09.17	Оп	Слабо активный блоково-консистентный оползень площадью около 15 тыс.м^2, был активен в головной части, высота стенки срыва – 1,2 м. Фактор активизации: метеорологический.	
61.2017.0	225	Усть-Донецкий	00.00.17	00.09.17	Оп	Слабо активный фронтальный оползень площадью около 175 тыс.м^2,	

1	2	3	4	5	6	7	8
043		район, п.Донские Зори				был активен по флангам. Фактор активизации: метеорологический.	
61.2017.0044	226	Усть-Донецкий район, ст.Раздорская	00.00.17	Не заверши-лась	Оп	Зафиксирована активизация оползневых проявлений на левом борту балки на северо-восточной окраине ст.Раздорской. Под воздействием ЭГП находится жилой дом №3 по ул. Ленина, отмечены трещины на стенах и бетонной отмостке. Фактор активизации: метеорологический.	
61.2017.0045	227	Неклиновский район, п.Золотая коса	00.00.17	00.09.17	Об	Участок обвального уступа протяженностью 100 м, сложен суглинистыми породами, активно до 10% протяженности уступа, в уступе сформированы отдельности. Причина активизации: процессы выветривания.	
61.2017.0046	228	Неклиновский район, п.Христофоровка	00.00.17	00.09.17	Об	Участок обвального уступа протяженностью 100 м сложен суглинистыми породами, активно до 10% протяженности уступа, в уступе сформированы отдельности. Причина активизации: процессы выветривания.	
61.2017.0047	229	Неклиновский район, п.Боцманово	00.00.17	00.09.17	Об	Участок обвального уступа протяженностью 100 м сложен суглинистыми породами, активно до 10% протяженности уступа. Зафиксировано 2 свежих обвала общим объемом 10 $м^3$. Причина активизации: процессы выветривания.	
61.2017.0048	230	Неклиновский район, п.Красный десант	00.00.17	00.09.17	Об	Участок обвального уступа протяженностью 100 м сложен суглинистыми породами, активно до 10% протяженности уступа, в уступе сформированы отдельности. Причина активизации: процессы выветривания.	
61.2017.0049	231	Неклиновский район, п.Приморка	00.00.17	00.09.17	Об	Участок обвального уступа протяженностью 100 м сложен суглинистыми породами, активно до 10% протяженности уступа, в уступе сформированы отдельности. Причина активизации: процессы выветривания.	
61.2017.0050	232	Неклиновский район, п.Мержаново	00.00.17	00.09.17	Оп	Участок обвально-оползневого уступа протяженностью 100 м сложен суглинистыми породами, активно 10% уступа. Причина активизации: абразионные процессы.	
61.2017.0051	233	Неклиновский район, п.Морской Чулек	00.00.17	00.09.17	Оп	Участок обвально-оползневого уступа протяженностью 230 м сложен суглинистыми породами, активно до 10% уступа, вдоль бровки уступа отмечены трещины отпора. Причина активизации: абразионные процессы.	
61.2017.0052	234	Цимлянский район, п.Саркел	00.00.17	00.09.17	Об	Участок обвально-оползневого уступа протяженностью 100 м сложен песками с прослоями ракушняков и песчаников, активно до 15% уступа. Факторы активизации: абразия моря, метеорологические условия, литологический состав грунтов (сыпучие и слабосвязанные осадочные породы).	

1	2	3	4	5	6	7	8
61.2017.0 053	235	Цимлянский район, п.Саркел	00.00.17	00.09.17	Об	Участок обвально-оползневого уступа протяженностью 100 м сложен песками с прослоями ракушняков и песчаников, активно до 20% уступа. Факторы активизации: абразия моря, метеорологические условия, литологический состав грунтов (сыпучие и слабосвязанные осадочные породы).	
61.2017.0 054	236	Цимлянский район, п.Саркел	00.00.17	00.09.17	Об	Участок обвально-оползневого уступа протяженностью 150 м сложен песками с прослоями ракушняков и песчаников, активно до 20% уступа. Факторы активизации: абразия моря, метеорологические условия, литологический состав грунтов (сыпучие и слабосвязанные осадочные горные породы).	
61.2017.0 055	237	Цимлянский район, г.Цимлянск	00.00.17	00.09.17	Об, Ос, Оп	Участок обвально-оползневого уступа протяженностью 100 м сложен песками с прослоями ракушняков и песчаников, активно до 25% протяженности уступа. Факторы активизации: абразия моря, метеорологические условия, литологический состав грунтов (сыпучие и слабосвязанные осадочные горные породы). В зоне воздействия процессов находится архитектурный памятник – ротонда, от бровки уступа до строения – 10 м.	
61.2017.0 056	238	Цимлянский район, п.Саркел	00.00.17	00.09.17	Об, Ос, Оп	Участок обвально-оползневого уступа протяженностью 100 м сложен песками с прослоями ракушняков и песчаников, активно до 20% протяженности уступа. Факторы активизации: абразия моря, метеорологические условия, литологический состав грунтов (сыпучие и слабосвязанные осадочные горные породы). В 50 м от бровки уступа расположено поселковое кладбище.	
61.2017.0 057	239	Цимлянский район, п.Саркел	00.00.17	00.09.17	Оп, Об	Участок обвально-оползневого уступа протяженностью 70 м сложен песками с прослоями ракушняков и песчаников, активно 10% протяженности уступа. Факторы активизации: абразия моря, метеорологические условия, литологический состав грунтов (сыпучие и слабосвязанные осадочные горные породы).	
61.2017.0 058	240	Цимлянский район, ст.Хорошевская	00.00.17	00.09.17	Об	Участок обвально-оползневого уступа протяженностью 100 м сложен песками с прослоями ракушняков и песчаников, активно 10% протяженности уступа. Факторы активизации: абразия моря, метеорологические условия, литологический состав грунтов (сыпучие и слабосвязанные осадочные горные породы).	
61.2017.0 059	241	Цимлянский район, ст.Хорошевская	00.00.17	00.09.17	Оп	Оползневой участок уступа протяженностью 100 м. Оползень старый циркообразный. Активность сохраняется в головной части. Факторы активизации: абразия моря, метеорологические условия, литологический состав грунтов (сыпучие и слабосвязанные осадочные породы). В зоне влияния оползня находятся домовладения по ул. Морской. Ближайшее	

1	2	3	4	5	6	7	8
						расстояния до забора – 20 м, до жилого дома – 60 м.	
61.2017.0060	242	Цимлянский район, ст.Хорошевская	00.00.17	00.09.17	Об	Участок обвально-оползневого уступа протяженностью 400 м представлен зоной фациального замещения белых, частично ожелезненных, песков и бурых суглинков с прослоями песчаников, активно до 25% протяженности уступа. Факторы активизации: абразия моря, метеорологические условия, литологический состав грунтов (сыпучие и слабосвязанные осадочные горные породы).	
61.2017.0061	243	Цимлянский район, г.Цимлянск	00.00.17	00.09.17	Оп	Участок активного обвально-оползневого, преимущественно оползневого, уступа протяженностью 1 км сложен бурыми лессовидными суглинками. Наибольшая активность наблюдалась на южном фланге на площади 16000 м^2. Факторы активизации: абразия моря, метеорологические условия, литологический состав грунтов (сыпучие и слабосвязанные осадочные горные породы).	
СЕВЕРО-КАВКАЗСКИЙ ФЕДЕРАЛЬНЫЙ ОКРУГ							
Республика Дагестан							
95.2017.0009	244	Буйнакский район, "1-й" массив, в 10км северо-западнее пст.Чиркей	14.08.17	14.08.17	Оп	Оползень современный, в делювиальных четвертичных отложениях, представленных суглинками, глинами. В зоне действия оползневого процесса находится Чиркейский ГЭС. Размеры оползневого массива: ширина – от 1,8 км, длина – 1,4 км, площадь – 2,5 км^2. Причиной активизации послужили сезонные атмосферные осадки, неотектоника и режим заполнения водохранилища. Рекомендации: вести наблюдения за оползневым процессом.	
95.2017.0010	245	Буйнакский район "2-й" массив в 9,0км северо-западнее пст.Чиркей	14.08.17	14.08.17	Оп	Оползень современный, в делювиальных четвертичных отложениях, представленных суглинками, глинами. В зоне действия оползневого процесса находится Чиркейский ГЭС. Размеры оползневого массива: ширина – от 2,6 км, длина – 1,7 км, площадь – 4,5 км^2. Причиной активизации послужили сезонные атмосферные осадки, неотектоника и режим заполнения водохранилища. Рекомендации: вести наблюдения за оползневым процессом	
95.2017.0011	246	Буйнакский район, "3-й" массив, в 8,0км северо-западнее пст.Чиркей	14.08.17	14.08.17	Оп	Оползень современный, в делювиальных четвертичных отложениях, представленных суглинками, глинами. В зоне действия оползневого процесса находится Чиркейский ГЭС. Размеры оползневого массива: ширина – от 1,6 км, длина – 1,56 км, площадь – 2,5 км^2. Причиной активизации послужили сезонные атмосферные осадки, неотектоника и режим заполнения водохранилища. Рекомендации: вести наблюдения за оползневым процессом	
95.2017.0012	247	Буйнакский район, "4-й" массив, в 14км	14.08.17	14.08.17	Оп	Оползень современный, в делювиальных четвертичных отложениях, представленных суглинками, глинами. В зоне действия оползневого	

1	2	3	4	5	6	7	8
		северо-западнее пст.Чиркей				процесса находится Чиркейский ГЭС. Размеры оползневого массива: ширина – от 2,0 км, длина – 1,75 км, площадь – 3,5 км^2. Причиной активизации послужили сезонные атмосферные осадки, неотектоника и режим заполнения водохранилища. Рекомендации: вести наблюдения за оползневым процессом	
95.2017.0 013	248	Буйнакский район, "5-й" массив, в 19км северо-западнее пст.Чиркей	14.08.17	14.08.17	Оп	Оползень современный, в делювиальных четвертичных отложениях, представленных суглинками, глинами. В зоне действия оползневого процесса находится Чиркейский ГЭС. Размеры оползневого массива: ширина – от 1,9 км, длина – 2,9 км, площадь – 5,5 км^2. Причиной активизации послужили сезонные атмосферные осадки, неотектоника и режим заполнения водохранилища. Рекомендации: вести наблюдения за оползневым процессом	
95.2017.0 014	249	Гунибский район, пст.Бацада	30.06.17	30.06.17	Оп	Оползень современный, в делювиальных четвертичных отложениях, представленных суглинками, глинами. В результате активизации оползневого процесса деформировано 3 домостроения с хозпостройками и автомобильный мост. Размеры оползневого массива: ширина – 30 м, длина – 60 м, глубина захвата – 5 м, площадь – 0,0018 км^2, объем – 9,0 тыс.м^3. Причиной активизации послужили сезонные атмосферные осадки. Рекомендации: вести наблюдения за оползневым процессом.	
95.2017.0 015	250	Гунибский район, а/д «Цуриб-Бацада»	30.06.17	30.06.17	Оп	Оползень современный, в делювиальных четвертичных отложениях, представленных суглинками, глинами. В результате активизации оползневого процесса деформирована автодорога с твердым покрытием протяженностью 120 м. Размеры оползневого массива: ширина – от 120 м, длина – 100 м, глубина захвата – 0,4 м, площадь – 0,012 км^2, объем – 4,8 тыс. м^3. Причиной активизации послужили сезонные атмосферные осадки. Рекомендации: ремонтно-восстановительные работы.	
95.2017.0 016	251	Докузпаринский район, пст.Каракюре	30.06.17	30.06.17	Оп	Оползень современный, в делювиальных четвертичных отложениях, представленных суглинками, глинами. В результате активизации оползневого процесса деформировано 1 домостроение с хозпостройками. Размеры оползневого массива: ширина – 50 м, длина – 40 м, глубина захвата – 3,0 м, площадь – 0,002 км^2, объем – 6,0 тыс.м^3. Причиной активизации послужили сезонные атмосферные осадки. Рекомендации. вести наблюдения за оползневым процессом.	
95.2017.0 017	252	Докузпаринский район, а/д «Магарамкент-Ахты» в 3км восточнее	01.08.17	01.08.17	Оп	Оползень современный, в аллювиально-делювиальных четвертичных отложениях, представленных суглинками, глинами. В результате активизации оползневого процесса деформировано 45 м автодороги. Длина оползневого с клона – 20 м, ширина – 45 м, высота – 5 м, площадь – 0,00008 км^2, объем – 1800 м^3. Причиной активизации послужили	

1	2	3	4	5	6	7	8
		с.Мискинджа				сезонные атмосферные осадки, подрезка склона при строительстве автодорог, крутизна склона. Рекомендации: ремонтно-восстановительные работы.	
95.2017.0018	253	Докузпаринский район, а/д «Магарамкент-Ахты» в 0,5км восточнее с.Ново-Каракюре	01.08.17	01.08.17	Оп	Оползень современный, в аллювиально-делювиальных четвертичных отложениях, представленных суглинками, глинами. В результате активизации оползневого процесса деформировано 25 м автодороги. Длина оползневого склона – 15 м, ширина – 25 м, высота – 2,5 м, площадь – 0,00004 км^2, объем – 950 м^3. Причиной активизации послужили сезонные атмосферные осадки, подрезка склона при строительстве автодорог, крутизна склона. Рекомендации: ремонтно-восстановительные работы.	
95.2017.0019	254	Докузпаринский район, а/д «Магарамкент-Ахты» в 0,7км восточнее с.Ново-Каракюре	01.08.17	01.08.17	Оп	Оползень современный, в аллювиально-делювиальных четвертичных отложениях, представленных суглинками, глинами. В результате активизации оползневого процесса деформировано 25 м автодороги. Длина оползневого склона – 15 м, ширина – 25 м, высота – 1,0 м, площадь – 0,00004 км^2, объем – 400 м^3. Причиной активизации послужили сезонные атмосферные осадки, подрезка склона при строительстве автодорог, крутизна склона. Рекомендации: ремонтно-восстановительные работы.	
95.2017.0020	255	Докузпаринский район, а/д «Магарамкент-Ахты» в 1,0км восточнее с.Ново-Каракюре	01.08.17	01.08.17	Оп	Оползень современный, в аллювиально-делювиальных четвертичных отложениях, представленных суглинками, глинами. В результате активизации оползневого процесса деформировано 25 м автодороги. Длина оползневого склона – 18 м, ширина – 25 м, высота – 0,4 м, площадь – 0,00005 км^2, объем – 180 м^3. Причиной активизации послужили сезонные атмосферные осадки, подрезка склона при строительстве автодорог, крутизна склона. Рекомендации: ремонтно-восстановительные работы.	
95.2017.0021	256	Казбековский район, пст.Дылым	26.65.17	26.06.17	Оп	Оползень современный, в делювиальных четвертичных отложениях, представленных суглинками, глинами. В результате активизации оползневых процессов разрушена автодорога 50 м, в потенциально опасной зоне находятся 3 домостроения с хозпостройками. Размеры 1-го оползня: длина – 15 м, ширина – 15 м, глубина захвата – 4,5 м, площадь – 0,001 км^2, объем – 3,375 тыс. м^3. Размеры 2-го оползня: длина – 15 м, ширина – 50 м, глубина захвата – 0,6 м, площадь – 0,001 км^2, объем – 450 м^3. Причиной активизации послужили сезонные атмосферные осадки, подрезка склона при строительстве автодорог. Рекомендации: вести наблюдения за оползневым процессом.	
95.2017.0	257	Левашинский район,	10.08.17	10.08.17	Оп	Оползень современный, в делювиальных четвертичных отложениях,	

1	2	3	4	5	6	7	8
022		а/д «Леваши-Хаджалмахи», участок № 1 в 5,0км западнее с.Леваши				представленных суглинками, глинами. В результате активизации оползневого процесса деформирована автодорога с твердым покрытием протяженностью 30 м. Размеры оползневого массива: ширина – 50 м, длина – 30 м, глубина захвата – 2,5 м, площадь – 0,0015 км^2, объем – 3,75 тыс.м^3. Причиной активизации послужили сезонные атмосферные осадки. Рекомендации: ремонтно-восстановительные работы.	
95.2017.0023	258	Левашинский район, а/д «Леваши-Хаджалмахи», участок № 2 в 50м юго-восточнее от участка № 1	10.08.17	10.08.17	Оп	Оползень современный, в делювиальных четвертичных отложениях, представленных суглинками, глинами. В результате активизации оползневого процесса деформирована автодорога с твердым покрытием на протяжении 70 м. Размеры оползневого массива: ширина – 70 м, длина – 15 м, глубина захвата – 2,0 м, площадь – 0,0011 км^2, объем – 2,1 тыс.м^3. Причиной активизации послужили сезонные атмосферные осадки. Рекомендации: ремонтно-восстановительные работы.	
95.2017.0024	259	Левашинский район, а/д «Леваши-Хаджалмахи», участок № 3 в 600м западнее участка № 1	10.08.17	10.08.17	Оп	Оползень современный, в делювиальных четвертичных отложениях, представленных суглинками, глинами. В результате активизации оползневого процесса деформирована автодорога с твердым покрытием на участке длиной 100 м. Размеры оползневого массива: ширина – 100 м, длина – 15 м, глубина захвата – 3,0 м, площадь – 0,0015 км^2, объем – 4,5 тыс.м^3. Причиной активизации послужили сезонные атмосферные осадки. Рекомендации: ремонтно-восстановительные работы.	
95.2017.0025	260	Магарамкенгтский район, южнее с.Ходжа-Казмаляр	28.06.17	28.06.17	Оп, Су	Оползень современный, в четвертичных отложениях, представленный суглинками и глинами. На теле оползня отмечены суффозионные воронки диаметром до 2,5 м и глубиной до 1,5 м. В результате активизации оползневого процесса деформировано 30 м берегозащитных сооружений. В потенциально опасной зоне находится магистральный нефтепровод «Грозный – Баку». Длина оползневого склона – 10 м, ширина – 30 м, высота – 1,5 м, площадь – 0,0003 км^2, объем – 450 м^3. Причиной активизации послужили сезонные атмосферные осадки. Рекомендации: вести наблюдения за оползневым процессом.	
95.2017.0026	261	Унцукульский район, Ирганайсткий участок "65" массив в 1,0км севернее пст.Шамилькала	17.07.17	21.07.17	Оп, Об	Оползень современный, в четвертичных делювиальных глинисто-суглинистых отложениях. На оползневом массиве активно развивается обвальный процесс на участке размерами: длина – 10 м, ширина – 20 м, объем – 1000 м^3. В зоне действия процессов находится Ирганайская ГЭС. Длина оползневого массива – 8,5 км, ширина – 1,18 км, площадь – 10,03 км^2. Причиной активизации послужили сезонные атмосферные осадки, неотектоника и режим заполнения водохранилища. Рекомендации: вести наблюдения за оползневым процессом.	
95.2017.0	262	Унцукульский	17.07.17	21.07.17	Оп	Оползень современный, в четвертичных делювиальных глинисто-	

1	2	3	4	5	6	7	8
027		район, Ирганайсткий участок "Станционный" массив в 2,5км южнее пст.Гимры				суглинистых отложениях. В зоне действия оползневых процессов находятся жилые домостроения с приусадебными хозяйствами, административное здание и другие объекты. Длина оползневого массива – 2,65 км, ширина – 1,0 км, площадь – 5,04 км^2. Причиной активизации послужили сезонные атмосферные осадки, неотектоника. Рекомендации: вести наблюдения за оползневым процессом.	
95.2017.0028	263	Цумадинский район, а/д «Агвали-Кидеро» в 4,0км восточнее с.Эчеда	26.08.17	26.08.17	Об-Ос	Обвал современный, в нижнеюрских отложениях, представленных аргиллитами, алевролитами, песчаниками. В результате активизации обвально-осыпных процессов деформировано 40 м автодороги. Длина обвального склона – 40 м, ширина – 4 м, высота – 5 м, площадь – 0,0002 км^2, объем – 800 м^3. Причиной активизации послужили сезонные атмосферные осадки, подрезка склона при строительстве автодорог, крутизна склона. Рекомендации: ремонтно-восстановительные работы.	
95.2017.0029	264	Цумадинский район, а/д «Агвали-Кидеро» в 2,0км юго-западнее с.Цумада-Урух	26.08.17	26.08.17	Об-Ос	Обвал современный, в нижнеюрских отложениях, представленных аргиллитами, алевролитами, песчаниками. В результате активизации обвально-осыпных процессов деформировано 80 м автодороги. Длина обвального склона – 80 м, ширина – 2 м, высота – 5 м, площадь – 0,0002 км^2, объем – 800 м^3. Причиной активизации послужили сезонные атмосферные осадки, подрезка склона при строительстве автодорог, крутизна склона. Рекомендации: ремонтно-восстановительные работы.	
95.2017.30	265	Цумадинский район, а/д «Агвали-Кидеро» в 1,0км восточнее с.Цумада-Урух	26.08.17	26.08.17	Об-Ос	Обвал современный, в нижнеюрских отложениях, представленных аргиллитами, алевролитами, песчаниками. В результате активизации обвально-осыпных процессов деформировано 100 м автодороги. Длина обвального склона – 100 м, ширина – 5 м, высота – 6 м, площадь – 0,0005 км^2, объем – 3,0 тыс.м^3. Причиной активизации послужили сезонные атмосферные осадки, подрезка склона при строительстве автодорог, крутизна склона. Рекомендации: ремонтно-восстановительные работы.	
95.2017.0031	266	Цумадинский район, а/д «Агвали-Кидеро» в 1,5км юго-западнее с.Кочали	26.08.17	26.08.17	Об-Ос	Обвал современный, в нижнеюрских отложениях, представленных аргиллитами, алевролитами, песчаниками. В результате активизации обвального процесса деформировано 20 м автодороги. Длина обвального склона – 40 м, ширина – 4 м, высота – 3 м, площадь – 0,00008 км^2, объем – 240 м^3. Причиной активизации послужили сезонные атмосферные осадки, подрезка склона при строительстве автодорог, крутизна склона. Рекомендации: ремонтно-восстановительные работы.	
95.2017.0032	267	Цумадинский район, Газопровод участок Качали	24.08.17	24.08.17	Об	Обвал (камнепад) современный, в нижнемеловые отложениях, представленный мергелистыми известняками. В результате активизации обвального процесса деформировано 30 м автодороги. Длина обвального	

1	2	3	4	5	6	7	8
						склона – 30 м, ширина – 6 м, высота – 5 м, площадь – 0,0002 км^2, объем – 900 м^3. Причиной активизации послужили сезонные атмосферные осадки, подрезка склона при строительстве автодорог. Рекомендации: ремонтно-восстановительные работы.	
95.2017.0033	268	г.Махачкала, пос.Сепараторов	26.06.17	26.06.17	Оп	Оползень современный, в делювиальных четвертичных отложениях, представленных суглинками, глинами. В результате активизации оползневого процесса деформировано 5 домостроений с хозяйственными постройками. Размеры оползня: длина – 100 м, ширина – 250 м, глубина захвата – 10 м, объем – 225 тыс.м^3, площадь – 0,25 км^2. Причиной активизации послужили сезонные атмосферные осадки, подрезка склона. Рекомендации: вести наблюдения за оползневым процессом.	
95.2017.0034	269	г.Махачкала, а/д М-29 южная окраина (2,5км от Южного поста)	26.06.17	26.06.17	Оп	Оползень современный, в делювиальных четвертичных отложениях, представленных суглинками, глинами. В результате активизации оползневого процесса деформировано 20 м автодороги. Ширина – 100 м, протяженность – 10 м, высота стенки отрыва – 1,0 м. Площадь оползневого участка – 0,001 км^2, объем – 1000 м^2. Причиной активизации послужили сезонные атмосферные осадки, подрезка склона при строительстве автодорог. Рекомендации: вести наблюдения за оползневым процессом.	
95.2017.0035	270	г.Махачкала, "Агачаульский "участок в 2,0км севернее пст.Агачаул	26.06.17	26.06.17	Оп	Оползень современный, в делювиальных четвертичных отложениях, представленных суглинками, глинами. В зоне воздействия оползневого процесса находятся жилые дома и другие объекты. Ширина оползня – 3,08 км, длина – 1,3 км. Площадь оползневого участка – 4,0 км^2. Причиной активизации послужили сезонные атмосферные осадки, подрезка склона при строительстве автодорог. Рекомендации: вести наблюдения за оползневым процессом.	
Республика Ингушетия							
06.2017.0001	271	Малгобекский район, г. Старый Малгобек	00.05.17	00.06.17	Оп	Активизация оползня объемом 45900 м^3 и площадью 15300 м^2 создала угрозу разрушения водопровода. Причина активизации: выпадение большого количества атмосферных осадков. Возраст проявления: современное. Комплексы горных пород, затронутые проявлением: Q_{IV}-N. Состав горных пород, затронутых проявлением: суглинки, глины, алевролиты.	
06.2017.0002	272	Малгобекский район, г. Старый Малгобек	00.05.17	Не заверши-лась	Оп	Активизация оползня объемом 8100 м^3 и площадью 2700 м^2 создала угрозу разрушения водопровода, проходящего в головной части оползня. В головной части и у края уступа – трещины закола на расстоянии 2 и 4 м. Причина активизации: выпадение большого количества атмосферных осадков. Возраст проявления: современное. Комплексы горных пород,	

1	2	3	4	5	6	7	8
						затронутые проявлением: Q_{IV}-N. Состав горных пород, затронутых проявлением: суглинки, глины, алевролиты.	
06.2017.0003	273	Малгобекский район, г. Старый Малгобек	00.05.17	00.05.17	Оп	Активизация оползня объемом 300 м^3 и площадью 300 м^2 (не оказывал воздействия на хозяйственные объекты). Причина активизации: выпадение большого количества атмосферных осадков. Возраст проявления: современное. Комплексы горных пород, затронутые проявлением: Q_{IV}-N. Состав горных пород, затронутых проявлением: суглинки, глины, алевролиты.	
06.2017.0004	274	Малгобекский район, ст.Вознесенская	00.05.17	Не заверши-лась	Оп	Активизация оползня объемом 72 м^3 и площадью 360 м^2 (не оказывал воздействия на хозяйственные объекты). Причина активизации: выпадение большого количества атмосферных осадков. Возраст проявления: современное. Комплексы горных пород, затронутые проявлением: Q_{IV}-N. Состав горных пород, затронутых проявлением: суглинки, глины, алевролиты.	
06.2017.0005	275	Малгобекский район, ст.Вознесенская	00.06.17	Не заверши-лась	Оп	Активизация оползня объемом 1800 м^3 и площадью 1800 м^2 (не оказывал воздействия на хозяйственные объекты). Причина активизации: выпадение большого количества атмосферных осадков. Возраст проявления: современное. Комплексы горных пород, затронутые проявлением: Q_{IV}-N. Состав горных пород, затронутых проявлением: суглинки, глины, алевролиты.	
06.2017.0006	276	Малгобекский район, автодорога ст. Вознесенская – г.Моздок, 1,44км	00.05.17	Не заверши-лась	Оп	Активизация оползня объемом 1600 м^3 и площадью 400 м^2 привела к разрушению участка полотна дороги длиной 10 м и шириной 1,0 м. Причина активизации: выпадение большого количества атмосферных осадков. Возраст проявления: современное. Комплексы горных пород, затронутые проявлением: Q_{IV}-N. Состав горных пород, затронутых проявлением: суглинки, глины.	
06.2017.0007	277	Малгобекский район, автодорога ст. Вознесенская – г.Моздок, 1,68км	00.05.17	Не заверши-лась	Оп	Активизация оползня объемом 3000 м^3 и площадью 600 м^2 привела к перекрытию полотна дороги на участке длиной 15 м и шириной 0,5 м. Причина активизации: выпадение большого количества атмосферных осадков. Возраст проявления: современное. Комплексы горных пород, затронутые проявлением: Q_{IV}-N. Состав горных пород, затронутых проявлением: суглинки, песчаники.	
06.2017.0008	278	Малгобекский район, автодорога ст.Вознесенская г. Ст. Малгобек, 2,5км	00.05.17	Не заверши-лась	Оп	Активизация оползня объемом 1500 м^3 и площадью 3000 м^2 привела к деформации полотна дороги с покрытием на участке 50 м и шириной 4 м. Причина активизации: выпадение большого количества атмосферных осадков. Возраст проявления: современное. Комплексы горных пород, затронутые проявлением: Q_{IV}-N. Состав горных пород, затронутых проявлением: суглинки, глины. Оползень находится в стадии зарождения.	

1	2	3	4	5	6	7	8
06.2017.0009	279	Малгобекский район, автодорога ст.Вознесенская – с.Подгорное	00.05.17	Не заверши-лась	Оп	Активизация оползня объемом 200 м^3 и площадью 100 м^2 привела к перекрытию дороги без покрытия на участке длиной 15 м и шириной 2,0 м. Причина активизации: выпадение большого количества атмосферных осадков. Возраст проявления: современное. Комплексы горных пород, затронутые проявлением: Q_{IV}-N. Состав горных пород, затронутых проявлением: суглинки, глины.	
06.2017.0010	280	Сунженский район, с. Даттых юго-западная окраина	00.07.17	Не заверши-лась	Оп	Новый оползень объемом 30 м^3 и площадью 60 м^2 создал угрозу разрушения газопровода. Причина активизации: выпадение большого количества атмосферных осадков. Возраст проявления: современное. Комплексы горных пород, затронутые проявлением: Q_{IV}-N. Состав горных пород, затронутых проявлением: суглинки, глины.	
06.2017.0011	281	Сунженский район, автодорога с. Даттых – с. Галашки, 0,5км	00.06.17	Не заверши-лась	Оп	Новый оползень объемом 160 м^3 и площадью 160 м^2 привел к перекрытию полотна дороги без покрытия шириной до 1 м на участке длиной 10 м. Причина активизации: выпадение большого количества атмосферных осадков. Возраст проявления: современное. Комплексы горных пород, затронутые проявлением: Q_{IV}-N. Состав горных пород, затронутых проявлением: суглинки, глины.	
06.2017.0012	282	Сунженский район, автодорога с. Даттых – с.Галашки, 3,4км	00.06.17	Не заверши-лась	Оп	Новый оползень объемом 75 м^3 и площадью 75 м^2 (не оказывал воздействия на хозяйственные объекты). Причина активизации: выпадение большого количества атмосферных осадков. Возраст проявления: современное. Комплексы горных пород, затронутые проявлением: Q_{IV}-N. Состав горных пород, затронутых проявлением: суглинки, глины.	
06.2017.0013	283	Сунженский район, автодорога с. Даттых – с. Галашки, 5,18км	00.06.17	Не заверши-лась	Оп	Активизация оползня объемом 3600 м^3 и площадью 1200 м^2 привела к разрушению полотна дороги без покрытия шириной до 1 м на участке длиной 20 м. Причина активизации: выпадение большого количества атмосферных осадков. Возраст проявления: современное. Комплексы горных пород, затронутые проявлением: Q_{IV}-N. Состав горных пород, затронутых проявлением: суглинки, глины.	
06.2017.0014	284	Сунженский район, автодорога с. Даттых – с. Галашки, 5,21км	00.06.17	Не заверши-лась	Оп	Активизация оползня объемом 1800 м^3 и площадью 1200 м^2 привела к его смещению на дорогу без покрытия с. Даттых – с. Галашки шириной до 1 м на участке длиной 5 м. Причина активизации: выпадение большого количества атмосферных осадков. Возраст проявления: современное. Комплексы горных пород, затронутые проявлением: Q_{IV}-N. Состав горных пород, затронутых проявлением: суглинки, глины.	
06.2017.0015	285	Сунженский район, автодорога с.Даттых – с.Галашки, 5,35км	00.06.17	Не заверши-лась	Оп	Активизация оползня объемом 1800 м^3 и площадью 1800 м^2 привела к перекрытию полотна дороги без покрытия шириной до 2 м, длиной 40 м. Причина активизации: выпадение большого количества атмосферных	

1	2	3	4	5	6	7	8
						осадков. Возраст проявления: современное. Комплексы горных пород, затронутые проявлением: Q_{IV}-N. Состав горных пород, затронутых проявлением: суглинки, глины.	
06.2017.0016	286	Сунженский район, автодорога с. Даттых – с. Галашки, 5,37км	00.06.17	Не заверши-лась	Оп	Активизация оползня объемом 24000 м^3 и площадью 8000 м^2 (не оказывал воздействия на хозяйственные объекты). Причина активизации: выпадение большого количества атмосферных осадков. Возраст проявления: современное. Комплексы горных пород, затронутые проявлением: Q_{IV}-N. Состав горных пород, затронутых проявлением: суглинки, глины.	
06.2017.0017	287	Сунженский район, автодорога с. Даттых – с.Галашки, 5,5км	00.06.17	Не заверши-лась	Оп	Активизация оползня объемом 5400 м^3 и площадью 3600 м^2 привела к разрушению полотна дороги без покрытия шириной 2 м на участке длиной 8 м. Причина активизации: выпадение большого количества атмосферных осадков. Возраст проявления: современное. Комплексы горных пород, затронутые проявлением: Q_{IV}-N. Состав горных пород, затронутых проявлением: суглинки, глины.	
06.2017.0018	288	Сунженский район, автодорога с. Даттых – с. Галашки, 5,9км	00.06.17	Не заверши-лась	Оп	Активизация оползня объемом 3200 м^3 и площадью 1600 м^2 привела к обрушению полотна дороги без покрытия на участке длиной 25 м и шириной до 2 м. Причина активизации: выпадение большого количества атмосферных осадков. Возраст проявления: современное. Комплексы горных пород, затронутые проявлением: Q_{IV}-N. Состав горных пород, затронутых проявлением: суглинки, глины.	
06.2017.0019	289	Сунженский район, автодорога с. Даттых – с.Галашки, 6,3км	00.06.17	Не заверши-лась	Оп	Активизация оползня объемом 350 м^3 и площадью 350 м^2 создала угрозу разрушения дороги при дальнейшей активизации. Причина активизации: выпадение большого количества атмосферных осадков. Возраст проявления: современное. Комплексы горных пород, затронутые проявлением: Q_{IV}-N. Состав горных пород, затронутых проявлением: суглинки, глины.	
06.2017.0020	290	Сунженский район, автодорога с. Даттых – с.Галашки, 6,5км	00.06.17	Не заверши-лась	Оп	Активизация оползня объемом 1200 м^3 и площадью 600 м^2 (не оказывал воздействия на хозяйственные объекты). Причина активизации: выпадение большого количества атмосферных осадков. Возраст проявления: современное. Комплексы горных пород, затронутые проявлением: Q_{IV}-N. Состав горных пород, затронутых проявлением: суглинки, глины.	
06.2017.0021	291	Сунженский район, автодорога с.Даттых – с.Галашки, 6,9км	00.06.17	Не заверши-лась	Оп	Активизация оползня объемом 14000 м^3 и площадью 7000 м^2 привела к деформации полотна дороги без покрытия на участке длиной 10 м. Разрушен участок дороги шириной до 1 м и длиной 5 м. Причина активизации: выпадение большого количества атмосферных осадков. Возраст проявления: современное. Комплексы горных пород, затронутые	

1	2	3	4	5	6	7	8
						проявлением: Q_{IV}-N. Состав горных пород, затронутых проявлением: суглинки, глины.	
06.2017.0022	292	Сунженский район, автодорога с.Даттых – с.Галашки, 7,0км	00.06.17	Не заверши-лась	Оп	Активизация оползня объемом 1800 м^3 и площадью 1200 м^2 привела к перекрытию участка дороги без покрытия шириной до 1 м, длиной 5 м. Причина активизации: выпадение большого количества атмосферных осадков. Возраст проявления: современное. Комплексы горных пород, затронутые проявлением: Q_{IV}-N. Состав горных пород, затронутых проявлением: суглинки, глины.	
06.2017.0023	293	Сунженский район, автодорога с. Датых – с.Галашки, 7,16км	00.07.17	Не заверши-лась	Оп	Активизация оползня объемом 800 м^3 и площадью 400 м^2 привела к перекрытию дороги с покрытием на участке длиной 6 м и шириной до 1,5 м. Причина активизации: выпадение большого количества атмосферных осадков. Возраст проявления: современное. Комплексы горных пород, затронутые проявлением: Q_{IV}-N. Состав горных пород, затронутых проявлением: суглинки, глины.	
06.2017.0024	294	Сунженский район, автодорога с.Даттых – с. Галашки, 7,53км	00.07.17	Не заверши-лась	Оп	Активизация оползня объемом 21000 м^3 и площадью 7000 м^2 привела к разрушению полотна дороги без покрытия шириной до 1,5 м, длиной 30 м. Существует угроза разрушения опоры ЛЭП. Причина активизации: выпадение большого количества атмосферных осадков. Возраст проявления: современное. Комплексы горных пород, затронутые проявлением: Q_{IV}-N. Состав горных пород, затронутых проявлением: суглинки, глины.	
06.2017.0025	295	Сунженский район, автодорога с. Даттых – с.Галашки, 7,86км	00.07.17	Не заверши-лась	Оп	Активизация оползня объемом 300 м^3 и площадью 300 м^2 привела к перекрытию полотна дороги без покрытия шириной до 1 м, длиной 10 м. Причина активизации: выпадение большого количества атмосферных осадков. Возраст проявления: современное. Комплексы горных пород, затронутые проявлением: Q_{IV}-N. Состав горных пород, затронутых проявлением: суглинки, глины.	
06.2017.0026	296	Сунженский район, автодорога с. Датых – с. Галашки, 7,93км	00.06.17	Не заверши-лась	Оп	Активизация оползня объемом 600 м^3 и площадью 600 м^2 привела к разрушению дороги с покрытием шириной до 1 м на участке длиной до 5 м. Причина активизации: выпадение большого количества атмосферных осадков. Возраст проявления: современное. Комплексы горных пород, затронутые проявлением: Q_{IV}-N. Состав горных пород, затронутых проявлением: суглинки, глины.	
06.2017.0027	297	Сунженский район, автодорога с. Датых – с.Галашки, 10,18км	00.06.17	Не заверши-лась	Оп	Активизация оползня объемом 300 м^3 и площадью 300 м^2 привела к разрушению полотна дороги без покрытия шириной до 1,5 м на участке длиной до 5 м. Причина активизации: выпадение большого количества атмосферных осадков. Возраст проявления: современное. Комплексы горных пород, затронутые проявлением: Q_{IV}-N. Состав горных пород,	

1	2	3	4	5	6	7	8
						затронутых проявлением: суглинки, глины.	
06.2017.0028	298	Сунженский район, автодорога с.Датых – с.Галашки, 12,0км	00.06.17	Не заверши-лась	Оп	Активизация оползня объемом 150 м^3 и площадью 150 м^2 привела к перекрытию дороги с покрытием шириной до 1 м на участке длиной до 5 м. Причина активизации: выпадение большого количества атмосферных осадков. Возраст проявления: современное. Комплексы горных пород, затронутые проявлением: Q_{IV}-N. Состав горных пород, затронутых проявлением: суглинки, глины.	
06.2017.0029	299	Сунженский район, автодорога с. Датых – с. Галашки, 13,9км	00.07.17	Не заверши-лась	Оп	Активизация оползня объемом 200 м^3 и площадью 200 м^2 (не оказывал воздействия на хозяйственные объекты). Причина активизации: выпадение большого количества атмосферных осадков. Возраст проявления: современное. Комплексы горных пород, затронутые проявлением: Q_{IV}-N. Состав горных пород, затронутых проявлением: суглинки, глины.	
06.2017.0030	300	Сунженский район, с.Галашки	00.07.17	Не заверши-лась	Оп	Новый оползень объемом 450 м^3 и площадью 450 м^2 перекрыл дорогу с покрытием шириной до 1 м на участке длиной до 10 м. Причина активизации: выпадение большого количества атмосферных осадков. Возраст проявления: современное. Комплексы горных пород, затронутые проявлением: Q_{IV}-N. Состав горных пород, затронутых проявлением: суглинки, глины.	
06.2017.0031	301	Сунженский район, с.Галашки	00.06.17	Не заверши-лась	Оп	Активизация оползня объемом 3000 м^3 и площадью 1500 м^2 привела к разрушению полотна дороги с покрытием на участке длиной 16 м. Причина активизации: выпадение большого количества атмосферных осадков. Возраст проявления: современное. Комплексы горных пород, затронутые проявлением: Q_{IV}-N. Состав горных пород, затронутых проявлением: суглинки, глины.	
06.2017.0032	302	Сунженский район, автодорога с. Галашки – с.Мужичи, 2,84км	00.07.17	Не заверши-лась	Оп	Новый оползень объемом 2250 м^3 и площадью 750 м^2 создал угрозу разрушения дороги. Причина активизации: выпадение большого количества атмосферных осадков. Возраст проявления: современное. Комплексы горных пород, затронутые проявлением: Q_{IV}-N. Состав горных пород, затронутых проявлением: суглинки, глины.	
06.2017.0033	303	Сунженский район, автодорога с. Галашки – с. Мужичи, 2,96км	00.06.17	Не заверши-лась	Оп	Активизация оползня объемом 16000 м^3 и площадью 4000 м^2 привела к перекрытию полотна дороги без покрытия шириной до 3 м на участке длиной 30 м. Причина активизации: выпадение большого количества атмосферных осадков. Возраст проявления: современное. Комплексы горных пород, затронутые проявлением: Q_{IV}-N. Состав горных пород, затронутых проявлением: суглинки, глины.	
06.2017.0034	304	Сунженский район, автодорога с.	00.06.17	Не заверши-	Оп	Новый оползень объемом 600 м^3 и площадью 200 м^2 (не оказывал воздействия на хозяйственные объекты). Причина активизации:	

1	2	3	4	5	6	7	8
		Галашки – с.Мужичи, 3,32км		лась		выпадение большого количества атмосферных осадков. Возраст проявления: современное. Комплексы горных пород, затронутые проявлением: Q_{IV}-N. Состав горных пород, затронутых проявлением: суглинки, глины.	
06.2017.0035	305	Сунженский район, автодорога с. Мужичи – с.Нижний Алкун	00.05.17	Не заверши-лась	Оп	Новый оползень объемом 2250 м^3 и площадью 1125 м^2 (не оказывал воздействия на хозяйственные объекты). Причина активизации: проведение дорожных работ при реконструкции дороги. Возраст проявления: современное. Комплексы горных пород, затронутые проявлением: Q_{IV}-N. Состав горных пород, затронутых проявлением: суглинки, глины.	
06.2017.0036	306	Сунженский район, автодорога с. Галашки – с. Алхасты, 0,25км	00.06.17	Не заверши-лась	Оп	Активизация оползня объемом 1800 м^3 и площадью 900 м^2 (не оказывал воздействия на хозяйственные объекты). Причина активизации: выпадение большого количества атмосферных осадков. Возраст проявления: современное. Комплексы горных пород, затронутые проявлением: Q_{IV}-N. Состав горных пород, затронутых проявлением: суглинки, глины.	
06.2017.0037	307	Сунженский район, автодорога с. Галашки – с. Алхасты, 1,03км	00.06.17	Не заверши-лась	Оп	Новый оползень объемом 90 м^3 и площадью 180 м^2 деформировал участок полотна дороги с покрытием длиной 12 м, шириной до 1,5 м. Причина активизации: выпадение большого количества атмосферных осадков. Возраст проявления: современное. Комплексы горных пород, затронутые проявлением: Q_{IV}-N. Состав горных пород, затронутых проявлением: суглинки, глины.	
Кабардино-Балкарская Республика							
07.2017.0009	308	Черекский район, с. Верхняя Балкария	00.06.17	00.08.17	Оп	В левом борту р. Черек Балкарский, в 600 м выше тоннеля, на нижней части склона отмечено образование оползня размерами до 120×90 м, высота стенки отрыва – до 5-7 м, объем переместившихся масс – около 50 тыс.м^3. Факторы активизации: атмосферные осадки, подрезка склона р.Черек Балкарский. Активизация процесса не нанесла ущерба.	
07.2017.0010	309	Черекский район, с. Верхняя Балкария	00.09.17	00.09.17	Оп	На участке «Верхняя Балкария» следы оползневой активизации отмечены на южном фланге, в 1,5 км ниже с. Верхняя Балкария. На крайнем левом оползневом блоке произошло смещение вдоль полотна автодороги на участке длиной около 40 м, зафиксировано обновление трещины отрыва вдоль обочины автодороги Урвань – Уштулу и левой боковой трещины оползневого блока на нижнем откосе дороги (ниже дороги на 4-5 м). Вертикальное и горизонтальное смещение составило около 0,2 м. Летом здесь была выполнена подсыпка грунта, отмечена деформация полотна автодороги на участке длиной около 50 м.	
07.2017.0	310	Черекский район,	00.08.17	00.09.17	Об	В правом борту р. Черек Балкарский, в 2,5 км выше Нижнего голубого	

1	2	3	4	5	6	7	8
011		с. Бабугент				озера, произошёл обвал рыхлых отложений со стенки карьера (используется дорожными службами при ремонте и обслуживании автодорог), объёмом до 30 м^3. Вероятные факторы активизации: метеорологический (атмосферные осадки) и техногенный.	
07.2017.0 012	311	Черекский район, с. Карасу	00.07.17	00.09.17	Оп	В 6 км выше с. Карасу, в левом борту р. Черек Хуламский, отмечены следы активизации на оползне, пересекаемом автодорогой Карасу – Безенги. Участок размерами около 50×50 м приурочен к нижнему откосу на правом борту оползня. На контакте с автодорогой и вдоль нижней обочины вновь обновились трещины отрыва вдоль автодороги, вертикальная амплитуда – до 0,6 м, смещение в плане – около 0,3 м. Деформировано и повреждено около 50 м автодороги. Фактически, для проезда автотранспорта остаётся проезжей одна полоса шириной до 3,5 м. Объем горных пород, вовлеченных в смещения, – около 3,5 тыс.м^3. Активность отмечается на этом участке ежегодно, с 2008 г., после реконструкции автодороги.	
07.2017.0 013	312	Чегемский район, с. Эльтюбю	00.06.17	00.08.17	Оп	В левом борту р. Чегем, напротив устья р. Быкмылги (пр. приток р. Чегем) отмечена активизация части крупного древнеоползневого массива в левом борту р. Чегем. Размеры участка активизации в левом борту оползня – 50×35 м, объем сместившихся масс – около 4 тыс.м^3, породы представлены обломками и щебнем коренных пород и вышележащими делювиально-коллювиальными отложениями. Было частично перекрыто 30 м грунтовой автодороги Лечинкай – Булунгу, дорожная полка которой врезана в нижнюю часть оползневого склона. Склон частично обводнён. Фактор активизации – атмосферные осадки, движение автотранспорта.	
07.2017.0 014	313	Чегемский район, с. Эльтюбю	00.07.17	00.08.17	Об	В правом борту р. Чегем, в 850 м ниже устья р. Абардансу, произошёл обвал верхнего откоса дороги на участке размерами 25×12 м. Дорога проложена по средней части склона высотой до 30 м, сложенного аллювиальными отложениями. Объем переместившихся масс – до 130 м^3. Было частично перекрыто около 35 м грунтовой автодороги Лечинкай – Булунгу. Вероятные факторы активизации – метеорологический, техногенный (движение автотранспорта).	
07.2017.0 015	314	Чегемский район, с. Эльтюбю	00.07.17	00.08.17	Оп	В 450 м ниже устья р. Абардансу, в правом борту р. Чегем, в искусственной насыпи восстановленного в 2014 г. участка автодороги Хуштосырт – Булунгу произошли оползневые подвижки на участке, охваченном оползневым процессом. Отступление бровки нижнего откоса дорожной насыпи составило 2-3 м, подвижки произошли по намеченным в 2016 г. трещинам отрыва. Отмечалось прекращение подвижек в	

1	2	3	4	5	6	7	8
						насыпных грунтах, частично залеченные трещины отмечались на протяжении 130 м дороги, ширина захваченного оползанием участка – от 1 до 5-6 м, для проезда доступна одна полоса автодороги. Вертикальное смещение – 0,2-10 м, раскрытие трещин – до 20 см. Высота нижнего откоса – около 15 м, базис – р.Чегем. Было повреждено 130 м автодороги.	
07.2017.0016	315	Эльбрусский район, с. Былым	00.06.17	00.08.17	Оп	В правом борту долины р. Гижгит, на склоне выше хвостохранилища №3 бывшего Тырныаузского ГОКа, продолжаются подвижки оползня, образовавшегося в 2006 г. Смещения по вертикали и горизонтали достигают 0,3 м. Ширина раскрытия трещин на отдельных участках выше грунтовой автодороги достигает 7 м. Общий объем переместившихся масс составил около 30 тыс. м^3. При этом было деформировано около 130 м грунтовой автодороги. Причина развития и ежегодной активизации оползня: подрезка склона земляными работами, атмосферные осадки.	
07.2017.0017	316	Эльбрусский район, г. Тырныауз	14.08.17	15.08.17	Оп	На нижней части языка оползня Бузулган произошли оползневые подвижки на трёх участках размерами 10×40 м, 25×40 м и 90×40 м. Активизация оползневого процесса была вызвана подрезкой селевыми потоками по р. Герхожансу нижней части языка оползневого массива, который представляет собой крутой осыпной склон, сложенный рыхлообломочными оползневыми отложениями. Общий объем переместившихся масс составил около 9,5 тыс.м^3, при этом поступило в русло р. Герхожансу и было вовлечено в селевые потоки ориентировочно до половины объёма переместившихся оползневых масс (около 4750м^3).	
07.2017.0018	317	Эльбрусский район, г. Тырныауз	14.08.17	15.08.17	Оп	В 100 м ниже устья р. Сакашильсу, в правом борту р. Герхожансу отмечена активизация оползневого процесса на участке размерами 25×40 м, при средней мощности до 2 м. Активизация была вызвана подрезкой селевыми потоками по р. Герхожансу нижней части крутого склона, сложенного рыхлообломочными отложениями. Объем сместившихся масс, почти полностью вовлечённых в селевые потоки, – около 2000 м^3.	
07.2017.0019	318	Эльбрусский район, с. Кенделен	00.06.17	00.08.17	Об	В правом борту р. Тызыл, в 2,7 км выше устья р. Урды (правый приток), с крутого откоса над автодорогой произошёл обвал на участке размерами 15×10 м объёмом до 25 м^3, размеры одной глыбы – до 3×2×2 м и более мелкий обломочный материал. Было частично завалено 5 м автодороги. Вероятный фактор активизации – метеорологический.	
07.2017.0020	319	Зольский район, правый борт левого притока р. Харбас, верховой откос	00.06.17	00.08.17	Оп	В долине р. Малка, в правом борту левого притока р. Харбас (второй крупный левый приток от устья р. Харбас), в верховом откосе автодороги Кисловодск – Долина нарзанов – Джилысу отмечена активность оползневого процесса. На оползне размерами 220×100 м, подрезаемом	

1	2	3	4	5	6	7	8
		автодороги Кисловодск – Долина нарзанов – Джилысу				автодорогой, произошла подвижка в правом борту. Активный участок имеел размеры около 55×30 м, при оползневых подвижках были завалены кюветы вдоль автодороги на протяжении 30 м, объем переместившихся масс составил 3,3 тыс.м^3. Склон задернован, частично залесён, отмечено смещение деревьев вместе с оползневыми массами. Средняя и нижняя части склона местами обводнены. Подвижки на данном участке отмечались и в 2014-2015 г.г.	
07.2017.0021	320	Зольский район, правый борт левого притока р. Харбас, низовой откос автодороги Кисловодск – Долина нарзанов – Джилысу	00.06.17	00.08.17	Оп	В правом борту левого притока р. Харбас отмечена оползневая активизация в насыпных грунтах в низовом откосе автодороги. Оползневая активность отмечалась здесь в 2014-16 гг. Горизонтальное смещение составило до 0,2-0,3 м, вертикальная амплитуда – 0,5 м. Трещины вдоль низового откоса отмечались на протяжении 20 м, частично залечены. Деформированы и повалены ограждающие бетонные блоки.	
07.2017.0022	321	Зольский район, правый борт левого притока р.Харбас, верховой откос автодороги Кисловодск – Долина нарзанов – Джилысу	00.06.17	00.08.17	Об	В долине р. Малка, в правом борту левого притока р. Харбас выявлена активизация обвального процесса. Обвал произошёл в верховом откосе автодороги Кисловодск – Долина Нарзанов – Джилысу, при этом было завалено около 10 м асфальтированной автодороги. Объем переместившихся масс (в основном, обломки песчаников) составил около 30 м^3, размеры обломков – до 2 м. При очистке дороги грунты были перемещены на низовой откос. Вероятный фактор активизации – метеорологический.	
07.2017.0023	322	Зольский район, правый борт р.Харбас, верховой откос автодороги Кисловодск – Долина нарзанов – Джилысу	00.06.17	00.08.17	Оп	В правом борту р. Харбас отмечена активность на оползне в верховом откосе автодороги Кисловодск – Долина нарзанов – Джилысу. Размеры оползня 75×20 м, активный участок размерами 25×15 м – приблизительно в центре оползня. Горизонтальное и вертикальное смещение рыхлообломочных отложений (песчаники, алевролиты) составило до 2 м. Был завален кювет вдоль автодороги под верховым откосом на протяжении 20 м, объем переместившихся масс – около 750 м^3.	
07.2017.0024	323	Зольский район, левый борт р. Малка, в 500 м ниже моста через р. Малка	00.06.17	00.08.17	Оп	В левом борту р. Малка отмечена активность на оползне размерами около 400×100 м. Оползень развит на теле более древнего, размерами около 550×150 м, язык которого спускается на левую террасу р. Малка. Оползень обводнён, дренируется ручьями справа и слева, в верхней части отмечаются два озерца, размерами до 15×10 м. Оползень в средней части в правом борту подрезается трассой автодороги Кисловодск – Долина нарзанов – Джилысу. Правая боковая плоскость смещения оползня проходит через два витка серпантина автодороги. Боковые трещины	

1	2	3	4	5	6	7	8
						секут участок протяжённостью до 45 м и ниже по склону на следующем витке. Высота смещений на асфальтовом полотне – до 0,35 м, длина – до 7 м. Деформировано около 50 м автодороги. Факторы активизации – геологический (трещиноватость коренных пород, обводненность), техногенный (подрезка, пригрузка склона при строительстве автодороги).	
07.2017.0025	324	Черекский район, с. Верхняя Балкария	00.06.17	00.08.17	Оп	В левом борту р. Черек Балкарский, в 600 м выше тоннеля, на нижней части склона отмечено образование оползня размерами до 120×90 м, высота стенки отрыва – до 5-7 м, объем переместившихся масс составил около 50 тыс.м^3. Факторы активизации – атмосферные осадки, подрезка склона р. Черек Балкарский. Активизация процесса не нанесла ущерба.	
Карачаево-Черкесская Республика							
99.2017.0003	325	Адыге-Хабльский район, а/д Эркен-Юрт – Эрсакон, 8 км	00.00.16	Не заверши-лась	Оп	Отмечались деформации полотна автодороги с покрытием на участке протяженностью 70 м, которые продолжаются с 2016 г. Параметры оползневого проявления: ширина – 70 м, длина – 6 м, площадь – до 470 м^2. Основные факторы активизации: атмосферный и техногенный.	
99.2017.0004	326	Адыге-Хабльский район, а/д Эркен-Юрт – Эрсакон, 9 км	00.00.16	Не заверши-лась	Оп	Отмечались деформации полотна автодороги с покрытием на участке протяженностью 145 м, которые продолжаются с 2016 г. Зафиксирована просадка полотна дороги на 5-10 см. Параметры оползневого проявления: ширина – 145 м, длина – 6 м, площадь – 1700 м^2. Основные факторы активизации: атмосферный и техногенный.	
99.2017.0005	327	Зеленчукский район, а/д Сторожевая – Исправная, 18 км	00.00.16	Не заверши-лась	Оп	Отмечались деформации полотна дороги на 2/3 ее ширины на участке длиной 100 м, которые продолжаются с 2016 г. Параметры проявления: ширина – 100 м, длина – до 9 м, площадь – 900 м^2. В зоне воздействия находится участок зеленчукского группового водовода длиной около 80 м. Основные факторы активизации: атмосферный и техногенный.	
99.2017.0006	328	Зеленчукский район, а/д Сторожевая – Преградная, 10 км	00.03.16	Не заверши-лась	Оп	В результате активизации оползневого процесса отмечалась деформация полотна автодороги на участке длиной 70 м, просадка грунтов примерно на 10 см. Параметры проявления: ширина – 70 м, длина – 6 м, площадь – до 450 м^2. Основные факторы активизации: атмосферный и техногенный.	
99.2017.0007	329	Зеленчукский район, а/д Сторожевая – Преградная, 14,6 км	00.00.17	Не заверши-лась	Оп	В результате активизации оползневого процесса отмечалась деформация полотна автодороги на участке длиной 15 м, деформировано 1/4 ширины дороги. Параметры проявления: ширина – 15 м, длина – 5 м, площадь – до 172 м^2. Основные факторы активизации: атмосферный и техногенный.	
99.2017.0008	330	Карачаевский район, а/д Кисловодск –	00.03.16	Не заверши-лась	Оп	В результате активизации оползневого процесса отмечалась деформация полотна автодороги на участке длиной 65 м, просадка грунтов примерно на 5 см. Параметры проявления: ширина – 65 м, длина	

1	2	3	4	5	6	7	8
		Карачаевск, 49,95 км				– 6 м, площадь – до 440 м^2. Основные факторы активизации: атмосферный и техногенный.	
99.2017.0009	331	Карачаевский район, а/д Кисловодск – Карачаевск, 51,18 км	00.03.16	Не заверши-лась	Оп	В результате активизации оползневого процесса отмечалась деформация полотна автодороги на участке длиной до 100 м, просадка грунтов примерно на 3-5 см. Параметры проявления: ширина – 100 м, длина – 5 м, площадь – до 680 м^2. Основные факторы активизации: атмосферный и техногенный.	
99.2017.0010	332	Карачаевский район, а/д Кисловодск – Карачаевск, 51,63 км	00.03.16	Не заверши-лась	Оп	В результате активизации оползневого процесса отмечалась деформация полотна автодороги на участке длиной до 15 м. Величина просадки – до 3 см. Параметры проявления: ширина – до 15 м, длина – 5 м, площадь – до 100 м^2. Основные факторы активизации: атмосферный и техногенный.	
99.2017.0011	333	Карачаевский район, а/д Кисловодск – Карачаевск, 52,16 км	00.03.16	Не заверши-лась	Оп	В результате активизации оползневого процесса отмечалась деформация полотна автодороги на участке длиной до 25 м. Величина просадки – 2-5 см. Параметры проявления: ширина – 25 м, длина по склону – 6 м, площадь – до 120 м^2. Основные факторы активизации: атмосферный и техногенный.	
99.2017.0012	334	Карачаевский район, а/д Кисловодск – Карачаевск, 53,64 км	00.03.17	Не заверши-лась	Оп	В результате активизации оползневого процесса отмечалась деформация полотна автодороги на участке длиной до 100 м. В низовом откосе – трещины отрыва шириной до 10 см с горизонтальным смещением бетонных отбойников до 30 см. Параметры проявления: ширина – 100м, длина – 6м, площадь – до 600 м^2.	
99.2017.0013	335	Карачаевский район, а/д Кисловодск – Карачаевск, 58,1 км	00.03.17	00.07.17	Оп	Выявлена активность оползневого процесса в верховом и низовом откосах автодороги. Оползневыми массами было перекрыто полотно а/д на интервале до 20 м. Полотно а/д было расчищено. В низовом откосе в прелелах бровки дороги отмечалось отседание полотна дороги на 0,5 м. Было повреждено ограждение дороги. Параметры проявления: ширина – до 20 м, длина по склону в верховом откосе дороги – до 15 м, длина по склону в низовом откосе дороги – до 40 м. Суммарная площадь активизации – до 812 м^2.	
99.2017.0014	336	Карачаевский район, а/д Новая Теберда – Домбай, 2,0 км	00.00.17	00.07.17	Оп	В результате размыва языковой части оползня произошло оползание участка автодороги Новая Теберда – Домбай протяженностью 55 м. Параметры проявления: ширина – 55 м, длина – 5 м, площадь – до 550 м^2. основные факторы активизации: боковая эрозия р. Теберда, техногенный.	
99.2017.0015	337	Карачаевский район, а/д Новая Теберда – Домбай, 2,7 км	00.00.17	00.07.17	Оп	Оползневыми массами было перекрыто полотно автодороги на участке протяженностью 15 м. Полотно автодороги было расчищено. Параметры проявления: ширина – 15 м, длина по склону – до 25 м, площадь – 230 м^2.	

1	2	3	4	5	6	7	8
99.2017.0016	338	Карачаевский район, а/д Новая Теберда – Домбай, 46 км	00.00.17	00.07.17	Об	Обвально-осыпные массы заполнили придорожный водопропускной бетонный лоток на участке протяженностью 75 м. Длина обвального склона – до 75 м, высота – до 12 м.	
99.2017.0017	339	Карачаевский район, пос. Новая Теберда	00.00.16	Не заверши-лась	Пт	В результате аномального количества осадков в юго-восточной части а. Новая Теберда по ул. Горная отмечалось развитие подтопления с замачиванием фундаментов жилых домов и полуподвальных помещений.	
99.2017.0018	340	Малокарачаевский район, а/д Красный Восток – Эльтаркач, 6,4 км	00.00.17	Не заверши-лась	Оп	В результате активизации оползневого процесса в оползневые смещения была вовлечена бровка низового откоса автодороги с бетонными отбойниками на участке длиной 85 м. Параметры проявления: ширина – до 85 м, длина – 12 м, мощность оползневых масс – до 2 м, площадь – до 865 м^2.	
99.2017.0019	341	Малокарачаевский район, с. Красный Восток	00.00.17	00.08.17	Оп	В результате активизации оползневого процесса отмечалась деформация берегозащитных сооружений (бетонных блоков) по левому берегу р. Кума на участке протяженностью 10 м . Параметры проявления: ширина – 10 м, длина по склону – 5 м, площадь – до 50 м^2.	
99.2017.0020	342	Ногайский район, п. Эркен-Шахар	00.06.17	00.08.17	Пт	После выпадения большого количества осадков отмечалось подтопление жилых домов, хозяйственных построек и приусадебных участков в юго-западной части п. Эркен-Шахар по ул. Пионерская, ул. К.Мижевой и ул. Элеваторная. На территории домовладений и частных подворий наблюдалось несколько зон высачивания грунтовых вод, приуроченных к участкам сочленения левобережных надпойменных террас р.Кубань.	
99.2017.0021	343	Прикубанский район, свх. Горный	00.00.16	Не заверши-лась	Пт	В пределах Прикубанского участка активные процессы подтопления были зафиксированы на ранее выявленном участке в районе свх. Горный. Площадь подтопленных сельскохозяйственных земель составила около 60 га (0,6 км^2).	
99.2017.0022	344	Прикубанский район, с. Чапаевское	00.03.16	Не заверши-лась	Оп	На восточной окраине с. Чапаевское активизация оползневого процесса зафиксирована в контурах 2 ранее выявленных оползневых массивов. В результате активизации оползневого процесса в оползневые смещения было вовлечено 0,43 га земель сельскохозяйственного назначения. Параметры проявления: ширина – до 60 м, длина по склону – до 78 м, площадь – 4300 м^2. Было отмечено активное развитие трещин растяжения в средней части оползневого участка.	
99.2017.0023	345	Прикубанский район, с. Чапаевское	00.03.16	Не заверши-лась	Оп	На восточной окраине с. Чапаевское активизация оползневого процесса зафиксирована в контурах 2 ранее выявленных оползневых массивов. В результате активизации оползневого процесса в оползневые смещения было вовлечено 1,2 га земель сельскохозяйственного	

1	2	3	4	5	6	7	8
						назначения. Параметры проявления: ширина – до 77 м, длина по склону – до 145 м, площадь – 12 000 м^2. Было отмечено активное развитие трещин растяжения в средней части оползневого участка.	
Республика Северная Осетия – Алания							
15.2017.0015	346	Алагирский район, пос. Бурон	07.07.17	00.08.17	Об-Ос	В начале июля, после сильных ливневых дождей произошло обрушение верхового откоса автодороги Бурон – Цей (на 6 км), представленного разрушенными кристаллическими сланцами. Обвально-осыпные процессы здесь активизируются периодически при интенсивных осадках и снеготаянии. Активность оценивается в 25-30 %. Обрушение обломочного материала захватило автодорогу (частично) на протяжении 70 м с сохранением одностороннего проезда. К середине июля активизация обвально-осыпных процессов полностью прекратилась. Обвальный участок в 2017 г. имел длину 100 м, ширину – 50 м, мощность была незначительной. Осыпавшийся материал представлен щебнем и обломками кристаллических сланцев и гнейсов (PZ). Базисом осыпания являлась дорожная полка на высоте около 1700 м. Факторы активизации: метеорологический (осадки) и техногенный (подрезка трещиноватого склона дорожной выемкой). Защитных сооружений на участке нет.	
15.2017.0016	347	Алагирский район, пос. Бурон	05.07.17	00.08.17	Об-Ос	Весной, после снеготаяния, активизировались обвально-осыпные процессы в верховом откосе автодороги Бурон – Цей (на 8,6-8,7 км). Периодическая активизация процессов происходит при обводнении грунтов. Активность ≈ 30-40%. Процесс ограничивается осыпанием обломочного грунта и скатыванием камней на дорожную полку. Площадь активизации – 6 тыс.кв.м (120×50 м). Состав обломков (погребённый коллювий) – граниты, порфириты, метаморфические породы, т.е. породы, залегающие выше по склону, крутизна которого превышает 50°. Базисом является широкая дорожная полка. Основным фактором активизации были ливневые осадки 5-7 июля. Полотно дороги было перекрыто на половину ширины на протяжении более 50 м и потребовало расчистки. Противообвальных сооружений нет, мероприятия по укреплению неустойчивого склона не проводились.	
15.2017.0017	348	Алагирский район, с. Н. Зарамаг	00.04.17	00.08.17	Об-Ос	В начале весны произошла активизация обвально-осыпных процессов на склоне в районе Головных сооружений ЗарамагГЭС, в скальном верховом откосе ТрансКАМа (пк. 105-106). Интенсивное осыпание обломочного материала было связано с избыточным обводнением грунтов осадками в эрозионной ложбине на правом борту Ардонского ущелья. Это периодический слабоактивный процесс в крутом (до 70°) верховом откосе дороги. Он проявляется в весенне-летний период, в	

1	2	3	4	5	6	7	8
						летне-осеннем и зимнем сохраняет стабильность. В 2017 г. активизация отмечена ≈ на 30% участка и захватывала площадь около 4 тыс.кв.м. Отмечены следы расчистки дорожной полки на участке длиной более 50 м. Базис осыпания – дорожная полка. Основной фактор активизации – осадки. По внешнему краю дороги построена ограждающая стенка, защищающая здание Головной ГЭС от камнепада, периодически проводится оборка склона.	
15.2017.0 018	349	Алагирский район, с. Н. Зарамаг	00.03.17	00.08.17	Об-Ос	В весенний период (март-апрель) произошло осыпание и серия мелких обвалов в верховом откосе ТрансКАМа (пк. 89). Откос имеет крутизну 70-85°,высоту – до 25-30м, представлен несвязными крупнообломочными отложениями древнего коллювия. Мелкие обвалы здесь происходят периодически и связаны с ливневыми осадками. Активность процесса в 2017 г. составляла около 30%, площать активизации – около 3 тыс.кв.м (30×100 м), базисом осыпания являлась дорожная полка (абс.отм. – 1700 м). Признаки активизации: следы мелких обвалов, перекрывающих дорогу на протяжении более 80 м. Состав обломков: песчаники и алевролиты (J_1). Противообвальных сооружений на этом участке нет.	
15.2017.0 019	350	Алагирский район, с.Тиб	00.03.17	Не заверши-лась	Оп	В весенний период (март-май) произошол сход оползня на правом берегу р.Тибцнайдон (левый приток р. Мамисондон, в 1.7 км от устья). Площадь оползня ≈ 5 тыс.кв.м (50×100 м). Оползень (по состоянию на 09.07.2017 г.) находился в активной стадии (активность – около 50 %). Наиболее деформирован трещинами был верхний блок (50×50 м). Тело оползня сильно было обводнено, особенно нижняя (прифронтальная) часть, где оползневой процесс наблюдался в форме оползня-потока, сползающего в пойму реки. Оползневые отложения представлены делювиальными суглинками с мелкими обломками осадочных пород (песчаники и глинистые сланцы нижней юры). Базисом оползня являлась пойма р. Тибцнайдон (абс.отм. – 1750 м), но подпруживания реки не было отмечено. Хозяйственных объектов и населенныех пунктов в зоне поражения нет.	
15.2017.0 020	351	Алагирский район, с. В. Цей	00.07.17	00.07.17	Оп	В начале июля, после сильного паводка на р. Цейдон, произошел оползень-осов на участке автодороги к святилищу Реком в Цейском ущелье. Оползневые смещения наблюдались на участке крутого склона площадью 1200 кв.м (30×40 м) вместе с участком дороги длиной более 10 м, которая проходила по бревенчатой клети, заполненной каменным материалом. Состав оползня-осова – коллювиальные отложения (обломки кристаллических пород). Базисом оползания являлась пойма р. Цейдон. Основным фактором активизации стал размыв основания рыхлообломочного склона при паводке.	

1	2	3	4	5	6	7	8
15.2017.0021	352	Алагирский район, с. Нар	00.03.17	00.08.17	Об-Ос	В весенне-летний период произошла активизация обвально-осыпных процессов в районе южного портала противолавинной галереи у Чёртова моста (ТрансКАМ, пк. 212-214). Площадь активизации – около 10 тыс.м^2 (активность 30%). Процесс развивался на склоне крутизной до 70°. Осыпные массы представлены коллювиальными отложениями (Q_{IV}), состоящими из пород верхнеюрского карбонатного комплекса (J_3, мергели, песчаники). Основной фактор активизации – осадки, но значительное влияние оказывает и подрезка трещиноватого скального склона, произошедшая при строительстве галереи. Базисом процесса являлась пойма р. Закка, а промежуточным – дорожная полка ТрансКАМа. Дорога полностью не перекрывалась, но все камнеулавливающие стенки были деформированы и полностью заполнены обломочным материалом, защитные стенки были заполнены камнями и порваны.	
15.2017.0022	353	Алагирский район, с. Тиб	00.03.17	Не заверши-лась	Оп	Ранней весной, после снеготаяния произошла активизация оползневого процесса на участке в балке Камцхо (левый приток р. Мамисон). Площадь деформаций – 5 тыс.кв.м (100×50 м), охватила всю территорию оползня. Активность – 100 %, сохранялась в течение июля. Тело оползня было очень сильно обводнено (по фронтальной части – оплывины), разбито на блоки поперечными трещинами, чётко прослеживались головная и боковые трещины отрыва. В процесс были вовлечены делювиальные суглинки с обломками коренных осадочных пород. Базисом оползания являлась пойма р. Камцхо. Наряду с метеофактором (осадки и снеготаяние) на обводнённость оползня повлияло и заметное увеличение дебита родников. В зоне прямого воздействия оползня хозяйственных объектов и населенных пунктов нет, сооружений и инженерной защиты – тоже.	
15.2017.0023	354	Алагирский район, с. Тиб	00.03.17	00.08.17	Об-Ос	Активизация процессов была отмечена в весенне-летний период после снеготаяния и последовавших за ним сильных дождей: на южном фланге (400 м) – это крупноглыбовые осыпи, снова перекрывшие технологическую дорогу, а на северном – более мелкообломочные осыпи, захватившие около 300 м дороги (без т.п.). На отдельных участках осыпи был отмечен сход небольших селей. К концу лета состояние осыпей стабилизировалось. Общая площадь активного участка составляет 90 тыс.кв.м (400×150+300×100 м). На ряде участков отмечены вторичные осовы. Осыпные отложения представлены обломками известняков и мерегелей, супесью и суглинком. Базис оползания – пойма р. Мамисон (абс.отм. – 1700 м), а промежуточным базисом являлась полка технологической дороги, на которой задерживалась основная часть	

1	2	3	4	5	6	7	8
						осыпного материала. Наряду с метеофактором значительную роль продолжает играть и техногенный фактор – глубокая подрезка осыпного склона. В результате обвально-осыпных процессов технологическая дорога была засыпана и деформирована на протяжении 700 м. Противообвальная стенка устроена из габионов и фактически не функционирует: часть стенки засыпана полностью, остальная часть деформирована.	
15.2017.0024	355	Алагирский район, с. В. Згид	00.03.17	00.05.17	Об-Ос	На северном фланге В. Згидского обвального участка, после интенсивных ливней в начале весны, произошёл крупноглыбовый обвал объёмом до 200 куб.м в трещиноватых гранитах, где врезана глубокая дорожная полка автодороги Галон – В. Згид. Базисом обвала являлась широкая полка, и он не затронул проезжую часть и не расчищался. Породы (палеозойские граниты) имеют высокую природную трещиноватость, которая была увеличена при буровзрывных работах во время расширения дорожного полотна. В июле активности процесса не отмечено. Обвальная ниша имела размеры 10×10×1-2 м. Обвальный материал представлен обломками от 10 до 70 см в поперечнике без мелкой фракции. Базис – полка дороги. Обвал не захватил проезжую часть дороги. Защитных сооружений нет.	
15.2017.0025	356	Алагирский район, с. В. Згид	00.03.17	00.08.17	Об-Ос	В центральной части В. Згидского обвального участка, на 8,5-8,7 км автодороги Галлон – В. Згид, произошла серия обвалов, на участке общей протяженностью около 200 м. Общий объём обрушения ≈ 500 куб.м. Активность процесса на участке оценивается в 50 %, процесс наблюдался, в основном, в весенний период. К июлю (18.07) он практически прекратился. Обвал развивался в трещиноватых породах, подрезанных дорожной выемкой, чаще всего после интенсивных осадков. Базисом обрушения являлась дорожная полка автодороги Галлон – В. Згид, однако иногда отдельные камни перекатывались через дорогу и смещались по склону, в сторону р. Садонка. В результате активизации было частично или полностью завалено крупноглыбовым материалом около 200 м дорожного полотна. Противообвальных сооружений на участке нет.	
15.2017.0026	357	Алагирский район, с. В. Згид	00.03.17	00.07.17	Об-Ос	Згидский техногенный провал образовался над горными выработками на западном фланге Згидского месторождения и развивался (в плане) до настоящего времени, увеличиваясь по площади. Площадь воронки провала является почти изометричной и составляет более 5 тыс.кв.м, глубина – 40-50 м, диаметр ≈ 80-90 м. Основным фактором активизации и развития сейчас является метеорологический – обводнение пород и резкие перепады температур в холодное время. В 2017 г. на восточной	

1	2	3	4	5	6	7	8
						стенке провала обрушилось 300-400 куб.м. породы, представленной ожелезненными и сильно трещиноватыми палеозойскими гранитами (активность ≈ 4-5%). Процесс активизировался, по-видимому, ранней весной и к июлю практически прекратился. Обрушение происходило, в основном, в воронку провала и никакого ущерба не наносило, смещения края воронки к проходящей рядом дороге В. Згид – Камунта также не отмечено. Следует отметить, что провал находится недалеко от с. В. Згид, но никак не обозначен и не огражден, а следовательно представляет угрозу для людей и животных.	
15.2017.0027	358	Алагирский район, с. Тиб	00.03.17	00.07.17	Оп	После весеннего снеготаяния (апрель) и сильных осадков активизировался оползень в правом борту р. Кайтиком (в 1,2 км от устья), в основном его прифронтальная (нижняя) часть. Площадь активизации составила 4 тыс.кв.м. (400×100 м), объём – более 40 тыс.куб.м. Активность – около 25 % (растрескивание фронтальной части, оплывины на фронтальном уступе). Состав оползневых грунтов – щебнисто-глинистые отложения с мелкими обломками терригенных и карбонатных пород. Базис оползания – пойма р. Кайтиком. Основная причина активизации – избыточное обводнение грунтов за счет осадков и снеготаяния, а также влияние гидрологического фактора (размыв фронтального уступа рекой Кайтиком). При сходе оползня было выведено из оборота около 0,5 га пастбищ. Хозяйственных объектов и населенных пунктов в зоне поражения оползнем нет.	
15.2017.0028	359	Алагирский район, с. Тиб	00.03.17	00.07.17	Оп	Весной 2017 г. произошла активизация оползня на левом борту ущелья р. Кайтиком (правый приток р. Мамисон), в 2 км от устья. В июле оползень находился в активной стадии: оплывины верхнего слоя, оползание грунтов на дорогу, сильная обводненность грунтов. Площадь оползня – около 3 тыс.кв.м (120×30 м). Оползневые отложения представлены делювиальными суглинками с обломками терригенных и карбонатных пород. Базисом оползня являлась полка технологической дороги по обслуживанию газопровода. Факторы активизации: избыточная обводненность склона осадками (метеорологический) и нарушение рельефа при прокладке трубопровода и дороги (техногенный). Заметного ущерба оползень не нанес. Защитных сооружений нет.	
15.2017.0030	360	Алагирский район, с. Унал	00.03.17	Не заверши-лась	Об-Ос	Весной произошла сильная активизация на участке пионерной дороги пожарного назначения, на восточной окраине с. Н. Унал. Дорога проложена без проекта и без соблюдения требований СНИП: на значительную глубину был подрезан крутой склон, сложенный рыхлообломочными, несвязными грунтами, который сразу же стал осыпаться. В 2017 г. активизировался участок склона площадью	

1	2	3	4	5	6	7	8
						80 тыс.м^2, нарушенный серпантинами дороги. Здесь развиваются мелкие обвалы, осовы, оплывины, идёт сильное осыпание с верховых откосов и отседание крупных блоков дорожной полки. В общей сложности, было деформировано (выведено из оборота) около 8 га сельхозземель (пастбищ). Состав обвально-оползневых отложений – обломочный материал с песчано-глинистым заполнителем, представленный известняками верхней юры. Общим базисом является пойма р. Ардон, но оползающий и осыпающийся материал аккумулируется, в первую очередь, на дорожной полке, которая местами была перекрыта полностью. Общая протяжённость деформированной дороги составляет более 0,5 км. Дорога нигде не зарегистрирована, она нанесла большой экономический ущерб горно-лесному ландшафту на площади около 8 га. Дорога может функционировать только в случае оборудования ее капитальными сооружениями инженерной защиты.	
15.2017.0032	361	Алагирский район, с. Тамиск	00.06.17	00.07.17	Об	После ливневых дождей в конце июня и начале июля произошёл обвал в верховом откосе ТрансКАМа (пк. 589). Обрушение произошло на крутом субвертикальном склоне, сложенном трещиноватыми известняками нижней юры, на участке пересечения ТрансКАМом Карцинского разлома. Гранулометрический состав – от гравия до глыб размером 1 м в прперечнике. Обвальная ниша имеет длину и высоту около 30 м при глубине до 5 м, общий объём обвальных масс – около 2,5 тыс.куб.м. Дорога перекрывалась на участке длиной около 30 м, часть обломочного материала достигла низового откоса, отмечались следы свежей расчистки. Основным базисом обрушения являлась дорожная полка (абс.отм.–780 м). Главный фактор активизации: метеорологический (осадки), но, по-видимому, также играет роль и техногенный (динамическое воздействие транспортного потока). Кроме перекрытия дороги была деформирована и завалена защитная камнеулавливающая стенка.	
15.2017.0034	362	Алагирский район, с. Тиб	00.05.17	Не заверши-лась	Оп	В весенний период отмечена активизация оползневого процесса на автодороге на Мамисон (пк. 48-49), которая продолжалась до июля. Активная площадь (в пределах старого оползня) – 100%. Наблюдалось растресскивание (а местами – разжижение) оползневого тела. Площадь, охваченная деформациями, – 1,5 тыс.кв.м (50×30 м), мощность – около 5 м. Состав оползневых отложений – щебнисто-глинистые грунты с обломками осадочных пород. Базисом оползания являлась полка автодороги. Факторы активизации: метеорологический (ливни), гидрологический (подъём УГВ и увеличение дебита родников). Оползнем была перекрыта технологическая дорога газопровода (30 м), проводилась	

1	2	3	4	5	6	7	8
						периодическая расчистка. Подпорная стенка оказалась недостаточно высокой и была погребена под оползневыми массами.	
15.2017.0035	363	Алагирский район, пос. Садон	00.07.17	00.07.17	Об	В начале июля произошло обрушение крупноглыбового материала с верхового откоса автодороги Турбина – В. Згид (пк.6), вероятно, из-за динамического воздействия буровзрывных работ, проводившихся на этом участке гранитодобывающим комбинатом. Обвал был разовым, объём обрушившихся пород ≈ 150 куб.м. Размер ниши отрыва – 20×5×3 м. Обвал приурочен к левому (западному) краю Садонского оползня и был представлен обломками гранитов и песчано-гравийным материалом. Базис обвала – пойма р. Садон, по которой проходит автодорога. Она перекрывалась обломочным материалом на участке длиной около 20 м, защитных сооружений нет.	
15.2017.0038	364	Ирафский район, с. Задалеск	00.07.17	00.08.17	Об-Ос	В начале июля, после интенсивных осадков, произошел обвал коренных пород на 25-м км автодороги Чикола – Мацута. Обрушение крупных глыб произошло с крутого верхового откоса, в процесс были вовлечены массивные известняки верхнеюрского возраста в зоне тектонической трещиноватости. Объём обвальных масс – около 250 м^3, базисом обвала явилась дорожная полка. Длина обвального участка составила 15 м, ширина – 10 м, площадь – 150 м^2. Обвалом была частично перекрыта автодорога (10 м). В августе обвальный процесс прекратился. Основным фактором активизации были ливневые осадки, однако устойчивость скального склона была снижена за счет его подрезки при строительстве дороги. Противообвальной защиты на участке нет, мероприятия инженерной защиты не проводились.	
15.2017.0039	365	Ирафский район, с. Задалеск	00.03.17	00.08.17	Оп	В весенне-летний период (май-июль) произошло сильное отседание (оползание) дорожной полки автодороги Чикола – Мацута, в 50 м ниже (севернее) обвала. Деформациями был охвачен участок длиной 200 м, шириной 50 м, с захватом верхового и низового откоса. Последний имеет здесь крутизну до 60°, в результате чего основной объём грунтов, вовлечённых в оползневой процесс, сместился вплоть до русла р. Урух, оставив на рыхлообломочном склоне широкую нишу, в донной части которой обнажились коренные породы. В оползневой процесс были вовлечены коллювиально-пролювиальные и техногенные грунты. Базисом оползания являлась пойма р. Урух. Активизация оползня (он отмечался еще в 2004-2006гг.) произошла в результате обводнения склона осадками, активность – практически 100%. Было деформировано около 50 м автодороги. Сооружений инженерной защиты нет.	
15.2017.0	366	Ирафский район,	00.03.17	00.07.17	Оп	Оползень Арсакидонский на 14 км автодороги Чикола – Мацута в	

1	2	3	4	5	6	7	8
040		с. Ахсари-сар				весенне-летний период снова активизировался, что выразилось в растрескивании поверхности, смещении блоков в верхней части проявления (выше дороги). Активизация была связана с сильным обводнением грунтов после снеготаяния и весенних ливней. Активность оценивается в 50 % (деформации охватили около половины площади оползня). Оползневые грунты представлены делювиально-пролювиальными отложениями (Q_{IV}) с обломками известняков. Базисом оползания была дорожная полка, хотя основной базис Арсакидонского оползня – пойма р. Арсакидон. Длина активной части оползня – 70 м, ширина – 50 м, площадь – около 3 тыс.м^3, мощность – 5-10 м. В результате активизации было деформировано около 100 м дороги. В районе оползня были выполнены дренажные работы, улучшена организация ливневого стока.	
15.2017.0 041	367	Алагирский район, пос. Бурон	00.03.17	00.08.17	Об-Ос	В марте-апреле произошла активизация обвально-осыпных процессов в верховом откосе ТрансКАМа, на 41 км (к югу от Буронского тоннеля). Размеры проявления: 70×50 м, мощность – до 2 м, площадь – 3,5 тыс.м^3. Крутизна осыпного склона – 35-40°. Осовы и осыпания обломочного материала захватили около 50 м дорожной полки с нагорной стороны. Обломки имели размеры от щебенки до 1,2 м в поперечнике. Осыпной материал представлен обломками пород метаморфического комплекса (кристаллические сланцы, гнейсы, диориты [PR-PZ]). Фактор активизации – весеннеее снеготаяние и последующие ливневые осадки. Активность процесса составила около 90 %, при этом деформациям порверглось около 50 м дорожного полотна, что потребовало механизированной расчистки. Противообвальных сооружений на участке нет.	
15.2017.0 042	368	Алагирский район, пос. Бурон	00.03.17	00.08.17	Об-Ос	Активизация обвально-осыпных процессов в верховом откосе ТрансКАМа (пк.24,5) возобновилась в марте, сразу после снеготаяния. Процессами была охвачена площадь около 3,5 тыс.м^2 (70×50 м) при мощности около 1,5 м. Активность процесса – около 90 %. Основная часть обломочного материала имела размеры от 5 до 20-25 см, однако отдельные обломки достигали 0,8-1,2 м. В процесс был вовлечён современный коллювий (Q_{IV}), представленный обломками палеозойских гранитов белореченского комплекса [γPz_2]. При этом было деформировано дорожное полотно на участке длиной около 40 м. Основной фактор активизации – метеорологический (осадки и снеготаяние). В августе обвально-осыпные процессы практически прекратились. Сооружений инженерной защиты на участке нет, почти ежегодно после активизации обвально-осыпных процессов проводится	

1	2	3	4	5	6	7	8
						механизированная расчистка дороги.	
15.2017.0043	369	Алагирский район, пос. Бурон	00.03.17	00.08.17	Об-Ос	Активизация процессов на участке (пк.23,5 ТрансКАМа) связана с обводнением склона атмосферными осадками и при весеннем снеготаянии (май-июнь). Площадь активизации – 2,6 тыс.м^2 (60×50 м), мощность осыпи – 1,5-2 м. Крутизна склона – до 40 м, базис осыпания – дорожная полка ТрансКАМа. В процессы были вовлечены коллювиальные отложения (Q_{IV}), представленные обломками гранитов белореченского комплекса [γPz_2]. Размер обломков – от щебенки до 0,1-0,3 м. Остатки осыпавшихся масс сохранились на нагорной обочине, отмечались следы расчистки. Дорога перекрывалась (частично) на участке длиной 50 м. Защитных сооружений нет.	
15.2017.0044	370	Алагирский район, с. Нар	00.03.17	00.08.17	Об-Ос	В весенне-летний период после сильных осадков отмечалась активизация обвально-осыпных процессов в верховом откосе ТрансКАМа ниже Рокского тоннеля (правый берег р. Закка), в частности, на пк.274 (выше р. Лагунадаг). Деформации наблюдались на участке склона крутизной до 45°, площадью около 2,5 тыс.м^2 (общая площадь проявления – около 9-10 тыс.м^2). Основным фактором активизации было увлажнение осыпного склона осадками. Базисом осыпания являлась дорожная полка ТрансКАМа, но часть обломков перекатывалась через нее, вплоть до русла р. Закка. Мощность осыпных отложений незначительна – до 1 м (обломки пород верхнеюрского карбонатного комплекса [J_3], в основном, известняки). Активность процессов выражалась камнепадами, осовами и осыпанием обломочного материала, но дорога не перекрывалась, хотя наблюдалось скатывание обломков на полотно. Защитных сооружений нет.	
15.2017.0045	371	Алагирский район, с. Нар	00.03.17	00.08.17	Об-Ос	Активизация осыпного процесса была отмечена в верховом откосе ТрансКАМа (пк.268), в основании эрозионной рытвины на крутом (до 45°) осыпном склоне, где сохранились следы схода грязекаменного селя. Основным фактором активизации, по-видимому, был метеорологический (снеготаяние и дожди). Площадь активизации – около 3,5 тыс.м^2 (70×50 м), мощность незначительна – 1-1,5 м. В процесс были вовлечены породы верхнеюрского карбонатного комплекса [J_3]. Осыпные отложения представлены обломками известняков и песчаников, размер которых составлял от 2-3 до 30-40 см (мелкая фракция преобладала). Об активизации свидетельствовали следы осыпания на склоне, скопление обломочного материала на верхней обочине, следы расчистки. Активность процесса оценивается в 15-20 %. Дорожное полотно было деформировано на участке длиной 40 м. Инженерная защита отсутствует.	

1	2	3	4	5	6	7	8
15.2017.0046	372	Алагирский район, с. Нар	00.03.17	00.08.17	Об-Ос	В летний период наблюдалась значительная активизация осыпного процесса на участке осыпного склона в верховом откосе ТрансКАМа (пк.261-262,5) на крутом контрфорсе правого берега р. Закка (>40°). На склоне сохранились следы микроселей, что говорит о том, что процесс сопровождался ливневыми дождями. Активизацией было охвачено около 10 тыс.м^{2} (150×70 м). Наряду с метеофактором, причиной активизации было нарушение целостности (подрезка) склона при реконструкции дороги на этом участке в 2015-16 гг. Мощность осыпных отложений – до 1-2 м. Дорожное полотно было перекрыто на участке длиной около 50 м. В процесс были вовлечены породы верхнеюрского карбонатного комплекса. Осыпной материал представлен обломками известняков, мергелей, карбонатных песчаников. Базисом осыпания являлась дорожная полка ТрансКАМа, которая требует периодической расчистки. Камнеулавливающей стенки нет.	
15.2017.0047	373	Алагирский район, с. Нар	00.03.17	00.08.17	Об-Ос	Впервые за последние годы, снова отмечена активизация на обвально-осыпном участке «Подкова», сформировавшемся еще при прокладке ТрансКАМа в 70-е гг. (пк.259-260). Активность была отмечена в левом (южном) шлейфе участка, площадью до 4 тыс.м^{2} (100×40 м). В основании склона сейчас проходит новая противолавинная галерея, свод которой стал промежуточным базисом осыпания, однако значительная часть камней и обломков скатывается через нее до полки объездной (старой) дороги. Наблюдался вывал и крупных камней до 1-2 м в поперечнике, которые порвали и снесли защитную металлическую сетку, создали угрозу повреждения кровли противолавинной галереи. Наряду с метеофактором (ливневые дожди), причиной активизации было нарушение целостности (подрезка) склона при реконструкции дороги на этом участке в 2015-16 гг. Активность процесса оценивается в 25-30 %. Проявлением были затронуты породы верхнеюрского карбонатного комплекса [J_3]. Осыпной материал представлен обломками пород карбонатного флиша (известняки, песчаники, мергели).	
15.2017.0048	374	Алагирский район, с. Нар	00.03.17	00.08.17	Об-Ос	Весной сильно активизировались обвально-осыпные процессы на склоне в верховом откосе ТрансКАМа (пк.254, 256), где в 2015-16 гг. был пройден противолавинный тоннель. Причиной активизации, наряду с метеофактором, явился техногенный фактор, т.к. при проведении горных и буровзрывных работ устойчивость склона, а особенно его осыпного чехла, была снижена. Активизация охватила участок длиной 200 м и шириной 70 м (мощность отложений – первые метры). Базисом осыпания и обрушения явилась полка объездной дороги, на которую происходил вывал крупных (до 1м) камней и глыб. В результате около 100 м дороги	

1	2	3	4	5	6	7	8
						было перекрыто обломочными массами. Основная трасса на этом участке сейчас проходит по тоннелю, и воздействие ЭГП ей не угрожает.	
15.2017.0049	375	Дигорский район, с. Нар	00.03.17	Не заверши-лась	Оп	Наиболее значительными оползневыми проявлениями можно назвать Дур-Дурские оползни, которые являются причиной возникновения крупных паводков и селей и интенсивного развития речной эрозии, что в свою очередь, создало угрозу воздействия на техногенные объекты и земли различного назначения ниже по долине. Ранней весной возобновилась активизация опозневого процесса на Дур-Дурском Левобережном оползне после снеготаяния и интенсивных осадков в апреле. Площадь – около 50%. Крутизна склона – 20°. В процесс были вовлечены оползневые отложения, представленные суглинками; подстилающие породы (глины палеогена) в процесс не были вовлечены. Базис оползня – пойма р. Дур-Дур, растительность – лиственный лес. Факторы активизации – метеорологический (снеготаяние и осадки) и гидрологический (разгрузка грунтовых вод на поверхность и размыв фронта рекой Дур-Дур). При смещении оползня происходит смыкание фронтов с Правобережным оползнем и формирование подпруды, объёмом до 100 тыс.куб.м, прорыв которой вызывает сход селей и паводков с разрушением дорог, уничтожением пойменного леса и угрозой деформаций домов в с. Дур-Дур. Противооползневых сооружений нет.	
15.2017.0050	376	Дигорский район, с. Дур-Дур	00.03.17	Не заверши-лась	Оп	Наиболее значительными оползневыми проявлениями можно назвать Дур-Дурские оползни, которые являются причиной возникновения крупных паводков и селей и интенсивного развития речной эрозии, что в свою очередь, создало угрозу воздействия на техногенные объекты и земли различного назначения ниже по долине. В марте-апреле началась активизация встречного Правобережного Дур-Дурского оползня, которая выразилась в растрескивании тела, отседании и оползании крупных блоков сильно обводнённых грунтов, перекрытии р. Дур-Дур. Оползневой склон (правый борт р. Дур-Дур) имеет крутизну 20-25°, сильно обводнён (родники, мочажины, болота). Базис оползня – пойма р. Дур-Дур напротив Левобережного оползня (высота – 710 м). Площадь активизации – 0,1 кв.км, активность процесса – 70 %. В процесс были вовлечены делювиальные и древнеоползневые отложения, мощность – до 10-15 м. Коренные породы (глины палеогена) в процесс не были вовлечены, но являются поверхностью отрыва и скольжения. Факторы активизации – метеорологический (снеготаяние и осадки) и гидрологический (разгрузка грунтовых вод на поверхность и размыв фронта рекой Дур-Дур). При смещении оползня происходит смыкание фронтов с Левобережным оползнем и формирование подпруды, объёмом	

1	2	3	4	5	6	7	8
						до 100 тыс.куб.м, прорыв которой вызывает сход селей и паводков с разрушением дорог, уничтожением пойменного леса и угрозой деформаций домов в с. Дур-Дур. Противооползневых сооружений нет.	
15.2017.0051	377	Дигорский район, с. Кора-Урсдон	00.03.17	00.08.17	Оп	Весной была отмечена активизация на Коринском оползне, который длительное время находился в стабильном сосотоянии. Это связано с размывом дамбы, защищавшей фронт оползня от размыва рекой Урсдон. Сейчас дамба разрушена, возобновилась эрозия фронтального уступа и подпор грунтовых вод, что увеличило обводнённость грунтов и снизило их устойчивость. Площадь активизации – около 1 тыс.кв.м, активность – около 3%. Крутизна склона – 12°, базис оползания – пойма р. Урсдон. Коренные породы – глины и песчаники палеогена, оползневые отложения – суглинки с щебнем песчаников. Признаки активизации оползня: оползающие блоки, бугры выпирания во фронтальной части, глубокие трещины на теле оползня. В зоне поражения находится 4 жилых дома, которые предлагаются к отселению, т.к. медленные деформации в них продолжаются.	
15.2017.0052	378	Дигорский район, с. Кора-Урсдон	00.03.17	Не заверши-лась	Оп	В мае-июне после интенсивных осадков активизировался оползнь Савердонский II в правом борту р.Урсдон, в 3 км выше устья. Произошло заметное смещение оползневого тела с обновлением головной и боковых трещин и увеличением высоты уступов на 1,5-2 м. Было отмечено растрескивание основного тела продольными и поперечными трещинами и оползание крупных блоков фронтальной части в р. Урсдон. Площадь активизации – 0,02 кв.км, активность процесса – 20%. Базис оползания – пойма р. Урсдон (выс.отм. – 600 м). Крутизна склона – 19°. Оползневые отложения представлены суглинками и глинами с обломками карбонатных пород. Мощность – около 8 м. Факторы активизации – сильные осадки и размыв фронтального уступа рекой Савердон. При активизации были выведены из оборота земли лесного фонда на площади около 2 га. Защитных сооружений нет, противооползневые мероприятия не проводились.	
15.2017.0053	379	Дигорский район, с. Кора-Урсдон	00.06.17	Не заверши-лась	Оп	После июньских дождей (20-22 июня), вызвавших сильные паводки, была сильно размыта фронтальная часть оползня Савердонский I на правом борту р. Савердон, в 2 км от устья. В последние годы он находился в стабильном состоянии, но в 2017 г. здесь отмечены сильные деформации в прифронтальной части, которая размывается рекой. Отмечено отчленение крупного блока и развитие трещин отрыва и осовов грунта. Площадь активизации – 100×70 м. Базис оползания – пойма р. Савердон (высота – 580 м). В оползневой процесс были вовлечены делювиально-пролювиальные и оползневые отложения мощностью 5-6 м.	

1	2	3	4	5	6	7	8
						В основном, это – суглинки с обломками карбонатных пород. Кореные породы в процесс не вовлекались. Основной фактор активизации: гидрологический (сильный размыв основания фронтального уступа). При деформации склона отмечено унижтожение крупных деревьев на площади до 5 тыс.кв.м. Противооползневых сооружений нет, мероприятия по защите и закреплению склона не проводились.	
Ставропольский край							
26.2017.0057	380	с. Балахоновское	00.05.17	00.00.17	Оп	Отмечалась активизация оползня на всей площади. Стенка отрыва в голове оползня – до 5 м. Язык эродируется р. Кубань. Размеры проявления – 700×20 м. На левом борту отмечались деформации и уничтожение деревьев.	
26.2017.0058	381	с. Балахоновское	00.05.17	00.00.17	Оп	Оползень размерами 100×20 м, мощностью до 7 м был активен на всей площади.	
26.2017.0059	382	с. Бешпагир	00.05.17	00.00.17	Оп	Отмечалась активизация оползня на правом борту. Язык образует вал наползания, угрожает ЛЭП. В зоне транзита – оползневые блоки размерами 700×300 м, стенки отрыва в головной части – до 3 м.	
26.2017.0060	383	с. Ивановское	00.05.17	00.00.17	Оп	Активный оползень расположен в 1 км к западу от с. Ивановское на левом берегу р. Зеленчук. Стена отрыва в головной части – до 8 м. На правом крыле оползня частично разрушена автодорога, язык эродируется р. Зеленчук. Существует угроза дальнейшего разрушения автодороги (40м). Размеры оползня: 400×50 м.	
26.2017.0061	384	с. Ивановское	00.05.17	00.00.17	Оп	Отмечалась активизация оползня в головной части, стенка отрыва – до 3 м. Было повреждено 50 м ЛЭП (оторваны опоры). Язык эродируется р. Зеленчук. Размеры оползня: 40×10 м.	
26.2017.0062	385	с. Ивановское	00.05.17	00.00.17	Оп	Активный оползень, в зоне транзита были повреждены деревья. Язык оползня эродируется водным потоком.	
26.2017.0063	386	с.Казьминское	00.05.17	00.00.17	Оп	Активный оползень конусообразной формы подмывается ручьем в основании. Базис развития – р.Овечка. В головной части оползня находится ферма. Языковая часть оползня угрожает грунтовой дороге.	
26.2017.0064	387	с.Казьминское	00.05.17	00.00.17	Оп	Отмечалась активизация оползня, язык оползня угрожает грунтовой дороге. Стенка отрыва – до 30 см. Размеры оползня: 20×3 м.	
26.2017.0065	388	с.Казьминское	00.05.17	00.00.17	Оп	Отмечалась активизация оползня, стенка отрыва в языковой части – до 40 см. В языковой части была повреждена грунтовая дорога.	
26.2017.0066	389	с.Казьминское	00.05.17	00.00.17	Оп	Отмечалась активизация оползня размерами 30×2 м.	
26.2017.0067	390	с.Казьминское	00.05.17	00.00.17	Оп	Отмечалась активизация оползня, размеры активизации 120×50 м.	
26.2017.0	391	с.Казьминское	00.05.17	00.00.17	Оп	Отмечалась активизация оползня, стенка отрыва в головной части – до	

1	2	3	4	5	6	7	8
068						1,5 м, размеры участка активизации: 300×250 м.	
26.2017.0069	392	с.Казьминское	00.05.17	00.00.17	Оп	Отмечалась активизация оползня по всей площади. Стенка отрыва в головной части – до 2,5 м.	
26.2017.0070	393	х. Беловский	00.05.17	00.00.17	Оп	Отмечалась активизация оползня в правом крыле. Откосы головной части – до 2 м. Размеры участка активизации: 320×130 м.	
26.2017.0071	394	с. Красноярское	00.05.17	00.00.17	Оп	Участок активизации оползня размером 20×5 м.	
26.2017.0072	395	с. Красноярское	00.05.17	00.00.17	Оп	Оползень на северо-западе с. Красноярское, на удалении 1.5 км. Отмечены локальные участки активизации размерами 30×20 м.	
26.2017.0073	396	с. Кочубеевское	00.05.17	00.00.17	Оп	Отмечалась активизация оползня на северо-западной окраине с. Кочубеевское. Стена отрыва в головной части – до 5 м. Язык эродируется р.Кубань.	
26.2017.0074	397	с. Кочубеевское	00.05.17	00.00.17	Оп	Отмечалась активизация оползня, стенка отрыва в головной части – до 4 м. Оползень угрожает жилым домам по ул. Набережная. В правом борту оползня отмечено крупное блоковое смещение размером 20×7 м.	
26.2017.0075	398	с. Кочубеевское	00.05.17	00.00.17	Оп	Отмечалась активизация оползня на юго-восточной окраине с. Кочубеевское. Стенка отрыва в головной части – до 3 м, язык подмывается р. Кубань. Размеры оползня: 1100×500 м.	
26.2017.0076	399	с. Кочубеевское	00.05.17	00.00.17	Оп	Отмечалась активизация оползня, язык подмывается р. Кубань, стенка отрыва в головной части – до 2 м. Размеры оползня: 300×20 м.	
26.2017.0077	400	ст.Мищенская	00.05.17	00.00.17	Оп	Активный оползень, площадь участка активизации: 30×10 м, стенки отрыва – до 20 см. Под языком оползня – рытвина для добычи песка (20×7 м).	
26.2017.0078	401	с.Московское	00.05.17	00.00.17	Оп	Отмечалась активизация оползня на локальных участках размерами 50×5 м, стенка отрыва в головной части – до 2 м.	
26.2017.0079	402	с.Пелагиада	00.05.17	00.00.17	Оп	Отмечалась активизация оползня выше ул. Шахтерской. Угроза газопроводу и ЛЭП. Площадь активизации: 20×3 м.	
26.2017.0080	403	с.Сергиевское	00.05.17	00.00.17	Оп	Отмечалась активизация оползня, размеры участка активизации: 250×50 м, в головной части стенка отрыва – до 30 см.	
26.2017.0081	404	с.Сергиевское	00.05.17	00.00.17	Оп	Отмечалась активизация оползня, в головной части стенка отрыва – до 4 м, крупное блоковое смещение размером 20×7 м.	
26.2017.0082	405	с.Султан	00.05.17	00.00.17	Оп	Отмечалась активизация оползня-потока размером 20×5 м.	
26.2017.0083	406	п.Темнореченский	00.05.17	00.00.17	Оп	Отмечалась активизация оползня в пределах всей площади (700×100 м).	
26.2017.0084	407	г. Невинномысск	00.05.17	00.00.17	Оп	Отмечалась активизация оползня, размеры участка активизации: 500×20 м, зафиксировано повреждение автодороги на протяжении 70 м.	
26.2017.0	408	г. Невинномысск	00.05.17	00.00.17	Оп	Отмечалась активизация оползня, размеры участка активизации:	

1	2	3	4	5	6	7	8
085						250×100 м, стенка отрыва в головной части – до 3 м.	
26.2017.0086	409	г. Невинномысск	00.05.17	00.00.17	Оп	Отмечалась активизация оползня, бровки срыва – до 4 м, на правом борту развивалась овражная эрозия, крупные блоковые смещения в зоне транзита, размеры участка активизации: 120×250 м.	
26.2017.0087	410	г. Невинномысск	00.05.17	00.00.17	Оп	Отмечалась активизация оползня, бровки срыва – до 30 см, размеры участка активизации: 200×75 м.	
26.2017.0088	411	г. Невинномысск	00.05.17	00.00.17	Оп	Отмечалась активизация оползня, участки активизации размерами 70×40 м.	
26.2017.0089	412	г. Невинномысск	00.05.17	00.00.17	Оп	Отмечалась активизация оползня, бровки срыва в головной части – до 2 м, участки активизации размерами 120×50 м.	
26.2017.0090	413	г. Невинномысск	00.05.17	00.00.17	Оп	Отмечалась активизация оползня на локальных участка размерами 80×30 м.	
26.2017.0091	414	г. Ставрополь	00.05.17	00.00.17	Оп	Участок активизации оползня 2-го порядка размерами 30×40 м. Стенка отрыва – 4 м.	
26.2017.92	415	г. Ставрополь	00.05.17	00.00.17	Оп	Отмечалась активизация оползня, размеры участков активизации: 10×50 м.	
26.2017.93	416	г. Ставрополь	00.05.17	00.00.17	Оп	Отмечалась активизация оползня. Стенка отрыва – 3 м. Был разрушен забор, существует угроза разрушения дворовых построек и жилого дома, размеры участка активизации: 80×35 м.	
26.2017.0094	417	г. Ставрополь	00.05.17	00.00.17	Оп	Отмечалась активизация оползня. В правой половине головной части наблюдалась пригрузка насыпными грунтами, оползень был активен на участке размерами 250×150 м.	
26.2017.0095	418	г. Ставрополь	00.05.17	00.00.17	Оп	Отмечалась активизация оползня в левой части, пешеходная дорожка уничтожена на всем протяжении, размеры участка активизации: 400×300 м.	
26.2017.0096	419	г. Ставрополь	00.05.17	00.00.17	Оп	Отмечалась активизация оползня, размеры участка активизации: 40×8 м. Стенка отрыва – 20 см.	
26.2017.0097	420	г. Ставрополь	00.05.17	00.00.17	Оп	Отмечены оползневые деформации (обновление стенок отрыва) на участке размерами 15×10 м.	
26.2017.0098	421	г. Ставрополь	00.05.17	00.00.17	Оп	Отмечены оползневые деформации (обновление стенок отрыва) на участке размерами 20×5 м.	
26.2017.0099	422	г. Ставрополь	00.05.17	00.00.17	Оп	Отмечалась активизация оползня на локальных участках на площади 1000×850 м.	
26.2017.0100	423	г. Ставрополь	00.05.17	00.00.17	Оп	Отмечалась активизация оползня в пределах всей площади, откосы в головной части – 4 м, была уничтожена обочина проезжей части.	
26.2017.0101	424	г. Ставрополь	00.05.17	00.00.17	Оп	Отмечалась активизация оползня в средней части, размеры участка активизации: 30×80 м.	
26.2017.0	425	г. Ставрополь	00.05.17	00.00.17	Оп	Отмечалась активизация оползня на локальных участках размерами	

1	2	3	4	5	6	7	8
102						25×5 м.	
26.2017.0103	426	г. Ставрополь	00.05.17	00.00.17	Оп	Отмечалась активизация оползня на локальных участках размерами 15×3 м.	
26.2017.0104	427	г. Ставрополь	00.05.17	00.00.17	Оп	Отмечалась активизация оползня. В головной части наблюдалась пригрузка насыпными грунтами, размеры участка активизации: 40×15 м.	
26.2017.0105	428	с. Татарка	00.05.17	00.00.17	Оп	Отмечалась активизация оползня, высота откоса в головной части – 1 м.	
26.2017.0106	429	с. Татарка	00.05.17	00.00.17	Оп	Отмечалась активизация оползня в пределах всей площади, стенка отрыва в головной части – рядом со свайным ростверком, откосы в головной части были подвержены плоскостному смыву. Оползень спровоцирован большим количеством насыпных грунтов, была деформирована автодорога на участке длиной 80 м.	
26.2017.0107	430	с. Татарка	00.05.17	00.00.17	Оп	Отмечалась активизация оползня на локальных участках размерами 5×3 м.	
26.2017.0108	431	с. Татарка	00.05.17	00.00.17	Оп	Отмечалась активизация оползня в языковой части, размеры участка активизации: 100×20 м. В зоне транзита – деформация опор ЛЭП на протяжении 100 м.	
26.2017.0109	432	вдхр. Сенгилеевское	00.05.17	00.00.17	Оп	Отмечалась активизация оползня в головной части, размеры участка активизации: 10×80 м.	
26.2017.0110	433	вдхр. Сенгилеевское	00.05.17	00.00.17	Оп	Отмечалась активизация оползня в правой четверти, размеры участка активизации: 20×5 м.	
26.2017.0111	434	вдхр. Сенгилеевское	00.05.17	00.00.17	Оп	Отмечалась активизация оползня в правом борту, размеры участка активизации: 20×60 м.	
26.2017.0112	435	вдхр. Сенгилеевское	00.05.17	00.00.17	Оп	Наблюдались участки активизации в средней части размерами 30×40 м. Высота откосов в головной части – 5 м.	
26.2017.0113	436	вдхр. Сенгилеевское	00.05.17	00.00.17	Оп	Отмечалась активизация оползня на локальных участках размерами 30×40 м.	
26.2017.0114	437	вдхр. Сенгилеевское	00.05.17	00.00.17	Оп	Отмечалась активизация оползня в средней части (оползневые смещения – до 50 см).	
26.2017.0115	438	вдхр. Сенгилеевское	00.05.17	00.00.17	Оп	Отмечалась активизация оползня на локальных участках размерами 70×20 м.	
26.2017.0116	439	вдхр. Сенгилеевское	00.05.17	00.00.17	Оп	Отмечалась активизация оползневого процесса. Откосы в головной части – до 6 м.	
26.2017.0117	440	вдхр. Сенгилеевское	00.05.17	00.00.17	Оп	Отмечалась активизация оползня. Оползень-поток 2-го порядка глетчеровидной формы, размерами 80×40 м.	
26.2017.0120	441	г. Кисловодск, верховья р. Белой	00.05.17	Не заверши-лась	Оп	Активизация оползневого процесса произошла после майских осадков, смещениями были охвачены насыпные грунты и склоновые отложения. Параметры проявления: длина – до 40 м, ширина – до 100 м,	

1	2	3	4	5	6	7	8
						площадь активной части – 3615 м^2. Зафиксировано воздействие на земли сельхозназначения. Основные факторы активизации: атмосферные осадки и техногенный (пригрузка склона насыпными грунтами).	
26.2017.0121	442	г. Кисловодск, верховья р. Белой	00.05.17	Не заверши-лась	Оп	Активизация оползневого процесса произошла после майских осадков, смещениями охвачены насыпные грунты и склоновые отложения. Параметры проявления: длина – до 89 м, ширина – до 45 м, площадь активной части – 3693 м^2. Наблюдалось воздействие на земли сельхозназначения. Основные факторы активизации: атмосферные осадки и техногенный (пригрузка склона насыпными грунтами).	
26.2017.0122	443	г. Кисловодск, верховья р. Белой	00.05.17	Не заверши-лась	Оп	Активная часть оползневого массива развита в верховом и низовом откосах автодороги от п. Белореченский к верхнему спортивному комплексу филиала ФГБУ «Юг-Спорт». Параметры активной части: длина – 400 м, ширина – 190 м, площадь – 50984 м^2, средняя мощность оползневых масс – 3,0 м, объем – 152952 м^3. В результате оползневых подвижек было деформировано полотно автодороги с покрытием на участке длиной 100 м. Основной фактор активизации: техногенный (динамическое воздействие от движения большегрузного транспорта, отсутствие в пределах дороги водоотводных и дренажных систем), геологический (полотно автодороги пересекает древнеоползневые массивы).	
26.2017.0123	444	г. Кисловодск, верховья р. Белой	00.05.17	Не заверши-лась	Оп	Оползневой процесс развит в техногенных грунтах с захватом склоновых отложений. Параметры активной части оползня: длина – 30 м, ширина – 65 м, площадь – 1800 м^2, средняя мощность оползневых масс – 3 м, объем – до 5400 м^3. В результате воздействия оползневых масс пострадали земли сельхозназначения на площади 1800 м^2. Основной фактор активизации: техногенный (пригрузка склона насыпными грунтами).	
26.2017.0124	445	г. Кисловодск, верховья р. Белой	00.05.17	Не заверши-лась	Оп	Оползневой процесс развит в техногенных грунтах с захватом склоновых отложений. Параметры активной части оползня: длина – 70 м, ширина – 45 м, площадь – 2886 м^2, средняя мощность оползневых масс – 3 м, объем – до 8658 м^3. В результате воздействия оползневых масс пострадали земли сельхозназначения на площади 2886 м^2. Основной фактор активизации: техногенный (пригрузка склона насыпными грунтами).	
26.2017.0125	446	г. Железноводск, с/т Машук	00.05.17	Не заверши-лась	Оп	Оползневым деформациям была подвержена грунтовая дамба дачного пруда. На участке длиной 50 м по дамбе прослеживаются трещины закола с шириной раскрытия 1-3 см. Отседание блоков вниз по склону – до 5-10 см. Параметры оползневого блока: длина по склону – до 10 м, ширина	

1	2	3	4	5	6	7	8
						– до 50 м, мощность оползневых масс – до 3 м, площадь – 1140 м^2. Основные факторы активизации: атмосферный, техногенный (строительство земляной дамбы из глин майкопской серии, обладающих набухающими свойствами с последующей усадкой).	
26.2017.0126	447	Автодорога Кисловодск – Минеральные Воды, 44,4 км	00.05.17	Не завершилась	Оп	Активизация зафиксирована в головной части оползневого массива, на двух участках площадью 208 м^2 и 255 м^2. Угрозы для автодороги не представляет, языковая часть оползней закреплена габионами. Основные факторы активизации: атмосферные осадки и техногенный (подрезка склона при строительстве автодороги).	
26.2017.0127	448	Автодорога Боргустанская – Бекешевская, 4,32 км	00.05.17	Не завершилась	Оп	Оползневым деформациям был подвержен низовой откос автодороги с покрытием ст. Боргустанская – ст. Бекешевская на участке длиной 20 м. Деформациями также была затронута 1/4 ширины полотна автодороги: наблюдались трещины закола с раскрытием 0,5-2,0 см. Параметры проявления: длина по склону – до 35 м, ширина – до 25 м, площадь – 740 м^2. Основные факторы активизации: атмосферные осадки и техногенный (динамическое воздействие от движения транспорта).	
26.2017.0128	449	Автодорога Боргустанская – Бекешевская, 10,42 км	00.05.17	Не завершилась	Оп	Оползневым деформациям был подвержен низовой откос автодороги ст. Боргустанская – ст. Бекешевская, полотно автодороги на участке длиной 50 м (деформировано на 1/3 ширины дороги), ЛЭП (50 м). Параметры проявления: длина по склону – 90 м, ширина – до 55 м, площадь активной части – 1767 м^2. Основные факторы активизации: атмосферные осадки и техногенный (динамическое воздействие от движения транспорта).	
26.2017.0129	450	Автодорога Боргустанская – Бекешевская, 11,16 км	00.05.17	Не завершилась	Оп	В верховом откосе автодороги ст. Боргустанская – ст. Бекешевская наблюдалась активность языковой части оползня: свежие трещины закола протяженностью 0,5-2,5 м с отседанием блоков вниз по склону. Раскрытие трещин – 0,1-0,3 м. Площадь активной части – 5144 м^2, площадь всего оползня – 35088 м^2. Основные факторы активизации: атмосферные осадки и техногенный (подрезка склона при строительстве автодороги).	
Чеченская Республика							
20.2017.0024	451	Веденский район, с. Первомайское	00.05.17	Не завершилась	Оп	Активизация оползня объемом 4000 м^3 и площадью 2000 м^2 привела к разрушению полотна внутрипоселковой дороги с покрытием на участке длиной 25 м и шириной 3 м. Причина активизации: выпадение большого количества атмосферных осадков. Возраст проявления: современное. Комплексы горных пород, затронутые проявлением: Q_{IV}-N. Состав горных пород, затронутых проявлением: суглинки, глины, алевролиты.	
20.2017.0	452	Веденский район,	00.05.17	Не	Оп	Активизация оползня объемом 5,4 м^3 и площадью 18 м^2 привела к	

1	2	3	4	5	6	7	8
025		с. Первомайское		завершилась		разрушению полотна внутрипоселковой дороги с покрытием на участке длиной 6,0 м и шириной 3 м. Причина активизации: выпадение большого количества атмосферных осадков. Возраст проявления: современное. Комплексы горных пород, затронутые проявлением: Q_{IV}-N. Состав горных пород, затронутых проявлением: суглинки, глины, алевролиты.	
20.2017.0026	453	Веденский район, а/д с. Первомайское – с. Агишбатой, 0,15 км	00.05.17	Не завершилась	Оп	Новый оползень объемом 240 м^3 и площадью 120 м^2 перекрыл дорогу с покрытием с. Первомайское – с. Агишбатой на участке длиной 20 м и шириной до 2 м. Причина активизации: выпадение большого количества атмосферных осадков. Возраст проявления: современное. Комплексы горных пород, затронутые проявлением: Q_{IV}-N. Состав горных пород, затронутых проявлением: суглинки, глины, алевролиты.	
20.2017.0027	454	Веденский район, а/д с. Первомайское – с. Агишбатой, 0,16 км	00.05.17	Не завершилась	Оп	Новый крупный оползень объемом 28000 м^3 и площадью 7000 м^2 разрушил полотно дороги с твердым покрытием с. Первомайское – с. Агишбатой на участке длиной 30 м и шириной 5 м. Причина активизации: выпадение большого количества атмосферных осадков. Возраст проявления: современное. Комплексы горных пород, затронутые проявлением: Q_{IV}-N. Состав горных пород, затронутых проявлением: суглинки, глины, алевролиты.	
20.2017.0028	455	Веденский район, а/д с. Первомайское – с. Агишбатой, 0,27 км	00.05.17	Не завершилась	Оп	Новый оползень объемом 450 м^3 и площадью 300 м^2 разрушил полотно дороги с покрытием на участке длиной 30 м и шириной до 3 м и привел к разрушению линии газопровода длиной 40 м. Причина активизации: выпадение большого количества атмосферных осадков. Возраст проявления: современное. Комплексы горных пород, затронутые проявлением: Q_{IV}-N. Состав горных пород, затронутых проявлением: суглинки, глины, алевролиты.	
20.2017.0029	456	Веденский район, а/д с. Первомайское – с. Агишбатой, 0,40 км	00.05.17	Не завершилась	Оп	Новый оползень объемом 450 м^3 и площадью 300 м^2 разрушил полотно дороги без покрытия на участке длиной 30 м и шириной 3 м. Причина активизации: выпадение большого количества атмосферных осадков. Возраст проявления: современное. Комплексы горных пород, затронутые проявлением: Q_{IV}-N. Состав горных пород, затронутых проявлением: суглинки, глины, алевролиты.	
20.2017.0030	457	Веденский район, а/д с. Первомайское – с. Агишбатой, 1,16 км	00.05.17	Не завершилась	Оп	Активизация оползня объемом 6000 м^3 и площадью 2000 м^2 привела к разрушению полотна дороги без покрытия на участке длиной 20 м и шириной до 2 м. Причина активизации: выпадение большого количества атмосферных осадков. Возраст проявления: современное. Комплексы горных пород, затронутые проявлением: Q_{IV}-N. Состав горных пород, затронутых проявлением: суглинки, глины, алевролиты.	
20.2017.0	458	Веденский район,	00.05.17	Не	Оп	Новый оползень объемом 1800 м^3 и площадью 1200 м^2 разрушил	

1	2	3	4	5	6	7	8
031		а/д с. Первомайское – с. Агишбатой, 1,26 км		завершилась		полотно дороги без покрытия на участке длиной 4 м и шириной до 2 м. Причина активизации: выпадение большого количества атмосферных осадков. Возраст проявления: современное. Комплексы горных пород, затронутые проявлением: Q_{IV}-N. Состав горных пород, затронутых проявлением: суглинки, глины, алевролиты.	
20.2017.0032	459	Веденский район, а/д с. Первомайское – с. Агишбатой, 2,38 км	00.05.17	Не завершилась	Оп	Новый оползень объемом 2000 м^3 и площадью 2000 м^2 разрушил полотно дороги без покрытия на участке длиной 20 м и шириной 3 м. Причина активизации: выпадение большого количества атмосферных осадков. Возраст проявления: современное. Комплексы горных пород, затронутые проявлением: Q_{IV}-N. Состав горных пород, затронутых проявлением: суглинки, глины, алевролиты.	
20.2017.0033	460	Веденский район, с. Агишбатой	00.05.17	Не завершилась	Оп	Активизация оползня объемом 1200 м^3 и площадью 200 м^2 привела к разрушению полотна дороги без покрытия на участке длиной 10 м и шириной 4 м. Причина активизации: выпадение большого количества атмосферных осадков. Возраст проявления: современное. Комплексы горных пород, затронутые проявлением: Q_{IV}-N. Состав горных пород, затронутых проявлением: суглинки, глины, алевролиты.	
20.2017.0034	461	Веденский район, а/д с. Агишбатой – с. Эрсеной, 2,20 км	00.05.17	Не завершилась	Оп	Активизация оползня объемом 450 м^3 и площадью 300 м^2 привела к перекрытию полотна дороги без покрытия на участке 10 м и создала угрозу разрушения газопровода. Причина активизации: выпадение большого количества атмосферных осадков. Возраст проявления: современное. Комплексы горных пород, затронутые проявлением: Q_{IV}-N. Состав горных пород, затронутых проявлением: суглинки, глины, алевролиты.	
20.2017.0035	462	Веденский район, а/д с. Агишбатой – с. Эрсеной, 3,55 км	00.05.17	Не завершилась	Оп	Новый оползень объемом 750 м^3 и площадью 750 м^2 разрушил 30 м линии газопровода. Причина активизации: выпадение большого количества атмосферных осадков. Возраст проявления: современное. Комплексы горных пород, затронутые проявлением: Q_{IV}-N. Состав горных пород, затронутых проявлением: суглинки, глины, алевролиты.	
20.2017.0036	463	Веденский район, а/д с. Агишбатой – с. Эрсеной, 3,79 км	00.05.17	Не завершилась	Оп	Новый крупный оползень объемом 105000 м^3 и площадью 35000 м^2 разрушил дорогу без покрытия на участке 90 м. Причина активизации: выпадение большого количества атмосферных осадков. Возраст проявления: современное. Комплексы горных пород, затронутые проявлением: Q_{IV}-N. Состав горных пород, затронутых проявлением: суглинки, глины, алевролиты.	
20.2017.0037	464	Веденский район, а/д с. Агишбатой – с. Дышне-Ведено,	00.05.17	Не завершилась	Оп	Новый оползень объемом 600 м^3 и площадью 300 м^2 создал угрозу разрушения автодороги. Причина активизации: выпадение большого количества атмосферных осадков. Возраст проявления: современное.	

1	2	3	4	5	6	7	8
		2,33 км				Комплексы горных пород, затронутые проявлением: Q_{IV}-N. Состав горных пород, затронутых проявлением: суглинки, глины, алевролиты.	
20.2017.0 038	465	Веденский район, а/д с. Агишбатой – с. Дышне-Ведено, 4,28 км	00.05.17	Не заверши-лась	Оп	Активизация оползня объемом 100 м^3 и площадью 100 м^2 создала угрозу разрушения автодороги. Причина активизации: выпадение большого количества атмосферных осадков. Возраст проявления: современное. Комплексы горных пород, затронутые проявлением: Q_{IV}-N. Состав горных пород, затронутых проявлением: суглинки, глины, алевролиты.	
20.2017.0 039	466	Веденский район, а/д с. Агишбатой – с. Дышне-Ведено, 4,62 км	00.05.17	Не заверши-лась	Оп	Новый оползень объемом 6000 м^3 и площадью 2000 м^2 создал угрозу разрушения автодороги. Причина активизации: выпадение большого количества атмосферных осадков. Возраст проявления: современное. Комплексы горных пород, затронутые проявлением: Q_{IV}-N. Состав горных пород, затронутых проявлением: суглинки, глины, алевролиты.	
20.2017.0 040	467	Веденский район, а/д с. Агишбатой – с. Дышне-Ведено, 5,03 км	00.05.17	Не заверши-лась	Оп	Новый оползень объемом 4500 м^3 и площадью 3000 м^2 разрушил полотно дороги без покрытия на участке длиной 7 м и шириной 0,5 м. Причина активизации: выпадение большого количества атмосферных осадков. Возраст проявления: современное. Комплексы горных пород, затронутые проявлением: Q_{IV}-N. Состав горных пород, затронутых проявлением: суглинки, глины, алевролиты.	
20.2017.0 041	468	Веденский район, а/д с. Агишбатой – с. Дышне-Ведено, 4,99 км	00.05.17	Не заверши-лась	Оп	Новый оползень объемом 1350 м^3 и площадью 900 м^2 разрушил полотно дороги без покрытия на участке длиной 10 м и шириной 0,5 м. Причина активизации: выпадение большого количества атмосферных осадков. Возраст проявления: современное. Комплексы горных пород, затронутые проявлением: Q_{IV}-N. Состав горных пород, затронутых проявлением: суглинки, глины, алевролиты.	
20.2017.0 042	469	Веденский район, а/д с. Агишбатой – с. Дышне-Ведено, 5,08 км	00.05.17	Не заверши-лась	Оп	Новый оползень объемом 2100 м^3 и площадью 1400 м^2 (не оказывал воздействия на хозяйственные объекты). Причина активизации: выпадение большого количества атмосферных осадков. Возраст проявления: современное. Комплексы горных пород, затронутые проявлением: Q_{IV}-N. Состав горных пород, затронутых проявлением: суглинки, глины, алевролиты.	
20.2017.0 043	470	Веденский район, а/д с. Агишбатой – с. Дышне-Ведено, 5,16 км	00.05.17	Не заверши-лась	Оп	Новый оползень объемом 3000 м^3 и площадью 1500 м^2 создал угрозу разрушения автодороги. Причина активизации: выпадение большого количества атмосферных осадков. Возраст проявления: современное. Комплексы горных пород, затронутые проявлением: Q_{IV}-N. Состав горных пород, затронутых проявлением: суглинки, глины, алевролиты.	
20.2017.0 044	471	Веденский район, а/д с. Агишбатой –	00.06.17	Не заверши-	Оп	Новый оползень объемом 750 м^3 и площадью 750 м^2 создал угрозу разрушения автодороги. Причина активизации: выпадение большого	

1	2	3	4	5	6	7	8
		с. Дышне-Ведено, 5,20 км		лась		количества атмосферных осадков. Возраст проявления: современное. Комплексы горных пород, затронутые проявлением: Q_{IV}-N. Состав горных пород, затронутых проявлением: суглинки, глины, алевролиты.	
20.2017.0 045	472	Веденский район, а/д с. Октябрьское – с. Ца-Ведено, 1,86 км	00.06.17	Не заверши-лась	Оп	Новый оползень объемом 450 м^3 и площадью 300 м^2 создал угрозу разрушения автодороги без покрытия. Причина активизации: выпадение большого количества атмосферных осадков. Возраст проявления: современное. Комплексы горных пород, затронутые проявлением: Q_{IV}-N. Состав горных пород, затронутых проявлением: суглинки, глины, алевролиты.	
20.2017.0 046	473	Веденский район, а/д с. Октябрьское – с. Ца-Ведено, 1,89 км	00.06.17	Не заверши-лась	Оп	Новый оползень объемом 450 м^3 и площадью 300 м^2 создал угрозу разрушения автодороги без покрытия. Причина активизации: выпадение большого количества атмосферных осадков. Возраст проявления: современное. Комплексы горных пород, затронутые проявлением: Q_{IV}-N. Состав горных пород, затронутых проявлением: суглинки, глины, алевролиты.	
20.2017.0 047	474	Веденский район, а/д с. Октябрьское – с. Ца-Ведено, 5,52 км	00.06.17	Не заверши-лась	Оп	Новый оползень объемом 6000 м^3 и площадью 1500 м^2 разрушил автодорогу без покрытия на участке длиной 30 м. Причина активизации: выпадение большого количества атмосферных осадков. Возраст проявления: современное. Комплексы горных пород, затронутые проявлением: Q_{IV}-N. Состав горных пород, затронутых проявлением: суглинки, глины, алевролиты.	
20.2017.0 048	475	Веденский район, а/д с. Октябрьское – с. Ца-Ведено, 5,58 км	00.06.17	Не заверши-лась	Оп	Новый оползень объемом 3375 м^3 и площадью 2250 м^2 разрушил полотно дороги без покрытия на участке длиной 20 м. Причина активизации: выпадение большого количества атмосферных осадков. Возраст проявления: современное. Комплексы горных пород, затронутые проявлением: Q_{IV}-N. Состав горных пород, затронутых проявлением: суглинки, глины, алевролиты.	
20.2017.0 049	476	Веденский район, с. Ца-Ведено	00.06.17	Не заверши-лась	Оп	Крупный оползень объемом 86400 м^3 и площадью 28800 м^2 (не оказывал воздействия на хозяйственный объекты). Причина активизации: выпадение большого количества атмосферных осадков. Возраст проявления: современное. Комплексы горных пород, затронутые проявлением: Q_{IV}-N. Состав горных пород, затронутых проявлением: суглинки, глины, алевролиты.	
20.2017.0 050	477	Веденский район, с. Ца-Ведено	00.06.17	Не заверши-лась	Оп	Новый оползень объемом 3150 м^3 и площадью 2100 м^2 создал угрозу разрушения домовладений, язык оползня остановился перед домом, периодически расчищается языковая часть, требуется переселение жильцов д. 7 по пер. Мазаева. Причина активизации: выпадение большого количества атмосферных осадков. Возраст проявления:	

1	2	3	4	5	6	7	8
						современное. Комплексы горных пород, затронутые проявлением: Q_{IV}-N. Состав горных пород, затронутых проявлением: суглинки, глины, алевролиты.	
20.2017.0051	478	Веденский район, с. Ца-Ведено	00.06.17	Не завершилась	Оп	Новый оползень объемом 1800 м^3 и площадью 450 м^2 создал угрозу разрушения домовладений, требуется переселение жильцов д. 5 по пер. Мазаева. Причина активизации: выпадение большого количества атмосферных осадков. Возраст проявления: современное. Комплексы горных пород, затронутые проявлением: Q_{IV}-N. Состав горных пород, затронутых проявлением: суглинки, глины, алевролиты.	
20.2017.0052	479	Веденский район, с. Ца-Ведено	00.06.17	Не завершилась	Оп	Новый оползень объемом 2000 м^3 и площадью 500 м^2 привел к деформации хозяйственной пристройки частного домовладения: пер. Мазаева, д. 4. Причина активизации: выпадение большого количества атмосферных осадков. Возраст проявления: современное. Комплексы горных пород, затронутые проявлением: Q_{IV}-N. Состав горных пород, затронутых проявлением: суглинки, глины, алевролиты.	
20.2017.0053	480	Ножай-Юртовский район, с. Бетти-Мохк	00.07.17	Не завершилась	Оп	Новый оползень объемом 600 м^3 и площадью 120 м^2 (не оказывал воздействия на хозяйственные объекты). Причина активизации: выпадение большого количества атмосферных осадков. Возраст проявления: современное. Комплексы горных пород, затронутые проявлением: Q_{IV}-N. Состав горных пород, затронутых проявлением: суглинки, глины.	
20.2017.0054	481	Ножай-Юртовский район, а/д с. Бетти-Мохк – с. Совраги, 2,14 км	00.06.17	Не завершилась	Оп	Активизация оползня объемом 8550 м^3 и площадью 2850 м^2 привела к разрушению полотна дороги с покрытием на участке шириной до 2 м и длиной 80 м. Причина активизации: выпадение большого количества атмосферных осадков. Возраст проявления: современное. Комплексы горных пород, затронутые проявлением: Q_{IV}-N. Состав горных пород, затронутых проявлением: суглинки, глины.	
20.2017.0055	482	Ножай-Юртовский район, а/д с. Бетти-Мохк – с. Совраги, 3,2 км	00.06.17	Не завершилась	Оп	Активизация оползня объемом 3000 м^3 и площадью 1500 м^2 привела к разрушению полотна дороги с покрытием на участке шириной до 1 м, длиной 20 м, а также к проседанию полотна дороги на участке шириной до 3 м, длиной 50 м. Причина активизации: выпадение большого количества атмосферных осадков. Возраст проявления: современное. Комплексы горных пород, затронутые проявлением: Q_{IV}-N. Состав горных пород, затронутых проявлением: суглинки, глины.	
20.2017.0056	483	Ножай-Юртовский район, а/д с. Бетти-Мохк – с. Совраги, 3,91 км	00.06.17	Не завершилась	Оп	Новый оползень объемом 2760 м^3 и площадью 1840 м^2 разрушил полотно дороги с покрытием на участке шириной до 1 м, длиной до 30 м. Причина активизации: выпадение большого количества атмосферных осадков. Возраст проявления: современное. Комплексы горных пород,	

1	2	3	4	5	6	7	8
						затронутые проявлением: Q_{IV}-N. Состав горных пород, затронутых проявлением: суглинки, глины.	
20.2017.0057	484	Ножай-Юртовский район, а/д с. Бетти-Мохк – с. Совраги, 3,98 км	00.06.17	Не заверши-лась	Оп	Активизация оползня объемом 1200 м^3 и площадью 1200 м^2 привела к разрушению автодороги с покрытием на участке шириной до 2 м, длиной 30 м. Причина активизации: выпадение большого количества атмосферных осадков. Возраст проявления: современное. Комплексы горных пород, затронутые проявлением: Q_{IV}-N. Состав горных пород, затронутых проявлением: суглинки, глины.	
20.2017.0058	485	Ножай-Юртовский район, а/д с. Бетти-Мохк – с. Совраги, 4,18 км	00.06.17	Не заверши-лась	Оп	Активизация оползня объемом 3000 м^3 и площадью 1500 м^2 привела к деформациям и частичному разрушению участка дороги с покрытием длиной 20 м, шириной 4 м. Причина активизации: выпадение большого количества атмосферных осадков. Возраст проявления: современное. Комплексы горных пород, затронутые проявлением: Q_{IV}-N. Состав горных пород, затронутых проявлением: суглинки, глины.	
20.2017.0059	486	Ножай-Юртовский район, а/д с. Бетти-Мохк – с. Совраги, 4,25 км	00.06.17	Не заверши-лась	Оп	Активизация оползня объемом 4860 м^3 и площадью 3240 м^2 привела к разрушению обочины асфальтированной дороги на участке длиной 10 м, шириной 0,5 м и деформации полотна дороги на участке длиной 50 м. Причина активизации: выпадение большого количества атмосферных осадков. Возраст проявления: современное. Комплексы горных пород, затронутые проявлением: Q_{IV}-N. Состав горных пород, затронутых проявлением: суглинки, глины.	
20.2017.0060	487	Ножай-Юртовский район, а/д с. Бетти-Мохк – с. Совраги, 4,43 км	00.07.17	Не заверши-лась	Оп	Активизация оползня объемом 19140 м^3 и площадью 6380 м^2 привела к разрушению автодороги с покрытием на участке длиной 35 м, шириной 3 м, а также деформации дороги на участке длиной 30 м, шириной 3 м. Причина активизации: выпадение большого количества атмосферных осадков. Возраст проявления: современное. Комплексы горных пород, затронутые проявлением: Q_{IV}-N. Состав горных пород, затронутых проявлением: суглинки, глины.	
20.2017.0061	488	Ножай-Юртовский район, а/д с. Бетти-Мохк – с. Совраги, 4,64 км	00.06.17	Не заверши-лась	Оп	Активизация оползня объемом 600 м^3 и площадью 600 м^2 привела к разрушению полотна дороги с покрытием на участке шириной до 6 м, длиной 15 м. Причина активизации: выпадение большого количества атмосферных осадков. Возраст проявления: современное. Комплексы горных пород, затронутые проявлением: Q_{IV}-N. Состав горных пород, затронутых проявлением: суглинки, глины.	
20.2017.0062	489	Ножай-Юртовский район, а/д с. Бетти-Мохк – с. Совраги, 4,74 км	00.07.17	Не заверши-лась	Оп	Новый оползень объемом 1200 м^3 и площадью 1200 м^2 разрушил обочину дороги с покрытием на участке длиной 40 м и деформировал полотно дороги на участке длиной 80 м, шириной 1,5 м. Причина активизации: выпадение большого количества атмосферных осадков.	

1	2	3	4	5	6	7	8
						Возраст проявления: современное. Комплексы горных пород, затронутые проявлением: Q_{IV}-N. Состав горных пород, затронутых проявлением: суглинки, глины.	
20.2017.0063	490	Ножай-Юртовский район, центральная часть с. Совраги	00.06.17	Не заверши-лась	Оп	Активизация оползня объемом 1350 м^3 и площадью 900 м^2 привела к разрушению полотна дороги с покрытием на участке шириной 1,5 м, длиной 40 м. Причина активизации: выпадение большого количества атмосферных осадков. Возраст проявления: современное. Комплексы горных пород, затронутые проявлением: Q_{IV}-N. Состав горных пород, затронутых проявлением: суглинки, глины.	
20.2017.0064	491	Ножай-Юртовский район, с. Айти-Мокх	00.06.17	Не заверши-лась	Оп	Активизация оползня объемом 9600 м^3 и площадью 4800 м^2 привела к деформирмации дороги с покрытием на участке длиной 30 м. На теле оползня находятся 2 опоры ЛЭП, разрушена линия газопровода на участке длиной 30 м. Причина активизации: выпадение большого количества атмосферных осадков. Возраст проявления: современное. Комплексы горных пород, затронутые проявлением: Q_{IV}-N. Состав горных пород, затронутых проявлением: суглинки, глины.	
20.2017.0065	492	Ножай-Юртовский район, с. Айти-Мокх	00.06.17	Не заверши-лась	Оп	Активизация оползня объемом 9450 м^3 и площадью 3150 м^2 привела к разрушению дороги с покрытием на участке длиной 30 м шириной 3 м. Причина активизации: выпадение большого количества атмосферных осадков. Возраст проявления: современное. Комплексы горных пород, затронутые проявлением: Q_{IV}-N. Состав горных пород, затронутых проявлением: суглинки, глины.	
20.2017.0066	493	Ножай-Юртовский район, с. Айти-Мокх	00.06.17	Не заверши-лась	Оп	Активизация оползня объемом 1720 м^3 и площадью 1720 м^2 привела к разрушению полотна дороги с покрытием на участке длиной 25 м, шириной до 3 м. Причина активизации: выпадение большого количества атмосферных осадков. Возраст проявления: современное. Комплексы горных пород, затронутые проявлением: Q_{IV}-N. Состав горных пород, затронутых проявлением: суглинки, глины.	
20.2017.0067	494	Ножай-Юртовский район, с. Айти-Мокх	00.06.17	Не заверши-лась	Оп	Активизация оползня объемом 250 м^3 и площадью 250 м^2 привела к разрушению полотна дороги с покрытием на участке длиной 8 м, шириной до 2 м. Причина активизации: выпадение большого количества атмосферных осадков. Возраст проявления: современное. Комплексы горных пород, затронутые проявлением: Q_{IV}-N. Состав горных пород, затронутых проявлением: суглинки, глины.	
20.2017.0068	495	Ножай-Юртовский район, восточная окраина с. Айти-Мокх	00.06.17	Не заверши-лась	Оп	Активизация оползня объемом 75 м^3 и площадью 150 м^2 привела к разрушению полотна дороги с покрытием на участке длиной 10 м, шириной 0,5 м. Причина активизации: выпадение большого количества атмосферных осадков. Возраст проявления: современное. Комплексы	

1	2	3	4	5	6	7	8
						горных пород, затронутые проявлением: Q_{IV}-N. Состав горных пород, затронутых проявлением: суглинки, глины.	
20.2017.0 069	496	Ножай-Юртовский район, с. Ножай – Юрт, Реабилитационный центр	00.07.17	Не заверши-лась	Оп	Активизация оползня объемом 126500 м^3 и площадью 25300 м^2 привела к разрушению полотна дороги с покрытием на участке длиной 120 м. Под угрозой разрушения – здания детского реабилитационного центра. Центр находится на теле оползня. Дальнейшая эксплуатация центра невозможна. Причина активизации: выпадение большого количества атмосферных осадков. Возраст проявления: современное. Комплексы горных пород, затронутые проявлением: Q_{IV}-N. Состав горных пород, затронутых проявлением: суглинки, глины.	
20.2017.0 070	497	Ножай-Юртовский район, с.Ножай-Юрт	00.06.17	Не заверши-лась	Оп	Новый оползень объемом 150 м^3 и площадью 150 м^2 создал угрозу разрушения опоры ЛЭП и дороги без покрытия. Причина активизации: выпадение большого количества атмосферных осадков. Возраст проявления: современное. Комплексы горных пород, затронутые проявлением: Q_{IV}-N. Состав горных пород, затронутых проявлением: суглинки, глины.	
20.2017.0 071	498	Ножай-Юртовский район, с. Мехкешты	00.07.17	Не заверши-лась	Оп	Оползень объемом 7000 м^3 и площадью 7000 м^2 (не оказывал воздействия на хозяйственные объекты). Причина активизации: выпадение большого количества атмосферных осадков. Возраст проявления: современное. Комплексы горных пород, затронутые проявлением: Q_{IV}-N. Состав горных пород, затронутых проявлением: суглинки, глины.	
20.2017.0 072	499	Ножай-Юртовский район, а/д с. Мехкешты – с. Зандак, 2,51 км	00.06.17	Не заверши-лась	Оп	Активизация оползня объемом 10000 м^3 и площадью 2000 м^2 привела к разрушению полотна дороги без покрытия на участке длиной 20 м. Причина активизации: выпадение большого количества атмосферных осадков. Возраст проявления: современное. Комплексы горных пород, затронутые проявлением: Q_{IV}-N. Состав горных пород, затронутых проявлением: суглинки, глины.	
20.2017.0 073	500	Ножай-Юртовский район, а/д с. Мехкешты – с. Зандак, 2,69 км	00.06.17	Не заверши-лась	Оп	Новый оползень объемом 1000 м^3 и площадью 1000 м^2 разрушил полотно дороги без покрытия на участке шириной 1,5 м, длиной 10 м. Причина активизации: выпадение большого количества атмосферных осадков. Возраст проявления: современное. Комплексы горных пород, затронутые проявлением: Q_{IV}-N. Состав горных пород, затронутых проявлением: суглинки, глины.	
20.2017.0 074	501	Ножай-Юртовский район, а/д с. Мехкешты – с. Зандак, 2,75 км	00.06.17	Не заверши-лась	Оп	Оползень объемом 31200 м^3 и площадью 10400 м^2 (не оказывал воздействия на хозяйственные объекты). Причина активизации: выпадение большого количества атмосферных осадков. Возраст проявления: современное. Комплексы горных пород, затронутые	

1	2	3	4	5	6	7	8
						проявлением: Q_{IV}-N. Состав горных пород, затронутых проявлением: суглинки, глины.	
20.2017.0 075	502	Ножай-Юртовский район, а/д с. Мехкешты – с. Зандак, 3,47 км	00.06.17	Не заверши-лась	Оп	Новый оползень объемом 750 м^3 и площадью 750 м^2 разрушил полотно дороги без покрытия на участке длиной 20 м, шириной 1 м. Причина активизации: выпадение большого количества атмосферных осадков. Возраст проявления: современное. Комплексы горных пород, затронутые проявлением: Q_{IV}-N. Состав горных пород, затронутых проявлением: суглинки, глины.	
20.2017.0 076	503	Ножай-Юртовский район, а/д с. Мехкешты – с. Зандак, 3,91 км	00.06.17	Не заверши-лась	Оп	Новый оползень объемом 42000 м^3 и площадью 8400 м^2 (не оказывал воздействия на хозяйственные объекты). Причина активизации: выпадение большого количества атмосферных осадков. Возраст проявления: современное. Комплексы горных пород, затронутые проявлением: Q_{IV}-N. Состав горных пород, затронутых проявлением: суглинки, глины.	
20.2017.0 077	504	Ножай-Юртовский район, а/д с. Мехкешты – с. Зандак, 4,3 км	00.06.17	Не заверши-лась	Оп	Оползень объемом 300000 м^3 и площадью 150000 м^2 (не оказывал воздействия на хозяйственные объекты). Уступ оползня подошел к обочине дороги. Причина активизации: выпадение большого количества атмосферных осадков. Возраст проявления: современное. Комплексы горных пород, затронутые проявлением: Q_{IV}-N. Состав горных пород, затронутых проявлением: суглинки, глины.	
20.2017.0 078	505	Ножай-Юртовский район, а/д с. Мехкешты – с. Зандак, 4,36 км	00.06.17	Не заверши-лась	Оп	Новый оползень объемом 1850 м^3 и площадью 1850 м^2 разрушил полотно дороги без покрытия шириной 1,5 м на участке длиной 20 м. Причина активизации: выпадение большого количества атмосферных осадков. Возраст проявления: современное. Комплексы горных пород, затронутые проявлением: Q_{IV}-N. Состав горных пород, затронутых проявлением: суглинки, глины.	
20.2017.0 079	506	Ножай-Юртовский район, с. Зандак	00.06.17	Не заверши-лась	Оп	Активизация оползня объемом 60 м^3 и площадью 30 м^2 привела к разрушению газопровода на участке длиной 12 м. Причина активизации: выпадение большого количества атмосферных осадков. Возраст проявления: современное. Комплексы горных пород, затронутые проявлением: Q_{IV}-N. Состав горных пород, затронутых проявлением: суглинки, глины.	
20.2017.0 080	507	Ножай-Юртовский район, с. Зандак	00.06.17	Не заверши-лась	Оп	Активизация оползня объемом 3000 м^3 и площадью 1500 м^2 привела к разрушению дороги с покрытием на участке длиной 20 м. Причина активизации: выпадение большого количества атмосферных осадков. Возраст проявления: современное. Комплексы горных пород, затронутые проявлением: Q_{IV}-N. Состав горных пород, затронутых проявлением: суглинки, глины.	

1	2	3	4	5	6	7	8
20.2017.0081	508	Ножай-Юртовский район, с. Гиляны	00.06.17	Не заверши-лась	Оп	Активизация оползня объемом 8800 м^3 и площадью 4400 м^2 привела к разрушению полотна дороги без покрытия на участке длиной 20 м. Причина активизации: выпадение большого количества атмосферных осадков. Возраст проявления: современное. Комплексы горных пород, затронутые проявлением: Q_{IV}-N. Состав горных пород, затронутых проявлением: суглинки, глины.	
20.2017.0082	509	Ножай-Юртовский район, с. Гиляны	00.06.17	Не заверши-лась	Оп	Активизация оползня объемом 1000 м^3 и площадью1000 м^2 привела к разрушению полотна дороги без покрытия на участке длиной 10 м, шириной 1,5 м. Причина активизации: выпадение большого количества атмосферных осадков. Возраст проявления: современное. Комплексы горных пород, затронутые проявлением: Q_{IV}-N. Состав горных пород, затронутых проявлением: суглинки, глины.	
20.2017.0083	510	Ножай-Юртовский район, с. Гиляны	00.07.17	Не заверши-лась	Оп	Активизация оползня объемом 2100 м^3 и площадью 1400 м^2 создала угрозу воздействия на частный дом. Язык оползня остановился в 1 м от хоз.постройки во дворе домовладения по ул. Кадырова, 92. Причина активизации: выпадение большого количества атмосферных осадков. Возраст проявления: современное. Комплексы горных пород, затронутые проявлением: Q_{IV}-N. Состав горных пород, затронутых проявлением: суглинки, глины.	
20.2017.0084	511	Ножай-Юртовский район, а/д с. Гиляны – с. Татай, 0,34 км	00.06.17	Не заверши-лась	Оп	Оползень объемом 4000 м^3 и площадью 4000 м^2 (не оказывал воздействия на хозяйственные объекты). Причина активизации: выпадение большого количества атмосферных осадков. Возраст проявления: современное. Комплексы горных пород, затронутые проявлением: Q_{IV}-N. Состав горных пород, затронутых проявлением: суглинки, глины.	
20.2017.0085	512	Ножай-Юртовский район, с. Татай	00.06.17	Не заверши-лась	Оп	Новый оползень объемом 8000 м^3 и площадью 8000 м^2 разрушил полотно дороги без покрытия на участке длиной 15 м и деформировал полотно дороги без покрытия на участке длиной 20 м. Причина активизации: выпадение большого количества атмосферных осадков. Возраст проявления: современное. Комплексы горных пород, затронутые проявлением: Q_{IV}-N. Состав горных пород, затронутых проявлением: суглинки, глины.	
20.2017.0086	513	Ножай-Юртовский район, с. Татай	00.07.17	Не заверши-лась	Оп	Новый оползень объемом 900 м^3 и площадью 600 м^2 разрушил дорогу без покрытия на участке длиной 15 м, шириной 1,5 м. Причина активизации: выпадение большого количества атмосферных осадков. Возраст проявления: современное. Комплексы горных пород, затронутые проявлением: Q_{IV}-N. Состав горных пород, затронутых проявлением: суглинки, глины.	

1	2	3	4	5	6	7	8
20.2017.0087	514	Ножай-Юртовский район, с. Татай	00.06.17	Не заверши-лась	Оп	Активизация оползня объемом 3600 м^3 и площадью 1800 м^2 привела к разрушению полотна дороги без покрытия на участке длиной 5 м, шириной 0,5 м. Причина активизации: выпадение большого количества атмосферных осадков. Возраст проявления: современное. Комплексы горных пород, затронутые проявлением: Q_{IV}-N. Состав горных пород, затронутых проявлением: суглинки, глины.	
20.2017.0088	515	Ножай-Юртовский район, с. Татай	00.06.17	Не заверши-лась	Оп	Активизация оползня объемом 125 м^3 и площадью 125 м^2 привела к разрушению газопровода на участке 25 м и дороги без покрытия на участке длиной 7 м, шириной до 1 м. Причина активизации: выпадение большого количества атмосферных осадков. Возраст проявления: современное. Комплексы горных пород, затронутые проявлением: Q_{IV}-N. Состав горных пород, затронутых проявлением: суглинки, глины.	
20.2017.0089	516	Ножай-Юртовский район, с. Байтарки	00.06.17	Не заверши-лась	Оп	Новый оползень объемом 6000 м^3 и площадью 1200 м^2 перекрыл полотно дороги шириной до 2 м на участке длиной 15 м. Причина активизации: выпадение большого количества атмосферных осадков. Возраст проявления: современное. Комплексы горных пород, затронутые проявлением: Q_{IV}-N. Состав горных пород, затронутых проявлением: суглинки, глины.	
20.2017.0090	517	Ножай-Юртовский район, с. Байтарки	00.06.17	Не заверши-лась	Оп	Активизация оползня объемом 6000 м^3 и площадью 1200 м^2 привела к перекрытию дороги на участке шириной 1,5 м, длиной 10 м. Причина активизации: выпадение большого количества атмосферных осадков. Возраст проявления: современное. Комплексы горных пород, затронутые проявлением: Q_{IV}-N. Состав горных пород, затронутых проявлением: суглинки, глины.	
20.2017.0091	518	Ножай-Юртовский район, а/д с. Байтарки – с. Чеччель-Юх, 0,64 км	00.06.17	Не заверши-лась	Оп	Оползень объемом 160 м^3 и площадью 160 м^2 (не оказывал воздействия на хозяйственные объекты). Причина активизации: выпадение большого количества атмосферных осадков. Возраст проявления: современное. Комплексы горных пород, затронутые проявлением: Q_{IV}-N. Состав горных пород, затронутых проявлением: суглинки, глины.	
20.2017.0092	519	Ножай-Юртовский район, а/д с. Байтарки – с. Чеччель-Юх, 0,78 км	00.06.17	Не заверши-лась	Оп	Активизация оползня объемом 4500 м^3 и площадью 1500 м^2 привела к разрушению полотна дороги без покрытия на участке длиной 15 м. Причина активизации: выпадение большого количества атмосферных осадков. Возраст проявления: современное. Комплексы горных пород, затронутые проявлением: Q_{IV}-N. Состав горных пород, затронутых проявлением: суглинки, глины.	
20.2017.0093	520	Ножай-Юртовский район,	00.06.17	Не заверши-	Оп	Активизация оползня объемом 2250 м^3 и площадью 750 м^2 привела к разрушению обочины дороги без покрытия на участке длиной 7 м,	

1	2	3	4	5	6	7	8
		а/д с. Байтарки – с. Чеччель-Юх, 0,84 км		лась		шириной 0,5 м. Причина активизации: выпадение большого количества атмосферных осадков. Возраст проявления: современное. Комплексы горных пород, затронутые проявлением: Q_{IV}-N. Состав горных пород, затронутых проявлением: суглинки, глины.	
20.2017.0094	521	Ножай-Юртовский район, а/д с. Байтарки – с. Чеччель-Юх, 1,29 км	00.06.17	Не заверши-лась	Оп	Оползень объемом 750 м^3 и площадью 750 м^2 (не оказывал воздействия на хозяйственные объекты). Причина активизации: выпадение большого количества атмосферных осадков. Возраст проявления: современное. Комплексы горных пород, затронутые проявлением: Q_{IV}-N. Состав горных пород, затронутых проявлением: суглинки, глины.	
20.2017.0095	522	Ножай-Юртовский район, а/д с. Байтарки – с. Чеччель-Юх, 1,71 км	00.06.17	Не заверши-лась	Оп	Активизация оползня объемом 875 м^3 и площадью 875 м^2 привела к перекрытию полотна дороги без покрытия на участке шириной 0,5 м, длиной 8 м. Причина активизации: выпадение большого количества атмосферных осадков. Возраст проявления: современное. Комплексы горных пород, затронутые проявлением: Q_{IV}-N. Состав горных пород, затронутых проявлением: суглинки, глины.	
20.2017.0096	523	Ножай-Юртовский район, а/д с. Байтарки – с. Чеччель-Юх, 2,0 км	00.06.17	Не заверши-лась	Оп	Активизация оползня объемом 1125 м^3 и площадью 750 м^2 привела к разрушению дороги без покрытия на участке длиной 10 м. Причина активизации: выпадение большого количества атмосферных осадков. Возраст проявления: современное. Комплексы горных пород, затронутые проявлением: Q_{IV}-N. Состав горных пород, затронутых проявлением: суглинки, глины.	
20.2017.0097	524	Ножай-Юртовский район, а/д с. Айти - Мокх – с. Бильты, 0,41 км	00.06.17	Не заверши-лась	Оп	Новый оползень объемом 1200 м^3 и площадью 600 м^2 разрушил обочину дороги без покрытия на участке шириной 1 м, длиной 15 м. Язык оползня перекрыл дорогу на участке шириной 2 м, длиной 10 м. Причина активизации: выпадение большого количества атмосферных осадков. Возраст проявления: современное. Комплексы горных пород, затронутые проявлением: Q_{IV}-N. Состав горных пород, затронутых проявлением: суглинки, глины.	
20.2017.0098	525	Ножай-Юртовский район, а/д с. Айти - Мокх – с. Бильты, 0,56 км	00.06.17	Не заверши-лась	Оп	Новый оползень объемом 2385 м^3 и площадью 1590 м^2 разрушил полотно дороги без покрытия на участке длиной 40 м, шириной 1,5 м. Причина активизации: выпадение большого количества атмосферных осадков. Возраст проявления: современное. Комплексы горных пород, затронутые проявлением: Q_{IV}-N. Состав горных пород, затронутых проявлением: суглинки, глины.	
20.2017.0099	526	Ножай-Юртовский район, а/д с. Айти - Мокх – с. Бильты,	00.06.17	Не заверши-лась	Оп	Активизация оползня объемом 282 м^3 и площадью 188 м^2 привела к разрушению полотна дороги без покрытия на участке длиной 47 м, шириной до 1,5 м. Причина активизации: выпадение большого	

1	2	3	4	5	6	7	8
		0,49 км				количества атмосферных осадков. Возраст проявления: современное. Комплексы горных пород, затронутые проявлением: Q_{IV}-N. Состав горных пород, затронутых проявлением: суглинки, глины.	
20.2017.0100	527	Ножай-Юртовский район, а/д с. Айти - Мокх – с. Бильты, 0,5 км	00.06.17	Не заверши-лась	Оп	Активизация оползня объемом 220 м^3 и площадью 220 м^2 создала угрозу перекрытия дороги. Причина активизации: выпадение большого количества атмосферных осадков. Возраст проявления: современное. Комплексы горных пород, затронутые проявлением: Q_{IV}-N. Состав горных пород, затронутых проявлением: суглинки, глины.	
20.2017.0101	528	Ножай-Юртовский район, а/д с. Айти - Мокх – с. Бильты, 0,64 км	00.06.17	Не заверши-лась	Оп	Активизация оползня объемом 300 м^3 и площадью 200 м^2 привела к разрушению обочины дороги без покрытия на участке длиной 20 м, шириной до 1 м. Причина активизации: выпадение большого количества атмосферных осадков. Возраст проявления: современное. Комплексы горных пород, затронутые проявлением: Q_{IV}-N. Состав горных пород, затронутых проявлением: суглинки, глины.	
20.2017.0102	529	Ножай-Юртовский район, а/д с. Айти - Мокх – с. Бильты, 0,72 км	00.06.17	Не заверши-лась	Оп	Активизация оползня объемом 810 м^3 и площадью 540 м^2 привела к разрушению дороги без покрытия на участке длиной 18 м, шириной до 2 м. Языком оползня было перекрыто полотно дороги без покрытия на участке шириной до 2 м, длиной 10 м. Причина активизации: выпадение большого количества атмосферных осадков. Возраст проявления: современное. Комплексы горных пород, затронутые проявлением: Q_{IV}-N. Состав горных пород, затронутых проявлением: суглинки, глины.	
20.2017.0103	530	Ножай-Юртовский район, а/д с. Айти - Мокх – с. Бильты, 0,77 км	00.06.17	Не заверши-лась	Оп	Активизация оползня объемом 367,5 м^3 и площадью 245 м^2 привела к разрушению обочины дороги без покрытия на участке длиной 30 м, шириной до 1,5 м. Языком оползня было перекрыто полотно дороги без покрытия на участке шириной 2 м, длиной до 10 м. Причина активизации: выпадение большого количества атмосферных осадков. Возраст проявления: современное. Комплексы горных пород, затронутые проявлением: Q_{IV}-N. Состав горных пород, затронутых проявлением: суглинки, глины.	
20.2017.0104	531	Ножай-Юртовский район, а/д с. Айти - Мокх – с. Бильты, 0,81 км	00.06.17	Не заверши-лась	Оп	Активизация оползня объемом 4200 м^3 и площадью 2800 м^2 привела к разрушению обочины дороги без покрытия на участке длиной 1,5 м, шириной 1 м. Причина активизации: выпадение большого количества атмосферных осадков. Возраст проявления: современное. Комплексы горных пород, затронутые проявлением: Q_{IV}-N. Состав горных пород, затронутых проявлением: суглинки, глины.	
20.2017.0105	532	Ножай-Юртовский район, а/д с. Айти - Мокх – с. Бильты,	00.06.17	Не заверши-лась	Оп	Активизация оползня объемом 7700 м^3 и площадью 3850 м^2 привела к разрушению обочины дороги без покрытия на участке длиной 80 м, шириной 1 м. Языком оползня был перекрыт участок дороги шириной до	

1	2	3	4	5	6	7	8
		0,85 км				1,5 м и длиной до 20 м. Причина активизации: выпадение большого количества атмосферных осадков. Возраст проявления: современное. Комплексы горных пород, затронутые проявлением: Q_{IV}-N. Состав горных пород, затронутых проявлением: суглинки, глины.	
20.2017.0106	533	Ножай-Юртовский район, с. Рагун-Кажа	00.07.17	Не заверши-лась	Оп	Активизация оползня объемом 140 м^3 и площадью 280 м^2 привела к разрушению полотна дороги с покрытием на участке длиной 6 м, шириной 2 м. Причина активизации: выпадение большого количества атмосферных осадков. Возраст проявления: современное. Комплексы горных пород, затронутые проявлением: Q_{IV}-N. Состав горных пород, затронутых проявлением: суглинки, глины.	
20.2017.0107	534	Ножай-Юртовский район, с. Рагун-Кажа	00.07.17	Не заверши-лась	Оп	Активизация оползня объемом 250 м^3 и площадью 500 м^2 привела к разрушению полотна дороги с покрытием на участке длиной 15 м, шириной 2 м. Причина активизации: выпадение большого количества атмосферных осадков. Возраст проявления: современное. Комплексы горных пород, затронутые проявлением: Q_{IV}-N. Состав горных пород, затронутых проявлением: суглинки, глины.	
20.2017.0108	535	Ножай-Юртовский район, с. Бильты	00.06.17	Не заверши-лась	Оп	Новый оползень объемом 400 м^3 и площадью 800 м^2 разрушил полотно дороги без покрытия на участке длиной 20 м, шириной до 2 м. Причина активизации: выпадение большого количества атмосферных осадков. Возраст проявления: современное. Комплексы горных пород, затронутые проявлением: Q_{IV}-N. Состав горных пород, затронутых проявлением: суглинки, глины.	
20.2017.0109	536	Ножай-Юртовский район, с. Бильты	00.06.17	Не заверши-лась	Оп	Новый оползень объемом 600 м^3 и площадью 1200 м^2 разрушил полотно дороги без покрытия на участке длиной 20 м. Причина активизации: выпадение большого количества атмосферных осадков. Возраст проявления: современное. Комплексы горных пород, затронутые проявлением: Q_{IV}-N. Состав горных пород, затронутых проявлением: суглинки, глины, алевролиты.	
20.2017.0110	537	Ножай-Юртовский район, с. Бильты	00.06.17	Не заверши-лась	Оп	Новый оползень объемом 150 м^3 и площадью 150 м^2 разрушил обочину дороги без покрытия на участке длиной 10 м, шириной 1 м. Причина активизации: выпадение большого количества атмосферных осадков. Возраст проявления: современное. Комплексы горных пород, затронутые проявлением: Q_{IV}-N. Состав горных пород, затронутых проявлением: суглинки, глины.	
20.2017.0111	538	Ножай-Юртовский район, а/д с. Беной – с. Гендерген, 1,74 км	00.06.17	Не заверши-лась	Оп	Новый оползень объемом 1100 м^3 и площадью 1100 м^2 разрушил газопровод на участке длиной 60 м. Причина активизации: выпадение большого количества атмосферных осадков. Возраст проявления: современное. Комплексы горных пород, затронутые проявлением: Q_{IV}-N.	

1	2	3	4	5	6	7	8
						Состав горных пород, затронутых проявлением: суглинки, глины.	
20.2017.0112	539	Ножай-Юртовский район, с. Гендерген	00.06.17	Не заверши-лась	Оп	Новый оползень объемом 4800 м^3 и площадью 4800 м^2 разрушил полотно дороги без покрытия на участке длиной 80 м, шириной 60 м. Причина активизации: выпадение большого количества атмосферных осадков. Возраст проявления: современное. Комплексы горных пород, затронутые проявлением: Q_{IV}-N. Состав горных пород, затронутых проявлением: суглинки, глины.	
20.2017.0113	540	Ножай-Юртовский район, с. Гендерген	00.06.17	Не заверши-лась	Оп	Активизация оползня объемом 2000 м^3 и площадью 2000 м^2 привела к разрушению полотна дороги без покрытия на участке длиной 20 м. Причина активизации: выпадение большого количества атмосферных осадков. Возраст проявления: современное. Комплексы горных пород, затронутые проявлением: Q_{IV}-N. Состав горных пород, затронутых проявлением: суглинки, глины.	
20.2017.0114	541	Ножай-Юртовский район, с. Гендерген	00.06.17	Не заверши-лась	Оп	Новый оползень объемом 600 м^3 и площадью 1200 м^2 разрушил обочину дороги без покрытия на участке шириной до 1 м, длиной 20 м. Причина активизации: выпадение большого количества атмосферных осадков. Возраст проявления: современное. Комплексы горных пород, затронутые проявлением: Q_{IV}-N. Состав горных пород, затронутых проявлением: суглинки, глины.	
20.2017.0115	542	Ножай-Юртовский район, а/д с. Зандак-Ара – с. Даттах, 0,59 км	00.07.17	Не заверши-лась	Оп	Активизация оползня объемом 6000 м^3 и площадью 6000 м^2 привела к разрушению дороги без покрытия на участке длиной 40 м. Причина активизации: выпадение большого количества атмосферных осадков. Возраст проявления: современное. Комплексы горных пород, затронутые проявлением: Q_{IV}-N. Состав горных пород, затронутых проявлением: суглинки, глины.	
20.2017.0116	543	Ножай-Юртовский район, с. Зандак-Ара	00.06.17	Не заверши-лась	Оп	Новый оползень объемом 2100 м^3 и площадью 4200 м^2 перекрыл полотно дороги без покрытия на участке длиной 20 м. Причина активизации: выпадение большого количества атмосферных осадков. Возраст проявления: современное. Комплексы горных пород, затронутые проявлением: Q_{IV}-N. Состав горных пород, затронутых проявлением: суглинки, глины.	
20.2017.0117	544	Ножай-Юртовский район, с. Зандак-Ара	00.06.17	Не заверши-лась	Оп	Активизация оползня объемом 750 м^3 и площадью 750 м^2 привела к разрушению полотна дороги с покрытием на участке шириной 2 м, длиной 12 м. Причина активизации: выпадение большого количества атмосферных осадков. Возраст проявления: современное. Комплексы горных пород, затронутые проявлением: Q_{IV}-N. Состав горных пород, затронутых проявлением: суглинки, глины.	
20.2017.0	545	Ножай-Юртовский	00.06.17	Не	Оп	Новый оползень объемом 1650 м^3 и площадью 3800 м^2 разрушил	

1	2	3	4	5	6	7	8
118		район, а/д с. Гендерген – с. Хочи-Ара, 1,57 км		заверши-лась		обочину дороги без покрытия на участке шириной 1 м, длиной 30 м. Причина активизации: выпадение большого количества атмосферных осадков. Возраст проявления: современное. Комплексы горных пород, затронутые проявлением: Q_{IV}-N. Состав горных пород, затронутых проявлением: суглинки, глины.	
20.2017.0119	546	Ножай-Юртовский район, с. Хочи-Ара	00.06.17	Не заверши-лась	Оп	Активизация оползня объемом 2000 м^3 и площадью 2000 м^2 привела к разрушению обочины дороги с покрытием на участке длиной 15 м, шириной 0,5 м. Причина активизации: выпадение большого количества атмосферных осадков. Возраст проявления: современное. Комплексы горных пород, затронутые проявлением: Q_{IV}-N. Состав горных пород, затронутых проявлением: суглинки, глины.	
20.2017.0120	547	Ножай-Юртовский район, а/д с. Хочи-Ара – с. Энгеной, 1,55 км	00.06.17	Не заверши-лась	Оп	Новый оползень объемом 1860 м^3 и площадью 1860 м^2 разрушил участок дороги без покрытия длиной 10 м. Причина активизации: выпадение большого количества атмосферных осадков. Возраст проявления: современное. Комплексы горных пород, затронутые проявлением: Q_{IV}-N. Состав горных пород, затронутых проявлением: суглинки, глины.	
20.2017.0121	548	Ножай-Юртовский район, а/д с. Беной – с. Айти-Мокх, 4,73 км	00.06.17	Не заверши-лась	Оп	Новый оползень объемом 2000 м^3 и площадью 1000 м^2 разрушил полотно дороги с покрытием на участке длиной 45 м. Причина активизации: выпадение большого количества атмосферных осадков. Возраст проявления: современное. Комплексы горных пород, затронутые проявлением: Q_{IV}-N. Состав горных пород, затронутых проявлением: суглинки, глины.	
20.2017.0122	549	Ножай-Юртовский район, а/д с. Беной – с. Айти-Мокх, 4,77 км	00.06.17	Не заверши-лась	Оп	Новый оползень объемом 450 м^3 и площадью 300 м^2 разрушил обочину дороги с покрытием на участке шириной 0,5 м, длиной 3 м. Было разрушено 20 м газопровода. Причина активизации: выпадение большого количества атмосферных осадков. Возраст проявления: современное. Комплексы горных пород, затронутые проявлением: Q_{IV}-N. Состав горных пород, затронутых проявлением: суглинки, глины.	
20.2017.0123	550	Ножай-Юртовский район, а/д с. Беной – с. Айти-Мокх, 4,93 км	00.06.17	Не заверши-лась	Оп	Активизация оползня объемом 1875 м^3 и площадью 2250 м^2 привела к разрушению полотна дороги с покрытием на участке длиной 30 м, шириной 3 м. Причина активизации: выпадение большого количества атмосферных осадков. Возраст проявления: современное. Комплексы горных пород, затронутые проявлением: Q_{IV}-N. Состав горных пород, затронутых проявлением: суглинки, глины.	
20.2017.0124	551	Ножай-Юртовский район, а/д с. Беной – с. Айти-Мокх,	00.07.17	Не заверши-лась	Оп	Новый оползень объемом 4500 м^3 и площадью 1500 м^2 разрушил дорогу с покрытием на участке шириной 3 м, длиной 25 м. Причина активизации: выпадение большого количества атмосферных осадков.	

1	2	3	4	5	6	7	8
		4,96 км				Возраст проявления: современное. Комплексы горных пород, затронутые проявлением: Q_{IV}-N. Состав горных пород, затронутых проявлением: суглинки, глины.	
20.2017.0125	552	Ножай-Юртовский район, а/д с. Беной – с. Айти-Мокх, 5,14 км	00.07.17	Не заверши-лась	Оп	Активизация оползня объемом 2000 м^3 и площадью 2000 м^2 привела к разрушению полотна дороги с покрытием на участке длиной 25 м, шириной 3,5 м. Была разрушена опора линии газопровода. Причина активизации: выпадение большого количества атмосферных осадков. Возраст проявления: современное. Комплексы горных пород, затронутые проявлением: Q_{IV}-N. Состав горных пород, затронутых проявлением: суглинки, глины.	
20.2017.0126	553	Ножай-Юртовский район, а/д с. Беной – с. Айти-Мокх, 5,40 км	00.06.17	Не заверши-лась	Оп	Новый оползень объемом 5250 м^3 и площадью 3500 м^2 разрушил обочину дороги с покрытием на участке длиной 15 м, шириной 0,5 м. Было деформировано полотно дороги на участке шириной 2 м, длиной до 20 м. Причина активизации: выпадение большого количества атмосферных осадков. Возраст проявления: современное. Комплексы горных пород, затронутые проявлением: Q_{IV}-N. Состав горных пород, затронутых проявлением: суглинки, глины.	
20.2017.0127	554	Ножай-Юртовский район, а/д с. Беной – с. Айти-Мокх, 5,45 км	00.06.17	Не заверши-лась	Оп	Активизация оползня объемом 3200 м^3 и площадью 1600 м^2 привела к разрушению дороги с покрытием на участке длиной 40 м. Причина активизации: выпадение большого количества атмосферных осадков. Возраст проявления: современное. Комплексы горных пород, затронутые проявлением: Q_{IV}-N. Состав горных пород, затронутых проявлением: суглинки, глины.	
20.2017.0128	555	Ножай-Юртовский район, а/д с. Беной – с. Айти-Мокх, 5,98 км	00.06.17	Не заверши-лась	Оп	Новый оползень объемом 2250 м^3 и площадью 2250 м^2 разрушил полотно дороги с покрытием на участке длиной 40 м. Причина активизации: выпадение большого количества атмосферных осадков. Возраст проявления: современное. Комплексы горных пород, затронутые проявлением: Q_{IV}-N. Состав горных пород, затронутых проявлением: суглинки, глины.	
20.2017.0129	556	Ножай-Юртовский район, а/д с. Беной – с. Айти-Мокх, 6,07 км	00.06.17	Не заверши-лась	Оп	Активизация оползня объемом 425 м^3 и площадью 425 м^2 привела к разрушению дороги с покрытием на участке шириной до 1,5 м. Причина активизации: выпадение большого количества атмосферных осадков. Возраст проявления: современное. Комплексы горных пород, затронутые проявлением: Q_{IV}-N. Состав горных пород, затронутых проявлением: суглинки, глины.	
20.2017.0130	557	Ножай-Юртовский район, а/д с. Беной – с. Айти-Мокх,	00.06.17	Не заверши-лась	Оп	Новый оползень объемом 1120 м^3 и площадью 560 м^2 создал угрозу разрушения дороги и линии газопровода. Причина активизации: выпадение большого количества атмосферных осадков. Возраст	

1	2	3	4	5	6	7	8
		6,26 км				проявления: современное. Комплексы горных пород, затронутые проявлением: Q_{IV}-N. Состав горных пород, затронутых проявлением: суглинки, глины.	
20.2017.0131	558	Ножай-Юртовский район, а/д с. Беной – с. Айти-Мокх, 6,3 км	00.06.17	Не заверши-лась	Оп	Новый оползень объемом 280 м^3 и площадью 140 м^2 разрушил полотно дороги с покрытием на участке длиной 18 м, шириной до 5 м. Причина активизации: выпадение большого количества атмосферных осадков. Возраст проявления: современное. Комплексы горных пород, затронутые проявлением: Q_{IV}-N. Состав горных пород, затронутых проявлением: суглинки, глины.	
20.2017.0132	559	Ножай-Юртовский район, а/д с. Беной – с. Айти-Мокх, 6,59 км	00.06.17	Не заверши-лась	Оп	Новый оползень объемом 150 м^3 и площадью 300 м^2 (не оказывал воздействия на хозяйственные объекты). Причина активизации: выпадение большого количества атмосферных осадков. Возраст проявления: современное. Комплексы горных пород, затронутые проявлением: Q_{IV}-N. Состав горных пород, затронутых проявлением: суглинки, глины.	
20.2017.0133	560	Ножай-Юртовский район, а/д с. Беной – с. Айти-Мокх, 6,90 км	00.06.17	Не заверши-лась	Оп	Новый оползень объемом 3000 м^3 и площадью 3000 м^2 деформировал полотно дороги на участке длиной 12 м, шириной 3 м. Причина активизации: выпадение большого количества атмосферных осадков. Возраст проявления: современное. Комплексы горных пород, затронутые проявлением: Q_{IV}-N. Состав горных пород, затронутых проявлением: суглинки, глины.	
20.2017.0134	561	Ножай-Юртовский район, а/д с. Беной – с. Айти-Мокх, 7,06 км	00.06.17	Не заверши-лась	Оп	Новый оползень объемом 192 м^3 и площадью 128 м^2 (не оказывал воздействия на хозяйственные объекты). Причина активизации: выпадение большого количества атмосферных осадков. Возраст проявления: современное. Комплексы горных пород, затронутые проявлением: Q_{IV}-N. Состав горных пород, затронутых проявлением: суглинки, глины.	
20.2017.0135	562	Ножай-Юртовский район, а/д с. Беной – с. Айти-Мокх, 7,45 км	00.06.17	Не заверши-лась	Оп	Активизация оползня объемом 28000 м^3 и площадью 14000 м^2 привела к разрушению дороги с покрытием на участке длиной 50 м. Причина активизации: выпадение большого количества атмосферных осадков. Возраст проявления: современное. Комплексы горных пород, затронутые проявлением: Q_{IV}-N. Состав горных пород, затронутых проявлением: суглинки, глины.	
20.2017.0136	563	Ножай-Юртовский район, а/д с. Беной – с. Айти-Мокх, 7,86 км	00.07.17	Не заверши-лась	Оп	Новый оползень объемом 7500 м^3 и площадью 2500 м^2 разрушил полотно дороги с покрытием на участке длиной 20 м, шириной 2 м. Причина активизации: выпадение большого количества атмосферных осадков. Возраст проявления: современное. Комплексы горных пород, затронутые проявлением: Q_{IV}-N. Состав горных пород, затронутых	

1	2	3	4	5	6	7	8
						проявлением: суглинки, глины.	
20.2017.0137	564	Ножай-Юртовский район, а/д с. Беной – с. Айти-Мокх, 7,89 км	00.06.17	Не заверши-лась	Оп	Новый оползень объемом 990 м^3 и площадью 660 м^2 разрушил полотно дороги с покрытием на участке длиной 18 м, шириной до 2 м. Причина активизации: выпадение большого количества атмосферных осадков. Возраст проявления: современное. Комплексы горных пород, затронутые проявлением: Q_{IV}-N. Состав горных пород, затронутых проявлением: суглинки, глины.	
20.2017.0138	565	Ножай-Юртовский район, а/д с. Беной – с. Айти-Мокх, 8,88 км	00.06.17	Не заверши-лась	Оп	Новый оползень объемом 1050 м^3 и площадью 700 м^2 разрушил обочину дороги с покрытием на участке шириной 1,5 м, длиной 25 м. Причина активизации: выпадение большого количества атмосферных осадков. Возраст проявления: современное. Комплексы горных пород, затронутые проявлением: Q_{IV}-N. Состав горных пород, затронутых проявлением: суглинки, глины.	
20.2017.0139	566	Ножай-Юртовский район, а/д с. Беной – с. Айти-Мокх, 9,09 км	00.06.17	Не заверши-лась	Оп	Новый оползень объемом 900 м^3 и площадью 600 м^2 (не оказывал воздействия на хозяйственные объекты). Причина активизации: выпадение большого количества атмосферных осадков. Возраст проявления: современное. Комплексы горных пород, затронутые проявлением: Q_{IV}-N. Состав горных пород, затронутых проявлением: суглинки, глины.	
20.2017.0140	567	Ножай-Юртовский район, а/д с. Беной – с. Айти-Мокх, 9,19 км	00.06.17	Не заверши-лась	Оп	Новый оползень объемом 2000 м^3 и площадью 1000 м^2 разрушил опору газопровода. Причина активизации: выпадение большого количества атмосферных осадков. Возраст проявления: современное. Комплексы горных пород, затронутые проявлением: Q_{IV}-N. Состав горных пород, затронутых проявлением: суглинки, глины.	
20.2017.0141	568	Ножай-Юртовский район, а/д с. Беной – с. Айти-Мокх, 9,21 км	00.06.17	Не заверши-лась	Оп	Активизация оползня объемом 12000 м^3 и площадью 4000 м^2 привела к разрушению дороги с покрытием на участке длиной 50 м. Причина активизации: выпадение большого количества атмосферных осадков. Возраст проявления: современное. Комплексы горных пород, затронутые проявлением: Q_{IV}-N. Состав горных пород, затронутых проявлением: суглинки, глины.	
20.2017.0142	569	Ножай-Юртовский район, а/д с. Айти-Мокх – с. Саясан, 5,11 км	00.06.17	Не заверши-лась	Оп	Новый оползень объемом 64000 м^3 и площадью 32000 м^2 разрушил полотно дороги с покрытием на участке длиной 60 м. Причина активизации: выпадение большого количества атмосферных осадков. Возраст проявления: современное. Комплексы горных пород, затронутые проявлением: Q_{IV}-N. Состав горных пород, затронутых проявлением: суглинки, глины.	
20.2017.0143	570	Ножай-Юртовский район, а/д с. Беной –	00.06.17	Не заверши-	Оп	Новый оползень объемом 5600 м^3 и площадью 2800 м^2 разрушил полотно дороги с покрытием на участке длиной 35 м. Причина	

1	2	3	4	5	6	7	8
		с.Айти-Мокх, 8,12 км		лась		активизации: выпадение большого количества атмосферных осадков. Возраст проявления: современное. Комплексы горных пород, затронутые проявлением: Q_{IV}-N. Состав горных пород, затронутых проявлением: суглинки, глины.	
20.2017.0144	571	Ножай-Юртовский район, а/д с. Айти-Мокх – с. Саясан, 1,51 км	00.06.17	Не заверши-лась	Оп	Новый оползень объемом 1800 м^3 и площадью 1200 м^2 разрушил полотно дороги с покрытием на участке длиной 5 м. Причина активизации: выпадение большого количества атмосферных осадков. Возраст проявления: современное. Комплексы горных пород, затронутые проявлением: Q_{IV}-N. Состав горных пород, затронутых проявлением: суглинки, глины.	
20.2017.0145	572	Ножай-Юртовский район, а/д с. Айти-Мокх – с. Саясан, 1,56 км	00.06.17	Не заверши-лась	Оп	Новый оползень объемом 13200 м^3 и площадью 6600 м^2 разрушил обочину дороги с покрытием на участке шириной 0,5 м, длиной 15 м. Было разрушено полотно дороги с покрытием на участке длиной 80 м. Причина активизации: выпадение большого количества атмосферных осадков. Возраст проявления: современное. Комплексы горных пород, затронутые проявлением: Q_{IV}-N. Состав горных пород, затронутых проявлением: суглинки, глины.	
20.2017.0146	573	Ножай-Юртовский район, а/д с. Айти-Мокх – с. Саясан, 1,71 км	00.06.17	Не заверши-лась	Оп	Новый оползень объемом 27600 м^3 и площадью 13800 м^2 разрушил полотно дороги с покрытием на участке длиной 8 м и деформировал дорогу на участке длиной 4 м. Причина активизации: выпадение большого количества атмосферных осадков. Возраст проявления: современное. Комплексы горных пород, затронутые проявлением: Q_{IV}-N. Состав горных пород, затронутых проявлением: суглинки, глины.	
20.2017.0147	574	Ножай-Юртовский район, а/д с. Айти-Мокх – с. Саясан, 1,87 км	00.07.17	Не заверши-лась	Оп	Новый оползень объемом 47600 м^3 и площадью 23800 м^2 разрушил полотно дороги с покрытием на участке длиной 140 м. Причина активизации: выпадение большого количества атмосферных осадков. Возраст проявления: современное. Комплексы горных пород, затронутые проявлением: Q_{IV}-N. Состав горных пород, затронутых проявлением: суглинки, глины.	
20.2017.0148	575	Ножай-Юртовский район, а/д с. Айти-Мокх – с. Саясан, 2,02 км	00.07.17	Не заверши-лась	Оп	Новый оползень объемом 2420000 м^3 и площадью 220000 м^2 разрушил полотно дороги с покрытием на участке длиной 175 м (2,02 км а/д), разрушил дорогу без покрытия на участке длиной 70 м (2,64 км а/д). Причина активизации: выпадение большого количества атмосферных осадков. Возраст проявления: современное. Комплексы горных пород, затронутые проявлением: Q_{IV}-N. Состав горных пород, затронутых проявлением: суглинки, глины.	
20.2017.0149	576	Ножай-Юртовский район, а/д с. Айти-	00.06.17	Не заверши-	Оп	Новый оползень объемом 6750 м^3 и площадью 4500 м^2 разрушил полотно дороги с покрытием на участке длиной 30 м, шириной 8 м.	

1	2	3	4	5	6	7	8
		Мокх – с. Саясан, 4,90 км		лась		Причина активизации: выпадение большого количества атмосферных осадков. Возраст проявления: современное. Комплексы горных пород, затронутые проявлением: Q_{IV}-N. Состав горных пород, затронутых проявлением: суглинки, глины.	
20.2017.0150	577	Ножай-Юртовский район, а/д с. Айти-Мокх – с. Саясан, 5,33 км	00.06.17	Не заверши-лась	Оп	Новый оползень объемом 1350 м^3 и площадью 1350 м^2 разрушил полотно дороги с покрытием на участке длиной 25 м, шириной 2,5 м. Причина активизации: выпадение большого количества атмосферных осадков. Возраст проявления: современное. Комплексы горных пород, затронутые проявлением: Q_{IV}-N. Состав горных пород, затронутых проявлением: суглинки, глины.	
20.2017.0151	578	Ножай-Юртовский район, с. Саясан	00.07.17	Не заверши-лась	Оп	Новый оползень объемом 7650 м^3 и площадью 5100 м^2 разрушил полотно дороги с покрытием на участке длиной 30 м. Причина активизации: выпадение большого количества атмосферных осадков. Возраст проявления: современное. Комплексы горных пород, затронутые проявлением: Q_{IV}-N. Состав горных пород, затронутых проявлением: суглинки, глины.	
20.2017.0152	579	Ножай-Юртовский район, с. Саясан	00.05.17	Не заверши-лась	Оп	Новый оползень объемом 2625 м^3 и площадью 1750 м^2 разрушил дорогу с покрытием на участке шириной 2,5 м, длиной 60 м. Причина активизации: выпадение большого количества атмосферных осадков. Возраст проявления: современное. Комплексы горных пород, затронутые проявлением: Q_{IV}-N. Состав горных пород, затронутых проявлением: суглинки, глины.	
20.2017.0153	580	Ножай-Юртовский район, с. Саясан	00.05.17	Не заверши-лась	Оп	Новый оползень объемом 11400 м^3 и площадью 3800 м^2 (не оказывал воздействия на хозяйственные объекты). Причина активизации: выпадение большого количества атмосферных осадков. Возраст проявления: современное. Комплексы горных пород, затронутые проявлением: Q_{IV}-N. Состав горных пород, затронутых проявлением: суглинки, глины.	
20.2017.0154	581	Ножай-Юртовский район, с. Саясан	00.06.17	Не заверши-лась	Оп	Активизация оползня объемом 3750 м^3 и площадью 2500 м^2 привела к разрушению дороги с покрытием на участке шириной 3 м, длиной 20 м. Причина активизации: выпадение большого количества атмосферных осадков. Возраст проявления: современное. Комплексы горных пород, затронутые проявлением: Q_{IV}-N. Состав горных пород, затронутых проявлением: суглинки, глины.	
20.2017.0155	582	Ножай-Юртовский район, с. Саясан	00.06.17	Не заверши-лась	Оп	Новый оползень объемом 67200 м^3 и площадью 16800 м^2 разрушил полностью полотно дороги с покрытием на участке 20 м, а также разрушил участок дороги с покрытием шириной 3 м, длиной 50 м. Причина активизации: выпадение большого количества атмосферных	

1	2	3	4	5	6	7	8
						осадков. Возраст проявления: современное. Комплексы горных пород, затронутые проявлением: Q_{IV}-N. Состав горных пород, затронутых проявлением: суглинки, глины.	
20.2017.0156	583	Ножай-Юртовский район, с. Саясан	00.05.17	Не заверши-лась	Оп	Новый оползень объемом 2475 м^3 и площадью 1650 м^2 разрушил обочину дороги с покрытием шириной 0,5 м, длиной 8 м. Причина активизации: выпадение большого количества атмосферных осадков. Возраст проявления: современное. Комплексы горных пород, затронутые проявлением: Q_{IV}-N. Состав горных пород, затронутых проявлением: суглинки, глины.	
20.2017.0157	584	Ножай-Юртовский район, с. Саясан	00.05.17	Не заверши-лась	Оп	Новый оползень объемом 44200 м^3 и площадью 22100 м^2 разрушил полотно дороги с покрытием на участке длиной 180 м. Причина активизации: выпадение большого количества атмосферных осадков. Возраст проявления: современное. Комплексы горных пород, затронутые проявлением: Q_{IV}-N. Состав горных пород, затронутых проявлением: суглинки, глины.	
20.2017.0158	585	Ножай-Юртовский район, с. Саясан	00.05.17	Не заверши-лась	Оп	Новый оползень объемом 12000 м^3 и площадью 8000 м^2 разрушил полотно дороги с покрытием на участке длиной 80 м. Причина активизации: выпадение большого количества атмосферных осадков. Возраст проявления: современное. Комплексы горных пород, затронутые проявлением: Q_{IV}-N. Состав горных пород, затронутых проявлением: суглинки, глины.	
20.2017.0159	586	Ножай-Юртовский район, с. Саясан	00.05.17	Не заверши-лась	Оп	Новый оползень объемом 105000 м^3 и площадью 21000 м^2 разрушил полотно дороги с покрытием на участке длиной 40 м. Причина активизации: выпадение большого количества атмосферных осадков. Возраст проявления: современное. Комплексы горных пород, затронутые проявлением: Q_{IV}-N. Состав горных пород, затронутых проявлением: суглинки, глины.	
20.2017.0160	587	Ножай-Юртовский район, с. Саясан	00.05.17	Не заверши-лась	Оп	Новый оползень объемом 6000 м^3 и площадью 4000 м^2 разрушил полотно дороги с покрытием на участке шириной 3 м, длиной 35 м. Причина активизации: выпадение большого количества атмосферных осадков. Возраст проявления: современное. Комплексы горных пород, затронутые проявлением: Q_{IV}-N. Состав горных пород, затронутых проявлением: суглинки, глины.	
20.2017.0161	588	Ножай-Юртовский район, с. Энгеной	00.05.17	Не заверши-лась	Оп	Новый оползень объемом 600 м^3 и площадью 1200 м^2 разрушил обочину дороги с покрытием на участке шириной 0,5 м, длиной до 10 м. Причина активизации: выпадение большого количества атмосферных осадков. Возраст проявления: современное. Комплексы горных пород, затронутые проявлением: Q_{IV}-N. Состав горных пород, затронутых	

1	2	3	4	5	6	7	8
						проявлением: суглинки, глины.	
20.2017.0162	589	Ножай-Юртовский район, с. Энгеной	00.05.17	Не заверши-лась	Оп	Активизация оползня объемом 4500 м^3 и площадью 2250 м^2 привела к разрушению полотна дороги с покрытием на участке шириной 1 м, длиной 20 м. Причина активизации: выпадение большого количества атмосферных осадков. Возраст проявления: современное. Комплексы горных пород, затронутые проявлением: Q_{IV}-N. Состав горных пород, затронутых проявлением: суглинки, глины.	
20.2017.0163	590	Ножай-Юртовский район, с. Энгеной	00.06.17	Не заверши-лась	Оп	Новый оползень объемом 3000 м^3 и площадью 1500 м^2 разрушил обочину дороги с покрытием на участке длиной 1 м. Причина активизации: выпадение большого количества атмосферных осадков. Возраст проявления: современное. Комплексы горных пород, затронутые проявлением: Q_{IV}-N. Состав горных пород, затронутых проявлением: суглинки, глины.	
20.2017.0164	591	Ножай-Юртовский район, с. Энгеной	00.06.17	Не заверши-лась	Оп	Оползень объемом 3000 м^3 и площадью 1500 м^2 (не оказывал воздействия на хозяйственные объекты). Причина активизации: выпадение большого количества атмосферных осадков. Возраст проявления: современное. Комплексы горных пород, затронутые проявлением: Q_{IV}-N. Состав горных пород, затронутых проявлением: суглинки, глины.	
20.2017.0165	592	Ножай-Юртовский район, а/д с. Энгеной – с. Беной, 1,55 км	00.06.17	Не заверши-лась	Оп	Новый оползень объемом 1250 м^3 и площадью 625 м^2 разрушил полотно дороги с покрытием на участке длиной 35 м, шириной 3 м. Причина активизации: выпадение большого количества атмосферных осадков. Возраст проявления: современное. Комплексы горных пород, затронутые проявлением: Q_{IV}-N. Состав горных пород, затронутых проявлением: суглинки, глины.	
20.2017.0166	593	Ножай-Юртовский район, а/д с. Айти-Мокх – с. Энгеной, 2,44 км	00.06.17	Не заверши-лась	Оп	Новый оползень объемом 980000 м^3 и площадью 94500 м^2 (не оказывал воздействия на хозяйственные объекты). Причина активизации: выпадение большого количества атмосферных осадков. Возраст проявления: современное. Комплексы горных пород, затронутые проявлением: Q_{IV}-N. Состав горных пород, затронутых проявлением: суглинки, глины.	
20.2017.0167	594	Ножай-Юртовский район, а/д с. Айти-Мокх – с. Энгеной, 6,23 км	00.06.17	Не заверши-лась	Оп	Новый оползень объемом 11813 м^3 и площадью 7875 м^2 перекрыл дорогу на участке шириной до 1 м, длиной до 10 м. Причина активизации: выпадение большого количества атмосферных осадков. Возраст проявления: современное. Комплексы горных пород, затронутые проявлением: Q_{IV}-N. Состав горных пород, затронутых проявлением: суглинки, глины.	
20.2017.0	595	Ножай-Юртовский	00.06.17	Не	Оп	Новый оползень объемом 3600 м^3 и площадью 1800 м^2 разрушил	

1	2	3	4	5	6	7	8
168		район, с. Согунты		заверши-лась		полотно дороги без покрытия на участке длиной 15 м, шириной 3 м. Причина активизации: выпадение большого количества атмосферных осадков. Возраст проявления: современное. Комплексы горных пород, затронутые проявлением: Q_{IV}-N. Состав горных пород, затронутых проявлением: суглинки, глины, алевролиты.	
20.2017.0169	596	Ножай-Юртовский район, а/д с. Согунты – с. Шовхал-Берды, 0,64 км	00.06.17	Не заверши-лась	Оп	Новый оползень объемом 375 $м^3$ и площадью 375 $м^2$ деформировал дорогу с покрытием на участке шириной до 3 м, длиной 6 м. Причина активизации: выпадение большого количества атмосферных осадков. Возраст проявления: современное. Комплексы горных пород, затронутые проявлением: Q_{IV}-N. Состав горных пород, затронутых проявлением: суглинки, глины.	
20.2017.0170	597	Ножай-Юртовский район, а/д с. Аксай – с. Шовхал-Берды, 0,95 км	00.07.17	Не заверши-лась	Оп	Активизация оползня объемом 25 $м^3$ и площадью 50 $м^2$ привела к заполнению оползневыми отложениями дренажного канала на участке длиной 5 м. Причина активизации: выпадение большого количества атмосферных осадков. Возраст проявления: современное. Комплексы горных пород, затронутые проявлением: Q_{IV}-N. Состав горных пород, затронутых проявлением: суглинки, глины, алевролиты.	
20.2017.0171	598	Ножай-Юртовский район, а/д с. Аксай – с. Шовхал-Берды, 1,63 км	00.07.17	Не заверши-лась	Оп	Новый оползень объемом 48 $м^3$ и площадью 48 $м^2$ перекрыл дренажный канал на участке длиной до 3,5 м. Причина активизации: выпадение большого количества атмосферных осадков. Возраст проявления: современное. Комплексы горных пород, затронутые проявлением: Q_{IV}-N. Состав горных пород, затронутых проявлением: суглинки, глины.	
20.2017.0172	599	Ножай-Юртовский район, а/д с. Аксай – с. Шовхал-Берды, 2,28 км	00.06.17	Не заверши-лась	Оп	Активизация оползня объемом 480 $м^3$ и площадью 480 $м^2$ привела к перекрытию дренажного канала на участке длиной 40 м. Причина активизации: выпадение большого количества атмосферных осадков. Возраст проявления: современное. Комплексы горных пород, затронутые проявлением: Q_{IV}-N. Состав горных пород, затронутых проявлением: суглинки, глины.	
20.2017.0173	600	Ножай-Юртовский район, а/д с. Аксай – с. Шовхал-Берды, 3,25 км	00.06.17	Не заверши-лась	Оп	Активизация оползня объемом 315 $м^3$ и площадью 315 $м^2$ привела к перекрытию дренажного канала на участке длиной 30 м и перекрытию дороги с покрытием на участке длиной 25 м, шириной до 1 м. Причина активизации: выпадение большого количества атмосферных осадков. Возраст проявления: современное. Комплексы горных пород, затронутые проявлением: Q_{IV}-N. Состав горных пород, затронутых проявлением: суглинки, глины.	
20.2017.0174	601	Ножай-Юртовский район, а/д с. Аксай –	00.06.17	Не заверши-	Оп	Новый оползень объемом 8500 $м^3$ и площадью 8500 $м^2$ разрушил полотно дороги с покрытием на участке длиной 50 м. Была	

1	2	3	4	5	6	7	8
		с. Шовхал-Берды, 3,31 км		лась		деформирована дорога на участке длиной 30 м. Перекрыт дренажный канал на участке длиной 30 м. Разрушен газопровод на участке длиной 80 м. Причина активизации: выпадение большого количества атмосферных осадков. Возраст проявления: современное. Комплексы горных пород, затронутые проявлением: Q_{IV}-N. Состав горных пород, затронутых проявлением: суглинки, глины.	
20.2017.0175	602	Ножай-Юртовский район, а/д с. Шовхал-Берды – с. Давлетби-Хутор, 0,30 км	00.06.17	Не заверши-лась	Оп	Новый оползень объемом 84 м^3 и площадью 84 м^2 (не оказывал воздействия на хозяйственные объекты). Причина активизации: выпадение большого количества атмосферных осадков. Возраст проявления: современное. Комплексы горных пород, затронутые проявлением: Q_{IV}-N. Состав горных пород, затронутых проявлением: суглинки, глины.	
20.2017.0176	603	Ножай-Юртовский район, а/д с. Шовхал-Берды – с. Давлетби-Хутор, 0,48 км	00.07.17	Не заверши-лась	Оп	Новый оползень объемом 9975 м^3 и площадью 6650 м^2 языковой частью перекрыл полотно дороги с покрытием на участке длиной 35 м, шириной до 2,5 м. Причина активизации: выпадение большого количества атмосферных осадков. Возраст проявления: современное. Комплексы горных пород, затронутые проявлением: Q_{IV}-N. Состав горных пород, затронутых проявлением: суглинки, глины.	
20.2017.0177	604	Ножай-Юртовский район, а/д с. Шовхал-Берды – с. Давлетби-Хутор, 0,96 км	00.06.17	Не заверши-лась	Оп	Новый оползень объемом 1000 м^3 и площадью 2000 м^2 (не оказывал воздействия на хозяйственные объекты). Причина активизации: выпадение большого количества атмосферных осадков. Возраст проявления: современное. Комплексы горных пород, затронутые проявлением: Q_{IV}-N. Состав горных пород, затронутых проявлением: суглинки, глины.	
20.2017.0178	605	Ножай-Юртовский район, а/д с. Шовхал-Берды – с. Давлетби-Хутор, 1,03 км	00.07.17	Не заверши-лась	Оп	Активизация оползня объемом 405 м^3 и площадью 810 м^2 привела к разрушению дороги с покрытием на участке длиной 27 м, шириной 3 м. Причина активизации: выпадение большого количества атмосферных осадков. Возраст проявления: современное. Комплексы горных пород, затронутые проявлением: Q_{IV}-N. Состав горных пород, затронутых проявлением: суглинки, глины.	
20.2017.0179	606	Ножай-Юртовский район, а/д с. Шовхал-Берды – с. Аллерой, 2,05 км	00.06.17	Не заверши-лась	Оп	Новый оползень объемом 4000 м^3 и площадью 8000 м^2 разрушил обочину дороги на участке длиной 15 м, шириной 2,5 м, а также перекрыл дорогу на участке шириной 3 м, длиной 20 м. Причина активизации: выпадение большого количества атмосферных осадков. Возраст проявления: современное. Комплексы горных пород, затронутые проявлением: Q_{IV}-N. Состав горных пород, затронутых проявлением: суглинки, глины.	
20.2017.0	607	Ножай-Юртовский	00.06.17	Не	Оп	Активизация оползня объемом 225 м^3 и площадью 450 м^2 привела к	

1	2	3	4	5	6	7	8
180		район,с. Аллерой		заверши-лась		деформации полотна дороги с покрытием на участке длиной 10 м, шириной 6 м. Причина активизации: выпадение большого количества атмосферных осадков. Возраст проявления: современное. Комплексы горных пород, затронутые проявлением: Q_{IV}-N. Состав горных пород, затронутых проявлением: суглинки, глины, алевролиты.	
20.2017.0181	608	Ножай-Юртовский район, а/д с. Аллерой – Турты-Хутор, 0,37 км	00.06.17	Не заверши-лась	Оп	Активизация оползня объемом 1600 м^3 и площадью 1600 м^2 привела к разрушению дороги с покрытием на участке длиной 40 м, шириной до 3 м. Причина активизации: выпадение большого количества атмосферных осадков. Возраст проявления: современное. Комплексы горных пород, затронутые проявлением: Q_{IV}-N. Состав горных пород, затронутых проявлением: суглинки, глины, алевролиты.	
20.2017.0182	609	Ножай-Юртовский район, а/д с. Аллерой – Турты-Хутор, 1,09 км	00.05.17	Не заверши-лась	Оп	Новый оползень объемом 6750 м^3 и площадью 4500 м^2 разрушил полотно дороги с покрытием на участке длиной 65 м, шириной 3 м. Причина активизации: выпадение большого количества атмосферных осадков. Возраст проявления: современное. Комплексы горных пород, затронутые проявлением: Q_{IV}-N. Состав горных пород, затронутых проявлением: суглинки, глины.	
20.2017.0183	610	Ножай-Юртовский район, а/д с. Аллерой – Турты-Хутор, 1,52 км	00.05.17	Не заверши-лась	Оп	Новый оползень объемом 6630 м^3 и площадью 4420 м^2 разрушил полотно дороги с покрытием на участке длиной 68 м, шириной 3 м. Причина активизации: выпадение большого количества атмосферных осадков. Возраст проявления: современное. Комплексы горных пород, затронутые проявлением: Q_{IV}-N. Состав горных пород, затронутых проявлением: суглинки, глины.	
20.2017.0184	611	Ножай-Юртовский район, а/д с. Аллерой – Турты-Хутор, 1,65 км	00.05.17	Не заверши-лась	Оп	Новый оползень объемом 5850 м^3 и площадью 3900 м^2 разрушил полотно дороги с покрытием на участке длиной 130 м. Причина активизации: выпадение большого количества атмосферных осадков. Возраст проявления: современное. Комплексы горных пород, затронутые проявлением: Q_{IV}-N. Состав горных пород, затронутых проявлением: суглинки, глины.	
20.2017.0185	612	Ножай-Юртовский район, а/д с. Аллерой – Турты-Хутор, 1,62 км	00.06.17	Не заверши-лась	Оп	Новый оползень объемом 126 м^3 и площадью 84 м^2 создал угрозу разрушения опоры линии связи. Причина активизации: выпадение большого количества атмосферных осадков. Возраст проявления: современное. Комплексы горных пород, затронутые проявлением: Q_{IV}-N. Состав горных пород, затронутых проявлением: суглинки, глины.	
20.2017.0186	613	Ножай-Юртовский район а/д с. Аллерой – Турты-Хутор, 1,87 км	00.06.17	Не заверши-лась	Оп	Новый оползень объемом 10800 м^3 и площадью 5400 м^2 разрушил полотно дороги с покрытием на участке длиной 20 м, шириной 1 м. Причина активизации: выпадение большого количества атмосферных осадков. Возраст проявления: современное. Комплексы горных пород,	

1	2	3	4	5	6	7	8
						затронутые проявлением: Q_{IV}-N. Состав горных пород, затронутых проявлением: суглинки, глиныё, алевролиты.	
20.2017.0187	614	Ножай-Юртовский район, а/д с. Аллерой – Турты-Хутор, 1,98 км	00.06.17	Не заверши-лась	Оп	Новый оползень объемом 3600 м^3 и площадью 3600 м^2 перекрыл полотно дороги на участке длиной 60 м, шириной до 1,5 м. Причина активизации: выпадение большого количества атмосферных осадков. Возраст проявления: современное. Комплексы горных пород, затронутые проявлением: Q_{IV}-N. Состав горных пород, затронутых проявлением: суглинки, глины.	
20.2017.0188	615	Ножай-Юртовский район, а/д с. Аллерой – Турты-Хутор, 2,17 км	00.05.17	Не заверши-лась	Оп	Новый оползень объемом 1000 м^3 и площадью 1000 м^2 разрушил полотно дороги с покрытием на участке длиной 40 м. Причина активизации: выпадение большого количества атмосферных осадков. Возраст проявления: современное. Комплексы горных пород, затронутые проявлением: Q_{IV}-N. Состав горных пород, затронутых проявлением: суглинки, глины.	
20.2017.0189	616	Ножай-Юртовский район, с. Турты-Хутор	00.06.17	Не заверши-лась	Оп	Новый оползень объемом 4200 м^3 и площадью 8400 м^2 деформировал полотно дороги с покрытием на участке длиной 120 м, привел к разрушению ЛЭП на участке длиной 170 м. Под угрозой разрушения – ЛЭП на участке длиной 130 м. Причина активизации: выпадение большого количества атмосферных осадков. Возраст проявления: современное. Комплексы горных пород, затронутые проявлением: Q_{IV}-N. Состав горных пород, затронутых проявлением: суглинки, глины.	
20.2017.0190	617	Ножай-Юртовский район, а/д с. Аллерой – с. Гансолчу, 2,93 км	00.05.17	Не заверши-лась	Оп	Новый оползень объемом 1600 м^3 и площадью 800 м^2 разрушил обочину дороги без покрытия на участке длиной 5 м, шириной 0,5 м. Причина активизации: выпадение большого количества атмосферных осадков. Возраст проявления: современное. Комплексы горных пород, затронутые проявлением: Q_{IV}-N. Состав горных пород, затронутых проявлением: суглинки, глины.	
20.2017.0191	618	Ножай-Юртовский район, а/д с. Турты-Хутор – с. Малые Шуани, 3,66 км	00.05.17	Не заверши-лась	Оп	Активизация оползня объемом 36 м^3 и площадью 36 м^2 привела к разрушению полотна дороги без покрытия на участке длиной 7 м, шириной 3 м. Причина активизации: выпадение большого количества атмосферных осадков. Возраст проявления: современное. Комплексы горных пород, затронутые проявлением: Q_{IV}-N. Состав горных пород, затронутых проявлением: суглинки, глины.	
20.2017.0192	619	Ножай-Юртовский район, а/д с. Турты-Хутор – с. Малые Шуани, 4,03 км	00.05.17	Не заверши-лась	Оп	Активизация оползня объемом 100 м^3 и площадью 200 м^2 привела к разрушению дороги без покрытия на участке длиной 80 м , шириной до 1 м. Причина активизации: выпадение большого количества атмосферных осадков. Возраст проявления: современное. Комплексы горных пород, затронутые проявлением: Q_{IV}-N. Состав горных пород, затронутых	

1	2	3	4	5	6	7	8
						проявлением: суглинки, глины.	
20.2017.0193	620	Ножай-Юртовский район, а/д с. Ялхой-Мохк – с. Малые Шуани, 1,12 км	00.06.17	Не заверши-лась	Оп	Активизация оползня объемом 30 м^3 и площадью 60 м^2 привела к разрушению полотна дороги без покрытия на участке длиной 30 м. Был разрушен газопровод на участке длиной 35 м. Причина активизации: выпадение большого количества атмосферных осадков. Возраст проявления: современное. Комплексы горных пород, затронутые проявлением: Q_{IV}-N. Состав горных пород, затронутых проявлением: суглинки, глины.	
20.2017.0194	621	Ножай-Юртовский район, а/д с. Ялхой-Мохк – с. Малые Шуани, 2,57 км	00.06.17	Не заверши-лась	Оп	Новый оползень объемом 80 м^3 и площадью 160 м^2 деформировал дорогу без покрытия на участке длиной 7 м, шириной 2 м. Причина активизации: выпадение большого количества атмосферных осадков. Возраст проявления: современное. Комплексы горных пород, затронутые проявлением: Q_{IV}-N. Состав горных пород, затронутых проявлением: суглинки, глины.	
20.2017.0195	622	Ножай-Юртовский район, а/д с. Ялхой-Мохк – с. Малые Шуани, 3,15 км	00.06.17	Не заверши-лась	Оп	Активизация оползня объемом 20 м^3 и площадью 40 м^2 (не оказывал воздействия на хозяйственные объекты). Причина активизации: выпадение большого количества атмосферных осадков. Возраст проявления: современное. Комплексы горных пород, затронутые проявлением: Q_{IV-N}. Состав горных пород, затронутых проявлением: суглинки, глины.	
20.2017.0196	623	Ножай-Юртовский район, а/д с. Ялхой-Мохк – с. Малые Шуани, 5,53 км	00.05.17	Не заверши-лась	Оп	Новый оползень объемом 4000 м^3 и площадью 8000 м^2 (не оказывал воздействия на хозяйственные объекты). Причина активизации: выпадение большого количества атмосферных осадков. Возраст проявления: современное. Комплексы горных пород, затронутые проявлением: Q_{IV}-N. Состав горных пород, затронутых проявлением: суглинки, глины.	
20.2017.0197	624	Ножай-Юртовский район, а/д с. Малые Шуани – Бас-Гордали, 7,01 км	00.07.17	Не заверши-лась	Оп	Новый оползень объемом 450 м^3 и площадью 450 м^2 разрушил обочину дороги без покрытия на участке длиной 10 м, шириной до 1 м. Была разрушена ЛЭП на участке 50 м. Причина активизации: выпадение большого количества атмосферных осадков. Возраст проявления: современное. Комплексы горных пород, затронутые проявлением: Q_{IV}-N. Состав горных пород, затронутых проявлением: суглинки, глины.	
20.2017.0198	625	Ножай-Юртовский район, а/д с. Малые Шуани – Бас-Гордали, 7,51 км	00.07.17	Не заверши-лась	Оп	Новый оползень объемом 1200 м^3 и площадью 600 м^2 разрушил полотно дороги без покрытия на участке длиной 4 м, шириной 1 м. Причина активизации: выпадение большого количества атмосферных осадков. Возраст проявления: современное. Комплексы горных пород, затронутые проявлением: Q_{IV}-N. Состав горных пород, затронутых проявлением: суглинки, глины.	

1	2	3	4	5	6	7	8
20.2017.0199	626	Ножай-Юртовский район, а/д с. Малые Шуани – с.Хашки-Мокх, 9,02 км	00.07.17	Не заверши-лась	Оп	Новый оползень объемом 21600 м^3 и площадью 7200 м^2 разрушил дорожное ограждение, было разрушено полотно дороги без покрытия на участке длиной 30 м, шириной до 1 м. Причина активизации: выпадение большого количества атмосферных осадков. Возраст проявления: современное. Комплексы горных пород, затронутые проявлением: Q_{IV}-N. Состав горных пород, затронутых проявлением: суглинки, глины.	
20.2017.0200	627	Ножай-Юртовский район, с. Хашки-Мокх, дорога на кладбище, 2,04 км	00.07.17	Не заверши-лась	Оп	Новый оползень объемом 80000 м^3 и площадью 20000 м^2 разрушил полотно дороги без покрытия на участке длиной 80 м. Причина активизации: выпадение большого количества атмосферных осадков. Возраст проявления: современное. Комплексы горных пород, затронутые проявлением: Q_{IV}-N. Состав горных пород, затронутых проявлением: суглинки, глины.	
20.2017.0201	628	Ножай-Юртовский район, с. Хашки-Мокх, дорога на кладбище, 2,09 км	00.07.17	Не заверши-лась	Оп	Новый оползень объемом 68400 м^3 и площадью 17100 м^2 разрушил ограждение дороги без покрытия на участке длиной 114 м, было разрушено полотно дороги на участке длиной 100 м, шириной до 1 м. Причина активизации: выпадение большого количества атмосферных осадков. Возраст проявления: современное. Комплексы горных пород, затронутые проявлением: Q_{IV}-N. Состав горных пород, затронутых проявлением: суглинки, глины.	
20.2017.0202	629	Ножай-Юртовский район, с. Хашки-Мокх, дорога на кладбище, 1,93 км	00.07.17	Не заверши-лась	Оп	Новый оползень объемом 6800 м^3 и площадью 3200 м^2 разрушил дорожное ограждение длиной 68 м, было разрушено полотно дороги без покрытия на участке длиной 40 м, шириной до 1 м. Причина активизации: выпадение большого количества атмосферных осадков. Возраст проявления: современное. Комплексы горных пород, затронутые проявлением: Q_{IV}-N. Состав горных пород, затронутых проявлением: суглинки, глины, алевролиты.	
20.2017.0203	630	Ножай-Юртовский район, с. Хашки-Мокх, дорога на кладбище, 1,67 км	00.06.17	Не заверши-лась	Оп	Новый оползень объемом 21600 м^3 и площадью 7200 м^2 разрушил дорожное ограждение длиной 60 м, было разрушено полотно дороги без покрытия на участке длиной 50 м, шириной до 1,5 м. Причина активизации: выпадение большого количества атмосферных осадков. Возраст проявления: современное. Комплексы горных пород, затронутые проявлением: Q_{IV}-N. Состав горных пород, затронутых проявлением: суглинки, глины, алевролиты.	
20.2017.0204	631	Ножай-Юртовский район, с. Бас-Гордали	00.06.17	Не заверши-лась	Оп	Активизация оползня объемом 62,5 м^3 и площадью 125 м^2 привела к разрушению обочины дороги без покрытия на участке длиной 15 м, шириной 0,5 м. Причина активизации: выпадение большого количества атмосферных осадков. Возраст проявления: современное. Комплексы горных пород, затронутые проявлением: Q_{IV}-N. Состав горных пород,	

1	2	3	4	5	6	7	8
						затронутых проявлением: суглинки, глины.	
20.2017.0205	632	Ножай-Юртовский район, а/д с. Бас-Гордали – с. Малые Шуани, 0,50 км	00.06.17	Не заверши-лась	Оп	Активизация оползня объемом 14000 м^3 и площадью 7000 м^2 привела к разрушению дороги без покрытия на участке длиной 40 м. Причина активизации: выпадение большого количества атмосферных осадков. Возраст проявления: современное. Комплексы горных пород, затронутые проявлением: Q_{IV}-N. Состав горных пород, затронутых проявлением: суглинки, глины.	
20.2017.0206	633	Ножай-Юртовский район, а/д с. Бас-Гордали – с. Малые Шуани, 1,15 км	00.06.17	Не заверши-лась	Оп	Новый оползень объемом 4000 м^3 и площадью 8000 м^2 разрушил полотно дороги без покрытия на участке длиной 15 м, шириной 0,5 м. Причина активизации: выпадение большого количества атмосферных осадков. Возраст проявления: современное. Комплексы горных пород, затронутые проявлением: Q_{IV}-N. Состав горных пород, затронутых проявлением: суглинки, глины.	
20.2017.0207	634	Ножай-Юртовский район, а/д с. Бас-Гордали – с.Малые Шуани, 1,44 км	00.06.17	Не заверши-лась	Оп	Активизация оползня объемом 3600 м^3 и площадью 1800 м^2 привела к разрушению дороги без покрытия на участке длиной 20 м, шириной до 1,5 м. Причина активизации: выпадение большого количества атмосферных осадков. Возраст проявления: современное. Комплексы горных пород, затронутые проявлением: Q_{IV}-N. Состав горных пород, затронутых проявлением: суглинки, глины.	
20.2017.0208	635	Ножай-Юртовский район, с. Гордали	00.06.17	Не заверши-лась	Оп	Новый оползень объемом 4200 м^3 и площадью 2100 м^2 разрушил полотно дороги без покрытия на участке длиной 45 м. Причина активизации: выпадение большого количества атмосферных осадков. Возраст проявления: современное. Комплексы горных пород, затронутые проявлением: Q_{IV}-N. Состав горных пород, затронутых проявлением: суглинки, глины.	
20.2017.0209	636	Ножай-Юртовский район, с. Гордали	00.06.17	Не заверши-лась	Оп	Новый оползень объемом 3000 м^3 и площадью 1000 м^2 разрушил полотно дороги без покрытия на участке длиной 20 м, шириной 1,5 м. Причина активизации: выпадение большого количества атмосферных осадков. Возраст проявления: современное. Комплексы горных пород, затронутые проявлением: Q_{IV}-N. Состав горных пород, затронутых проявлением: суглинки, глины.	
20.2017.0210	637	Ножай-Юртовский район, с. Гордали	00.06.17	Не заверши-лась	Оп	Активизация оползня объемом 16800 м^3 и площадью 5600 м^2 привела к разрушению полотна дороги без покрытия на участке длиной 42 м. Причина активизации: выпадение большого количества атмосферных осадков. Возраст проявления: современное. Комплексы горных пород, затронутые проявлением: Q_{IV}-N. Состав горных пород, затронутых проявлением: суглинки, глины.	
20.2017.0	638	Ножай-Юртовский	00.06.17	Не	Оп	Новый оползень объемом 450 м^3 и площадью 300 м^2 перекрыл дорогу	

1	2	3	4	5	6	7	8
211		район, с. Гордали		заверши-лась		без покрытия на участке длиной 20 м, шириной 2 м. Причина активизации: выпадение большого количества атмосферных осадков. Возраст проявления: современное. Комплексы горных пород, затронутые проявлением: Q_{IV}-N. Состав горных пород, затронутых проявлением: суглинки, глины.	
20.2017.0212	639	Ножай-Юртовский район, с. Гордали	00.06.17	Не заверши-лась	Оп	Новый оползень объемом 13200 м^3 и площадью 4400 м^2 разрушил полотно дороги без покрытия на участке длиной 35 м, шириной 1,5 м. Причина активизации: выпадение большого количества атмосферных осадков. Возраст проявления: современное. Комплексы горных пород, затронутые проявлением: Q_{IV}-N. Состав горных пород, затронутых проявлением: суглинки, глины.	
20.2017.0213	640	Ножай-Юртовский район, с. Гордали	00.06.17	Не заверши-лась	Оп	Новый оползень объемом 2700 м^3 и площадью 1350 м^2 разрушил полотно дороги без покрытия на участке длиной 32 м. Причина активизации: выпадение большого количества атмосферных осадков. Возраст проявления: современное. Комплексы горных пород, затронутые проявлением: Q_{IV}-N. Состав горных пород, затронутых проявлением: суглинки, глины.	
20.2017.0214	641	Ножай-Юртовский район, с. Гордали	00.06.17	Не заверши-лась	Оп	Активизация оползня объемом 1750 м^3 и площадью 875 м^2 привела к разрушению полотна дороги без покрытия на участке длиной 4 м, шириной 2 м. Причина активизации: выпадение большого количества атмосферных осадков. Возраст проявления: современное. Комплексы горных пород, затронутые проявлением: Q_{IV}-N. Состав горных пород, затронутых проявлением: суглинки, глины.	
20.2017.0215	642	Ножай-Юртовский район, с. Гордали	00.05.17	Не заверши-лась	Оп	Новый оползень объемом 250 м^3 и площадью 250 м^2 разрушил дорогу без покрытия на участке длиной 20 м, шириной до 1 м. Причина активизации: выпадение большого количества атмосферных осадков. Возраст проявления: современное. Комплексы горных пород, затронутые проявлением: Q_{IV}-N. Состав горных пород, затронутых проявлением: суглинки, глины.	
20.2017.0216	643	Ножай-Юртовский район, с. Исай-Юрт	00.06.17	Не заверши-лась	Оп	Новый оползень объемом 630 м^3 и площадью 1260 м^2 разрушил полотно дороги с покрытием на участке длиной 21 м, шириной 4 м. Причина активизации: выпадение большого количества атмосферных осадков. Возраст проявления: современное. Комплексы горных пород, затронутые проявлением: Q_{IV}-N. Состав горных пород, затронутых проявлением: суглинки, глины.	
20.2017.0217	644	Ножай-Юртовский район, с. Шуани	00.06.17	Не заверши-лась	Оп	Новый оползень объемом 400 м^3 и площадью 400 м^2 разрушил полотно дороги без покрытия на участке длиной 5 м, шириной 8 м. Причина активизации: выпадение большого количества атмосферных	

1	2	3	4	5	6	7	8
						осадков. Возраст проявления: современное. Комплексы горных пород, затронутые проявлением: Q_{IV}-N. Состав горных пород, затронутых проявлением: суглинки, глины.	
20.2017.0218	645	Ножай-Юртовский район, а/д с.Шуани – с. Саясан, 0,89 км	00.06.17	Не заверши-лась	Оп	Активизация оползня объемом 600 м^3 и площадью 600 м^2 привела к перекрытию полотна дороги без покрытия на участке длиной 20 м, шириной 4 м. Причина активизации: выпадение большого количества атмосферных осадков. Возраст проявления: современное. Комплексы горных пород, затронутые проявлением: Q_{IV}-N. Состав горных пород, затронутых проявлением: суглинки, глины.	
20.2017.0219	646	Ножай-Юртовский район, а/д с. Шуани – с. Саясан, 1,26 км	00.06.17	Не заверши-лась	Оп	Активизация оползня объемом 9600 м^3 и площадью 3200 м^2 привела к разрушению дороги без покрытия на участке длиной 30 м. Причина активизации: выпадение большого количества атмосферных осадков. Возраст проявления: современное. Комплексы горных пород, затронутые проявлением: Q_{IV}-N. Состав горных пород, затронутых проявлением: суглинки, глины.	
20.2017.0220	647	Ножай-Юртовский район, а/д с. Шуани – с. Саясан, 2,04 км	00.06.17	Не заверши-лась	Оп	Активизация оползня объемом 1470 м^3 и площадью 980 м^2 привела к разрушению полотна дороги без покрытия на участке длиной 6 м, шириной до 1 м. Причина активизации: выпадение большого количества атмосферных осадков. Возраст проявления: современное. Комплексы горных пород, затронутые проявлением: Q_{IV}-N. Состав горных пород, затронутых проявлением: суглинки, глины.	
20.2017.0221	648	Ножай-Юртовский район, а/д с. Шуани – с. Саясан, 2,38 км	00.06.17	Не заверши-лась	Оп	Новый оползень объемом 4800 м^3 и площадью 2400 м^2 разрушил полотно дороги без покрытия на участке длиной 15 м, шириной до 2 м. Причина активизации: выпадение большого количества атмосферных осадков. Возраст проявления: современное. Комплексы горных пород, затронутые проявлением: Q_{IV}-N. Состав горных пород, затронутых проявлением: суглинки, глины.	
20.2017.0222	649	Ножай-Юртовский район, а/д с. Шуани – с. Саясан, 2,44 км	00.06.17	Не заверши-лась	Оп	Активизация оползня объемом 10500 м^3 и площадью 5250 м^2 привела к разрушению полотна дороги без покрытия на участке длиной 23 м. Причина активизации: выпадение большого количества атмосферных осадков. Возраст проявления: современное. Комплексы горных пород, затронутые проявлением: Q_{IV}-N. Состав горных пород, затронутых проявлением: суглинки, глины.	
20.2017.0223	650	Ножай-Юртовский район, а/д с. Шуани – с. Саясан, 2,77 км	00.05.17	Не заверши-лась	Оп	Активизация оползня объемом 225 м^3 и площадью 150 м^2 привела к разрушению полотна дороги без покрытия на участке длиной 5 м, шириной до 1 м. Причина активизации: выпадение большого количества атмосферных осадков. Возраст проявления: современное. Комплексы горных пород, затронутые проявлением: Q_{IV}-N. Состав горных пород,	

1	2	3	4	5	6	7	8
						затронутых проявлением: суглинки, глины.	
20.2017.0224	651	Ножай-Юртовский район, а/д с. Шуани – с. Саясан, 3,03 км	00.06.17	Не заверши-лась	Оп	Активизация оползня объемом 3600 м^3 и площадью 2400 м^2 привела к разрушению дороги без покрытия на участке длиной 15 м. Причина активизации: выпадение большого количества атмосферных осадков. Возраст проявления: современное. Комплексы горных пород, затронутые проявлением: Q_{IV}-N. Состав горных пород, затронутых проявлением: суглинки, глины.	
20.2017.0225	652	Ножай-Юртовский район, а/д с. Шуани – с. Саясан, 3,30 км	00.06.17	Не заверши-лась	Оп	Новый оползень объемом 3150 м^3 и площадью 2100 м^2 разрушил полотно дороги без покрытия на участке длиной 12 м. Причина активизации: выпадение большого количества атмосферных осадков. Возраст проявления: современное. Комплексы горных пород, затронутые проявлением: Q_{IV}-N. Состав горных пород, затронутых проявлением: суглинки, глины.	
20.2017.0226	653	Ножай-Юртовский район, а/д с. Шуани – с. Саясан, 3,64 км	00.06.17	Не заверши-лась	Оп	Новый оползень объемом 74480 м^3 и площадью 37240 м^2 разрушил полотно дороги без покрытия на участке длиной 130 м. Причина активизации: выпадение большого количества атмосферных осадков. Возраст проявления: современное. Комплексы горных пород, затронутые проявлением: Q_{IV}-N. Состав горных пород, затронутых проявлением: суглинки, глины.	
20.2017.0227	654	Курчалоевский район, с. Ялхой-Мокх	00.05.17	Не заверши-лась	Оп	Новый оползень объемом 225 м^3 и площадью 225 м^2 (не оказывал воздействия на хозяйственные объекты). Причина активизации: выпадение большого количества атмосферных осадков. Возраст проявления: современное. Комплексы горных пород, затронутые проявлением: Q_{IV}-N. Состав горных пород, затронутых проявлением: суглинки, глины.	
20.2017.0228	655	Курчалоевский район, а/д с. Ялхой-Мокх – с. Эникали, 0,38 км	00.06.17	Не заверши-лась	Оп	Активизация оползня объемом 90 м^3 и площадью 180 м^2 привела к разрушению дороги без покрытия на участке длиной 20 м, шириной до 1 м. Причина активизации: выпадение большого количества атмосферных осадков. Возраст проявления: современное. Комплексы горных пород, затронутые проявлением: Q_{IV}-N. Состав горных пород, затронутых проявлением: суглинки, глины.	
20.2017.0229	656	Курчалоевский район, а/д с. Ялхой-Мокх – с. Эникали, 2,62 км	00.06.17	Не заверши-лась	Оп	Активизация оползня объемом 27000 м^3 и площадью 18000 м^2 (не оказывал воздействия на хозяйственные объекты). Причина активизации: выпадение большого количества атмосферных осадков. Возраст проявления: современное. Комплексы горных пород, затронутые проявлением: Q_{IV}-N. Состав горных пород, затронутых проявлением: суглинки, глины.	
20.2017.0	657	Курчалоевский	00.06.17	Не	Оп	Новый оползень объемом 5625 м^3 и площадью 2250 м^2 (не оказывал	

1	2	3	4	5	6	7	8
230		район, а/д с. Ялхой-Мокх – с. Эникали, 2,65 км		завершилась		воздействия на хозяйственные объекты). Причина активизации: выпадение большого количества атмосферных осадков. Возраст проявления: современное. Комплексы горных пород, затронутые проявлением: Q_{IV}-N. Состав горных пород, затронутых проявлением: суглинки, глины.	
20.2017.0231	658	Курчалоевский район, а/д с. Ялхой-Мокх – с. Эникали, 2,72 км	00.06.17	Не завершилась	Оп	Новый оползень объемом 64000 м^3 и площадью 32000 м^2 разрушил полотно дороги без покрытия на участке длиной 5 м, шириной 0,5 м. Причина активизации: выпадение большого количества атмосферных осадков. Возраст проявления: современное. Комплексы горных пород, затронутые проявлением: Q_{IV}-N. Состав горных пород, затронутых проявлением: суглинки, глины.	
20.2017.0232	659	Курчалоевский район , с. Эникали	00.05.17	Не завершилась	Оп	Новый оползень объемом 50700 м^3 и площадью 33800 м^2 перекрыл полотно дороги без покрытия на участке длиной 20 м, шириной 4 м. Причина активизации: выпадение большого количества атмосферных осадков. Возраст проявления: современное. Комплексы горных пород, затронутые проявлением: Q_{IV}-N. Состав горных пород, затронутых проявлением: суглинки, глины.	
20.2017.0233	660	Курчалоевский район, с. Ахкинчу-Борзой	00.05.17	Не завершилась	Оп	Активизация оползня объемом 247,5 м^3 и площадью 495 м^2 привела к деформации дороги с покрытием на участке длиной 30 м. Причина активизации: выпадение большого количества атмосферных осадков. Возраст проявления: современное. Комплексы горных пород, затронутые проявлением: Q_{IV}-N. Состав горных пород, затронутых проявлением: суглинки, глины.	
20.2017.0234	661	Курчалоевский район, с. Ахкинчу-Борзой	00.05.17	Не завершилась	Оп	Новый оползень объемом 45 м^3 и площадью 90 м^2 деформировал дорогу с покрытием на участке длиной 6 м, шириной 3 м. Причина активизации: выпадение большого количества атмосферных осадков. Возраст проявления: современное. Комплексы горных пород, затронутые проявлением: Q_{IV}-N. Состав горных пород, затронутых проявлением: суглинки, глины.	
20.2017.0235	662	Курчалоевский район, а/д с. Джагларги – с. Марзой-Мохк, 1,41 км	00.06.17	Не завершилась	Оп	Новый оползень объемом 340 м^3 и площадью 340 м^2 разрушил обочину дороги с покрытием на участке длиной 12 м, шириной 0,5 м. Причина активизации: выпадение большого количества атмосферных осадков. Возраст проявления: современное. Комплексы горных пород, затронутые проявлением: Q_{IV}-N. Состав горных пород, затронутых проявлением: суглинки, глины.	
20.2017.0236	663	Курчалоевский район, а/д с. Джагларги –	00.06.17	Не завершилась	Оп	Новый оползень объемом 600 м^3 и площадью 600 м^2 разрушил линию газопровода на участке длиной 40 м, была разрушена дорога без покрытия на участке длиной 10 м, шириной 0,5 м. Причина активизации:	

1	2	3	4	5	6	7	8
		с. Регита, 2,41 км				выпадение большого количества атмосферных осадков. Возраст проявления: современное. Комплексы горных пород, затронутые проявлением: Q_{IV}-N. Состав горных пород, затронутых проявлением: суглинки, глины.	
20.2017.0237	664	Курчалоевский район, с. Хиди-Хутор	00.06.17	Не заверши-лась	Оп	Новый оползень объемом 337,5 м^3 и площадью 675 м^2 деформировал полотно дороги с покрытием на участке длиной 7 м. Причина активизации: выпадение большого количества атмосферных осадков. Возраст проявления: современное. Комплексы горных пород, затронутые проявлением: Q_{IV}-N. Состав горных пород, затронутых проявлением: суглинки, глины.	
20.2017.0238	665	Курчалоевский район, а/д с. Регита – с. Корен-Беной, 2,16 км	00.05.17	Не заверши-лась	Оп	Новый оползень объемом 280 м^3 и площадью 280 м^2 разрушил полотно дороги без покрытия на участке длиной 5 м, шириной 0,5 м. Причина активизации: выпадение большого количества атмосферных осадков. Возраст проявления: современное. Комплексы горных пород, затронутые проявлением: Q_{IV}-N. Состав горных пород, затронутых проявлением: суглинки, глины.	
20.2017.0239	666	Курчалоевский район, а/д с. Корен-Беной – с. Ачерешки, 1,13 км	00.05.17	Не заверши-лась	Оп	Новый оползень объемом 4000 м^3 и площадью 2000 м^2 разрушил полотно дороги без покрытия на участке длиной 19 м, шириной до 2 м. Причина активизации: выпадение большого количества атмосферных осадков. Возраст проявления: современное. Комплексы горных пород, затронутые проявлением: Q_{IV}-N. Состав горных пород, затронутых проявлением: суглинки, глины.	
20.2017.0240	667	Курчалоевский район, а/д с. Корен-Беной – с. Бильты, 1,12 км	00.06.17	Не заверши-лась	Оп	Новый оползень объемом 840 м^3 и площадью 840 м^2 разрушил полотно дороги без покрытия на участке длиной 30 м, шириной до 1,5 м. Причина активизации: выпадение большого количества атмосферных осадков. Возраст проявления: современное. Комплексы горных пород, затронутые проявлением: Q_{IV}-N. Состав горных пород, затронутых проявлением: суглинки, глины.	
20.2017.0241	668	Курчалоевский район, а/д с. Корен-Беной – с. Бильты, 1,50 км	00.06.17	Не заверши-лась	Оп	Новый оползень объемом 1800 м^3 и площадью 1800 м^2 разрушил полотно дороги без покрытия на участке длиной 15 м, шириной до 1,5 м. Была разрушена линия газопровода на участке длиной 40 м. Причина активизации: выпадение большого количества атмосферных осадков. Возраст проявления: современное. Комплексы горных пород, затронутые проявлением: Q_{IV}-N. Состав горных пород, затронутых проявлением: суглинки, глины.	
20.2017.0242	669	Курчалоевский район, а/д с. Корен-Беной – с. Бильты,	00.06.17	Не заверши-лась	Оп	Новый оползень объемом 10300 м^3 и площадью 10300 м^2 перекрыл полотно дороги на участке длиной 20 м, шириной 1,5 м. Причина активизации: выпадение большого количества атмосферных осадков.	

1	2	3	4	5	6	7	8
		1,53 км				Возраст проявления: современное. Комплексы горных пород, затронутые проявлением: Q_{IV}-N. Состав горных пород, затронутых проявлением: суглинки, глины, алевролиты.	
20.2017.0 243	670	Курчалоевский район, с. Бильты	00.06.17	Не завершилась	Оп	Новый оползень объемом 150 м^3 и площадью 150 м^2 разрушил полотно дороги на участке длиной 7 м, шириной 0,5 м. Причина активизации: выпадение большого количества атмосферных осадков. Возраст проявления: современное. Комплексы горных пород, затронутые проявлением: Q_{IV}-N. Состав горных пород, затронутых проявлением: суглинки, глины.	
20.2017.0 244	671	Курчалоевский район, с. Ялхой-Мокх	00.06.17	Не завершилась	Оп	Новый оползень объемом 2800 м^3 и площадью 2800 м^2 (не оказывал воздействия на хозяйственные объекты). Причина активизации: выпадение большого количества атмосферных осадков. Возраст проявления: современное. Комплексы горных пород, затронутые проявлением: Q_{IV}-N. Состав горных пород, затронутых проявлением: суглинки, глины, алевролиты.	
20.2017.0 245	672	Курчалоевский район, а/д с. Джагларги – с. Курчалой, 3,7 км	00.06.17	Не завершилась	Оп	Новый оползень объемом 60000 м^3 и площадью 12000 м^2 разрушил полотно дороги с покрытием на участке длиной 55 м, шириной до 2,0 м. Причина активизации: выпадение большого количества атмосферных осадков. Возраст проявления: современное. Комплексы горных пород, затронутые проявлением: Q_{IV}-N. Состав горных пород, затронутых проявлением: суглинки, глины, алевролиты.	
20.2017.0 246	673	Шатойский район, а/д с.Шатой – с. Вашиндарой, 1,68 км	00.07.17	Не завершилась	Оп	Активизация оползня объемом 170000 м^3 и площадью 85000 м^2 привела к перекрытию дороги без покрытия на участке длиной 15 м. Оползень, образовавшийся в 2016 г. в с. Грушкорт. В целом, произошел рост оползня в уступе и активизация тела оползня по всей длине. Причина активизации: выпадение большого количества атмосферных осадков. Возраст проявления: современное. Комплексы горных пород, затронутые проявлением: Q,-$₽_{1,2}$-K_2. Состав горных пород, затронутых проявлением: суглинки, глины.	
20.2017.0 247	674	Шатойский район, а/д с. Вашиндарой – с. Варанды, 0,51 км	00.06.17	Не завершилась	Оп	Новый оползень объемом 500 м^3 и площадью 500 м^2 перекрыл дорогу без покрытия на участке длиной 20 м. Причина активизации: выпадение большого количества атмосферных осадков. Возраст проявления: современное. Комплексы горных пород, затронутые проявлением: $₽_3$. Состав горных пород, затронутых проявлением: суглинки, глины.	
20.2017.0 248	675	Шатойский район, с. Горгачи	00.07.17	Не завершилась	Оп	Новый оползень объемом 12 м^3 и площадью 24 м^2 (не оказывал воздействия на хозяйственные объекты). Причина активизации: выпадение большого количества атмосферных осадков. Возраст проявления: современное. Комплексы горных пород, затронутые	

1	2	3	4	5	6	7	8
						проявлением: ₽$_3$. Состав горных пород, затронутых проявлением: суглинки, глины.	
20.2017.0 249	676	Шатойский район, а/д с. Горгачи – с. Редухой, 0,36 км	00.07.17	Не заверши-лась	Оп	Новый оползень объемом 200 м^3 и площадью 200 м^2 перекрыл дорогу с покрытием на участке длиной 10 м, шириной 2 м. Причина активизации: выпадение большого количества атмосферных осадков. Возраст проявления: современное. Комплексы горных пород, затронутые проявлением: ₽$_3$. Состав горных пород, затронутых проявлением: суглинки, глины.	
20.2017.0 250	677	Шатойский район, с. Редухой	00.07.17	Не заверши-лась	Оп	Новый оползень объемом 150 м^3 и площадью 300 м^2 разрушил полотно дороги с покрытием на участке длиной 25 м, шириной 3 м. Причина активизации: выпадение большого количества атмосферных осадков. Возраст проявления: современное. Комплексы горных пород, затронутые проявлением: Q-₽$_3$. Состав горных пород, затронутых проявлением: суглинки, глины.	
20.2017.0 251	678	Шатойский район, с. Редухой	25.07.17	Не заверши-лась	Оп	Новый оползень объемом 31875 м^3 и площадью 21250 м^2 разрушил полотно дороги на участке длиной 40 м, а также деформировал дорогу на участке длиной 40 м, перекрыл полотно дороги с покрытием на участке длиной 30 м. Причина активизации: выпадение большого количества атмосферных осадков. Возраст проявления: современное. Комплексы горных пород, затронутые проявлением: Q-₽$_3$. .Состав горных пород, затронутых проявлением: суглинки, глины.	
20.2017.0 252	679	Шатойский район, с. Редухой	00.06.17	Не заверши-лась	Оп	Новый оползень объемом 90 м^3 и площадью 90 м^2 разрушил газопровод на участке длиной 30 м, также было разрушено полотно дороги с покрытием на участке длиной 30 м. Причина активизации: выпадение большого количества атмосферных осадков. Возраст проявления: современное. Комплексы горных пород, затронутые проявлением: Q-₽$_3$. Состав горных пород, затронутых проявлением: суглинки, глины.	
20.2017.0 253	680	Шатойский район, с. Вярды	00.06.17	Не заверши-лась	Оп	Новый оползень объемом 4500 м^3 и площадью 9000 м^2 (не оказывал воздействия на хозяйственные объекты). Причина активизации: выпадение большого количества атмосферных осадков. Возраст проявления: современное. Комплексы горных пород, затронутые проявлением: К$_2$. Состав горных пород, затронутых проявлением: суглинки, глины.	
20.2017.0 254	681	Шатойский район, с. Вярды	00.06.17	Не заверши-лась	Оп	Новый оползень объемом 2800 м^3 и площадью 2800 м^2 разрушил газопровод на участке длиной 60 м. Причина активизации: выпадение большого количества атмосферных осадков. Возраст проявления: современное. Комплексы горных пород, затронутые проявлением: Q-₽$_{1-2}$.	

1	2	3	4	5	6	7	8
						Состав горных пород, затронутых проявлением: суглинки, глины.	
20.2017.0255	682	Шатойский район, с. Урдюхой	00.06.17	Не заверши-лась	Оп	Новый оползень объемом 1400 м^3 и площадью 2800 м^2 (не оказывал воздействия на хозяйственные объекты). Причина активизации: выпадение большого количества атмосферных осадков. Возраст проявления: современное. Комплексы горных пород, затронутые проявлением: K_2. Состав горных пород, затронутых проявлением: суглинки, глины.	
20.2017.0256	683	Шатойский район, проселочная дорога на юг от с. Грушкорт	00.07.17	Не заверши-лась	Оп	Новый оползень объемом 31500 м^3 и площадью 10500 м^2 разрушил полотно дороги без покрытия на участке длиной 30 м. Причина активизации: выпадение большого количества атмосферных осадков. Возраст проявления: современное. Комплексы горных пород, затронутые проявлением: Q-₽$_{1-2}$-K_2. Состав горных пород, затронутых проявлением: суглинки, глины.	
20.2017.0257	684	Шатойский район, а/д с. Шатой – с. Памятой, 0,13 км	00.06.17	Не заверши-лась	Оп	Активизация оползня объемом 8400 м^3 и площадью 5600 м^2 (не оказывал воздействия на хозяйственные объекты). Причина активизации: выпадение большого количества атмосферных осадков. Возраст проявления: современное. Комплексы горных пород, затронутые проявлением: K_2. Состав горных пород, затронутых проявлением: гравийно-галечные отложения, песчаники.	
20.2017.0258	685	Шатойский район, а/д с. Памятой – с. Мускали, 2,26 км	00.06.17	Не заверши-лась	Ос	Осыпь объемом 562,5 м^3 и площадью 375 м^2 перекрыла полотно дороги без покрытия на участке длиной 6 м, шириной 2,5 м. Причина активизации: выпадение большого количества атмосферных осадков. Возраст проявления: современное. Комплексы горных пород, затронутые проявлением: ₽$_{1-2}$-K_2. Состав горных пород, затронутых проявлением: гравийно-галечные отложения, песчаники.	
20.2017.0259	686	Шатойский район, а/д с. Памятой – с.Мускали, 2,86 км	00.06.17	Не заверши-лась	Оп	Новый оползень объемом 14 м^3 и площадью 28 м^2 (не оказывал воздействия на хозяйственные объекты). Причина активизации: выпадение большого количества атмосферных осадков. Возраст проявления: современное. Комплексы горных пород, затронутые проявлением: ₽$_{1-2}$-K_2. Состав горных пород, затронутых проявлением: суглинки, глины.	
20.2017.0260	687	Шатойский район, с. Дегисты	00.06.17	Не заверши-лась	Оп	Активизация оползня объемом 80000 м^3 и площадью 80000 м^2 привела к разрушению дороги без покрытия на участке длиной 60 м. Причина активизации: выпадение большого количества атмосферных осадков. Возраст проявления: современное. Комплексы горных пород, затронутые проявлением: ₽$_3$-N_1m. Состав горных пород, затронутых проявлением: суглинки, глины.	
20.2017.0	688	Шатойский район,	00.07.17	Не	Оп	Новый оползень объемом 3500 м^3 и площадью 700 м^2 перекрыл	

1	2	3	4	5	6	7	8
261		с. Хал-Килой		заверши-лась		полотно дороги без покрытия шириной 7 м на участке длиной 11 м. Причина активизации: выпадение большого количества атмосферных осадков. Возраст проявления: современное. Комплексы горных пород, затронутые проявлением: Q-~~P~~$_3$-N$_1$m. Состав горных пород, затронутых проявлением: суглинки, глины.	
20.2017.0262	689	Шатойский район, а/д с. Хал-Килой – с. Нижний-Дай, 1,13 км	00.06.17	Не заверши-лась	Оп	Активизация оползня объемом 990 м^3 и площадью 660 м^2 привела к перекрытию полотна дороги без покрытия на участке длиной 20 м, шириной 1,5 м. Причина активизации: выпадение большого количества атмосферных осадков. Возраст проявления: современное. Комплексы горных пород, затронутые проявлением: Q-K$_2$m. Состав горных пород, затронутых проявлением: песчаники, глины.	
20.2017.0263	690	Шатойский район, а/д с. Хал-Килой – с. Нижний Дай, 1,20 км	00.06.17	Не заверши-лась	Оп	Новый оползень объемом 640 м^3 и площадью 640 м^2 разрушил полотно дороги без покрытия на участке длиной 6 м. Причина активизации: выпадение большого количества атмосферных осадков. Возраст проявления: современное. Комплексы горных пород, затронутые проявлением: Q-K$_2$m. Состав горных пород, затронутых проявлением: гравийно-галечные отложения, песчаники.	
20.2017.0264	691	Шатойский район, а/д с. Хал-Килой – с. Нижний Дай, 1,71 км	00.06.17	Не заверши-лась	Оп	Новый оползень объемом 4000 м^3 и площадью 1000 м^2 перекрыл полотно дороги без покрытия на участке длиной 20 м, шириной до 1 м. Причина активизации: выпадение большого количества атмосферных осадков. Возраст проявления: современное. Комплексы горных пород, затронутые проявлением: K$_2$m. Состав горных пород, затронутых проявлением: гравийно-галечные отложения, мергели, известняки, песчаники.	
20.2017.0265	692	Шатойский район, а/д с. Хал-Килой – с. Нижний Дай, 1,96 км	00.07.17	Не заверши-лась	Оп	Новый оползень объемом 8100 м^3 и площадью 1800 м^2 перекрыл полотно дороги без покрытия на участке длиной 35 м, шириной до 1,5 м. Причина активизации: выпадение большого количества атмосферных осадков. Возраст проявления: современное. Комплексы горных пород, затронутые проявлением: K$_2$m. Состав горных пород, затронутых проявлением: гравийно-галечные отложения, мергели, известняки, песчаники.	
20.2017.0266	693	Шатойский район, а/д с. Хал-Килой – с. Нижний Дай, 2,57 км	00.07.17	Не заверши-лась	Ос	Осыпь объемом 6300 м^3 и площадью 3150 м^2 перекрыла полотно дороги без покрытия на участке длиной 70 м, шириной до 2 м. Причина активизации: выпадение большого количества атмосферных осадков. Возраст проявления: современное. Комплексы горных пород, затронутые проявлением: K$_2$m. Состав горных пород, затронутых проявлением: гравийно-галечные отложения, мергели, известняки, песчаники.	
20.2017.0	694	Шатойский район,	00.06.17	Не	Оп	Новый оползень объемом 375 м^3 и площадью 375 м^2 разрушил	

1	2	3	4	5	6	7	8
267		с. Асланбек Шерипово		заверши-лась		полотно дороги с покрытием на участке длиной 25 м, шириной 2 м. Разрушено ограждение дороги длиной 30 м. Причина активизации: выпадение большого количества атмосферных осадков. Возраст проявления: современное. Комплексы горных пород, затронутые проявлением: $₽_3$-N_1m. Состав горных пород, затронутых проявлением: суглинки, глины.	
20.2017.0268	695	Шатойский район, с. Асланбек Шерипово	00.06.17	Не заверши-лась	Оп	Новый оползень объемом 350 $м^3$ и площадью 500 $м^2$ разрушил полотно дороги без покрытия на участке длиной 25 м, шириной до 1 м. Причина активизации: выпадение большого количества атмосферных осадков. Возраст проявления: современное. Комплексы горных пород, затронутые проявлением: $₽_3$-N_1m. Состав горных пород, затронутых проявлением: суглинки, глины.	
20.2017.0269	696	Шатойский район, а/д с. Асланбек Шерипово – с. Памятой, 0,79 км	00.06.17	Не заверши-лась	Оп	Новый оползень объемом 75 $м^3$ и площадью 150 $м^2$ (не оказывал воздействия на хозяйственные объекты). Причина активизации: выпадение большого количества атмосферных осадков. Возраст проявления: современное. Комплексы горных пород, затронутые проявлением: $₽_{1-2}$. Состав горных пород, затронутых проявлением: глины.	
20.2017.0270	697	Шатойский район, а/д с. Асланбек Шерипово – с. Памятой, 1,39 км	00.06.17	Не заверши-лась	Оп	Новый оползень объемом 1800 $м^3$ и площадью 900 $м^2$ (не оказывал воздействия на хозяйственные объекты). Причина активизации: выпадение большого количества атмосферных осадков. Возраст проявления: современное. Комплексы горных пород, затронутые проявлением: $₽_{1-2}$. Состав горных пород, затронутых проявлением: суглинки, глины.	
ПРИВОЛЖСКИЙ ФЕДЕРАЛЬНЫЙ ОКРУГ							
Чувашская республика							
21.2017.0002	698	г. Чебоксары центральная часть, ул. 7-ая Линия Мясокомбинатского проезда	07.07.17	07.07.17	Оп	Зафиксирована активизация оползневого процесса, причиной которой стали утечки из неисправных подземных водонесущих коммуникаций и проливные дожди. Размеры оползневых смещений составили 28×7 м с глубиной захвата пород до 2 м. Стенкой срыва обнажаются суглинки и глины, в верхней части наблюдаются тонкие прослои известняков. В результате оползневых смещений был полностью разрушен частный нежилой 2-х этажный кирпичный дом и баня. При повторной активизации процесса возможно обрушение соседнего дома № 79А по ул. 7-ая Линия Мясокомбинатского проезда. На данном участке были проведены работы по ремонту и отводу коммуникаций, вызвавших активизацию оползневого процесса. При исправных коммуникациях, дальнейшей развитие оползня не прогнозируется.	
Пермский край							

1	2	3	4	5	6	7	8
59.2017.0001	699	г.Березники, территория над затопленным рудником БКПРУ-1	28.07.07	Не завершилась	От	Скорость оседания в окрестностях воронки провала №2 в III квартале 2017 г. составила 9-60 мм/мес. с южной и северной сторон (во II квартале 2017 г. – 15-52 мм/мес.) и 3-50 мм/мес. с западной стороны (во II квартале 2017 г. – 5-43 мм/мес.); Размеры воронки провала №3 у здания АБК БСШУ остались неизменны (135×144 м). Скорость оседания земной поверхности в окрестностях провала в III квартале 2017 г. несколько снизилась: до 0-14 мм/мес. к северу от провала и 34-73 мм/мес. с юго-восточной стороны (во II квартале 2017 г. соответственно – 1-10 мм/мес. и 57-99 мм/мес.); Динамика оседаний в окрестностях воронки №4 в III квартале 2017 г. свидетельствует об активности процесса в пределах 57-90 мм/мес. (во II квартале – 62-100 мм/мес.); В пределах ранее сформированной мульды сохраняются скорости оседания 191-216 мм/мес. (в предыдущий временной период отмечалась динамика – 182-200 мм/мес.). В центральной части площади отработки ППП сохраняются стабильные значения скоростей оседания на уровне 10-16 мм/мес. (1-21 мм/мес. в предыдущий временной период). В целом, процесс развивается здесь равномерно, без его ускорения.	
59.2017.0002	700	г. Соликамск, территория над затопляемым рудником СКРУ-2	18.11.14	Не завершилась	От	Размеры воронки в пределах шахтного поля СКРУ-2, на сентябрь 2017 г. составляют 181,5×152,3 м при глубине до уровня заполнения ее глинистым раствором в 36,7 м (во II квартале 2017 г. размеры воронки составляли 150×168 м в рыхлых и 48×57 м в коренных отложениях при глубине в 53 м, воронка раствором заполнена не была).	
Кировская область							
43.2017.0005	701	с. Лойно Верхнекамского района	00.00.00	Не завершилась	Об-Ос	Скорость отступания бровки склона р. Кама на разных участках различная и составляет от 0,01 до 1,69 – 3,27 м/год. Отмечены трещины закола шириной до 10 см. При высоком паводке и обильных ливневых осадках может произойти образование крупных оползневых подвижек, в зоне воздействия могут оказаться жилые дома, ЛЭП и население.	
43.2017.0006	702	с. Лойно Верхнекамского района	00.07.14	Не завершилась	Оп	Продолжает развиваться оползневой процесс на аварийном и на сопредельных участках автодороги Кирс – Южаки (в районе с. Лойно). Производится отсыпка аварийного участка крупногабаритным строительным материалом, отмечено смещение засыпанного материала на 0,7-1 м вниз по склону и смыв в р. Кама. На сопредельных территориях наблюдается блоковое смещение грунта размерами до 2 м. Длина аварийного участка увеличилась до 40 м. Ширина асфальтированной проезжей части уменьшилась до 5 м. В асфальтовом покрытии, в 0,5-0,7 м	

1	2	3	4	5	6	7	8
						от края дорожного полотна отмечены трещины шириной до 10 см. Прогнозируется дальнейшее развитие процессова. Непринятие мер по инженерной защите склона может привести к образованию новых оползневых смещений и полному обрушению автомобильной дороги. В результате, население северной части Верхнекамского района (н.п. Лойно, Камский, Чус и др.) будет изолировано от районного и областного центров.	
43.2017.0 007	703	г. Вятские Поляны Вятскополянского района	00.00.00	Не заверши-лась	Эо	На участке склона р. Вятка в г. Вятские Поляны, где было выполнено берегоукрепление в виде габионов с засыпкой гравием, у подножия берегоукрепления в отсыпке из крупных камней отмечены промоины напротив труб-сливов в берегоукреплении, ширина промоин достигает 1 м, глубина – до 0,3 м.	
Нижегородская область							
52.2017.0 001	704	Нижний Новгород, Нижегородский район, левый борт Зеленского съезда	06.07.17	06.07.17	Оп	На территории Нижегородской области активизация оползневого процесса наблюдалась 6 июля на левом борту Зеленского съезда в г. Нижнем Новгороде. Причиной явилось переувлажнение горных пород во время ливневых дождей. Размеры оползня – длина 28 м, ширина – 8 м, мощность смещенных пород – 0,5 м, крутизна борта Зеленского съезда – 70°. Автомобильное движение на Зеленском съезде днем 6 июля было перекрыто в связи с расчисткой проезжей части от оползневых масс. Жертв и пострадавших нет.	
Самарская область							
63.2017.0 005	705	Волжский район, г.Самара, пересечение ул. Дачная и ул. Первая Белорецкая	00.00.17	00.09.17	КС	В Самарской области, в г. Самаре, на участке II-ой категории "Самарский Склон", был выявлен новый карстовый провал воронкообразной формы, образовавшийся в конце апреля, на проезжей части автодороги, на пересечении улиц Дачная и Первая Белорецкая. Глубина провала составила 1,2 м, диаметр – 2,5 м. В сентябре провал был засыпан. Основными причинами активизации процесса явились геологическое строение, климатические условия и техногенный фактор.	
Саратовская область							
64.2017.0 005	706	г Саратов Волжский район между оврагами Зональный и Слепыш (уч.Питомник)	00.05.17	Не заверши-лась	Оп	Наблюдалась деформация участка дороги без покрытия, дачных строений, дальнейшее отседание оползневых блоков. Рекомендации: строительство противооползневых сооружений.	
64.2017.0 006	707	г Саратов Волжский район между оврагами Зональный	00.09.17	Не заверши-лась	Оп	Наблюдалась деформация дачных построек, дальнейшее отседание оползневых блоков. Рекомендации: строительство противооползневых сооружений.	

1	2	3	4	5	6	7	8
		и Дудяковский (уч.Зональный)					
64.2017.0007	708	г Саратов Заводскогй район ул. Сиреневая (уч.Сиреневая)	00.07.17	Не заверши-лась	Оп	Наблюдалась деформация частных построек, дальнейшее смещение оползневых масс. Рекомендации: строительство противооползневых сооружений.	
64.2017.0008	709	г Саратов Волжский район между оврагами Сеча и Безымянный (уч.Пчелка)	00.07.17	Не заверши-лась	Оп	Наблюдалась деформация дороги и дачных построек, развитие оползня-потока. Рекомендации: строительство берегоукрепительных и противооползневых сооружений.	
64.2017.0009	710	г Саратов Волжский район между оврагами Висячий и Безымянный (уч.Новопчелка)	00.07.17	Не заверши-лась	Оп	Наблюдалась деформация дачных построек, дальнейшее смещение оползневых, масс. Рекомендации: строительство противооползневых сооружений.	
64.2017.0010	711	Центральная часть г. Вольска	00.09.17	Не заверши-лась	Оп	Наблюдалась деформация дороги и 2-х частных домов, дальнейшее смещение оползневых масс. Рекомендации: строительство противооползневых сооружений.	
УРАЛЬСКИЙ ФЕДЕРАЛЬНЫЙ ОКРУГ							
Курганская область							
1	712	г. Курган, п.Рябково, ул. Анфиногенова, 85А-93	00.07.17	Не заверши-лась	ГЭ	В г. Кургане, в п. Рябково, под воздействием речной боковой эрозии активизировался гравитационно-эрозионный комплекс процессов на правом берегу реки Черная в 100 м ниже по течению от автодорожного моста по ул. Карбышева. Ежегодно участок берега длиной 127 м. уменьшается на 1-1,5 м. Существует угроза сохранности частных домов по ул. Анфиногенова, 85, 85а, 87, 89, 91, 91а, 93. Высока вероятность разлива реки у пятиэтажек № 102, 104 и 108.	
Свердловская область							
2	713	В 230-1850 м к югу-юго-западу от с. Деево	00.07.17	Не заверши-лась	Ка, КС	Выявлены 28 проявлений процесса покрытого карбонатного карста. Визуально следов активизации в 25 карстовых воронках не наблюдается. В 3-х проявлениях установлено активное поглощение поверхностных вод понорами диаметром от 1,1 до 2,0 м глубиной до 2,2 м. Развитие карстовых форм приводит к сокращению полезной площади сельскохозяйственных земель.	
Тюменская область							
5	714	Упоровский район, д. Старая Шадрина,	01.08.17	Не заверши-	Су	В ходе оперативного обследования 04.08.2017 был зафиксирован суффозионный провал на левом береговом склоне надпойменной террасы	

1	2	3	4	5	6	7	8
		ул. Береговая		лась		р. Тобол. Суффозионный процесс находился в стадии активного развития. Протяженность вдоль берега составила 175,5 м, в районе домовладения №70 по ул. Береговой – 15 м. Максимальная высота стенки срыва грунта составила 3,4 м. В стенке срыва зафиксированы пустоты, образовавшиеся в результате суффозионного выноса частиц грунта. Расстояние от обрыва берегового склона р. Тобол до ближайшего дома по ул. Береговой, 70 составляло 12 м. Деформации подвергся участок грунтовой дороги, в результате чего обрушилась хозяйственная постройка. Образование провала обусловлено естественными процессами: воздействием грунтовых вод, стоком бытовых вод и атмосферных осадков с поверхности земли и др.	
Ханты-Мансийский автономный округ – Югра							
6	715	г. Ханты-Мансийск, ул. А.Коньковой, 2	04.07.17	Не заверши-лась	Су	4 июля 2017 во дворе дома №2 по ул. Анны Коньковой зафиксирован суффозионный провал. Данных о пострадавших нет. В тот же день провыл был засыпан. Факторами активизации суффозионного процесса являются проливные дожди и несоблюдение строительных норм при сооружении дорожного покрытия и утечки из водопроводных и канализационных сетей.	
7	716	г. Ханты-Мансийск, проезд между домами 61 и 63 по ул. Комсомольская	15.07.17	Не заверши-лась	Су	15 сентября 2017 г. между домами 61 и 63 по ул. Комсомольская зафиксирован провал асфальта, произошедший в результате механической суффозии. В зону воздействия попал легковой автомобиль. В тот же день провал был засыпан. Факторами активизации суффозионного процесса являются проливные дожди и несоблюдение строительных норм при сооружении дорожного покрытия и утечки из водопроводных и канализационных сетей.	
8	717	г. Ханты-Мансийск, проезд между домами 27 и 29 по ул. Пионерская	20.09.17	Не заверши-лась	Су	20 сентября 2017 между домами 27 и 29 по ул. Пионерская зафиксирован провал асфальта глубиной до 0,5 м. Данных о пострадавших нет. Провал в настоящего времени не засыпан. Факторами активизации суффозионного процесса являются проливные дожди и несоблюдение строительных норм при сооружении дорожного покрытия и утечки из водопроводных и канализационных сетей.	
9	718	Советский район, мост через р. Картопья автодорога Советский - Ловинское месторождение	04.07.17	Не заверши-лась	Су	Выявлен размыв участка насыпи мостового перехода. Рекомендуется обустройство дренажей и водоотливов, соблюдение строительных норм при строительстве, ведение мониторинга.	

1	2	3	4	5	6	7	8
10	719	Советский район, мост через р. Ейтья на участке автодороги Юбилейный - Малиновский	11.07.17	Не заверши-лась	Су	Выявлен размыв участка насыпи мостового перехода. Рекомендуется обустройство дренажей и водоотливов, соблюдение строительных норм при строительстве, ведение мониторинга.	
11	720	Нижневартовский район. г. Нижневартовск СОНТ «Энергетик»	12.07.17	Не заверши-лась	ГЭ	Наблюдается обрушение участка берега вместе с деревьями и постройками в результате боковой эрозии р. Оби. Рекомендуется отселение жителей, мониторинг на данном участке.	
Челябинская область							
12	721	г. Копейск Челябинская область, западный борт Копейского разреза, АО «Копемаш»	00.04.15	Не заверши-лась	Оп	На участке протяженностью около 350 м сошел оползень. Минимальное расстояние до периметра предприятия составляет 9,2 м. Отмечается значительная высота бровки отрыва оползня – около 8 м. Существует угроза сохранности зданий и сооружений АО «Копейский машиностроительный завод». В настоящее время инструментальные наблюдения за деформацией объектов предприятия в зоне влияния горных выработок шахты центральная и разреза Копейский выполняются АО «ВНИМИ» по договору с АО «Копемаш». На Копейском участке в летнюю межень 2017 г. установлена средняя активность техногенного подтопления, активизировавшегося вследствие прекращения шахтного водоотлива. На участке шахты Красная Горнячка депрессионная воронка заполнилась, уровни подземных вод вышли на естественные отметки. Прирост площади подтопленной территории за прошедший год был незначительным. Активность процесса оседания над старыми горными выработками зависит как от естественных природных факторов (водности года), так и от непрогнозируемых техногенных: состояния крепи, горных ударов. На участке провала шахты № 23 существенных изменений не зафиксировано. Наблюдался незначительный прирост площади подтопления за прошедший год на 0,009 км², при общей площади на апрель 2017 г. – 0,172 км². Активность комплекса гравитационных процессов, вызванная затоплением разреза Копейский, остается высокой. На бортах карьеров, имеющих значительную высоту, отмечены новые трещины бортового отрыва.	
13	722	г. Магнитогорск, Янгельский	00.04.11	Не заверши-	КС	На Янгельском участке была выявлена высокая активность карстово-суффозионных процессов в естественных условиях. Отмечено увеличение	

1	2	3	4	5	6	7	8
		водозабор, пойма р. Янгельки		лась		в плане старых карстовых воронок и появление новых в тальвеге оврага Большой Лог, на площади карбонатного массива. Продолжали активно развиваться карстово-суффозионные процессы в пойме р. Янгельки, в зоне влияния одноименного водозабора г. Магнитогорска.Образовались две новых воронки, расположенные на расстоянии 5 м друг от друга, диаметром 5,0-6,0 м и глубиной до 3,0 м. Недропользователь ликвидирует новые карстовые провалы засыпкой глинистым материалом	
Ямало-Ненецкий автономный округ							
14	723	г. Салехард, пешеходная зона на перекрестке ул. Чупрова – Маяковского	00.07.17	Не заверши-лась	Су	Суффозионные провалы. Разрушение обочины автодороги и укладки тротуарной плитки на углу улиц Чупрова-Маяковского. На участке размером 10×20 м обнаружено 9 провалов, из них три наиболее крупных. Площадь пораженной территории 5,6 м². Образование провалов связано с утечками из водонесущих коммуникаций. Рекомендуется засыпка провалов с уплотнением, планировка территории для отвода поверхностного стока, устранение утечек из водонесущих коммуникаций.	
15	724	г. Салехард, пешеходная зона на перекрестке ул. Чупрова – Маяковского	00.07.17	Не заверши-лась	Су	На пешеходной дорожке по ул. Титова вдоль мемориала наблюдается серия суффозионных провалов, из них 3 наиболее крупных: первый провал с размерами в плане с учетом территории за дорожкой 2,3×2,3 м, глубина 0,3 м; второй – длина вдоль бордюра 2,3 м, глубина 0,4 м; третий – протяженность 6,0 м, ширина общая 2,5 м, в том числе ширина разрушенной дорожки 1,3 м, глубина – 0,4 м. Недостаточная эффективность дренажной системы, отводящей поверхностный сток, возможные утечки из водонесущих коммуникаций.	
16	725	г. Салехард, в районе пересечения улиц Чкалова, Чапаева	00.07.17	Не заверши-лась	Пт	Отвод дождевых и паводковых вод на участках старой застройки, в частном секторе, осуществляется по системе канав и бетонных желобов. У большинства старых зданий не обустроены либо нарушены водостоки, отмостки, нарушена система водопроводящих коммуникаций, в результате чего происходят утечки, вблизи зданий и под ними формируются «техногенные озера", а в зимний период – образование наледей. Причиной подтопления являются как естественные факторы – наличие ложбины, аккумулирующей поверхностный сток, так и техногенные – утечки из водонесущих коммуникаций. Рекомендуется: предотвращение утечек из водонесущих коммуникаций, отвод поверхностного стока, с оборудованием водоотводных канав, лотков.	
17	726	г. Салехард, гаражный массив на ул. Подшибякина	00.07.17	Не заверши-лась	Пт	В районе гаражного массива на ул. Подшибякина, вблизи АТП, круглый год выступает на поверхность вода. Причиной подтопления в теплый период и образования наледей в зимний на данном участке, является сброс воды с дренажного коллектора на рельеф, проложенного	

1	2	3	4	5	6	7	8
						вдоль ул. Подшибякина, в балансе дренажа возможны утечки из водонесущих коммуникаций.	
18	727	г. Салехард, 250 м северо-западнее Администра-ции ЯНАО, в районе парка Победы	00.07.17	Не заверши-лась	Эо	Зафиксирован овраг в насыпных грунтах, длиной 16,6 м, шириной от 1,2 м в верховьях до 2,6 м в устье, глубиной – 1,5-1,7 м. Бровка резкая, сечение V-образное, борта крутые до вертикальных, активно эродируют. В бортах вскрыты мелкозернистые пылеватые пески. Фактор активизации техногенный – проведение земльных работ.	
20	728	г. Салехард, левый берег р. Шайтанка, обустраиваемая набережная	00.07.17	Не заверши-лась	Эо	Протяженность участка, подверженного эрозии вдоль левого берега 1000 м. Активизация овражной эрозии в насыпных песчаных и супесчаных грунтах на обустраиваемой набережной левобережья р. Шайтанки, вблизи моста «Факел». Овраг шириной в устье 4,3 м, глубиной – 2,15 м, с многочисленными отвершками, общей протяженностью около 60 м. Идет активное развитие, базисом является урез воды в р. Шайтанке. Рекомендуется завершение обустройства набережной, планировка территории, отвод поверхностного стока.	
21	729	г. Салехард, периметр Ямальского многопрофильного колледжа	00.07.17	Не заверши-лась	Эо	Активно развивается процесс овражной эрозии по западной границе территории Ямальского многопрофильного колледжа вдоль левого борта долины р. Шайтанки. Развитие процесса обусловлено сбросом поверхностного стока с территории колледжа и насыпным характером грунтов на данном участке. При этом водосбросы (бетонные желоба) разрушены. Выявлено 8 относительно крупных эрозионных промоин шириной от 1,8 до 10 м, глубиной 1,5 – 2,35 м и длиной около 5,0 м. Бровка промоин резкая, борта вертикальные, со следами обрушения, на дне щебень из отсыпки площадки колледжа. Наблюдается подмыв и обнажение основания бетонного ограждения колледжа. На территории колледжа, вдоль ограждения, зафиксированы деформации асфальта. Рекомендуется засыпка промоин глинистым грунтом с уплотнением, планировка территории, устройство или восстановление водопропусков и бетонных лотков для отвода поверхностного стока с территории ЯМПК. В целом при длине прибрежного участка Ямальского многопрофильного колледжа 300 м, поражено эрозией 37 м.	
22	730	Газопровод высокого давления в 2 км выше по течению от переплавы, правый берег р. Обь	00.07.17	Не заверши-лась	Эо	По северной нитке газопровода берег на расстоянии 7-8 м от уреза воды укреплен бетонными блоками, протяженностью 40 м. На склоне отмечено образованием оврага шириной от 1,0 до 5,3 м, максимальной глубиной – 2,6 м, V-образного сечения, с крутыми бортами, с разрушением пластиковой георешетки. Длина оврага 12 м. На южной нитке газопровода овраг с V-образным сечением, с крутыми, незадернованными, оползающими бортами. Длина оврага 50 м, ширина –	

1	2	3	4	5	6	7	8
						от 1,5 в верховье до 6,3 м в устье, глубина – 3,35 м. Борта крутые, обрывистые, оползающие. Берег на расстоянии 7-8 м от уреза воды укреплен бетонными блоками на протяжении 30 м. В 30 м восточнее бетонной стеки выполнено укрепление склона мешками с песком в виде дамбы протяженностью 20 м. Общая протяженность эрозионно-опасного участка вдоль берега р. Обь –120 м. Рекомендуется проведение противоэрозионных мероприятий, с планировкой территории и отводом поверхностного стока, укрепление склона, регулярное обследование и поддержание инженерных сооружений в рабочем состоянии.	
23	731	г. Салехард, участок городского пляжа на правом берегу р. Полябта	00.07.17	Не завершилась	Эо	Активизация овражной эрозии на участке городского пляжа на правом берегу р. Полябта. Обнаружена новая эрозионная промоина на участке коттеджа. Расстояние от бровки борта оврага до здания составило 10,6 м. Коттедж расположен на эрозионно-опасном участке. Необходима организация отвода поверхностного стока.	
24	732	г. Салехард, развилка ул. Комсомольская, 26а, подрезка склона	00.07.17	Не завершилась	Оп	На западном периметре строительной площадки произошло оползание подрезанного борта, с протяженностью оползневого блока около 15 м, высотой – 2,5 м, шириной – 3 м, с амплитудой смещения – 1,0-1,5 м. Площадь оползшего блока составила 45,0 м². В 10 м от участка оползания расположен двухэтажный деревянный многоквартирный дом по адресу ул. Комсомольская, 26а.	
26	733	г. Надым, ул. Полярная, 9	00.07.17	Не завершилась	КР	Пятиэтажный жилой дом блочного типа. Между блоками на фасаде здания наблюдаются трещины с раскрытием до 1 см. Неравномерная осадка свайного основания вследствие деградации ММП. Рекомендуется применение термостабилизаторов.	
27	734	г. Надым, ул. Полярная, 19	00.07.17	Не завершилась	КР	Пятиэтажный жилой дом блочного типа. Вследствие неравномерной осадки свайного фундамента между блоками на фасаде здания наблюдаются свежие трещины с раскрытием до 1 см. Неравномерная осадка свайного основания вследствие деградации ММП. Рекомендуется применение термостабилизаторов.	
28	735	г. Надым, наб. им. Оруджева, 39	00.07.17	Не завершилась	КР	Пятиэтажный панельный жилой дом по ул. наб. им. Оруджева № 39. Свежих трещин по зданию не обнаружено. Стыки между панелями, в основном зацементированы, локально наблюдается раскрытие стыков до 1 см. Отмечаются трещины в отмостке здания. Рекомендуется применение термостабилизаторов.	
29	736	г. Надым, наб. им. Оруджева, 34	00.07.17	Не завершилась	КР	Пятиэтажный панельный жилой дом по ул. наб. им. Оруджева № 34. Свежих трещин по зданию не обнаружено. Стыки между панелями, в основном зацементированы или запенены. Отмечаются трещины в отмостке здания. Рекомендуется применение термостабилизаторов.	

1	2	3	4	5	6	7	8
30	737	г. Надым, ул. бульвар Стрижова, 1	00.07.17	Не заверши-лась	КР	Десятиэтажный жилой дом по ул. бульвар Стрижова 1. Свежих трещин по зданию не обнаружено, выполнен косметический ремонт. Отмечаются трещины в отмостке здания. Косметические панели, установленные по цоколю здания, разрушаются, что говорит о подвижности свайного основания. Вокруг здания расположены наблюдательные скважины. Рекомендуется применение термостабилизаторов.	
31	738	г. Надым, ул. Рыжова, 10	00.07.17	Не заверши-лась	КР	Пятиэтажный жилой дом по ул. Рыжкова № 10. Свежих трещин по зданию не обнаружено, швы между блоками зацементированы. Отмечаются трещины в отмостке здания и раскрытие температурно-деформационного шва шириной до 5-6 см. Рекомендуется применение термостабилизаторов.	
32	739	г. Надым, аздание на углу ул. Заводская и Проезд 5	00.07.17	Не заверши-лась	КР	Пятиэтажное, не эксплуатируемое административное здание панельного типа. Отмечается разрушение панелей первого этажа здания по диагонали, вследствие неравномерной осадки фундамента. Здание не пригодно для эксплуатации, требуется его снос.	
33	740	г. Надым, ул. наб. им. Оруджева, 18, 21, 27, 31	00.00.00	Не заверши-лась	Эо	Выявлено несколько эрозионных промоин по ул. наб. им. Оруджева: в створе дома № 18, шириной по 1,0 м, глубиной – 0,3-0,4 м, протяженностью около 5 м; в створе дома № 21, шириной до 3,5 м, глубиной – 0,4 м, протяженностью около 5 м; в створе дома № 27, максимальной шириной до 3,4 м, глубиной – 0,34 м, протяженностью до озера 14,4 м; в створе дома № 31, максимальной шириной 1,1 м, глубиной – 0,6 м, протяженностью до озера 5,4 м. Выявленные промоины образовались в песчаном грунте, в результате поверхностного стока с автодороги. Требуется устройство водостоков.	
35	741	г. Надым, производственное здание по Проезду 5	00.00.00	Не заверши-лась	Тк	Одноэтажное, производственное здание. Расположено вблизи термокарстового водоема. Отмечается изгиб конька крыши. Здание старое, подлежит сносу.	
36	742	Ю-з окраина г. Надым	00.00.00	Не заверши-лась	Пу	Юго-западнее г. Надыма наблюдается участок развития крупнобугристых торфяников размерами в плане 0,5×0,9 км, в 1,0 км. Бугры имеют округлую или овальную в плане форму с максимальными размерами до 30 м в диаметре, высотой от 1 до 3-4 м. На отдельных крупных буграх наблюдается разрушение склона с обнажением торфяного разреза, на поверхности отмечаются трещины выпирания шириной до 20 см и глубиной до 10 см	
37	743	Район аэропорта Надым	00.00.00	Не заверши-лась	Эо	Отмечается развитие эолового процесса в районе аэропорта Надым. Наблюдается наступление песков на тундру.	

1	2	3	4	5	6	7	8
СИБИРСКИЙ ФЕДЕРАЛЬНЫЙ ОКРУГ							
Республика Алтай							
04.2017.0 013	744	Кош-Агачский район, уч. Чуйский	00.05.17	00.09.17	Оп	В III квартале 2017 г. на Чуйском участке наблюдений обследовано 75 активно развивающихся оползней. В 2017 г. образовалось 12 новых оползней I порядка, в том числе 2 оползня на подучастке Предгорном, 10 оползней – на подучастке Чаган-Узун. Высокую активность сохраняют несколько оползней II порядка в пределах оползневых массивов № 35, 36, 2. Наибольшая активность наблюдалась на оползене № 71, который увеличился вдвое и поглотил предыдущий оползневый массив. Наиболее активными остаются оползни №№ 2А, 35, 36, 97. Степень акивности – высокая, средняя, низкая. Высокая активность в районе автомагистрали Р-256 Чуйский тракт наблюдалась на оползнях №№ 35, 36, 97, где образовались новые оползни II порядка. Языки, образовавшихся оползней, остановились в 25-70 м от тракта.	
04.2017.0 014	745	Кош-Агачский район, уч. Бугузунский	00.05.17	00.09.17	Оп	Фронтальная зона оползания развивается по левому борту долины р. Сайлюгем. Зона образовалась в период Чуйского землетрясения, в настоящее время находится в стадии развития с элементами затухания. Оползни развиваются по трещинам отседания склона и по трещинам растяжения и сдвига.Активность оползневого процесса в 2017 г. низкая, при этом наблюдались активные элементы – трещины растяжения и зоны проседания по трещинам с обновленными элементами рельефа. Активность процесса – низкая.	
04.2017.0 015	746	Кош-Агачский район, уч. Арка-Узук	00.05.17	00.09.17	Оп	Наблюдается сейсмогенный блоковый оползень, с глубиной захвата пород более 50-100 м, активность – средняя. Расширение оползня происходит в зоне надоползневого уступа, уступ отступает вверх по склону в среднем на 5-10 м/год. Прирост площади оползня составил 255 м². Обводненность оползневого массива, по внешним признакам, повышена, площади озерков во рвах увеличились. В надоползневом уступе фрагментами наблюдаются пятна влажных горных пород, что свидетельствует о близком к поверхности залегании вечномерзлых горных пород. Непосредственно вечномерзлые горные породы не обнажены, они перекрыты рыхлым оползневым материалом.	
04.2017.0 016	747	Кош-Агачский район, уч. Курайский	00.05.17	00.09.17	ГЭ, Об	В пределах уч. Курайский выявлено 2 гравитационно-эрозионных проявления высокой активности в верховьях р. Курайка. Размыву подвергаются селевые конуса выноса с правого борта долины. Материал селевых конусов в пик половодья переносится водным потоком в виде селевых наносов на большие расстояния, достигая Чуйского тракта и с. Курай. В верховьях долины р. Курайка наблюдается активное	

1	2	3	4	5	6	7	8
						пересыпание днища глыбовым материалом с обоих бортов, что способствует созданию подпора русла. Активность процессов высокая на трех участках общей протяженностью 690 м. Данный участок русла представляет опасность из-за возможности подпора русла и формирования селеопасной ситуации.	
04.2017.0017	748	Кош-Агачский район, уч. плотина Маашей	00.05.17	00.09.17	Оп, ГЭ	На уч. Плотина Маашей выявлено 2 высокоактивных гравитационно-эрозионных участка протяженностью 405 м с элементами отседания склонов, приуроченных к долине р. Мажой, на выходе реки из озерной котловины. При значительных уклонах и высоких уровнях водный поток обладает значительной эрозионной силой, размыву подвергаются подножия осыпей и уступы каменных глетчеров, материал которых аккумулируется в днище долины. В правом борту каньона наблюдается активное развитие оползневых процессов с образованием фронтальных оползней. Активность оползневых процессов на участке протяженностью 280 м высокая. Под воздействием процессов отседания склонов, осыпных и оползневых процессов в каньоне возможно образование подпорных плотин, которые будут перекрывать свободный сток реки и способствовать возрождению оз. Маашей. По визуальным признакам, тенденции к подпору русла более значительные, нежели к размыву. Данные процессы усугубляются сходом селей с правого борта, которые частично перекрывают русло р. Мажой и окончание озерной котловины. Помимо этого, наблюдается медленное течение языка каменного глетчера в сторону коренного борта каньона, что может привести к смыканию бортов и созданию новой подпорной плотины.	
04.2017.0018	749	Кош-Агачский район, уч. Джазаторская трасса, уч. а/дороги Кош-Агач - Джазатор, 38-132 км	00.05.17	00.09.17	ГЭ, Эп	Уч. Джазаторская трасса (38-132 км). В пределах участка выявлено 7 проявлений гравитационно-эрозионных процессов с сопутствующими им процессами плоскостной эрозии. Активность процессов средняя, высокая, реже низкая. Негативное воздействие выражено в частичном разрушении полотна дороги и откосов дорожной насыпи. Суммарная протяженность пораженных участков дороги составляет 685 м, пораженность дороги соответственно 0,73 %.	
04.2017.0019	750	Кош-Агачский район, с.Чаган-Узун, уч.а/дороги Р-256, 860-870 км	00.05.17	00.09.17	Об, Ос, ГЭ, Оп	На участке дороги Р-256, 860-870 км выделено 8 проявлений ЭГП, в том числе 2 участка развития гравитационно-эрозионных процессов, участок развития оползневого процесса, 5 участков развития обвального и осыпного процессов. Негативное воздействие ЭГП на автомагистраль выражается в размыве мостовых опор и дамб обвалования около мостов, в мелком пересыпании дорожного полотна осыпным материалом, в камнепадах со склонов осыпей и скальных выходов трещиноватых пород. Потенциальную опасность представляют оползни, языки которых	

1	2	3	4	5	6	7	8
						спускаются к Чуйскому тракту. При переувлажнении горных пород склонов возможна активизация оползневого процесса в виде формирования оползней-течения. Активность ЭГП, в основном, низкая и средняя, на оползневом участке – высокая. Суммарная протяженность всех участков составляет 2115 м, пораженность обследованного участка дороги – 21 %.	
04.2017.0020	751	Майминский район, с. Майма, уч. Катунский водозабор	00.05.17	00.09.17	ГЭ	На уч. Катунский водозабор сформировано 2 эрозионных дуги. В 2017 г. максимальные скорости эрозии достигали 9,5 м/год, средняя скорость эрозии – 1,76 м/год. За период 2016-2017 гг. смыто 1824 м² земель. В целом на уч. Катунский водозабор отмечена высокая активность процессов, но ниже уровня предыдущего 2016 г. Процессы находятся в стадии активного развития.	
04.2017.0021	752	Онгудайский район, с.Онгудай	00.05.17	00.09.17	ГЭ	На уч. Онгудай выявлен 1 участок развития гравитационно-эрозионных процессов протяженностью 130 м в верхнем течении р. Онгудайка на южной окраине села. Размыву подвержены противоналедные валы и дамбы по обоим берегам реки. Активность процессов низкая. В 2017 г. максимальные скорости эрозии достигали 1 м/год.	
04.2017.0022	753	Онгудайский район, с.Инегень, уч. а/дороги в Инегень, 2,2-2,5 км	00.05.17	00.09.17	ГЭ, Эп	Участок активизации на а/д в с. Инегень (2,2-2,5 км) протяженностью 250 м (в 2016 г. – 150 м). Часть дорожного полотна смещена – блоковые фронтальные оползни по трещинам закола, также наблюдается и размытая часть. Фронтальные блоковые оползни образовались в результате подмыва и проседания уступа в половодье 2016 и 2017 гг. Отмечены трещины закола глубиной 0,5-1,1 м, шириной – 0,1-0,3 м, глубина проседания составила 0,2-0,5 м. Ширина оползневого блока составляет до 0,5-1 м. В начале и окончании активного оползневого участка наблюдаются нитевидные трещины глубиной до 0,3 м, в центре дуги – трещины с максимальными параметрами. В центре дуги часть дороги шириной 3-3,5 м смещена по фронтальному оползню, действующая часть дороги (вне зоны оползания) имеет ширину 3,1-3,6 м. Пораженность дороги в центре дуги – 50%.	
04.2017.0023	754	Онгудайский район, с.Степушка, уч.а/дороги Онгудай – Алтайское подворье (левый поворот от 651 км Чуйского тракта Р-	00.05.17	00.09.17	Оп	На участке а/д Онгудай – Алтайское подворье, поперек дороги, развиты трещины сдвига. Смещение по трещинам составляет 5-15 см на обоих бортах зарождающегося оползня. На придорожном участке в полосе примыкания к дороге, вблизи опоры ЛЭП-1000 развиты трещины растяжения и сдвига, ширина трещин достигает 10-15 см, глубина – до 0,5 м, трещины свежие. По правому флангу оползня трещины сдвига имеют продолжение от дороги на придорожную полосу. На участке	

1	2	3	4	5	6	7	8
		256), 19-20 км				примыкания к дороге развивающиеся трещины представляют собой серию субпараллельных трещин сдвига с опусканием блоков (ступеней), ширина трещин достигает 10-15 см, глубина до 0,4-0,7 м, высота уступов – до 0,5 м. На 19-20 км дороги, перед Алтайским подворьем зарождается блоковый оползень. В результате активизации оползневых процессов наблюдается смещение дороги по трещинам сдвига на 10-15 см, а на придорожной полосе наблюдается опускание блоков до 0,5 м. Оползневой процесс имеет высокую активность. Триггерным фактором активизации оползневого процесса является техногенный фактор.	
04.2017.0 024	755	Улаганский район, перевал Кату-Ярык	00.05.17	00.09.17	Эп, Ос, Об	Перевал Кату-Ярык представляет собой спуск в виде серпантина с Улаганского нагорья в долину р. Чулышман по крутому борту долины. Склон крутой, уклоны 25-40º, превышение высот составляет 500-550 м. Склон сложен отложениями ледникового комплекса с маломощным чехлом склоновых осадков, имеются многочисленные выходы коренных пород. Участок перевала испытывает негативное воздействие процессов плоскостной эрозии, обвалов, осыпей, камнепадов. Негативное воздействие ЭГП приводит к частичному размыву полотна дороги, либо к избыточной аккумуляции наносов на полотно дороги в виде конусов, шлейфов материала обвалов, смыва и т.д. Процессы в активной стадии развития на участке протяженностью 2,6 км.	
04.2017.0 025	756	Чемальский район, с.Чемал	00.05.17	00.09.17	ГЭ	Выявлено 5 проявлений гравитационно-эрозионных процессов суммарной протяженностью 1115 м, в том числе по правому берегу – 515 м, по левому берегу – 600 м. Все участки приурочены к пойменной равнине, к дамбам обвалования по обоим бортам р. Чемал. ЭГП по правому берегу имеют низкую активность (515 м). По левому берегу проявления с высокой активностью имеют протяженность 435 м, с низкой и средней активностью – 165 м. Размыву подвержены дамбы обвалования. На участках с высокой активностью размыв дамб составляет 35-50 %, иногда и более. В целом по участку активность средняя. Наиболее активно размывается левый берег в связи с переформированием русла в период паводка 2014 г. и в результате техногенного укрепления правого берега в туристско-рекреационной зоне (т/б "Марьин остров") габионами.	
04.2017.0 026	757	Чемальский район, уч.Эдиганская трасса	00.05.17	00.09.17	ГЭ	Суммарная протяженность пораженных участков 385 м, в том числе 175 м – высокой и средней активности, 210 м – низкой активности. Пораженность гравитационно-эрозионными процессами дороги составляет 4,8%. В многолетнем плане наблюдаются тенденции к затуханию эрозионных процессов.	

1	2	3	4	5	6	7	8
04.2017.0027	758	Чойский район, с.Левинка	00.04.17	00.09.17	ГЭ	В 2017 г. максимальные скорости эрозии достигают 3,2 м/год, средняя скорость эрозии – 1,31 м/год, площадь смытых земель – 373 м². Активность средняя-высокая. Тенденции процессов на селитебную зону в пределах участка сохраняются.	
04.2017.0028	759	Чойский район, с.Красносельск	00.05.17	00.09.17	ГЭ	Негативному воздействию гравитационно-эрозионных процессов на территории с. Красносельск в III квартале 2017 г. была подвержена прибрежная полоса берега и берегозащитные сооружения вдоль бровки поймы. Берегозащитные дамбы обвалования на территории села вдоль полноводной протоки частично размыты (до 20 %).	
04.2017.0029	760	Чойский район, с.Красносельск, уч.а/дороги Каракокша - Красносельск, 45,5-45,9 км	00.05.17	00.09.17	ГЭ	В настоящее время на излучине р. Сарыкокша отмечалась активизация гравитационно-эрозионных процессов. Максимальная деградация берега после дождевого паводка 2014 г. за период июнь 2014 г. – июль 2017 г. составила 7,6 м, смыто 1316 м² земель береговой зоны. Признаки активизации – козырьки ПРС, ниши размыва, блоки отпора, обнаженные береговые уступы. Негативное воздействие ЭГП в настоящее время оказывается на прибрежную полосу берега. В потенциальной опасности часть дороги на участке максимального размыва, расположенная в 10-15 м от береговой линии. При сохранении тенденций процесса через 5-10 лет дорога будет размыта.	
Республика Бурятия							
03.2017.0001	761	г. Улан-Удэ, п.Забайкальский	00.08.17	00.09.17	Эо	Овраг развивается от автодороги в сторону жилого дома. Расстояние от вершины оврага до дома около 10 м. Глубина оврага в устьевой части 2,5 м, ширина – 3 м. Общая протяженность оврага около 4 м. В нижней части склона наблюдаются осыпи.	
03.2017.0002	762	Кяхтинский район, с.Уладый	00.05.17	00.09.17	Пт	Наблюдалось подтопление грунтовыми водами домов №№ 23, 25-37 по ул. Верховская.	
03.2017.0003	763	Прибайкальский район, с. Турка, уч. Местность Пески	00.05.17	Не заверши-лась	Эа	Пески, перемещаясь от берега оз. Байкала вглубь суши, задерживаются кустами растений, образуя собой беспорядочно разбросанные небольшие бугры высотой 0,2-0,5 м. Расстояние движущихся песков до дороги республиканского значения составляет около 30 м.	
03.2017.0004	764	Тункинский район, с.Зактуй	00.05.17	00.09.17	ГЭ	Гравитационно-эрозионные процессы развиваются на изгибе правого берега р. Иркут. Протяженность эрозионного участка 300 м. Высота берегового уступа около 2,5 м. На склоне берега наблюдаются небольшие по размеру оползни, промоины шириной от 0,1 до 0,5 м.	
Республика Тыва							
17.2017.0009	765	Овюрский район, в 31,5 км на северо-	01.07.17	02.07.17	ГЭ	На участке а/д Хандагайты – Мугур-Аксы вследствие продолжительных ливневых дождей полностью и частично разрушено	

1	2	3	4	5	6	7	8
		восток от с. Мугур-Аксы, уч.а/дороги Хандагайты - Мугур-Аксы, 92,6, 92,8, 93,5 км				дорожное полотно на 3-х участках общей протяженностью около 200 м: 92,6 км – длина разрушения 100 м, высота насыпи 6,5 м, ширина 10 м; 93,5 км – длина разрушения 70 м, высота насыпи 6 м, ширина 10 м; 92,8 км – размыв левой обочины длиной 40 м, высота насыпи – 6,5 м.	
17.2017.0010	766	Пий-Хемский район, с.Уюк, уч. Уюкский	00.07.17	00.08.17	Эо	Участок а/д Р-257 Красноярск – Госграница. Длина оврага составляет около 500 м, глубина – 2-2,6 м, ширина увеличилась до 12,7 м. Овраг активный, на отдельных участках продолжается его рост, образование свежих отвершков и расширение. На момент обследования рост оврага происходит по ширине, больше в сторону от дороги. Относительно марок продвижение бровки оврага составило до 1,9 м. Ширина нового оврага на месте засыпки самого опасного участка в 2015 г. увеличилась от 7,8 до 10,3 м, продвижение бровки 2,5 м. Непосредственной угрозы полотну дороги в настоящее время пока нет.	
17.2017.0011	767	Чеди-Хольский район, с. Сайлыг, уч.Сайлыгский	00.07.17	00.08.17	ГЭ, Эо	У бровки террасовидного уступа, сложенного делювиально-пролювиальными отложениями, высотой около 15 м в восточной части села отмечена сезонная активизация процесса овражной эрозии. Происходит углубление промоин, зафиксированы свежие следы размыва. Расширение оврагов (продвижение бровок) составило на локальных участках 0,5-1 м. В верхней части уступа наблюдаются вертикальные трещины шириной до нескольких сантиметров. Происходит обваливание огородов на локальных участках. Необходимы постоянные наблюдения за активностью процесса.	
17.2017.0012	768	Улуг-Хемский район, в 10,3 км от с. Эйлиг-Хем на северо-восток, уч. Эйлиг-Хемский	00.07.17	00.08.17	Эо, Эп	Участок а/д Шагонар - Эйлиг-Хем. Общая протяженность участков с активизацией процессов овражной, плоскостной и струйчатой эрозии в 2017 г. около 2 км. Глубина оврагов и промоин до 1,7 м, ширина до 6,4 м. По сравнению с 2016 г. активность эрозионных процессов выше. На локальных участках зафиксировано разрушение обочин и полотна автодороги, но продвижение бровок оврагов не превышает 2 м. Необходима засыпка промоин и оврагов, частично она ведется.	
17.2017.0013	769	Дзун-Хемчикский район, г. Чадан, уч.Чаданский	00.07.17	00.08.17	Эо	Участок а/д Р-257 Красноярск – Госграница, район г. Чадана. Практически по всей длине оврага (1,1 км) наблюдаются свежие обрушения горных пород вдоль стенок, многочисленные отвершки и промоины, есть свежие следы размыва, расширение оврага (продвижение бровок) на локальных участках больше 2 м, в верхней части уступа наблюдаются вертикальные трещины отседания шириной до нескольких сантиметров, в нижней части стенок отрицательный уклон. На участке длиной около 10 м из-за обрушения стенок обнажился кабель связи,	

1	2	3	4	5	6	7	8
						подмыто и упало бетонное перекрытие. Рекомендуется засыпка оврага.	
17.2017.0014	770	Овюрский район, в 23 км от с. Хандагайты на северо-восток, уч.а/дороги Хандагайты – Чыраа-Бажы	00.07.17	00.08.17	Эп, Эо, ГЭ	На а/д Хандагайты – Чыраа-Бажы отмечены участки с активизацией эрозионных процессов (18-19, 20-25, 32-37, 45, 64 км), и в меньшей степени, гравитационно-эрозионных процессов (69, 76 км). Триггерным фатором активизации стали ливневые дожди в июле. На обочинах и полотне автодороги образовались промоины длиной до 300 м, местами развивающиеся в овраги, глубиной до 1,3 м, шириной до 2 м. На отдельных участках разрушены дорожные ограждения. В долинах рек у мостов зафиксирована активизация гравитационно-эрозионных процессов с образованием глубоких промоин, подмывом мостов, водопропускных труб. Обслуживающей организацией начаты ремонтные работы: частичная засыпка промоин, оврагов, выравнивание обочин бульдозером.	
17.2017.0015	771	Каа-Хемский район, с.Сизим, уч.Сизимский	00.07.17	00.08.17	Эо	Глубина оврагов на участке достигает 5 м, ширина – до 9 м. Отмечались свежие отвершки, обрушения по бортам, новые промоины. Длина свежих отвершков до 2 м, глубина – до 1,7 м, продвижение бровок оврагов не более 1,35 м, прирост длины – 1,4 м. Непосредственной угрозы жилым домам нет, на отдельных участках частично разрушается дорожное полотно, один из оврагов распространяется на территорию лесопилки. В следствие овражной эрозии на этом участке часть земель выводится из хозяйственного оборота, деформируются автодороги, создается угроза сохранноси опорам ЛЭП, дорогам на территории села. Рекомендуется засыпка оврагов.	
17.2017.0016	772	Дзун-Хемчикский район, с. Хорум-Даг, уч. Хорум-Дагский	00.07.17	00.08.17	ГЭ	Гравитационно-эрозионные процессы развиты вдоль уступа 1-ой террасы р. Чиргакы. Высота уступа до 2,5-3 м. Вдоль уступа наблюдалось много трещин отседания шириной до 0,8 м, длиной вдоль уступа до 15 м. Зафиксированы свежие промоины глубиной и шириной до 1 м. Создается угроза обваливания приусадебных участков; продвижение кромки берегового уступа составило 0,5 м. Необходимо наблюдать за активностью процессов.	
17.2017.0017	773	Тоджинский район, в 43 км от с. Тоора-Хем на юго-запад, уч.а/дороги Бояровка - Тоора-Хем, 6-8, 9, 10, 11 км, 102-156 км	15.09.17	19.09.17	Эп, ГЭ	Участок а/д Бояровка - Тоора-Хем, 6-8, 9, 10, 11 км, 102-156 км. Из-за обильных осадков произошел размыв дороги с образованием промоин, на 111 км в аварийном состоянии мост. Проводится засыпка промоин.	
17.2017.0018	774	Эрзинский район, в 22 км юго-восточнее	18.09.17	18.09.17	Эп	Участок а/д Кызыл - Эрзин - Госграница, 238-240 км. Из-за обильных осадков произошел размыв земляного полотна. Проведен ремонт дороги.	

1	2	3	4	5	6	7	8
		с.Эрзин, уч.а/дороги Кызыл - Эрзин - Госграница, 238-240 км					
Республика Хакасия							
19.2017.0 001	775	г. Черногорск	00.03.17	Не заверши-лась	Пт	Анализ уровенного режима по скважинам наблюдательной сети и опрос жителей ул. Чернышевского и Белинского показали, что активность процесса выше прошлогодних значений. Столб воды в погребах и подвалах от 0,3 до 1,2 м. УГВ от поверхности земли 1,8-1,5 м. На момент обследования для южной части города (скв. 756 и 757) наблюдалось повышение уровней с июня по август с 2,18 м до 2,04 м и с 3,32 до 3,05 м соответственно; для юго-восточной части (скв. 752) – с 3,12 м до 2,73 м.	
19.2017.0 002	776	г. Абакан	00.03.17	Не заверши-лась	Пт	Отмечался активный процесс подтопления на отдельных участках г. Абакан. Так по ул. Перятинская 9 подтоплению подвержен гаражный массив. Уровень воды в отдельных гаражах колеблется от 0,5-1 м от поверхности земли. По ул. Аскизская, 170, 174 подтопление отмечается периодически.	
19.2017.0 003	777	Алтайский район, 4 км южнее п. Подсинее, уч.а/дороги М-54, Брасткий мост	00.04.17	Не заверши-лась	Оп	Участок а/д М-54 Братский мост. Наиболее активно оползневой процесс развит на правом склоне, где отмечается 5 оползневых участков. На северо-восточной окраине участка увеличение оползневого блока произошло за счет отрыва блока породы размером 10×20 м. В основании склона продолжаются смещения оползневых масс на обочину и полотно дороги. Активизация процесса связана с прокладкой траншеи вдоль бровки склона в 2015 г. Дополнительным фактором активизации является повышение УГВ первого от поверхности водоносного (техногенного) горизонта. Единичные процессы оплывания горных пород фиксируются и на левом склоне участка дороги. Объем смещенных масс горных пород не превышает 200 м³.	
19.2017.0 004	778	округ г. Саяногорск, уч.а/дороги Саяногорск – Черемушки, 8 км	21.09.17	21.09.17	Об	На участке а/д Саяногорск – Черемушки (18 км) произошел обвал скального грунта на дорожное полотно. Пострадавших нет. Движение транспорта осуществлялось реверсивным способом.	
Забайкальский край							
75.2017.0 001	779	Балейский район, г.Балей, уч. Балейский карьер	00.06.17	Не заверши-лась	Оп, Эо, Эп	В северной части Балейского карьера развиваются два оползня. Оползневые массы лишены растительности, осложнены промоинами и эрозионными бороздами. Наблюдается образование трещин бортового отпора, по которым формируется новая стенка отрыва. У бровки карьера	

1	2	3	4	5	6	7	8
						и на его уступах наблюдаются трещины отпора шириной до нескольких сантиметров. Их наличие приводит к обрушению блоков пород и постепенному выполаживанию крутизны бортов. Суммарная площадь оползневых масс ~ 900 м². Кроме перечисленных экзогенных процессов, в карьере и на прилегающей к нему территории, развиваются процессы, связанные с деятельностью временных водотоков – овраги, промоины, эрозионные борозды.	
75.2017.0002	780	Александрово-Заводский район, с.Новый Акатуй, уч.Акатуйский рудник	00.00.17	Не завершилась	Эа	Уч. Акатуйский рудник. «Хвосты» не затоплены, наблюдается интенсивное эоловое развеивание и вынос песчаного материала за пределы плотин. Высота эоловых бугров достигает 0,3 м. Шлейф, переотложенных в результате эолового развеивания хвостов, образовался перед дамбой высотой до 7 м и за дамбой нижнего и среднего прудов-накопителей. На дамбах, разделяющих отстойники хвостохранилища, эоловые формы представлены в виде мелких гряд - ряби. Вынос ветром токсичного шлама за пределы хвостохранилища заражает почво-грунты соединениями тяжелых металлов на прилегающей территории. Центр с. Новый Акатуй находится в 700 м, а северо-восточная его часть – в 200 м от дамбы нижнего пруда-накопителя хвостохранилища.	
75.2017.0003	781	Читинский район, с.Засопка, уч.Засопкинский карьер нерудных материалов	00.06.17	Не завершилась	Оп	Оползень формируется на уступе третьей надпойменной террасы р. Ингоды. Причина его образования – пригрузка уступа вскрышными породами, что привело к формированию стенки отрыва в аллювиальных отложениях и их смещение вместе с техногенными грунтами. Скорость движения оползня в 2017 г. – от 0,6 м у тыловой части до 1,9 м у фронтальной. Деляпсий перекрывает часть грунтовой дороги, проходящей у тыловой закраины первой надпойменной террасы р. Ингоды. На площадке третьей террасы образуются свежие трещины на расстоянии 4-6 м от существующей стенки отрыва.	
75.2017.0004	782	Карымский район, пгт.Дарасун, уч.а/дороги Чита-Хабаровск, 68-70 км	00.06.17	Не завершилась	Оп	Участок а/д (68-70 км) проходит по склону распадка, сложенного с поверхности делювиальными отложениями (песок с щебнем и дресвой, супесь песчанистая с дресвой, суглинок). При строительстве полотна автодороги склон был подрезан, что способствовало развитию оползневого процесса – образовалось 4 оползня. Смещение оползня на 68 км автодороги составило 1,92 м. После ливневых осадков в июле оползень на правой стороне дороги по ходу движения на 70 км сместился на 3,8 м, частично перекрыл автодорогу. Участок ремонтируется – деляпсий срезан, крутизна склона уменьшена и укреплена.	
75.2017.0005	783	Читинский район, с.Домна, левый	04.09.17	Не заверши-	ГЭ	В результате ливневых осадков, выпавших в начале августа, уровень воды в р. Ингода поднялся более чем на 2 м, из-за чего по береговой	

1	2	3	4	5	6	7	8
		берег р.Ингода		лась		линии активизировались гравитационно-эрозионные процессы. У бровки уступа второй надпойменной террасы по трещинам бортового отпора на некоторых участках отделились блоки грунта. Осыпи у подошвенной линии уступа частично размыты. Необходимы мероприятия по укреплению берега или отведение русла реки от села.	
75.2017.0006	784	Балейский район, с.Тасеево, в 1,6 км юго-восточнее центра села, уч. Тасеевское шахтное поле	00.06.17	Не заверши-лась	Эо, От	Отмечались новообразовавшиеся провалы имеющие диаметр до 1 м и видимую глубину до 1,5 м. Провалы приурочены к юго-восточной части Тасеевского карьера, расположены на площадке третьей надпойменной террасы р. Унды, сложенной аллювальными отложениями мощностью 10-15 м, которые перекрывают верхнеюрские эффузивно-осадочные породы. На бортах провалов развиваются овраги глубиной до 3 м, промоины.	
75.2017.0007	785	Карымский район, уч.ж.д. Чита-Забайкальск, перегон ст. Седловая-Бурятская, выемка	00.01.17	Не заверши-лась	Об, Ос	Участок ж/д Чита-Забайкальск, перегон Седловая-Бурятская. Выемка под железнодорожное полотно имеет общую длину 3,5 км и глубину – до 60 м. Выемкой вскрываются рифейские кристаллические сланцы ононской свиты и ультрамилониты. При строительстве железнодорожной выемки были вскрыты многочисленные зоны повышенной трещиноватости горных пород, связанные с тектоническими нарушениями. Кроме того, снятие нагрузки на скальные горные породы при ее сооружении сопровождалось их частичным разуплотнением, что привело к образованию дополнительных трещин. Выветриванию горных пород способствуют атмосферные осадки и сезонные, а в весенний-осенний периоды – суточные циклы промерзания-оттаивания воды в открытых трещинах. В результате выветривания скальных грунтов на бермах и дне выемки формируются осыпи и обвалы, чему способствуют и сотрясения поверхности, возникающие из-за движения поездов.	
75.2017.0008	786	Карымский район, долина р. Горохон, Горхонское россыпное месторождение золота	00.06.17	Не заверши-лась	ГЭ, Эа	Горхонское рассыпное месторождение золота приурочено к долине р. Горхон. На период обследования в средней части долины россыпь отработана почти полностью дражным способом. Геологическое строение отработанного пространства представляет собой техногенные отложения: галевые и эфельные отвалы золотосодержащих отложений – «песков», а также отвалы вскрышных пород – «торфов». В нерекультивированных дражных полигонах наблюдаются промоины, а также трещины бортового отпора. Участок Горхонское рассыпное месторождение золота. Техногенное воздействие на геологическую среду во время разработки россыпи привело к активизации эолового процесса, который в естественных условиях протекал бы со значительно меньшей активность	
75.2017.0	787	г. Чита, пос.	04.09.17	08.09.17	ГЭ	В результате ливневых осадков, выпавших в начале августа, уровень	

1	2	3	4	5	6	7	8
009		Каштак, левый берег р. Читинка				воды в рр. Читинка и Ингода поднялся более чем на 2 м. По берегам рек, сложенных аллювиальными отложениями, активизировались гравитационно-эрозионные процессы, что привело к разрушению 35 м дорожного полотна в дачном поселке на северной окраине г. Чита (пос. Каштак). Необходимо укрепление берега (установка бунов, закрепление бетонными плитами и пр.).	
Красноярский край							
24.2017.0003	788	Краснотуранский район, 2 км западнее д.Уза, уч.а/дороги Минусинск-Беллык, 98 км	00.04.17	Не заверши-лась	Эо	В результате концентрации стока, во время интенсивного снеготаяния и ливневых осадков на участке а/д Минусинск-Беллык, 98 км происходят активный процесс оврагообразования. Верины 2-х оврагов приурочены к водоотводящим трубам под полотном дороги. Далее овраги развиваются по с/х угодьям и соединяясь, образуют третий овраг, наиболее глубокий и протяженный. В III квартале 2017 г активизация процессов овражной эрозии наиболее выражена в вершинах основного и «правого» оврагов. Скорость отступания вершины основного оврага составила 3-3,5 м/год. Кроме того, по левому борту, в 30 м от вершины происходит образование нового отвершка, протяженностью не более 5-6 м, но шириной до 20 м. В вершине «правого» оврага начали развиваться новые отвершки - один из них разрушает защитную дамбу-вал, по левую – создает угрозу насыпи дороги, развиваясь параллельно ей. В результате развития оврагов происходит вывод из оборота значительных площадей с/х угодий и создается угроза разрушения участка автомобильной дороги районного значения.	
24.2017.0004	789	Новоселовский район, 3,5 км западнее п.Новоселово, уч.трассы М-54, 242 км	00.04.17	Не заверши-лась	Эо	Вдоль 242 км трассы М54 Красноярск-Абакан, по обе стороны развиваются овраги протяженностью около 1 км каждый. В 2017 г. активность процессов овражной эрозии на участке остается высокой, но ниже активности 2016 г. Для «левого» оврага отступание вершины составило около 18-20 м. В вершине глубина 1,5 м, ширина 4 м, затем резко увеличивается до 9-10 м. Вершина «правого» оврага продвинулась на 3-4 м относительно 2016 г. Размеры правого отвершка увеличились на 2,5-3 м. Вершина оврага находится в 5 м от полотна дороги, отвершки оврага направлены на с/х угодья.	
24.2017.0005	790	Минусинский район, п.Пригородный	00.04.17	Не заверши-лась	Эо	Отступание вершины основного оврага и вершин отвершков по логу Восточный не превысило 1 м. Активизация отмечается на участке траншеи оптоволокна вдоль полевой дороги на с/х угодья. В 2017 г. отступание вершины оврага, образовавшегося по траншее в 2016 г., составило 12-15 м, на отдельных участках русло оврага увеличилось до 6 м, глубина до 2,5 м.	

1	2	3	4	5	6	7	8
24.2017.0006	791	Минусинский район, п.Суходол	00.04.17	Не заверши-лась	Эо	Активность процессов овражной эрозии отмечалась в привершинной части. Отступание вершины отвершка, образованного в 2016 г. составило около 3,5 м. Кроме того, произошло значительное разрушение правого борта в привершинной части, и образование еще одного, практически параллельного отвершка протяженностью около 8-9 м. Таким образом, по правому борту в вершине оврага, развиваются две активные вершины отвершков. Старая вершина оврага не активна. В средней части русла оврага активность значительно ниже. Вершины отвершков, угрожающие опорам ЛЭП №№ 465 и 466 продвинулись на 0,5-1 м. Произошло увеличение диаметров суффозионных колодцев (до 0,4-0,5 м) в привершинных частях некоторых отвершков.	
24.2017.0007	792	Емельяновский район, д.Кубеково	00.04.17	Не заверши-лась	Эо	На 29 км объездного участка трассы М-53, на уступе древнеоползневого склона, продолжает развиваться овраг, образованный под водоотводящим лотком. В вершине оврага значительных изменений нет, но в 20 м от вершины, по правому борту оврага, образовался отвершек протяженностью около 6 м. Борт оврага, между отвершком и вершиной, подвержен оползанию и обрушению.	
24.2017.0008	793	Минусинский район, 6 км восточнее п. Мал. Минуса, уч. массив Спартак	00.04.17	Не заверши-лась	Эо, Су	Во время проведения обследований обнаружен новый участок развития активных процессов овражной эрозии на частных с/х угодьях массива Спартак. На протяжении около 400 м развивается каскад небольших оврагов и промоин, находящихся по одной линии стока. Максимальные глубины 3-3,5 м, максимальная ширина отдельных участков – 8-9 м. Всего на участке на момент обследования явно выделяются 4 оврага, протяженностью от 20 до 80 м. Судя по состоянию вершин и бортов оврагов – процессы овражной эрозии в III квартале 2017 г. были достаточно активны. Кроме того, на с/х угодьях выявлены 2 суффозионных колодца. Диаметры колодцев 0,3 и 0,6 м, видимая глубина – 1 м. Вниз по склону от колодцев в рельефе отмечается слабовыраженная просадочная ложбина – шириной около 0,3 м, глубиной до 0,15 м. В дальнейшем по таким ложбинам вероятно образование новых эрозионных форм.	
24.2017.0009	794	Балахтинский район, южная окраина п.Приморск	00.04.17	Не заверши-лась	Эо	Наиболее опасны отвершки по правому борту основного оврага. Скорость отступания вершины самого крупного отвершка I порядка, угрожающего сохранности автомобильной дороги, около 3 м. Кроме того, вершины, остальных отвершков, менее значительных, относительно обследований 2016 г. продвинулись не более 1,5. Средняя скорость процесса для участка составила 2 м/год.	
24.2017.0	795	Минусинский	00.04.17	Не	Эо	Отступание вершины основного оврага относительно 2016 г.	

1	2	3	4	5	6	7	8
010		район, 5 км юго-западнее д.Быстрая, уч.Зубаревский		заверши-лась		составило 2 м. Зафиксированы свежие обрушения левого борта в районе фермы КРС и образование протяженных промоин по старой полевой дороге на ферму.	
24.2017.0011	796	Канский район, 1 км западнее п. Анцырь, уч. а/дороги Анцырь-Хаерино	00.04.17	Не заверши-лась	Эо	На древнеоползневом склоне правого борта долины р. Кан, на верхнем уступе, зафиксировано 5 крупных оврагов. Протяженность оврагов достигает 100-150 м, глубина их может достигать 12-15 м. На поверхности второго (нижнего) оползневого уступа, также прослеживаются активные овраги, находящиеся по одной линии стока с первыми. Скорости продвижения вершины оврага на второй ступени не превысили 3-4 м. Рост отвершков по левому борту продолжается, со скоростью 1-1,5 м/год. Для верхних оврагов (оврагов первого уступа) отмечаются обрушения в бортах, но значительного роста в вершинах не произошло.	
24.2017.0012	797	Ачинский район, 3,5 км юго- восточнее д.Красновка, 15 км севернее г. Ачинск, уч.Центральный	00.04.17	Не заверши-лась	Оп	Активность оползневого процесса на этом участке связана с уровенным режимом р.Чулым. Нижняя часть оползня, в результате подмыва паводковыми водами была разрушена, что привело к достаточно интенсивным (по визуальным оценкам) оползневым подвижкам. Наибольшая активность отмечается в самой нижней (около 60 м) полосе. На этом участке выделяются 3-4 ступени с высотой стенок от 1,5 до 4 м. Трещины отрыва достигают 1-1,2 м.	
24.2017.0013	798	г. Красноярск, мкр. Зеленая Роща, Ульяновский проспект	20.08.17	Не заверши-лась	ГЭ	Во время ливневых дождей в августе, произошли значительные обрушения уступа высокой террасы р. Енисей. Площадь единовременных обрушений составила около 130-150 м². Кроме того, на участке активизировались суффозионные и оползневые процессы. Размеры современного суффозионного провала 1,5×2 м, глубиной до 1 м; объем смещенных оползневых масс составил около 70-80 м³. На отдельных участках происходит разрушение дорожки.	
Кемеровская область							
42.2017.0002	799	Гурьевский район, с.Новопестерево	00.04.17	Не заверши-лась	ГЭ	В центральной части села на ул.Садовая происходит размыв проезжей части дороги. Усадьбы домов №№ 42 и 44 находятся в 15 – 20 м от берегового уступа. Максимальное отступание берега в 2017 г. составило 1,5-2 м.	
42.2017.0003	800	Крапивинский район, пгт.Крапивинский	00.04.17	Не заверши-лась	ГЭ	Произошел размыв и сглаживание крутых уступов полуцирков на 3 участках. В верхнем течении реки на участке протяженностью 45 м при среднем размыве 1 м; на участке протяженностью 75 м – 0,5 м; на участке протяженностью 500 м – 0,5 м. На участке размываются земли водного фонда.	
42.2017.0	801	Новокузнецкий	00.04.17	Не	ГЭ	Продолжается размыв ниже по потоку р.Томи от отсыпанного участка	

1	2	3	4	5	6	7	8
004		район, с.Боровково		завершилась		берега (участок протяженностью 230 м и шириной 15 м). Протяженность размытого участка в 2017 г. достигла 220 м.	
42.2017.0005	802	Тисульский район, с.Серебряково	00.04.17	Не завершилась	ГЭ	Размыв берега происходит на участке протяженностью 300 м. В 2017 г. на объекте наблюдений размыв произошел на 3 фрагментах берега с запада на восток. На участке №1, протяженностью 58 м произошел размыв со средним значением 3 м, на участке № 2 протяженностью 50 м – 3,5 м, на участке № 3 протяженностью 105 м – 2,8 м.	
42.2017.0006	803	Чебулинский район, пгт.Верх-Чебула	00.04.17	Не завершилась	ГЭ	В 2017 г. размыв зафиксирован на участке правого берега реки вблизи подвесного пешеходного моста Длина размытого участка составила 110 м. Максимальный размыв произошел выше по течению реки от моста. Размыв берега составил 1-5 м. В зоне размыва находятся огороды домов №№ 15 и 17 на ул. Набережная.	
42.2017.00007	804	Кемеровский район, п.Пригородный	00.04.17	Не завершилась	Пт	В п. Пригородный дома и приусадебные участки частного жилого сектора, расположенные на ул. Полевая, Садовая, Угловая, Зеленая, Центральная и многих других остаются подтопленными. Площадь подтопления составляет 6 км². Часть жилых строений находится в состоянии, не пригодном для проживания. Основной причиной активизации процесса подтопления – природные условия, которые осложнены многочисленными техногенными факторами (отсутствие дренажных сооружений, сброс технических вод предприятиями г. Кемерово, трасса водовода, проложенная через территорию населенного пункта и др.).	
42.2017.00008	805	Крапивинский район, с.Борисово	00.04.17	Не завершилась	Пт	На ул. Перспективная дренаж не обустроен. Перед домами находятся заболоченные участки. Площадь подтопления – 8 км².	
42.2017.00009	806	Яшкинский район, с.Поломошное	00.04.17	Не завершилась	Эо	В с. Поломошное длина оврага достигает 45-50 м, ширина от 15 до 40 м, глубина вреза – от 5-10 до 15 м. Выше по склону вдоль трещины отрыва началось зарождение нескольких оврагов.	
42.2017.0010	807	Кемеровский район, д.Пугачи	00.05.17	Не завершилась	ГЭ	На уч. д. Пугачи размыв происходит на тех же участках, что и 2016 г. Размыв произошел фрагментами в виде цирков с глубиной размыва 0,5-2 м. Высота размытых участков берега над урезом р. Томи достигает 3,5-4 м.	
42.2017.00011	808	Кемеровский район, с.Березово-2	00.05.17	Не завершилась	ГЭ	В с. Березово расстояние от эрозионного уступа р. Березовки до дома № 8 на ул. Абызова составляет 4-6 м. Начался размыв и обрушение поселковой дороги. Максимальное отступление бровки эрозионного уступа составило 0,5 м.	
42.2017.00012	809	Кемеровский район, с.Березово-1	00.05.17	Не заверши-	Су	В связи с уплотнением насыпных грунтов проседание продолжается, просадка поверхности фиксируется визуально. Диаметр проседаемой	

1	2	3	4	5	6	7	8
				лась		поверхности увеличился до 15 м. Новых суффозионных провалов не образовалось.	
42.2017.0 0013	810	Беловский район, пгт.Краснобродский	00.05.17	Не заверши-лась	Пт	В пгт. Краснобродский дренажный комплекс сооруженный для осушения юго-западной части населенного пункта работает с незначительной нагрузкой. Из трех дренажных скважин эксплуатируется одна, расположенная к наиболее пониженной части рельефа на ул. Ломоносова. Даже вблизи работающей скважины уровень подземных вод находится выше поверхности земли. Территории, примыкающая к скважине заболочена. Уровень подземных вод в колодце, обустроенном над скважиной, установился на глубине 1 м. Фундаменты домов и подвальные помещения домов юго-западной части населенного пункта по-прежнему подтоплены. Дренажная канава, проложенная вдоль окружной дороги и предназначенная для сбора стекающих поверхностных и ПВ сухая, функцию осушения не выполняет. Площадь подтопления составляет 2 км².	
42.2017.0 0014	811	Прокопьевский район, п.Школьный	00.07.17	Не заверши-лась	Пт	Подтопление наблюдается на приусадебных участках и жилых домов №№ 12, 23, 25 и 27 по ул. Советская. Природные гидрогеологические условия на территории п. Школьный (естественный режим стока и дренирования территории) нарушены. Все сооружения населенного пункта, в особенности автомобильные дороги, расположены поперек направления потоков и не оборудованы дренажными сооружениями. Выше по потоку подземных и поверхностных вод сформирована область их подпора, чем и обусловлено подтопление жилых домов.	
Новосибирская область							
54.2017.0 0001	812	Барабинский район, г. Барабинск	15.02.17	Не заверши-лась	Пт	Максимальное стояние уровней отмечалось 10 мая, когда глубина залегания уровней не достигала 1 м при преобладающей глубине менее 0,5 м. В дальнейшем наблюдалось постепенное снижение уровней с подъёмом в июле в среднем на 0,15 м. На конец сентября уровни были выше предвесенних минимумов в среднем на 0,53 м и ниже весенних максимумов в среднем на 0,99 м. В течение летне-осеннего периода уровни находились на преобладающих глубинах 0,5-1 м. Оставались подтопленными объекты жилой застройки (интенсивно в северной части – ул. Тургенева, Шевченко, Ломоносова, переулок Водопроводный, Невская, Пар-тизанская; северо-восточной части – ул.Путевая, Краскома, Ленина, переулок Лазо; центральной части – ул. Ульяновская, Революционная, Карла Маркса, Садовая, Мая-ковского, Розы Люксембург, Октябрьская, Мира; южной части – ул.Пушкина, Зелёная, Победы, Чехова, Сельская, Коммунистическая, Здвинская, Островского)	

1	2	3	4	5	6	7	8
						и промышленного производства (элеватор, хлебозавод), территории селитебных зон. По перечис-ленным улицам много брошенных огородов, покосившихся домов, с трещинами, особенно разрушаются шлакоблочные. В домах отмечается повышенная влажность пола и стен, плесень. В подтопленном состоянии находится большая часть водопроводящих коммуникаций, что способствует быстрому их износу, частым авариям. Происходит переувлажнение пониженных мест, заболачивание межгривных понижений, засоление грунтов корнеобитаемого слоя. Природные факторы подтопления: атмосферные осадки; затруднённый поверхностный сток талых и дождевых вод с застроенной территории; слабая естественная дренированность территории; близкое залегание глинистого водоупора убинской свиты. Техногенные факторы подтопления: насыпи существующих автодорог, препятствующие поверхностному стоку талых и дождевых вод; засыпка естественных водоёмов, служивших местом сбора поверхностных вод с окружающей территории; отсутствие соответствующей вертикальной планировки при строительстве города, отсутствие систем дренажа и ливневой канализации; наличие на территории насыпей под Транс-Сибирскую железнодорожную магистраль, автомобильных дорог, построенных без достаточного учёта гидрологических особенностей территории и препятствующих естественному стоку.	
54.2017.0002	813	Татарский район, г. Татарск	10.03.17	Не заверши-лась	Пт	Максимальное стояние уровней отмечалось в середине апреля-начале мая, когда глубина залегания уровней не достигала 1 м при преобладающей глубине менее 0,5 м. В дальнейшем наблюдалось постепенное снижение уровней с подъёмами во второй половине июля в среднем на 0,37 м и сентябре в среднем на 0,25 м. В течение летне-осеннего периода уровни находились на преобладающих глубинах 0,5-1 м. По-прежнему подтоплены объекты жилой застройки и промышленного производства (железнодорожная станция, элеватор, пищекомбинат, хлебокомбинат), территории селитебных зон. В зданиях отмечается повышенная влажность пола и стен первых этажей, плесень. В подтопленном состоянии находится большая часть водопроводящих коммуникаций, проложенных на глубине 2-3 м, что способствует быстрому их износу, частым авариям. Происходит переувлажнение пониженных мест, заболачивание межгривных понижений, засоление грунтов корнеобитаемого слоя.	

1	2	3	4	5	6	7	8
						Основные факторы подтопления: плоский рельеф, слабая естественная дренированность, геологическое строение застраиваемых территорий; инженерно-геологические и гидрогеологические особенности территорий; вертикальная планировка застраиваемых территорий, засыпка естественных дрен, отсутствие ливневой канализации, утечки из водопровода, уплотнение грунтов и т.д. Необходимо на долговременной основе планировать и осуществлять комплекс ин-женерных мероприятий: упорядочение и дренаж поверхностного и подземного (грунтового) стока; вертикальная планировка и подсыпка строительных площадок; предотвращение и оперативное устранение аварий водонесущих коммуникаций.	
54.2017.0003	814	Баганский район, с. Баган	05.03.17	00.09.17	Пт	Максимальное стояние уровней отмечалось с 20 апреля по 10 мая, когда глубина залегания уровней не достигала 1 м при преобладающей глубине менее 0,5 м. В дальнейшем наблюдалось постепенное монотонное снижение до конца сентября. На конец сентября уровни были выше предвесенних минимумов в среднем на 0,12 м и ниже весенних максимумов в среднем на 1,45 м. В течение летне-осеннего периода уровни находились на преобладающих глубинах 1-2 м. В подтопленном состоянии остаётся большая часть водопроводящих коммуникаций, проложенных на глубине 2-3 м, что способствует быстрому их износу, частым авариям. Происходит переувлажнение пониженных мест, заболачивание межгривных понижений, засоление грунтов корнеобитаемого слоя. Степень активизации площадная. Повышение грунтовых вод произошло в отложениях карасукской свиты. Основные факторы подтопления: плоский рельеф, слабая естественная дренированность, геологическое строение застраиваемых территорий; инженерно-геологические и гидрогеологические особенности территорий; вертикальная планировка застраиваемых территорий, засыпка естественных дрен, отсутствие ливневой канализации, утечки из водопровода, уплотнение грунтов и т.д.	
54.2017.0004	815	г. Новосибирск	10.03.17	00.09.17	Пт	Максимальное стояние уровней отмечалось в мае. Затем наблюдалось постепенное снижение до конца сентября. На конец сентября уровни были выше предвесенних минимумов в среднем на 0,33 м и ниже весенних максимумов – на 0,88 м. В левобережной части города процесс техногенного подтопления охватывает значительную часть Кировского района, в том числе промышленную зону. В правобережной части подтоплены значительная часть Дзержинского и Калининского районов, Гусинобродский и Волочаевский жилмассивы. Активно развиты процессы подтопления на	

1	2	3	4	5	6	7	8
						Кропоткинском, Линейном, Восточном, Плехановском жилмассивах. Общая площадь подтопления порядка 33,66 км². Основные факторы подтопления: возрастающая техногенная деятельность человека, утечки из городских водонесущих коммуникаций, строительство подпорных стенок и набережных, перекрывающих выход грунтовых вод в естественные речные потоки; направление стока рек Каменка, Ельцовка-1 на значительном протяжении русла заключены в коллектор, что нарушает естественный приток подземных вод, питающих реки, уменьшает водосборную площадь и вызывает подъем горизонта подземных вод; необеспеченность ливневой канализацией; неудовлетворительное состояние существующих коллекторов, их заиливание в связи с предельно малыми уклонами, неудовлетворительным содержанием дорог (утрачены дождеприёмники, не убирается лотковая часть, отсутствуют поребрики или газоны возвышаются над ними, несвоевременно убираются загрязнения, накопившиеся в зимний период).	
54.2017.0005	816	г. Бердск	10.03.17	Не заверши-лась	Пт	В летне-осенний период глубина залегания зеркала грунтовых вод картируется в интервале 0,5-1,3 м. На конец сентября уровни были выше предвесенних минимумов в среднем на 1,26 м и ниже весенних максимумов в среднем на 0,14 м. Наиболее интенсивно остаются подтопленными территории, расположенные в пределах улиц Искитимская, Рабочая, Павлова, Рогачева, Октябрьская, Водосточная, Красноармейская, Гагарина, Урицкого. Условия проживания антисанитарные, подтоплены погреба, огороды не использованы, разрушаются фундаменты строений, частные дома приходят в негодное состояние. В подтопленном состоянии находились и прилегающие подземные коммуникации, в частности, трубопровод хозяйственно-питьевого водоснабжения. Основные факторы подтопления: геологическое строение застраиваемых территорий (под современными почвами мощностью от 2 до 5 м залегают saQIII (лессовидные супеси с линзами и прослоями суглинков). Ниже вскрываются saQI-IIkd мощностью до 20-25 м, представленные субаэральными лессовидными слабопроницаемыми суглинками и супесями); нарушение естественного равновесия территории (планировочные работы с засыпанием понижений техногенными образованиями местами мощностью до 10 м, привели к выравниванию территории). Это значительно уменьшило поверхностный сток и сконцентрировало в своих пределах атмосферные осадки.	
54.2017.0	817	Чистоозёрный	25.03.17	00.09.17	Пт	По опросным данным начало активизации подтопления ежегодно	

1	2	3	4	5	6	7	8
011		район, пгт.Чистоозёрное				приходится на конец марта-начало апреля и продолжается до конца мая-июня, при затяжной дождливой погоде не прекращается летом и осенью. Ежегодно, в том числе и в 2017 г., в весенне-летний период на преобладающей территории посёлка глубина залегания зеркала грунтовых вод составляет менее 1 м. Максимальный уровень воды часто в этот период достигает поверхности земли. На период обследования (5-6 июля) на улицах Рабочая, Матросова, Маяковского, Некрасова, Чапаева, Зоново, Свердлова, Олега Кошевого многие заглублённые объекты – погреба, канализационные люки, подвальные помещения частного жилого сектора – были подтоплены. В квартирах запах сырости, плесень на стенах, грибок пола. В подтопленном состоянии находится большая часть водопроводящих коммуникаций, что способствует быстрому их износу, частым авариям. Много покосившихся и брошенных домов. Многие огороды брошены, заросли болотной растительностью. Происходит переувлажнение пониженных мест, заболачивание межгривных понижений. Природные факторы подтопления: атмосферные осадки; общий региональный подъём уровней грунтовых вод; затруднённый поверхностный сток талых и дождевых вод с застроенной территории, обусловленный почти плоским рельефом; близкое залегание глинистого водоупора павлодарской свиты; слабая естественная дренированность территории, обусловленная небольшой глубиной её расчленения и широким распространением слабо фильтрующих и низко дренирующих грунтов чановской свиты, способных ухудшать свои фильтрационные свойства под воздействием строительства и эксплуатации зданий и сооружений. Техногенные факторы подтопления: насыпи существующих автодорог, препятствующие поверхностному стоку талых и дождевых вод; утечка воды из водонесущих коммуникаций, канализационных ям; поливные воды зелёных насаждений и приусадебных участков. Борьба с подтоплением на территории посёлка практически не ведётся.	
54.2017.0012	818	Купинский район, г.Купино	25.03.17	00.09.17	Пт	Начало активизации ежегодно приходится на март и продолжается до конца апреля-мая, при затяжной дождливой погоде не прекращается летом и осенью. Ежегодно в этот период глубина залегания зеркала грунтовых вод составляет менее 0,5 м. На период обследования в начале июля 2017 г. уровень грунтовых вод отмечается на глубине до 1 м. По опросным данным более всего подвержены подтоплению грунтовыми водами северная часть города (ул.Мичурина, Бельского, Р.Люксембург, Садовая, Партизанская). Осушение города осуществляется	

1	2	3	4	5	6	7	8
						открытым способом по двум магистральным каналам круглосуточно с производительностью около 100 м³/час и около 360 м³/час). Эффективность достаточно высокая.	
54.2017.0 013	819	Ордынский район, пгт.Ордынское, уч.Ордынский	00.04.17	00.09.17	ГЭ, Эо	В 7 точках из 14 обследованных отмечены обрушения до 0,5-1,0 м. Наблюдаются трещины отседания с шириной раскрытия до 10-15 см и видимой глубиной до 0,5 м, которые оконтуривают блоки размером до 1×3 м. На остальных 7 точках склоны водохранилища высотой до 3-4 м, задернованы, покрыты густой растительностью и кустарником. Уч. Ордынский. При обследовании 14 км прибрежной зоны встречено 3 небольших и 1 глубокий развивающихся оврага. Небольшие овраги имеют размеры: длина 1,7-2,7 м, ширина 1,1-3,1 м, глубина 1,6-2 м. Бровки бортов выражены отчетливо. Борта обрывистые, обваливаются. Развивающийся овраг характеризуется длиной 83 м, шириной у устья 15 м, в середине – 25 м, глубина вреза – около 10 м. Борта обрывистые, обваливаются. Склоны вверху около 6-7 м вертикальные, ниже – осыпи, оползни с уклоном 60-80о. Вершина развивающего оврага шириной 11 м представляет собой водобойный колодец глубиной 6-7 м, далее – постепенное углубление днища до 10 м. Склоны вверху вертикальные, ниже – осыпи, оползни. Рост вершины оврага в 2017 г. составил порядка 2,5-3 м.	
54.2017.0 014	820	Ордынский район, сс.Спирино, Кирза, уч.Спиринский	00.04.17	00.09.17	ГЭ, Эо	На обследованной территории вдоль берега Новосибирского водохранилища в районе с. Кирза протяжённостью 14 км гравитационно-эрозионные процессы практически не развиваются. В 2 точках из 12 обследованных отмечаются свежие обрушения в диаметре 50-60 см. В районе с. Спирино гравитационно-эрозионные процессы в среднем составляют от 0,35 до 0,94 м/год. Склоны берегов неустойчивые, имеются отслоения, отмечаются свежие обрушения в диаметре 30-70 см. На многих наблюдательных точках отмечаюися трещины отседания с шириной раскрытия до 10 см и видимой глубиной до 0,5 м, которые оконтуривают блоки площадью до 2-3 м². На северной окраине с. Кирза, прослеживаются 2 развивающихся оврага длиной 140-145 м и шириной от 6-8,6 до 15 м, глубиной вреза – более 10 м. Борта обрывистые, обваливаются, наблюдаются трещины отседания с шириной раскрытия до 10-25 см и размером 0,5×1 м. Вершина оврагов округлая в плане, представляет собой водобойный колодец с четко очерченной бровкой. Верхняя часть бортов отвесная, высота составляет 6-7 м. Склон и днище завалены обрушенной горной породой. Вершина оврага в наблюдательной точке №9 приближается к ЛЭП (расстояние до ближайшей опоры 6,3 м).	

1	2	3	4	5	6	7	8
						В 600 м северо-восточнее, обследован развивающийся овраг длиной 9 м, шириной 5,3 м, глубиной вреза – 8-10 м. Борта обрывистые, обваливаются, наблюдаются трещины отседания с шириной раскрытия до 10-25 см и размером 0,6×1,2 м. Прирост вершин, обследованных 3-х оврагов в 2017 г., составил порядка 2-3 м. За юго-западной окраиной с. Спирино прослеживаются 4 растущих оврага длиной от 3,1 до 28 м, шириной у устья 5-15 м, у вершины 3,2-4,7 м, расположенных на расстоянии от 20 до 470 м друг от друга. Глубина вреза – от 2,5 до 6 м. Борта обрывистые, обрушаются, наблюдаются трещины отседания. Вершины оврагов представляют собой водобойный колодец глубиной 10-1,5 м. Скорость отступания вершин оврагов оценить трудно, но вертикальные борта, интенсивно обрушивающиеся и практически не задернованные, являются признаком о достаточно активном развитии процесса. Отступание вершин оврагов составляет 2-3 м/год.	
Омская область							
55.2017.0001	821	Омский, Черлакский районы, правый берег р. Иртыш от адм.границы Омского и Черлакского районов до с. Татарка, уч.Черлакский	00.04.17	Не заверши-лась	Эо, Оп	Из 13 наблюдаемых оврагов 4 активно развиваются. Прирост вершин наблюдаемых оврагов варьирует в пределах от 0,0 до 4,1 м, средняя велдичина – 0,33 м. Активность развития овражной эрозии понизилась по сравнению с прошлогодней в 2,7 раз. Смещение бровки наблюдаемых оползневых тел на участке с августа 2016 г. по август 2017 г. составило 0-0,2 м, в среднем по участку – 0,02 м.	
55.2017.0002	822	Нижнеомский, Омский, Кормиловский, Калачинский районы, долина р.Омь от г.Омска до с.Нижняя Омка, уч.Нижнеомский	00.04.17	Не заверши-лась	Эо, Оп	Из 19 наблюдаемых оврагов 8 активно развиваются. Прирост вершин наблюдаемых оврагов варьирует в пределах от 0 до 5 м, средняя величина – 0,64 м. Активность развития овражной эрозии в 1,5 раза ниже прошлогодней. Смещение бровки наблюдаемых оползневых тел на участке с августа 2016 г. по август 2017 г. составило 0-0,2 м, в среднем по участку – 0,02 м.	
55.2017.0003	823	Горьковский район, правый берег р.Иртыш в окрестностях с.Исаковка, уч.	00.04.17	Не заверши-лась	Эо	Из 8 наблюдаемых оврагов 7 активно развиваются. Прирост вершинной части оврагов происходит в основном под воздействием временных поверхностных водотоков в период весеннего снеготаяния. В 2017 г. прирост вершинной части оврагов составил в среднем 1,4 м.	

1	2	3	4	5	6	7	8
		Омский					
55.2017.0004	824	Москаленский район, на склонах озёрной котловины оз.Эбейты, уч. оз. Эбейты	00.04.17	Не заверши-лась	Эо	Из 5 наблюдаемых оврагов 3 активно развиваются. Прирост вершинной части оврагов происходит в основном под воздействием временных поверхностных водотоков в период весеннего снеготаяния. Прирост вершин наблюдаемых оврагов варьирует в пределах от 0 до 1,1 м, в среднем прирост по участку составил 0,3 м.	
55.2017.0005	825	Муромцевский район, долина р.Тара, между д.Бергамак и с.Муромцево, уч. Лисинский	00.04.17	Не заверши-лась	ГЭ	На обрывистом берегу р. Тара (высота – от 5 до 15 м, крутизна склона –70-90°) отмечена низкая активность гравитационно-эррозионных процессов – смещение бровки наблюдаемых оползневых тел составило 0,03 м.	
55.2017.0006	826	Называевский район, г.Называевск, уч. Называевский	00.04.17	Не заверши-лась	Пт	Юго-восточная, восточная и юго-западная части г. Называевск подтоплены, местами заболочены. Уровень грунтовых вод на территории жилых строений 0,1-0,6 м. Рекомендуется восстановление дренажных систем.	
55.2017.0007	827	Русско-Полянский район, склоны, прилегающие к логу Тлеусай, 8 км на СВ от с.Калинино, уч. Калининский	00.04.17	Не заверши-лась	Эо	Овраги участка не глубокие, извилистой формы, некоторые отвершки имеют древовидную форму с признаками активного роста. Высота бортов в вершинной части 0,7-5 м. Крутизна склонов – 30-60°. Прирост вершинной части оврагов в среднем составил 0,4 м, по тальвегу выход грунтовых вод на поверхность. Причина овражной эрозии – техногенное воздействие.	
55.2017.0008	828	Омский район, с.Ребровка	00.04.17	Не заверши-лась	Пт	Центральная и западная части села подтоплены. В подполе и подвалах жилых домов стоит вода. Причиной является хозяйственная деятельность человека – прокладка газо- и водопроводов., а также климатический фактор (большое количество осадков).	
55.2017.0009	829	Омский район, с.Ульяновка	00.09.17	Не заверши-лась	Пт	В западной части села наблюдается участок, заросший камышами. В период весеннего снего-таяния в погребах домов появляется вода, уровень от 5 до 10 см. Причиной подтопления являются климатические условия и хозяйственная деятельность человека – прокладка газо- и водопроводов.	
Томская область							
70.2017.0015	830	Колпашевский район, г. Колпашево	00.04.17	Не заверши-лась	ГЭ	В г. Колпашево началось интенсивное разрушение берегового склона в районе ул. Центральной, в результате чего была полностью разрушена усадьба и жилой дом № 17, под угрозой разрушения находится жилой дом № 15/1 (строение находится в 1,18 м от бровки склона). Активность процесса высокая. Величина переработки берегового склона – от 0,1 до 39,0 м.	

1	2	3	4	5	6	7	8
70.2017.0016	831	Колпашевский район, с. Тогур, мкр. Шпальный	00.04.17	Не заверши-лась	ГЭ	В с. Тогур (мкр. Шпальный) продолжается разрушение усадеб по ул. Шпальной №№ 15-19. Активность процесса высокая. Величина переработки берегового склона – от 0,1 до 6,2 м	
70.2017.0017	832	Колпашевский район, с. Тогур, мкр. Рейд	00.04.17	Не заверши-лась	ГЭ	В с. Тогур (мкр. Рейд) продолжается разрушение усадьбы №16 по ул. Усть-Кеть. Активность процесса высокая. Величина переработки берегового склона – от 0,1 до 5,5 м.	
70.2017.0018	833	Колпашевский район, д. Тискино	00.04.17	Не заверши-лась	ГЭ	В д. Тискино также продолжилось разрушение ул. Кооперативной. Активность процесса высокая. Величина переработки берегового склона – от 0,2 до 10,0 м.	
70.2017.0019	834	Кривошеинский район, с. Кривошеино	00.04.17	Не заверши-лась	ГЭ	Активность процесса средняя. Величина переработки берегового склона – от 0,0 до 1,5 м.	
70.2017.0020	835	Чаинский район, с. Подгорное	00.04.17	Не заверши-лась	ГЭ	Активность процесса средняя. Величина переработки берегового склона – от 0,0 до 2,0 м.	
ДАЛЬНЕВОСТОЧНЫЙ ФЕДЕРАЛЬНЫЙ ОКРУГ							
Приморский край							
1	836	Приморский край, Хасанский район	08.08.17	00.00.00	Оп	Активизация оползневого процесса на склонах железнодорожной ветки Барановский – Хасан (возле Хасан), где в результате оползания глинистых грунтов были перекрыты железнодорожные пути на участке длиной 200 м.	
2	837	Приморский край, Уссурийский район, а/д Раздольное – Уссурийск, 6,5 км	08.08.17	00.00.00	Оп	Активизация оползневого процесса была зафиксирована на участках 6,5 км, 7,0 км, 7,3 км автодороги Раздольное – Тереховка – Уссурийск. На участке 6,5 км автодороги отмечен сход оползня шириной до 100 м при длине до 25 м, мощность оползня в головной части ~1,5-2,0 м. Оползневые отложения (галечно-гравийно-песчаные с включениями мелких и средних глыб серых базальтов) мощностью до 0,7 м перекрыли дорожное полотно с заполнением придорожного кювета на участке длиной 25 м.	
3	838	Приморский край, Хасанский район, а/д Раздорльное – Хасан	08.08.17	00.00.00	Эо	Эрозионные процессы активизировались на 0,3 км автодороги Раздольное – Хасан, на выезде из п. Раздольное по ул. Шосейная. Было разрушено 180 м придорожной выемки, глубина эрозионного вреза – до 2,3 м, ширина в нижней части – 2,5-3,0 м, в верхней – до 3,5 м. Наблюдался подмыв дорожного полотна на некоторых участках длиной до 30 м с формированием ниш (0,6-0,7 м). Существует опасность обрушения полотна.	
5	839	Приморский край, Хасанский район,	08.08.17	00.00.00	Оп	На 5,9 км автодороги Раздольное – Хасан отмечалась активизация оползневого процесса в комплексе с овражной эрозией. Общая ширина	

1	2	3	4	5	6	7	8
		а/д Раздольное-Хасан, 5,9 км				участка развития процесса ~130 м, длина – до 40 м. Был перекрыт участок автодороги длиной 40м. Оползневыми отложениями (гравийно-галечные с глинисто-песчаным заполнителем с включениями крупных валунов) мощностью до 0,5-0,7 м было перекрыто железнодорожное полотно (ж/д Барановская – Краскино) на участке до 15 м. В средней части оползня наблюдалась стенка отрыва высотой до 2,5-3,0 м. В результате схода оползня также наблюдались деформации 2 опор ЛЭП и незначительное смещение опор, отмечались высачивания подземных вод с расходом >0,01 л/с.	
8	840	Приморский край, Хасанский район, а/д Раздольное – Хасан, 22,5 км	08.08.17	00.00.00	Эо	На 25,5 км автодороги Раздольное – Хасан была отмечена активизация овражной эрозии с частичным разрушением дорожного полотна и разрушениями обочины и придорожного кювета длиной 180 м, глубина эрозионного вреза составила 1,8 м при ширине ~10 м. Активизация процесса была вызвана переливом через дорогу паводковых вод р. Ананьевка.	
9	841	Приморский край, Хасанский район, а/д Раздольное – Хасан, 70,6 км	29.08.17.	00.00.00	Эо	На участке 70,6 км автодороги Раздольное – Хасан отмечена активизация овражной эрозии (глубина эрозионного вреза – до 1,4 м), в результате чего отмечалось частичное разрушение полотна дороги на участке длиной 190 м, шириной до 8 м. В днище оврага отмечалось разрушение бетонных лотков электрической связи.	
10	842	Приморский край, Хасанский район, а/д Раздольное – Хасан, 27,1 км	30.08.17	00.00.00	Су	На 27,1 км автодороги Раздольное – Хасан отмечалась активизация суффозионного процесса на участке 15×10 м с характерным проседанием дорожного полотна на 0,3-0,4 м, отмечались трещины отрыва.	
Хабаровский край							
11	843	Хабаровский край, р-он им. Лазо, ФАД Уссури, 80,2 км	00.09.17	00.00.00	Эп	Активизация эрозионного процесса (промоины, оплывины).	
12	844	Хабаровский край, Нанайский район	00.09.17	00.00.00	Ос	Активизация осыпного процесса на автодороге Лидога – Ванино.	
Сахалинская область							
13	845	Сахалинская область г.Холмск	00.09.17	00.00.00	Оп	Активизация оползневого процесса в черте города.	
14	846	Сахалинская область п.Чехов	00.09.17	00.00.00	Оп	Активизация оползневого процесса на автомобильной дороге.	

ФЕДЕРАЛЬНОЕ АГЕНТСТВО ПО НЕДРОПОЛЬЗОВАНИЮ

ФГБУ "Гидроспецгеология"

Центр государственного мониторинга состояния недр и региональных работ

КАРТА

МЕСТОПОЛОЖЕНИЯ НАСЕЛЕННЫХ ПУНКТОВ И ХОЗЯЙСТВЕННЫХ ОБЪЕКТОВ, ИСПЫТАВШИХ ВОЗДЕЙСТВИЕ ЭГП В III КВАРТАЛЕ 2017 Г. НА ТЕРРИТОРИИ ЦЕНТРАЛЬНОГО ФЕДЕРАЛЬНОГО ОКРУГА

Приложение 2
Лист 1

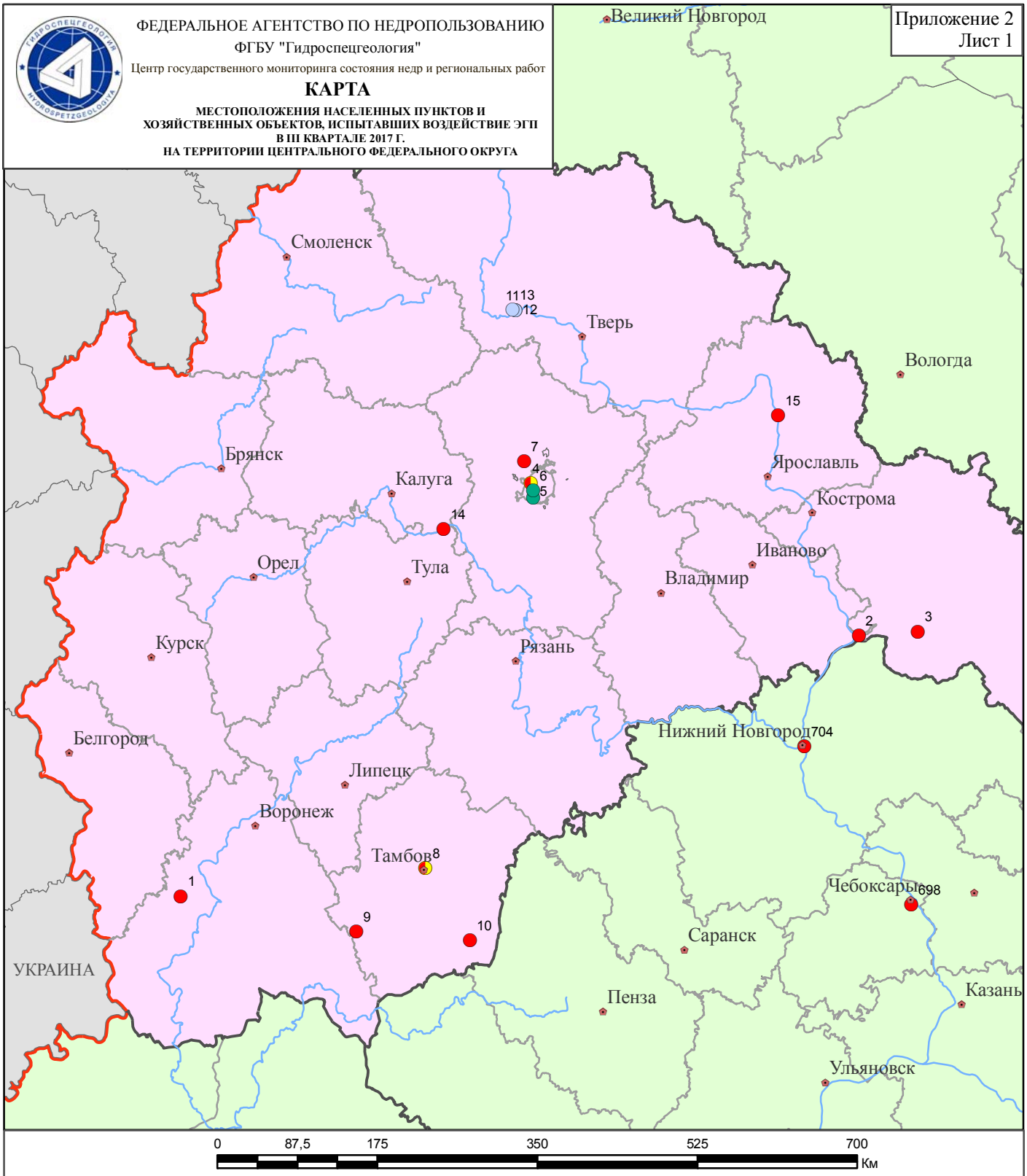

0 87,5 175 350 525 700 Км

Условные обозначения

8 Населенные пункты и хозяйственные объекты, испытавшие воздействие ЭГП (цифрой указан номер строки в таблице с описанием случая активизации ЭГП, см. Приложение 1)

Типы ЭГП
(оказавших воздействие на объекты)

- Оползневой процесс
- Суффозионный процесс
- Комплекс оползневого процесса и овражной эрозии
- Комплекс карстово-суффозионных процессов

Прочие обозначения

- Границы субъектов РФ
- Границы федеральных округов РФ
- Государственная граница РФ
- Столицы субъектов РФ

ФЕДЕРАЛЬНОЕ АГЕНТСТВО ПО НЕДРОПОЛЬЗОВАНИЮ

ФГБУ "Гидроспецгеология"

Центр государственного мониторинга состояния недр и региональных работ

КАРТА

МЕСТОПОЛОЖЕНИЯ НАСЕЛЕННЫХ ПУНКТОВ И ХОЗЯЙСТВЕННЫХ ОБЪЕКТОВ, ИСПЫТАВШИХ ВОЗДЕЙСТВИЕ ЭГП В III КВАРТАЛЕ 2017 Г. НА ТЕРРИТОРИИ СЕВЕРО-ЗАПАДНОГО ФЕДЕРАЛЬНОГО ОКРУГА

Приложение 2
Лист 2

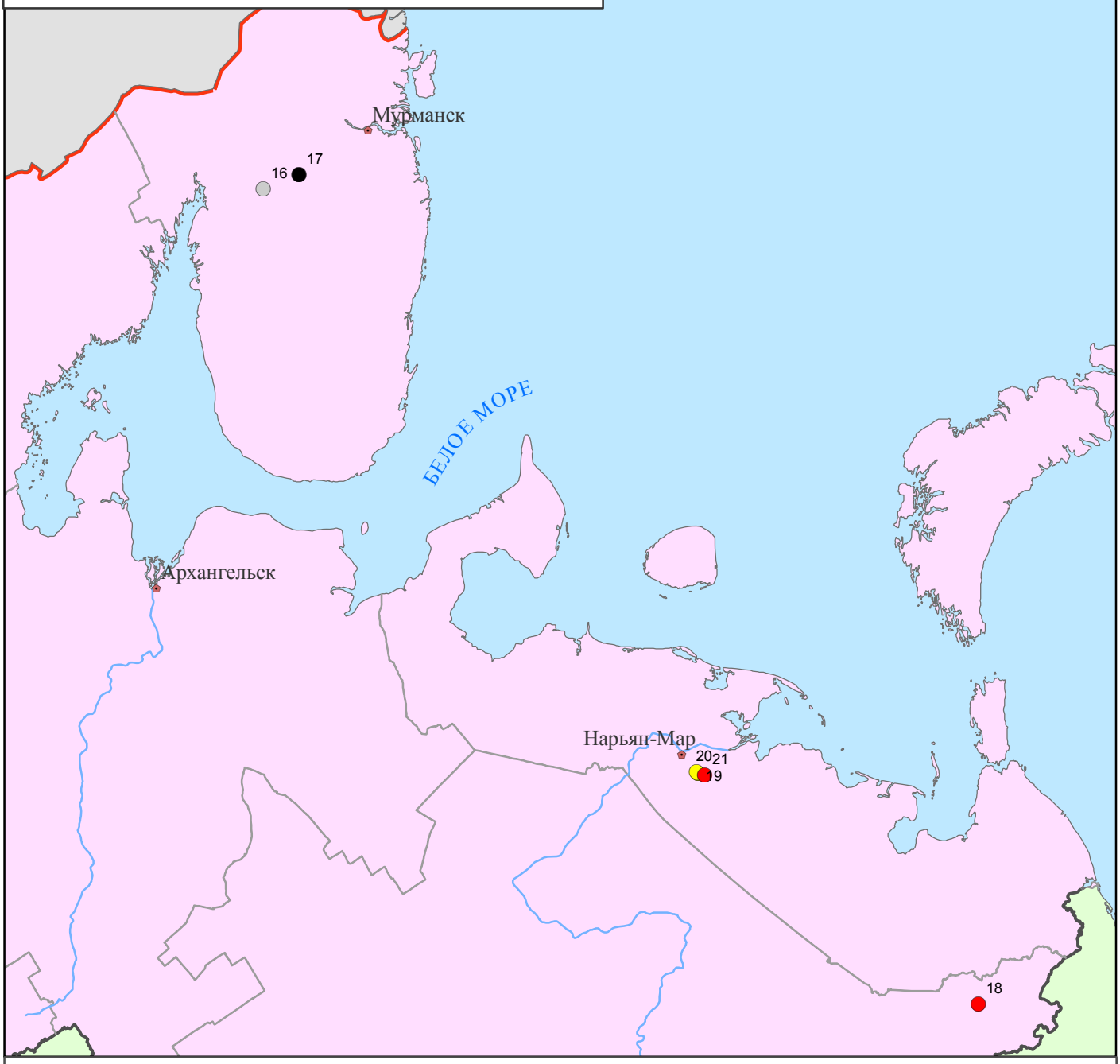

0 105 210 420 630 840 Км

Условные обозначения

8 Населенные пункты и хозяйственные объекты, испытавшие воздействие ЭГП (цифрой указан номер строки в таблице с описанием случая активизации ЭГП, см. Приложение 1)

Типы ЭГП
(оказавших воздействие на объекты)

- Оползневой процесс
- Процесс овражной эрозии
- Осыпной процесс
- Дефляция
- Гравитационно-эрозионные процессы

Прочие обозначения

- Границы субъектов РФ
- Границы федеральных округов РФ
- Государственная граница РФ
- Столицы субъектов РФ

ФЕДЕРАЛЬНОЕ АГЕНТСТВО ПО НЕДРОПОЛЬЗОВАНИЮ

ФГБУ "Гидроспецгеология"

Центр государственного мониторинга состояния недр и региональных работ

КАРТА

МЕСТОПОЛОЖЕНИЯ НАСЕЛЕННЫХ ПУНКТОВ И ХОЗЯЙСТВЕННЫХ ОБЪЕКТОВ, ИСПЫТАВШИХ ВОЗДЕЙСТВИЕ ЭГП В III КВАРТАЛЕ 2017 Г. НА ТЕРРИТОРИИ ЮЖНОГО ФЕДЕРАЛЬНОГО ОКРУГА

Приложение 2
Лист 3

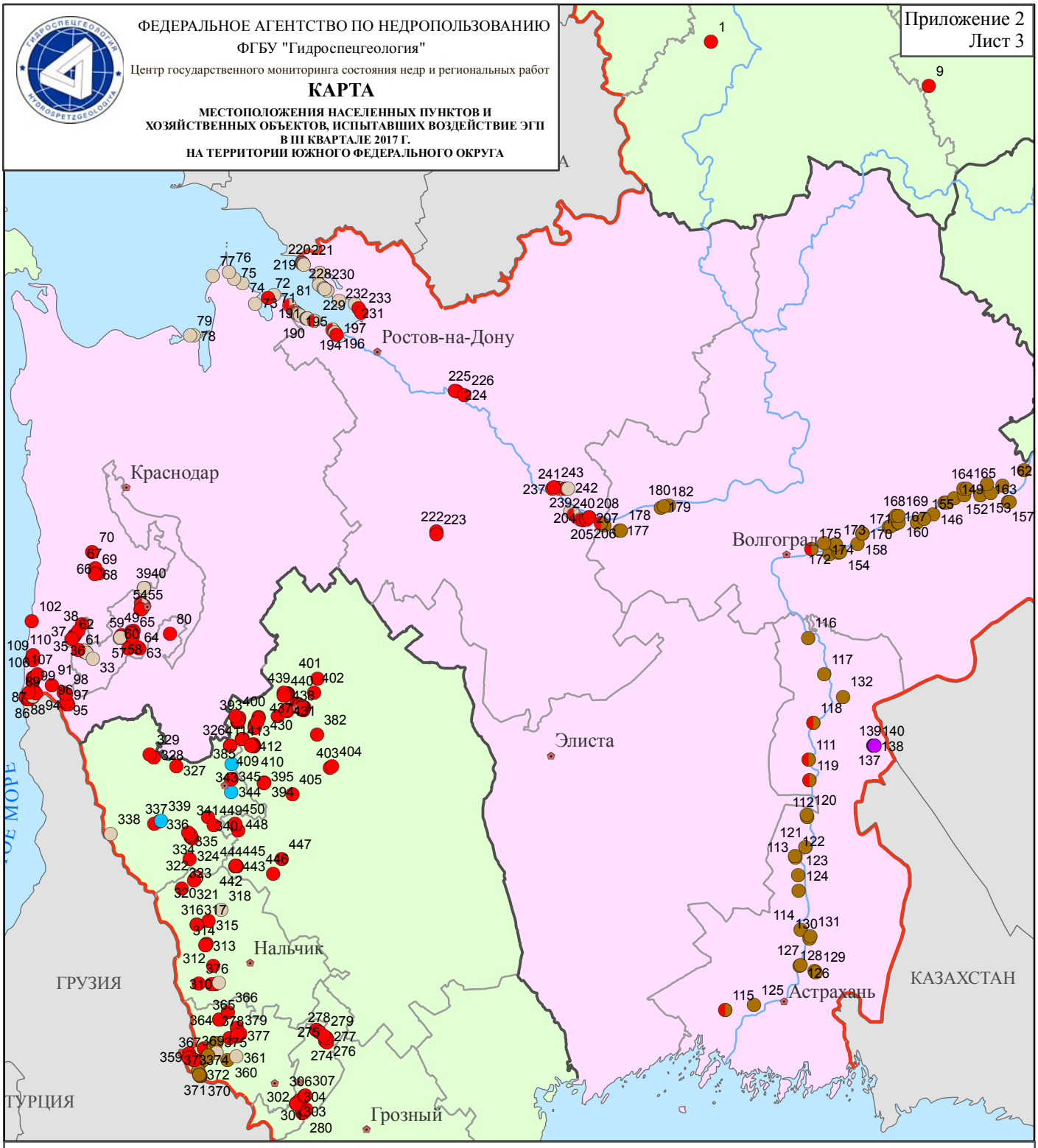

0 75 150 300 450 600 Км

Условные обозначения

8 Населенные пункты и хозяйственные объекты, испытавшие воздействие ЭГП (цифрой указан номер строки в таблице с описанием случая активизации ЭГП, см. Приложение 1)

Типы ЭГП
(оказавших воздействие на объекты)

- Оползневой процесс
- Обвальный процесс
- Карстовый процесс
- Обвально-осыпные процессы
- Обвально-оползневые процессы
- Комплекс оползневого и обвально-осыпных процессов

Прочие обозначения

- Границы субъектов РФ
- Границы федеральных округов РФ
- Государственная граница РФ
- Столицы субъектов РФ

ФЕДЕРАЛЬНОЕ АГЕНТСТВО ПО НЕДРОПОЛЬЗОВАНИЮ

ФГБУ "Гидроспецгеология"

Центр государственного мониторинга состояния недр и региональных работ

КАРТА

МЕСТОПОЛОЖЕНИЯ НАСЕЛЕННЫХ ПУНКТОВ И ХОЗЯЙСТВЕННЫХ ОБЪЕКТОВ, ИСПЫТАВШИХ ВОЗДЕЙСТВИЕ ЭГП В III КВАРТАЛЕ 2017 Г. НА ТЕРРИТОРИИ СЕВЕРО-КАВКАЗСКОГО ФЕДЕРАЛЬНОГО ОКРУГА

Приложение 2
Лист 4

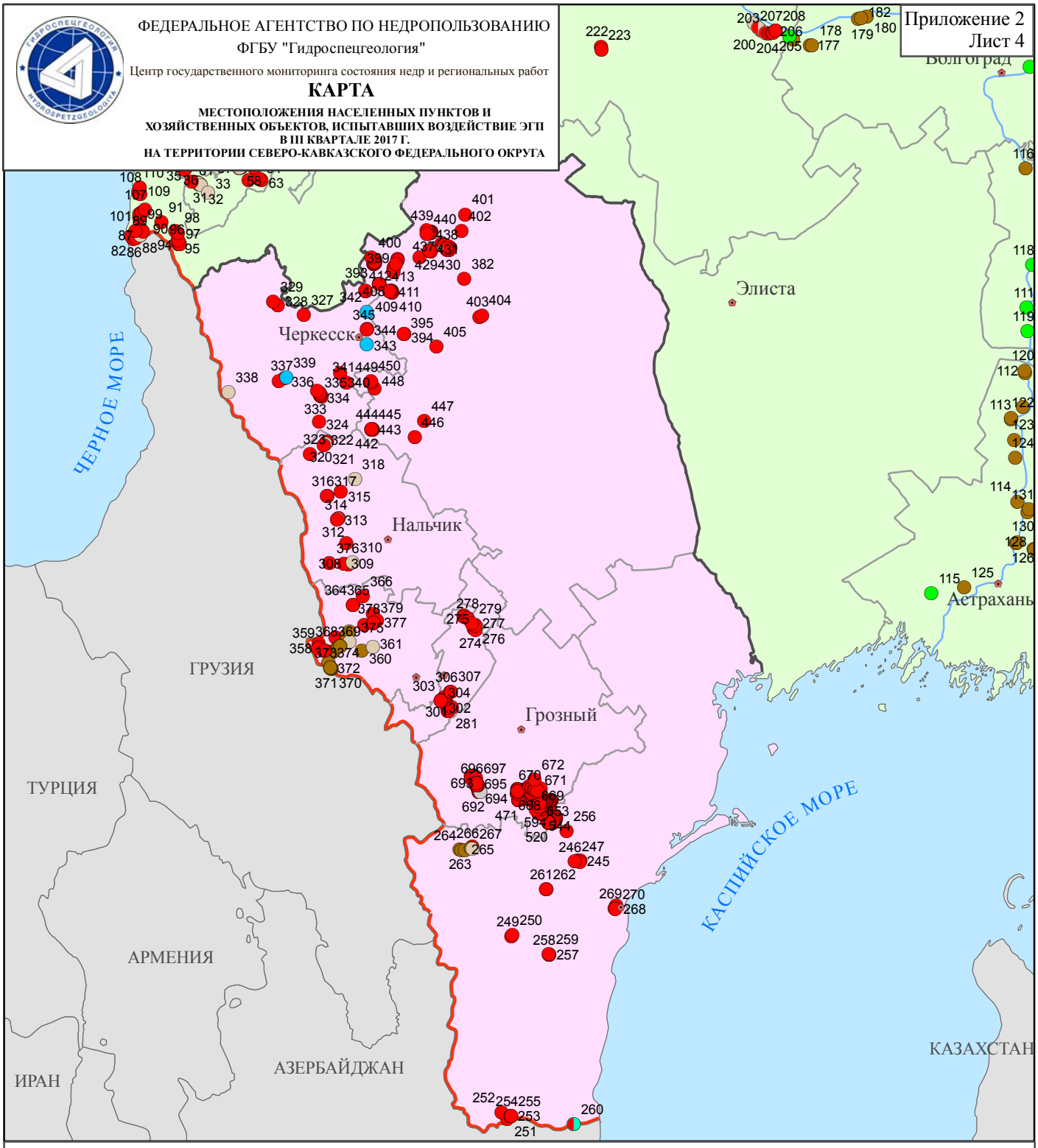

0 60 120 240 360 480 Км

Условные обозначения

8 Населенные пункты и хозяйственные объекты, испытавшие воздействие ЭГП (цифрой указан номер строки в таблице с описанием случая активизации ЭГП, см. Приложение 1)

Типы ЭГП
(оказавших воздействие на объекты)

- Оползневой процесс
- Обвальный процесс
- Осыпной процесс
- Процесс подтопления
- Обвально-осыпные процессы
- Обвально-оползневые процессы
- Комплекс оползневого и суффозионного процессов

Прочие обозначения

- Границы субъектов РФ
- Границы федеральных округов РФ
- Государственная граница РФ
- Столицы субъектов РФ

ФЕДЕРАЛЬНОЕ АГЕНТСТВО ПО НЕДРОПОЛЬЗОВАНИЮ
ФГБУ "Гидроспецгеология"

Центр государственного мониторинга состояния недр и региональных работ

КАРТА

МЕСТОПОЛОЖЕНИЯ НАСЕЛЕННЫХ ПУНКТОВ И ХОЗЯЙСТВЕННЫХ ОБЪЕКТОВ, ИСПЫТАВШИХ ВОЗДЕЙСТВИЕ ЭГП В III КВАРТАЛЕ 2017 Г. НА ТЕРРИТОРИИ ПРИВОЛЖСКОГО ФЕДЕРАЛЬНОГО ОКРУГА

Приложение 2
Лист 5

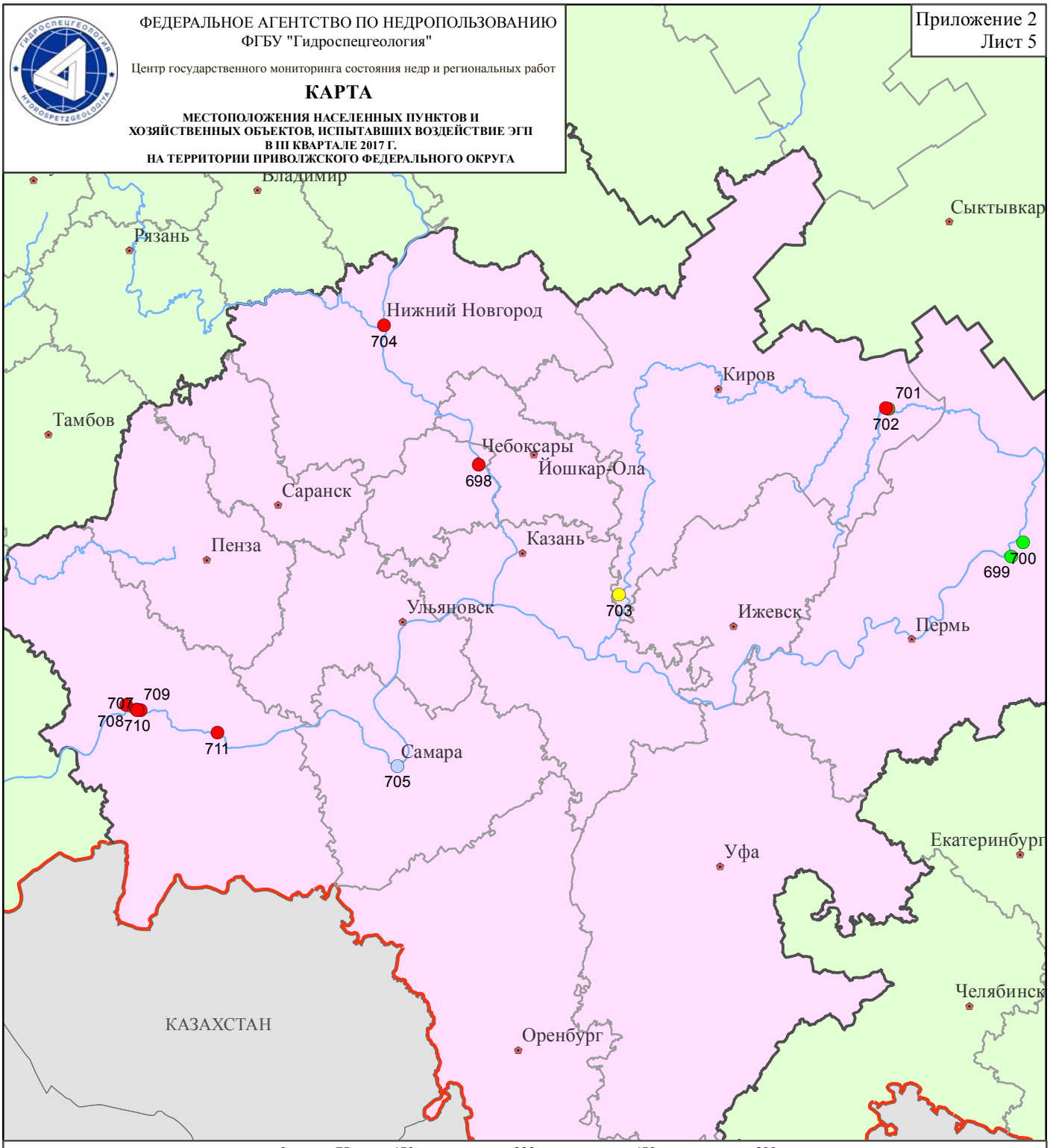

0 75 150 300 450 600 Км

Условные обозначения

8 Населенные пункты и хозяйственные объекты, испытавшие воздействие ЭГП (цифрой указан номер строки в таблице с описанием случая активизации ЭГП, см. Приложение 1)

Типы ЭГП
(оказавших воздействие на объекты)

- Оползневой процесс
- Процесс овражной эрозии
- Обвально-осыпные процессы
- Комплекс карстово-суффозионных процессов
- Оседание поверхности над горными выработками

Прочие обозначения

- Границы субъектов РФ
- Границы федеральных округов РФ
- Государственная граница РФ
- Столицы субъектов РФ

ФЕДЕРАЛЬНОЕ АГЕНТСТВО ПО НЕДРОПОЛЬЗОВАНИЮ
ФГБУ "Гидроспецгеология"

Центр государственного мониторинга состояния недр и региональных работ

КАРТА

МЕСТОПОЛОЖЕНИЯ НАСЕЛЕННЫХ ПУНКТОВ И ХОЗЯЙСТВЕННЫХ ОБЪЕКТОВ, ИСПЫТАВШИХ ВОЗДЕЙСТВИЕ ЭГП В III КВАРТАЛЕ 2017 Г. НА ТЕРРИТОРИИ УРАЛЬСКОГО ФЕДЕРАЛЬНОГО ОКРУГА

Приложение 2
Лист 6

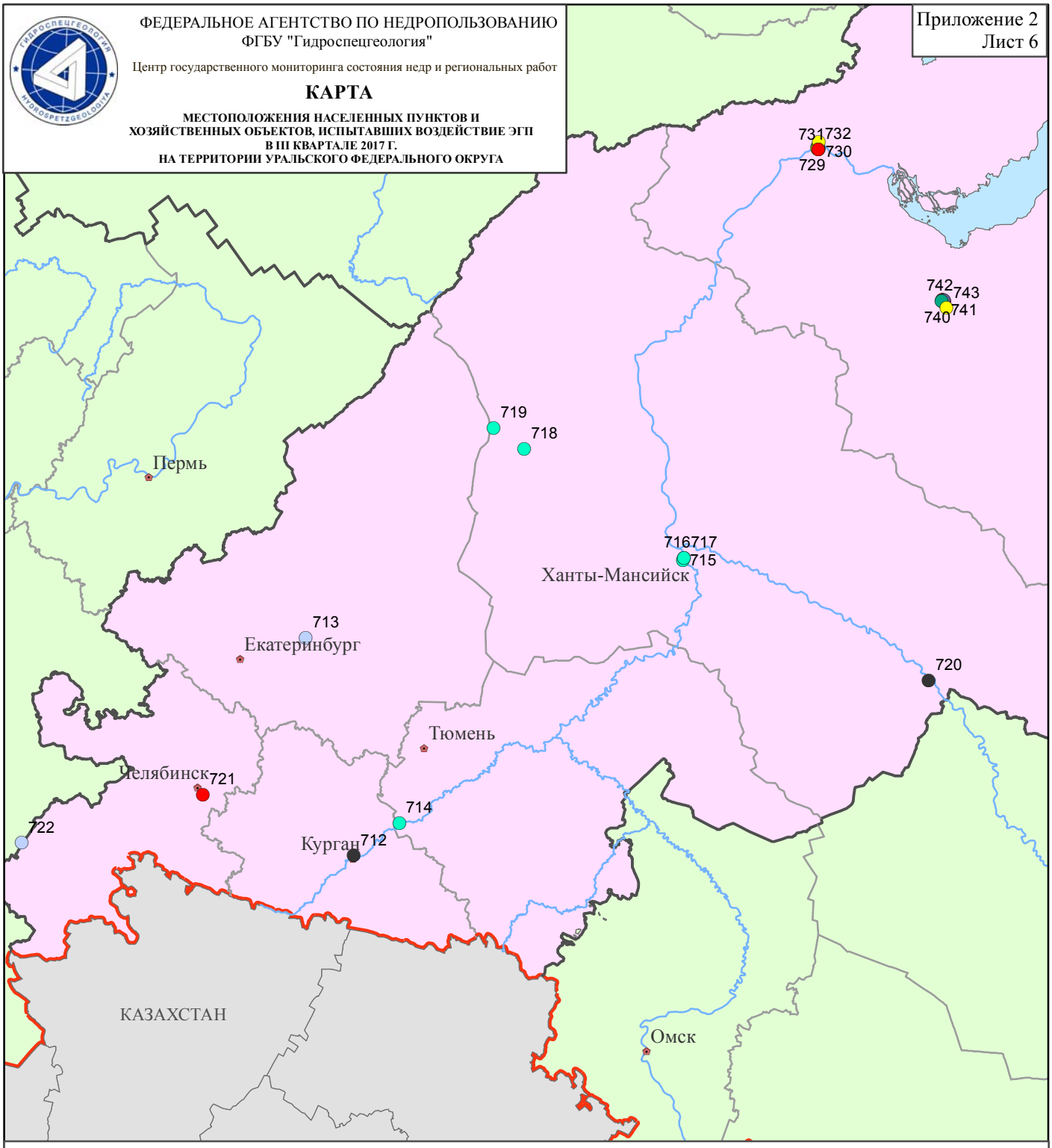

0 75 150 300 450 600 Км

Условные обозначения

8 Населенные пункты и хозяйственные объекты, испытавшие воздействие ЭГП (цифрой указан номер строки в таблице с описанием случая активизации ЭГП, см. Приложение 1)

Типы ЭГП
(оказавших воздействие на объекты)

- Оползневой процесс
- Процесс овражной эрозии
- Суффозионный процесс
- Комплекс карстово-суффозионных процессов
- Процесс подтопления
- Термокарстовый процесс
- Процесс криогенного пучения
- Криогенный процесс

Прочие обозначения

- Границы субъектов РФ
- Границы федеральных округов РФ
- Государственная граница РФ
- Столицы субъектов РФ

ФЕДЕРАЛЬНОЕ АГЕНТСТВО ПО НЕДРОПОЛЬЗОВАНИЮ

ФГБУ "Гидроспецгеология"

Центр государственного мониторинга состояния недр и региональных работ

КАРТА

МЕСТОПОЛОЖЕНИЯ НАСЕЛЕННЫХ ПУНКТОВ И ХОЗЯЙСТВЕННЫХ ОБЪЕКТОВ, ИСПЫТАВШИХ ВОЗДЕЙСТВИЕ ЭГП В III КВАРТАЛЕ 2017 Г. НА ТЕРРИТОРИИ СИБИРСКОГО ФЕДЕРАЛЬНОГО ОКРУГА

Приложение 2
Лист 7

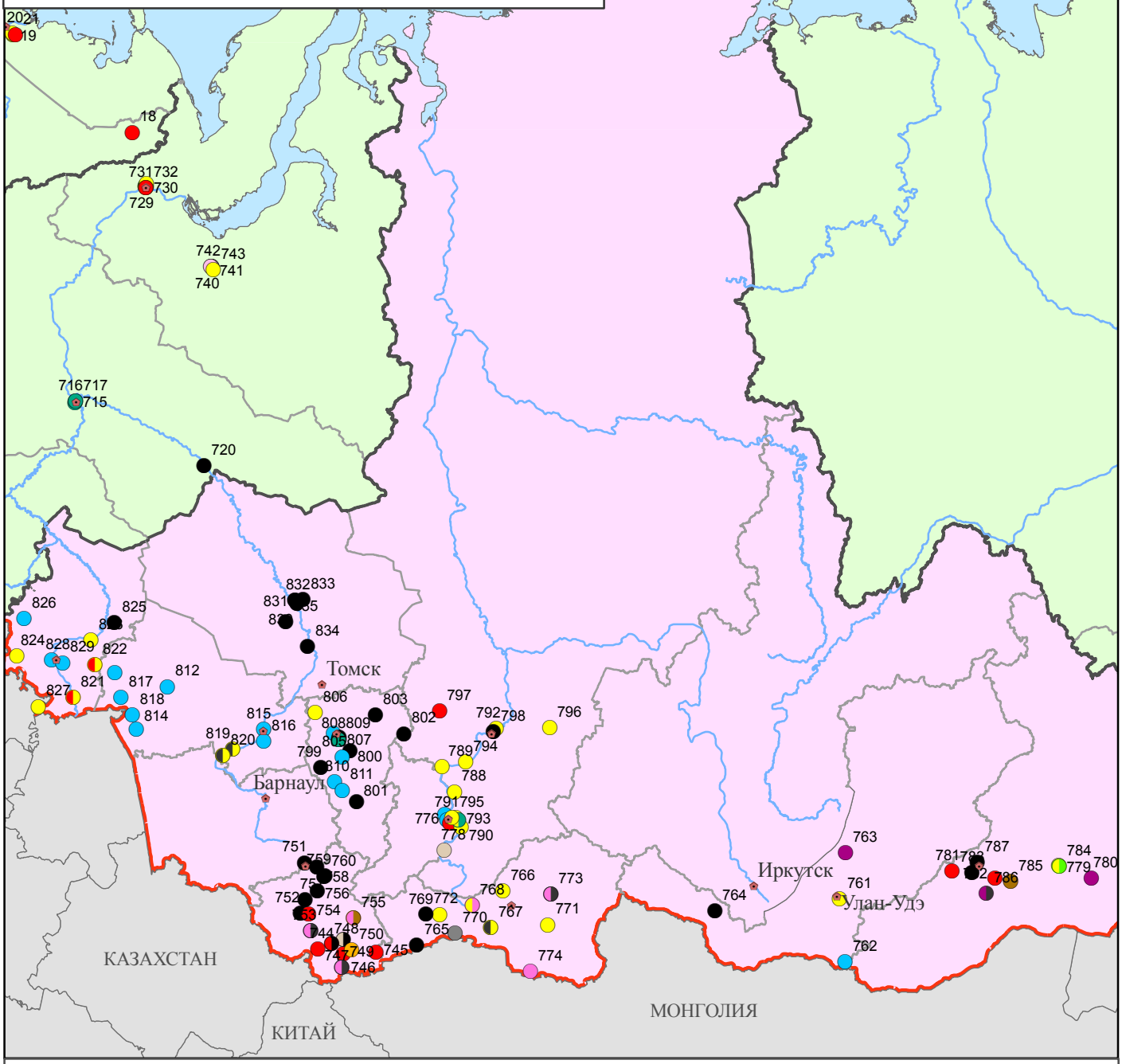

0 240 480 960 1 440 1 920 Км

Условные обозначения

8 Населенные пункты и хозяйственные объекты, испытавшие воздействие ЭГП (цифрой указан номер строки в таблице с описанием случая активизации ЭГП, см. Приложение 1)

Типы ЭГП
(оказавших воздействие на объекты)

- Оползневой процесс
- Обвальный процесс
- Процесс подтопления
- Суффозионный процесс
- Процесс овражной эрозии
- Оседание поверхности над горными выработками
- Процесс плоскостной эрозии
- Процесс эоловой аккумуляции
- Обвально-осыпные процессы
- Гравитационно-эрозионные процессы
- Комплекс процессов

Прочие обозначения

- Границы субъектов РФ
- Границы федеральных округов РФ
- Государственная граница РФ
- Столицы субъектов РФ

ФЕДЕРАЛЬНОЕ АГЕНТСТВО ПО НЕДРОПОЛЬЗОВАНИЮ
ФГБУ "Гидроспецгеология"

Центр государственного мониторинга состояния недр и региональных работ

КАРТА

МЕСТОПОЛОЖЕНИЯ НАСЕЛЕННЫХ ПУНКТОВ И ХОЗЯЙСТВЕННЫХ ОБЪЕКТОВ, ИСПЫТАВШИХ ВОЗДЕЙСТВИЕ ЭГП В III КВАРТАЛЕ 2017 Г. НА ТЕРРИТОРИИ ДАЛЬНЕВОСТОЧНОГО ФЕДЕРАЛЬНОГО ОКРУГА

Приложение 2
Лист 8

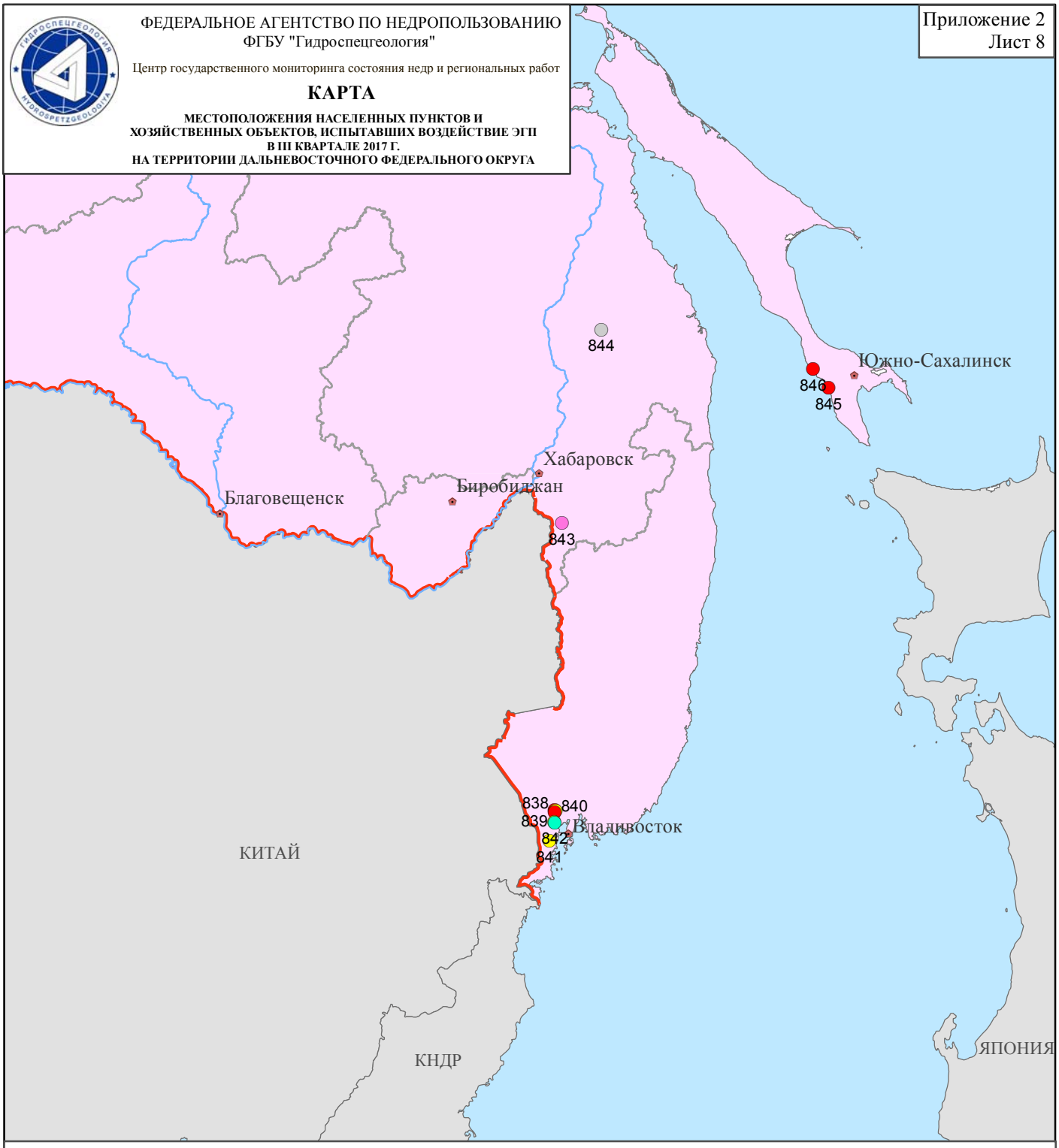

0 125 250 500 750 1 000 Км

Условные обозначения

8 Населенные пункты и хозяйственные объекты, испытавшие воздействие ЭГП (цифрой указан номер строки в таблице с описанием случая активизации ЭГП, см. Приложение 1)

Типы ЭГП
(оказавших воздействие на объекты)

- Оползневой процесс
- Процесс овражной эрозии
- Осыпной процесс
- Процесс плоскостной эрозии
- Суффозионный процесс

Прочие обозначения

- Границы субъектов РФ
- Границы федеральных округов РФ
- Государственная граница РФ
- Столицы субъектов РФ